

009916 4469067

FIG. 1

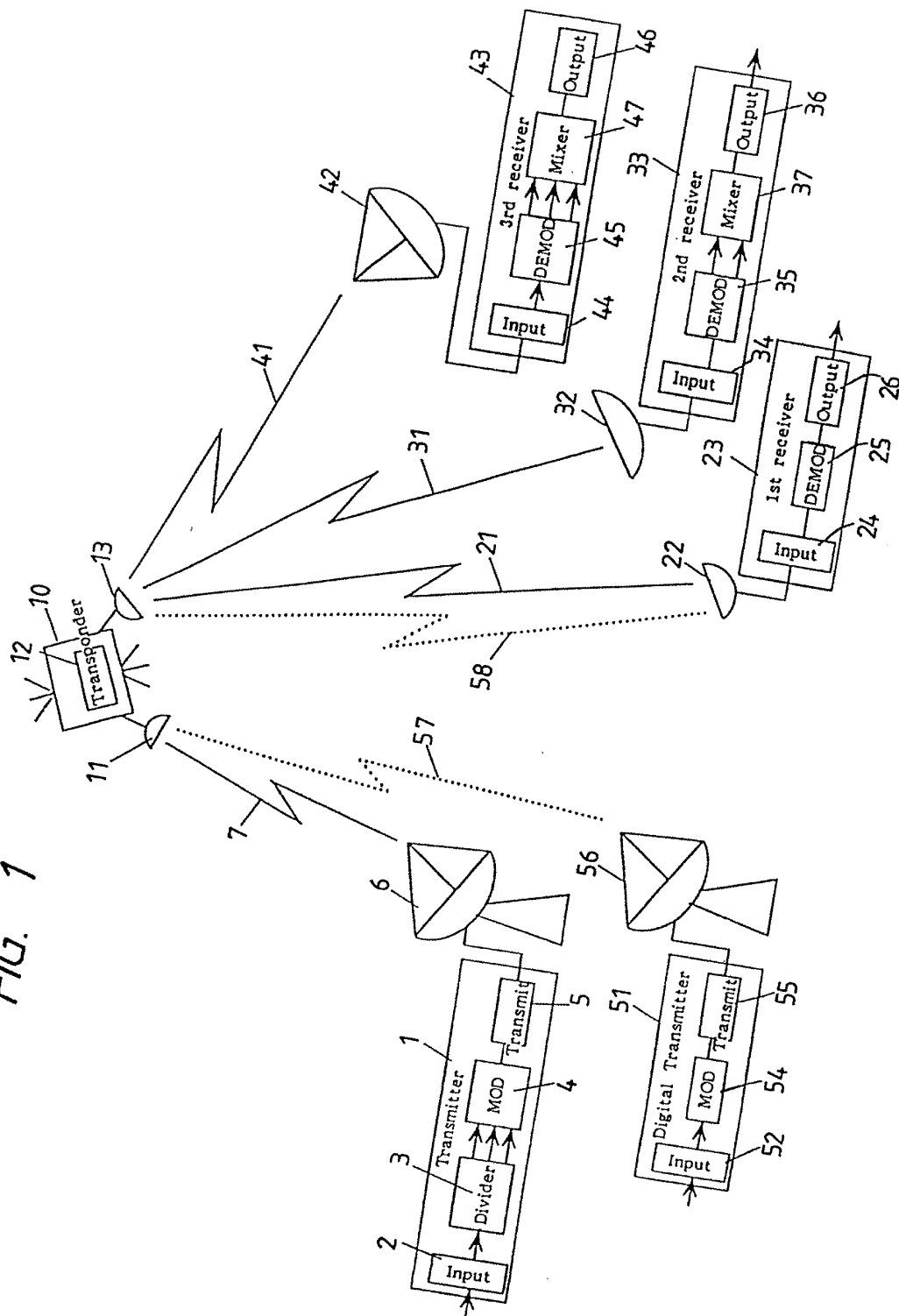


FIG. 2

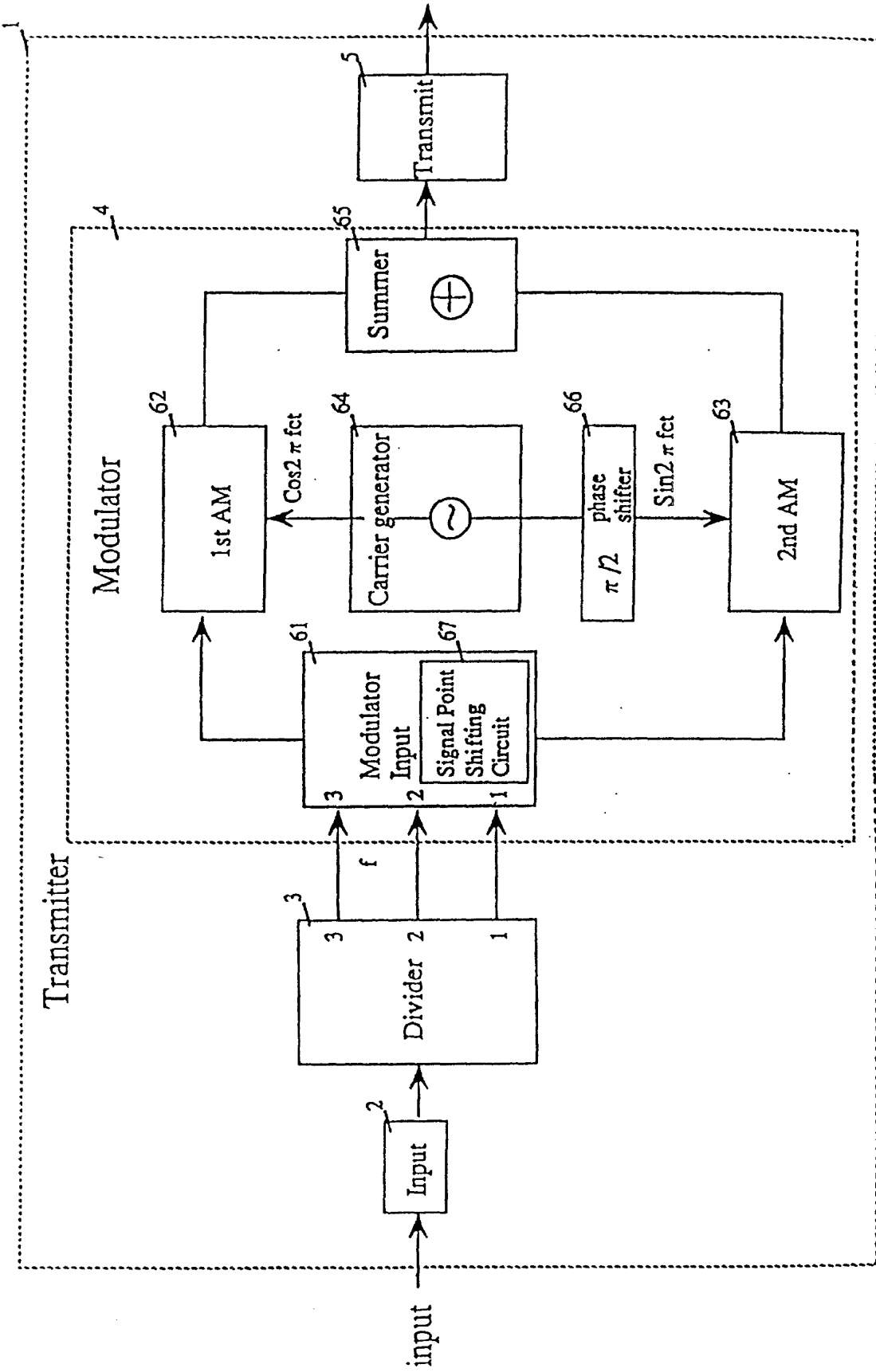
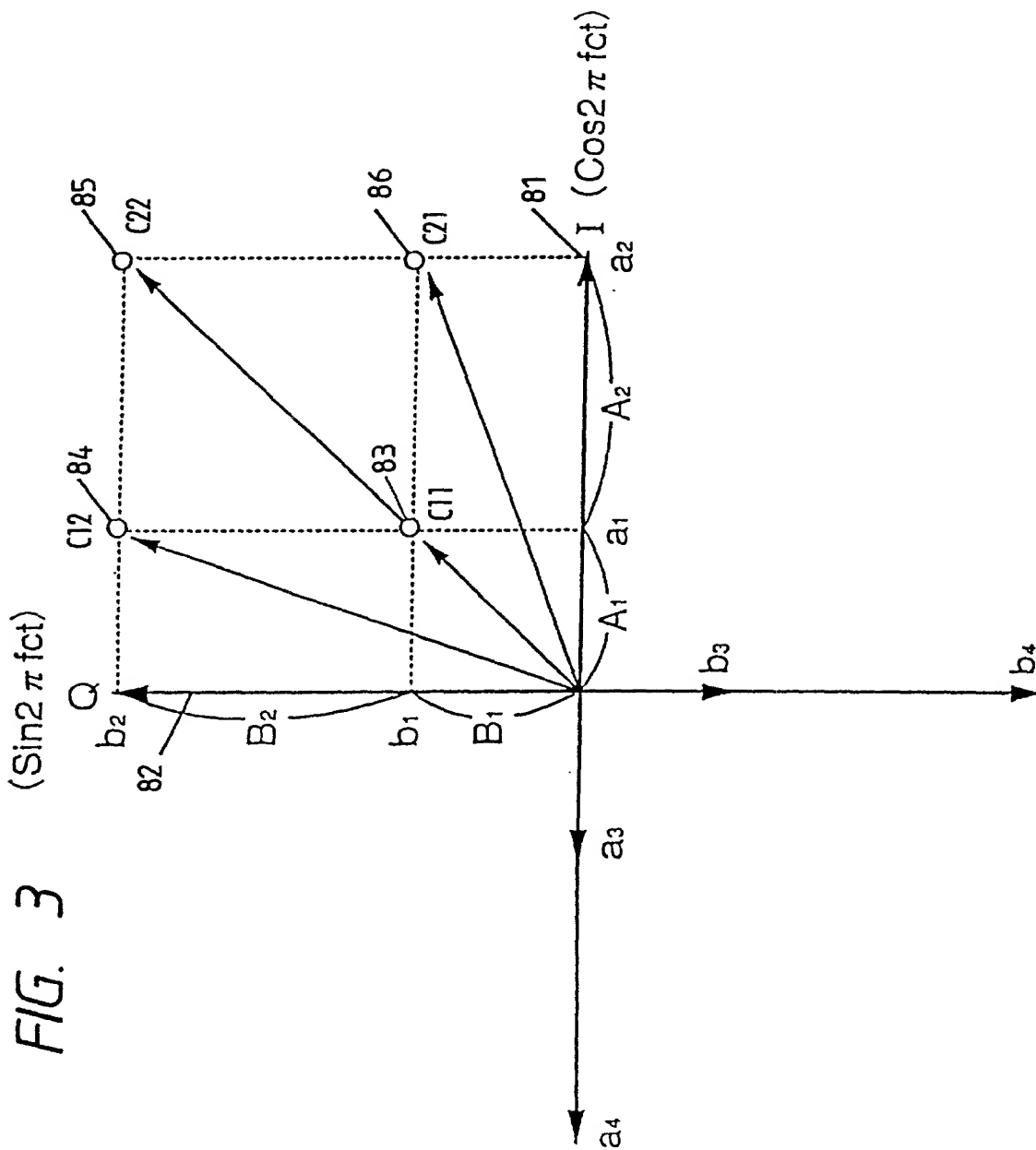


FIG. 3



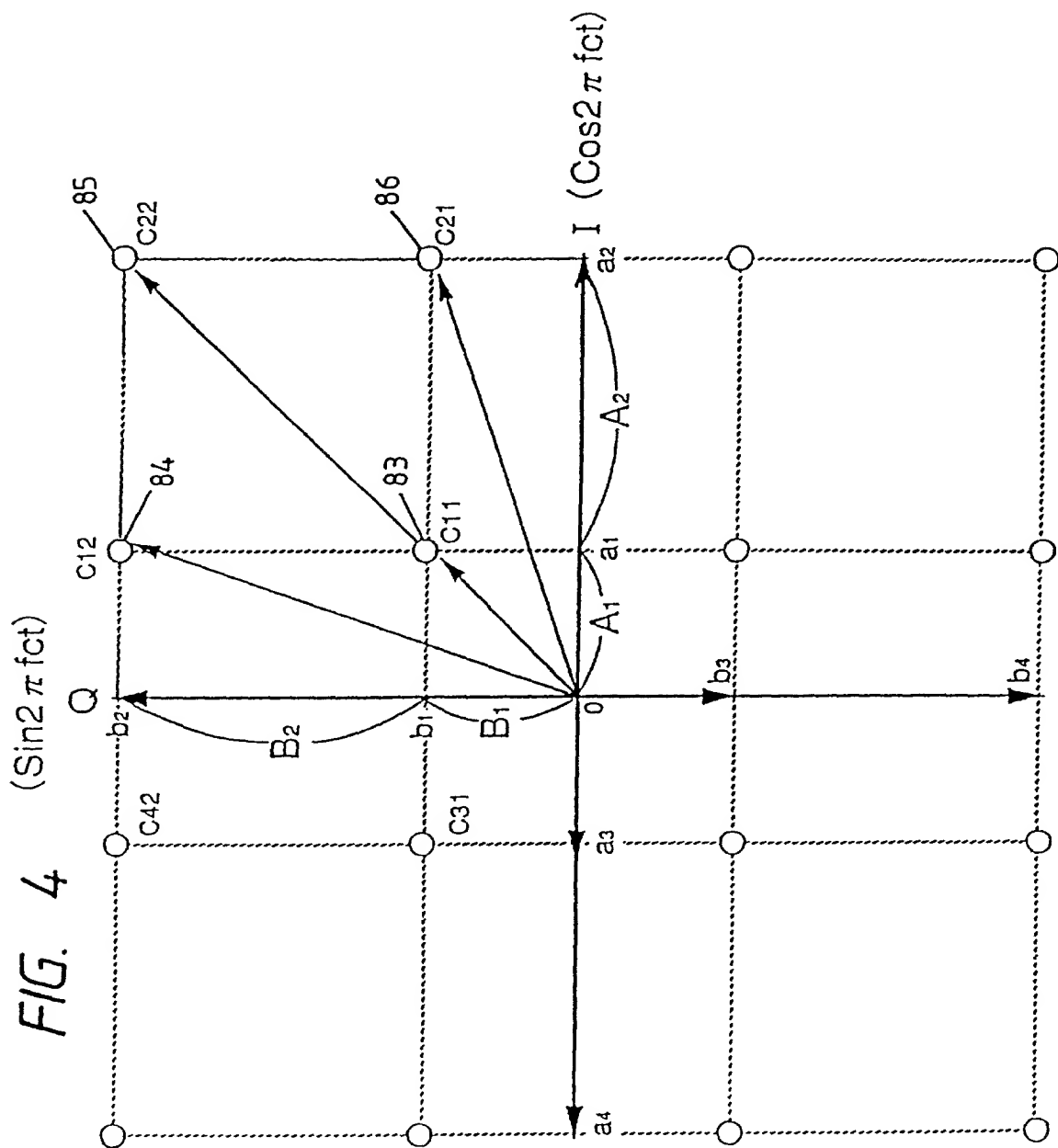


FIG. 5 ($\sin 2\pi \text{ fct}$)

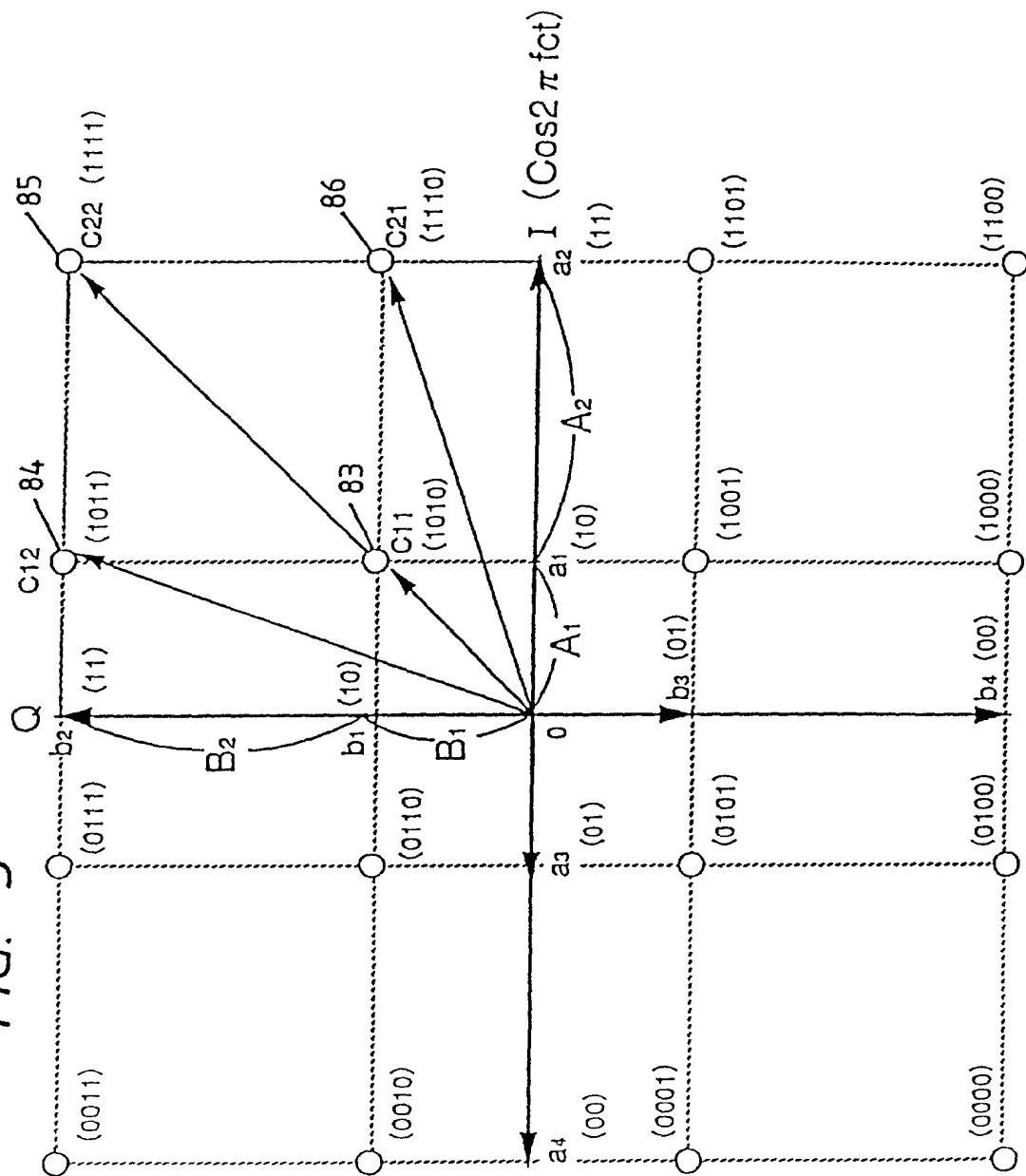


FIG. 6

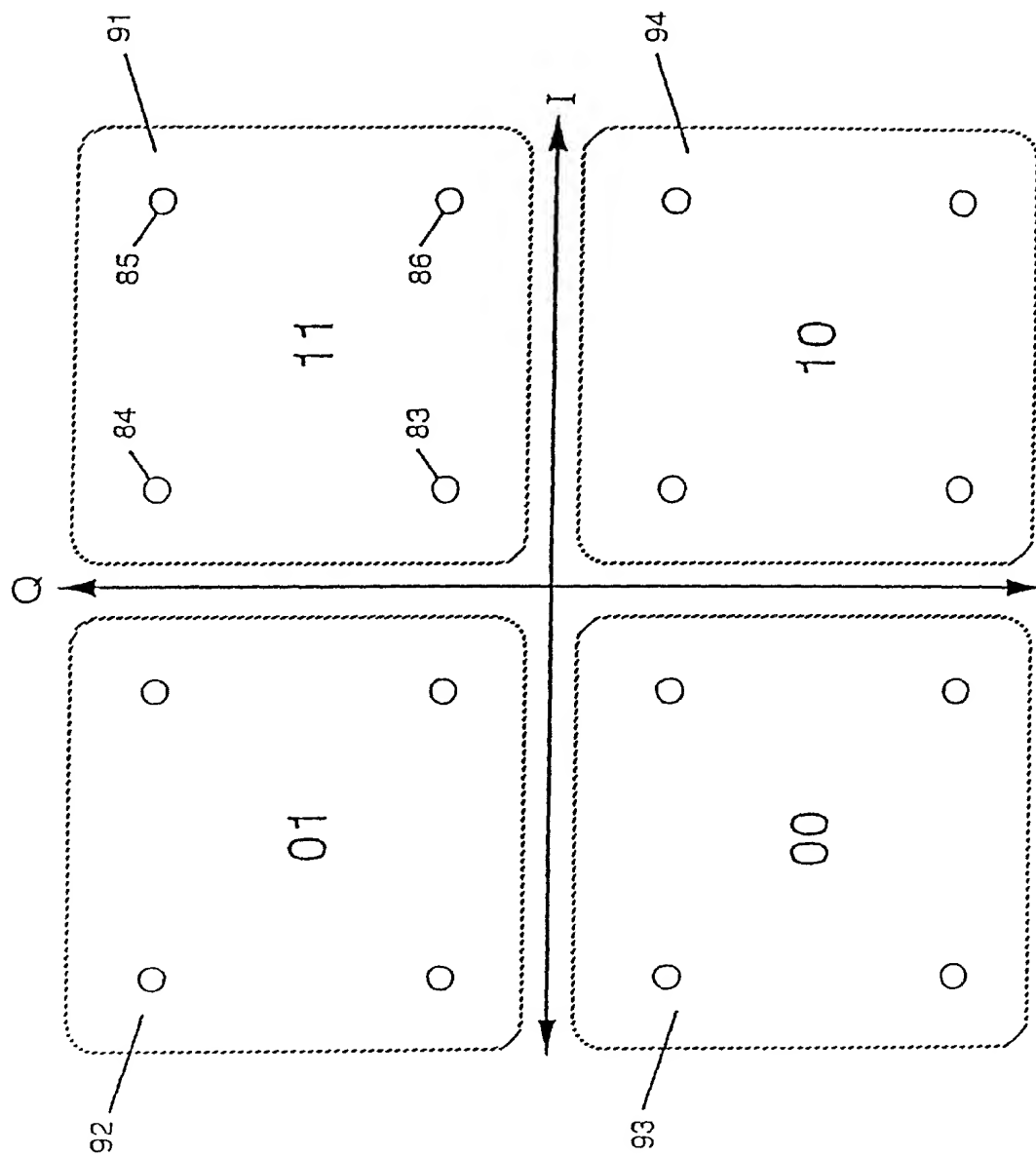


FIG. 7

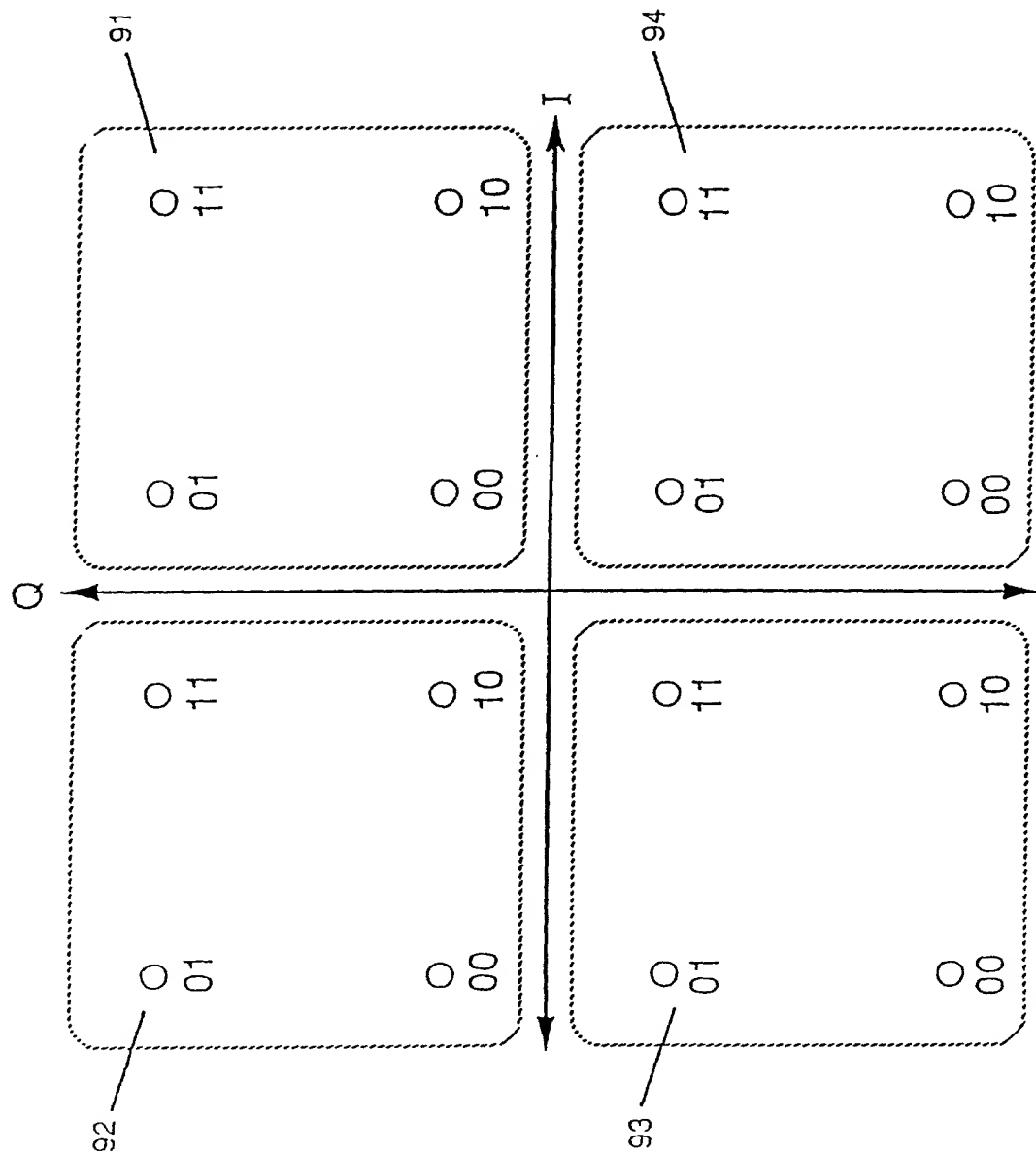


FIG. 8

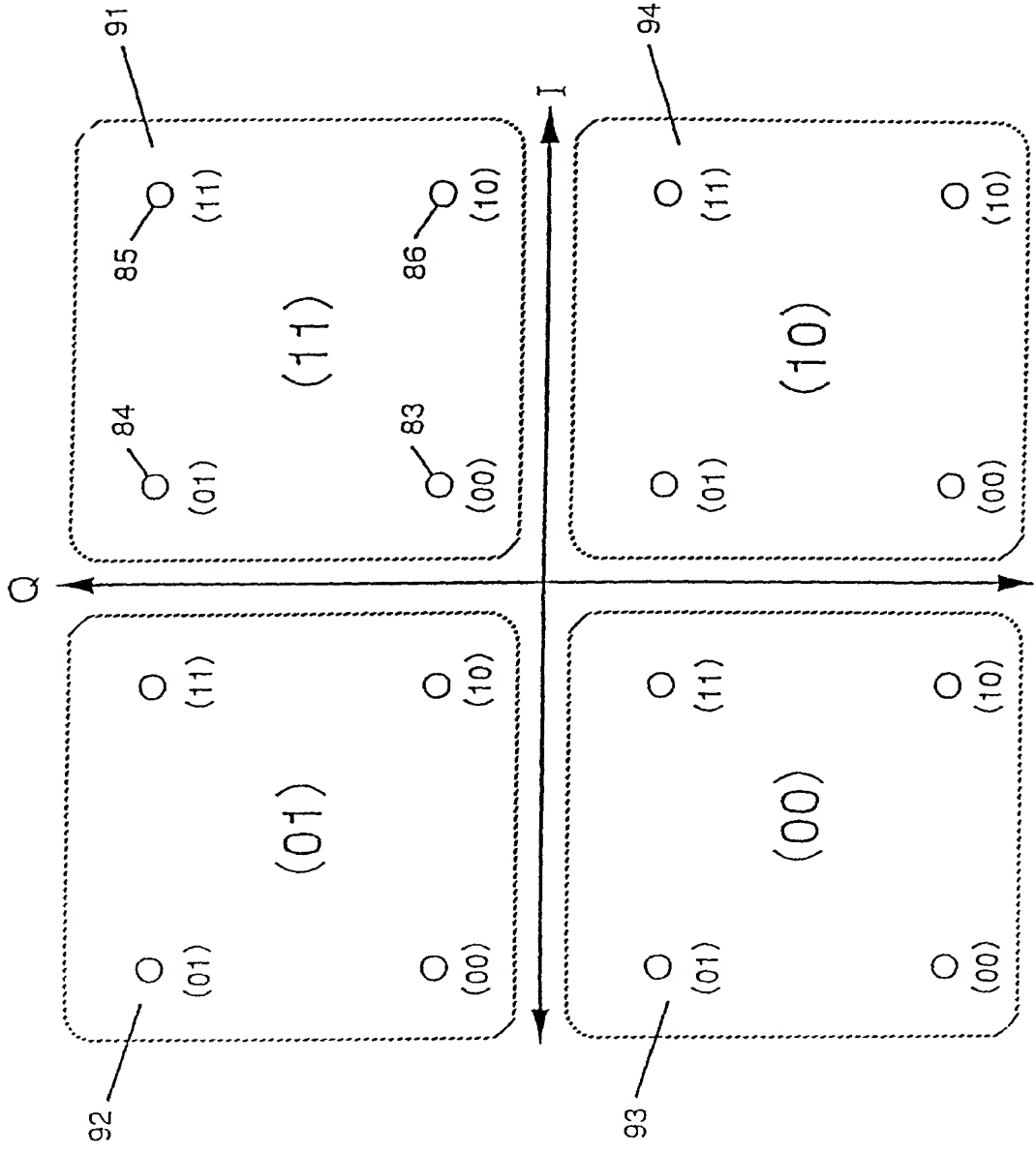


FIG. 9

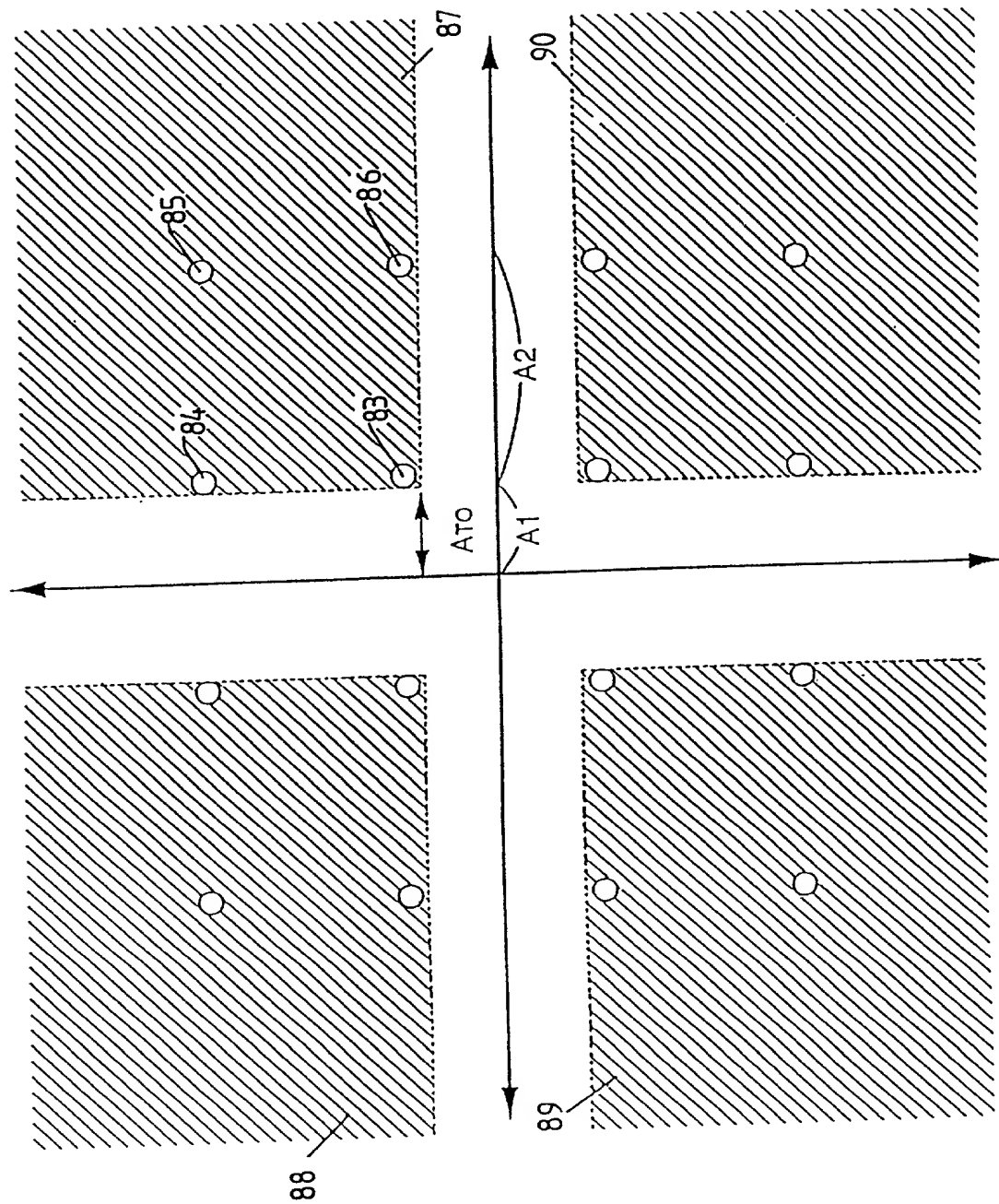


FIG. 10

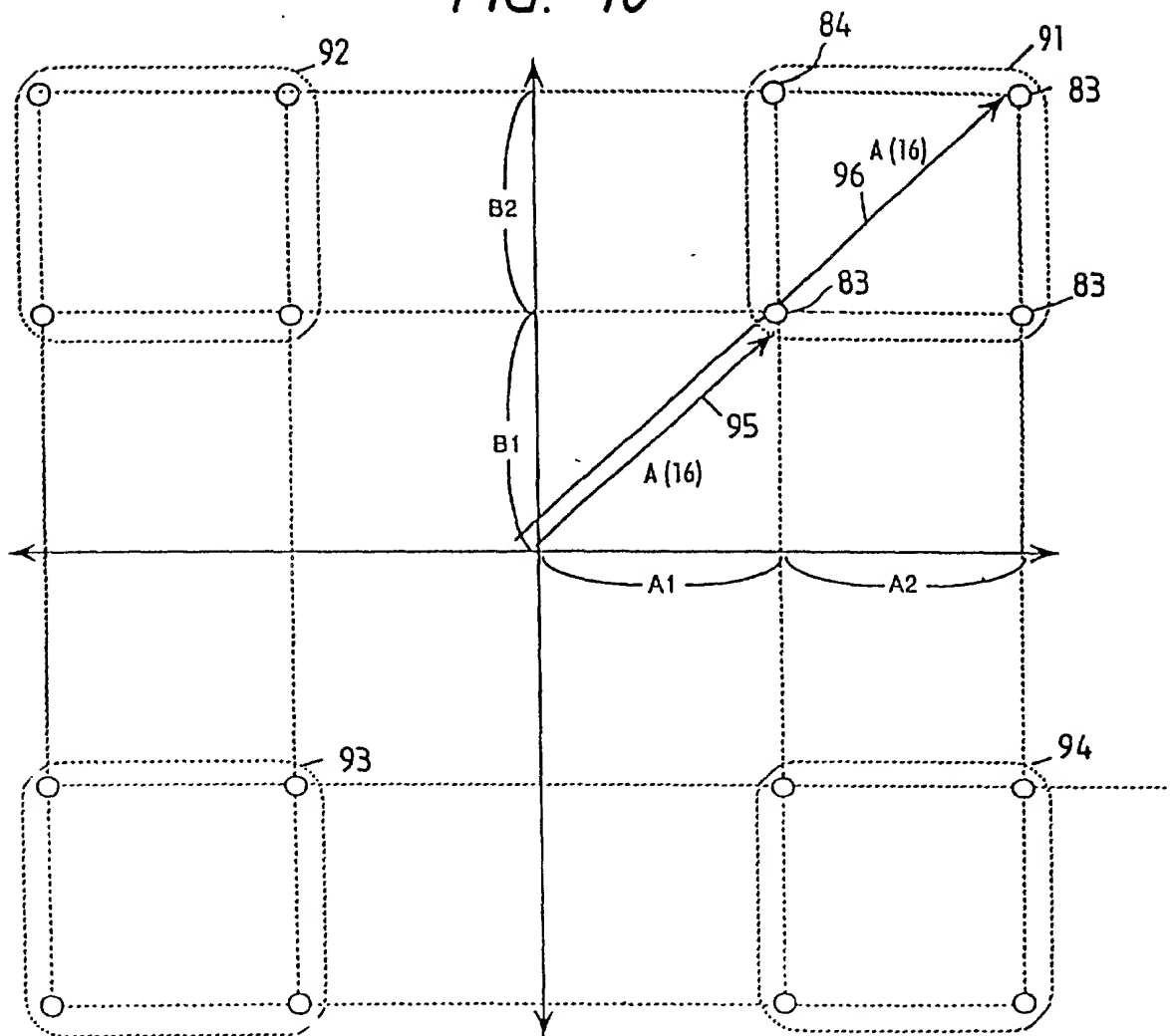


FIG. 12

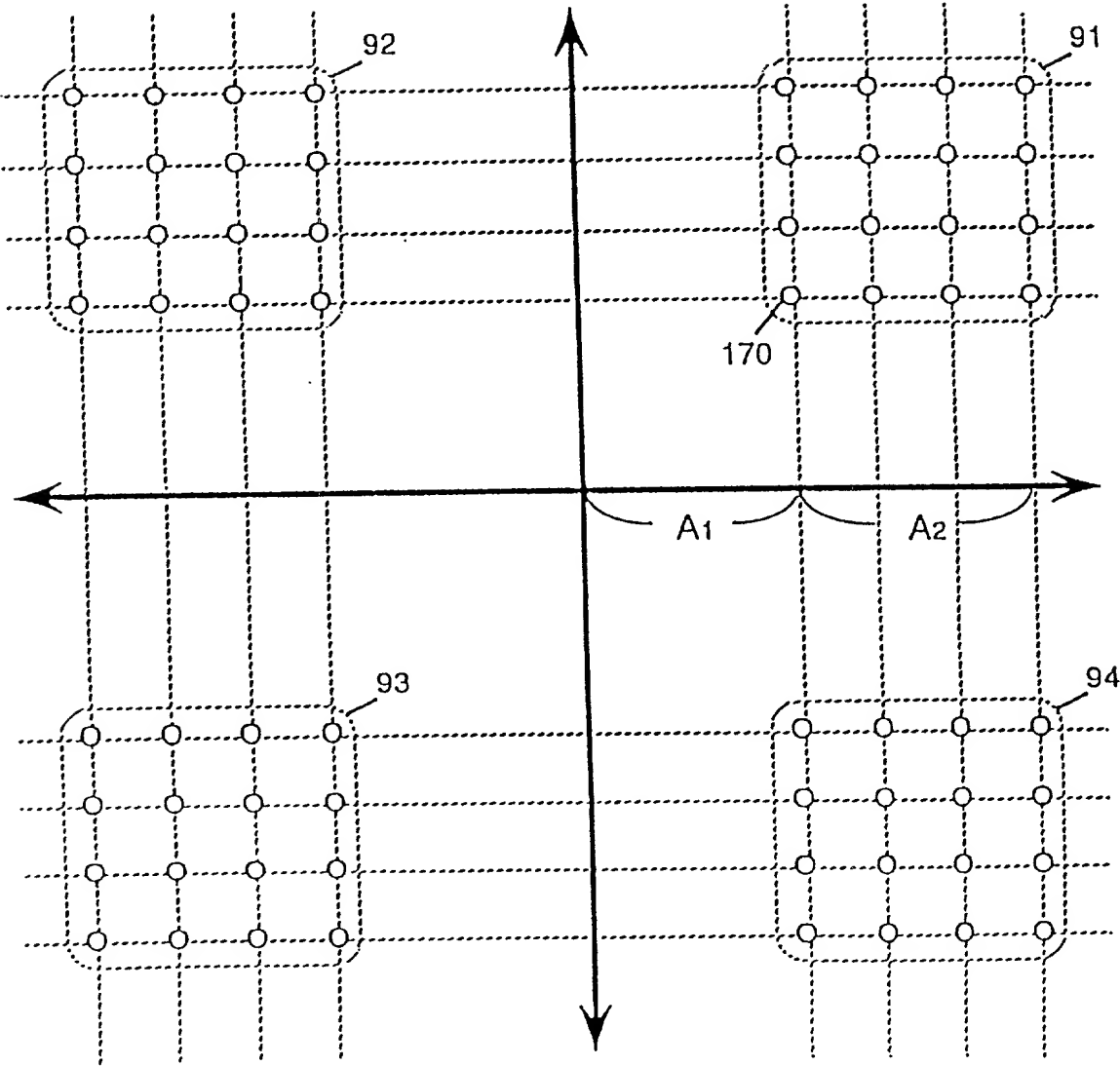


FIG. 13

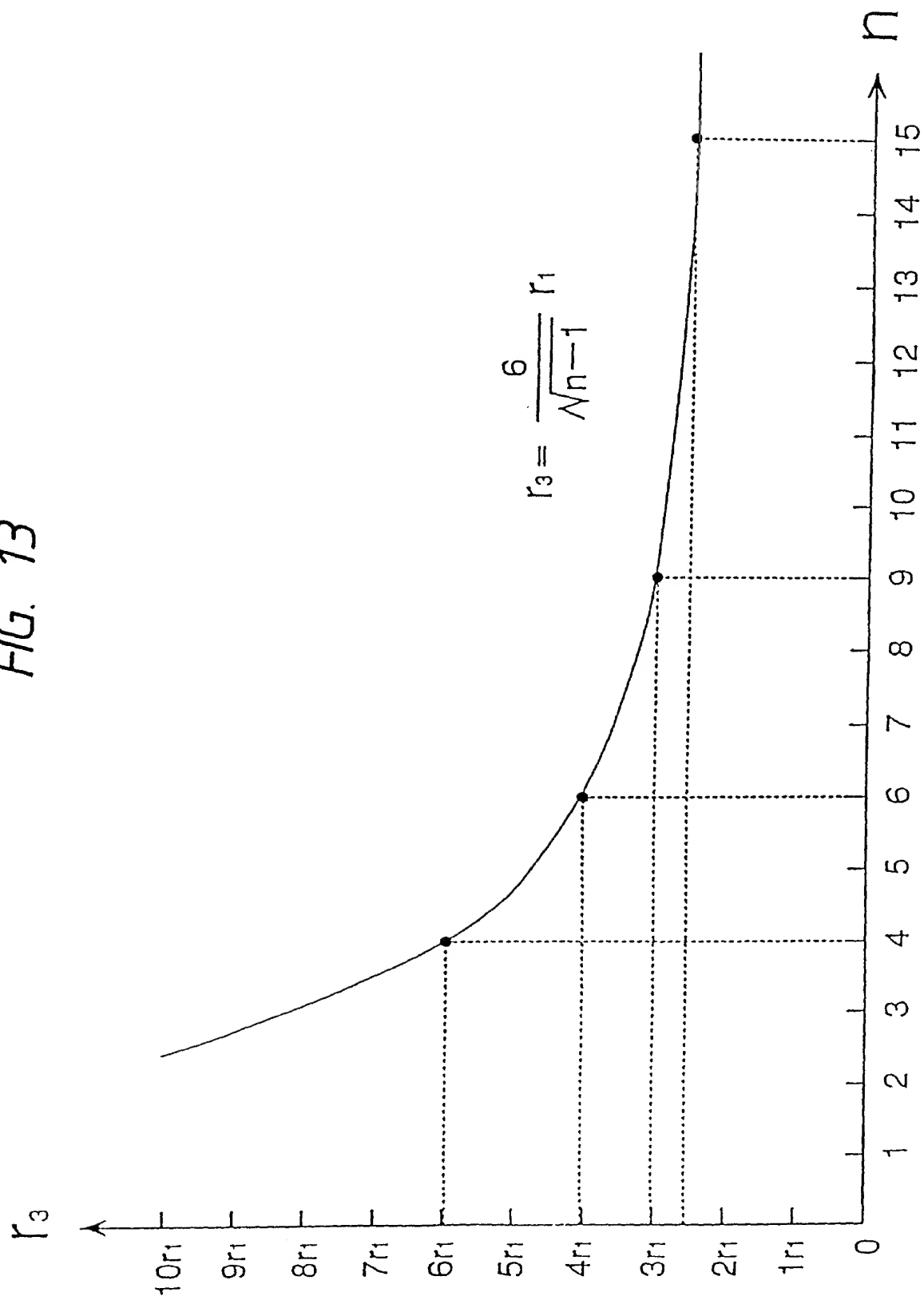


FIG. 14

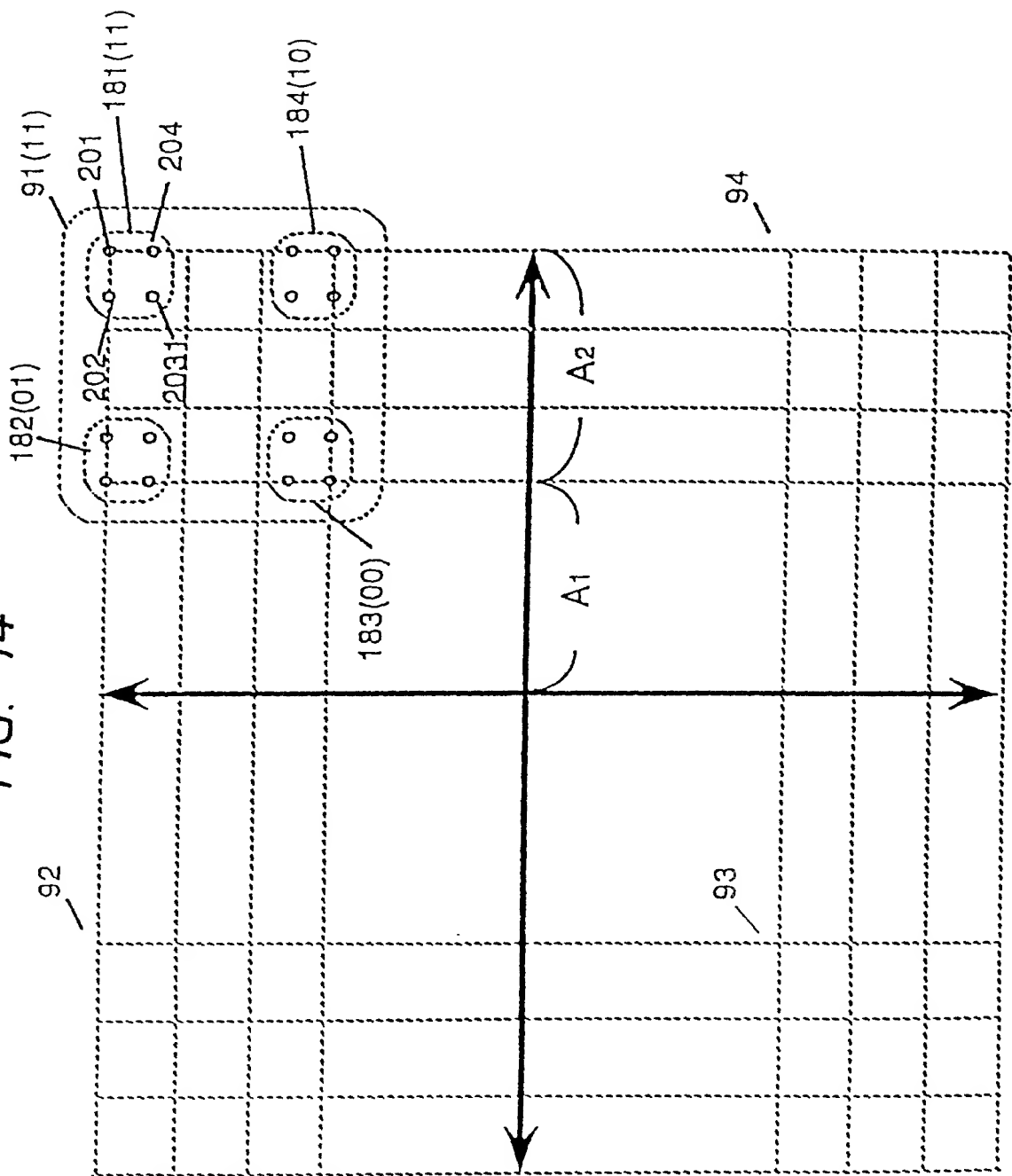


FIG. 15

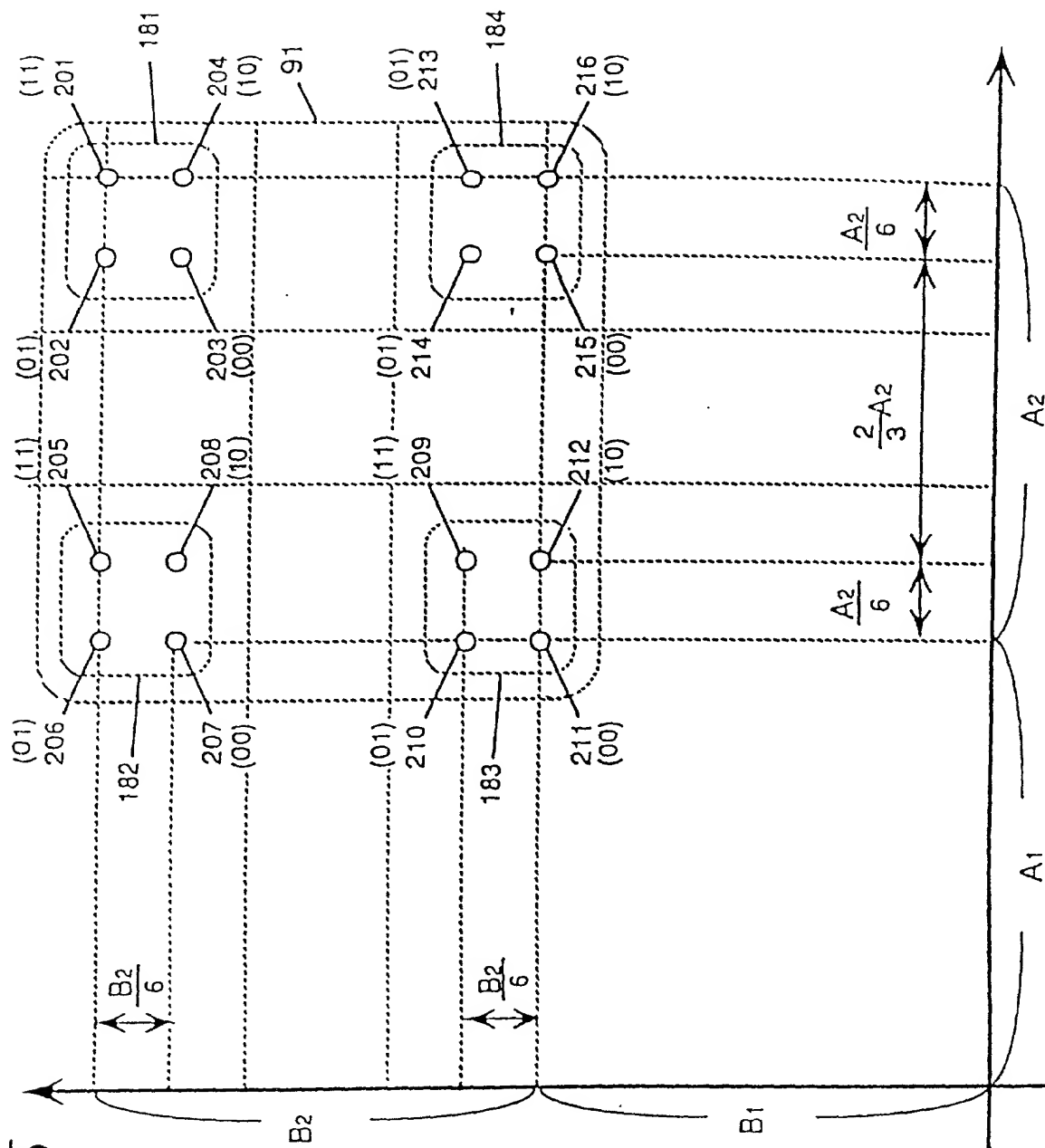


FIG. 16

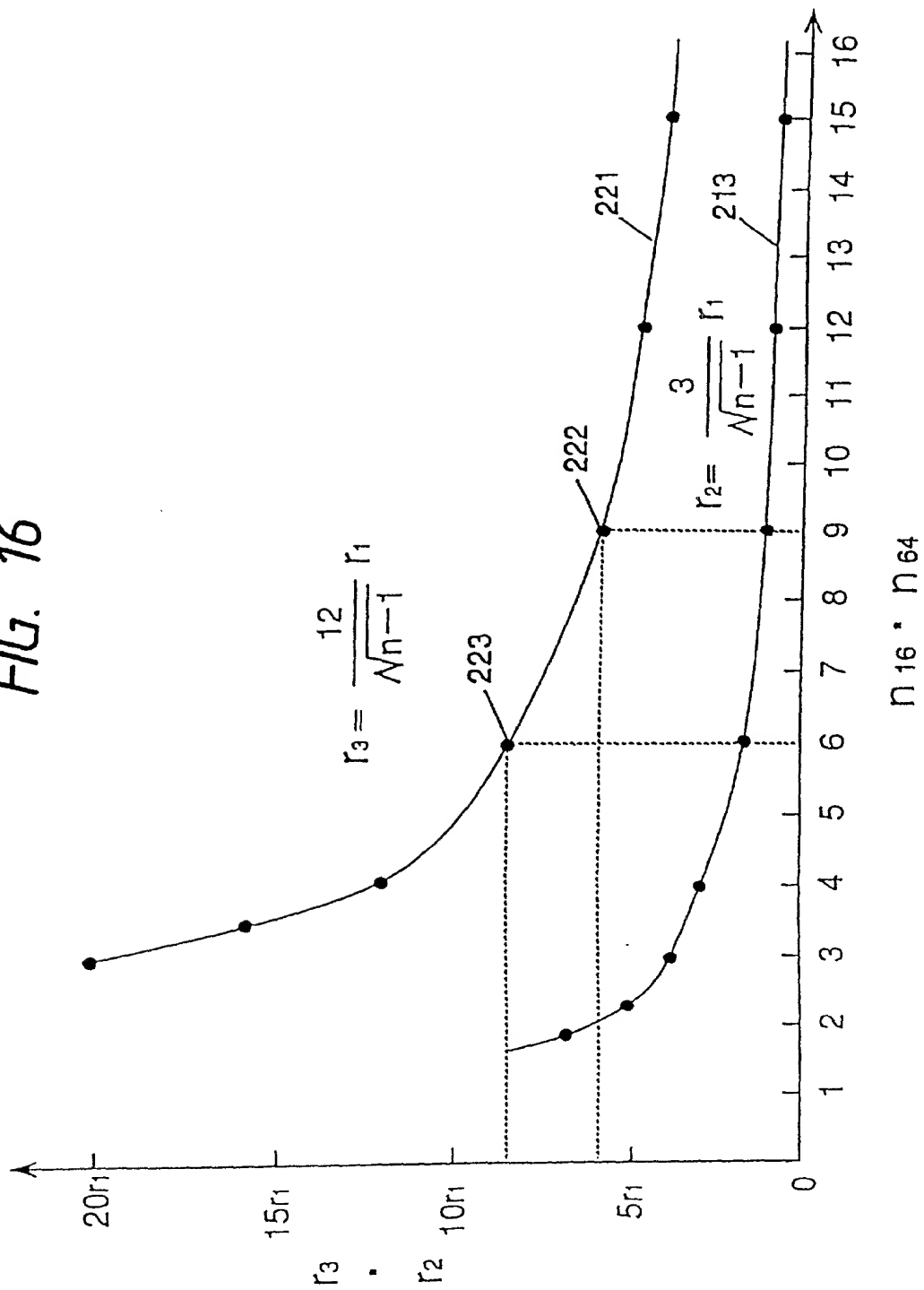


FIG. 17

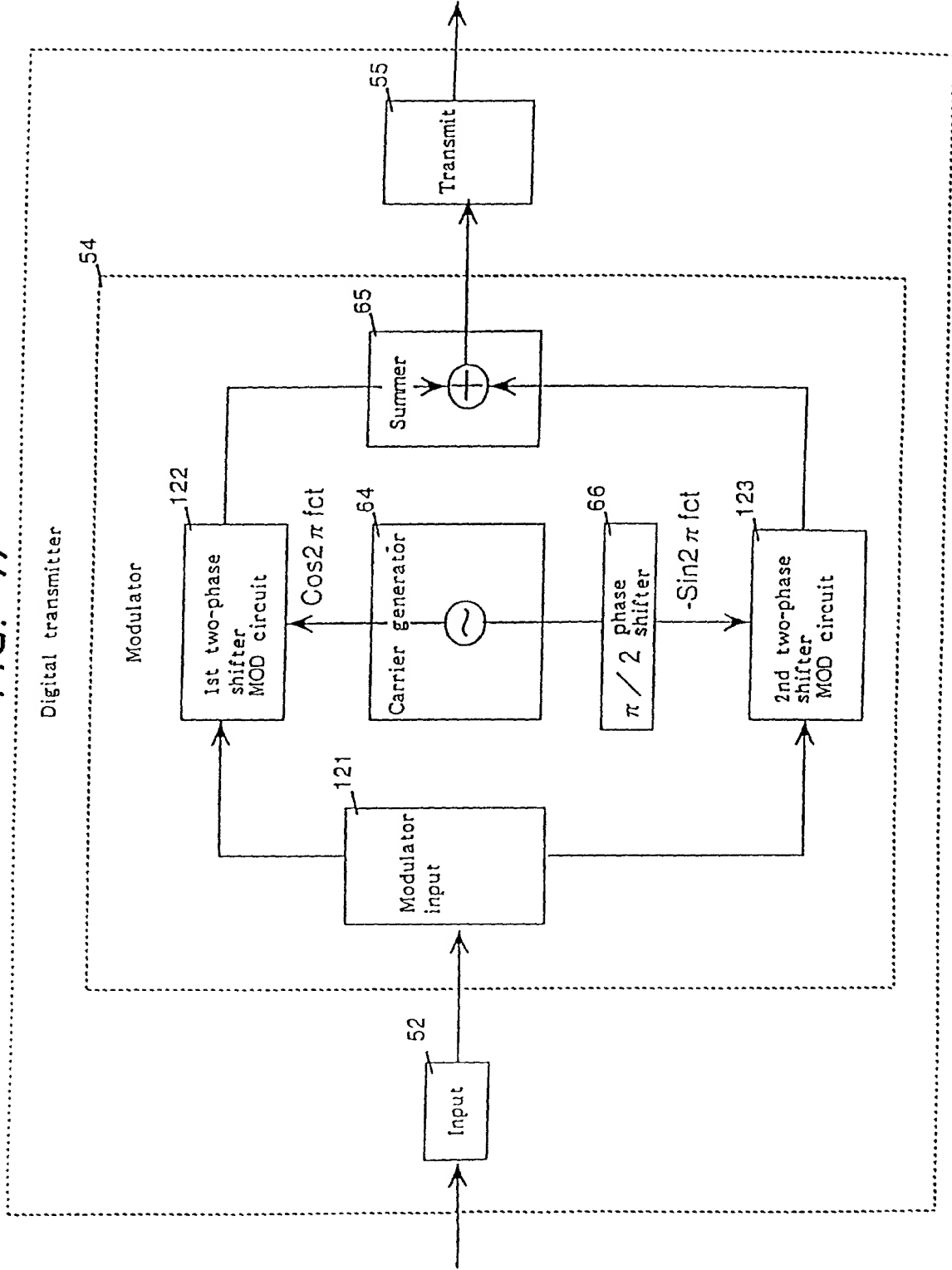


FIG. 18

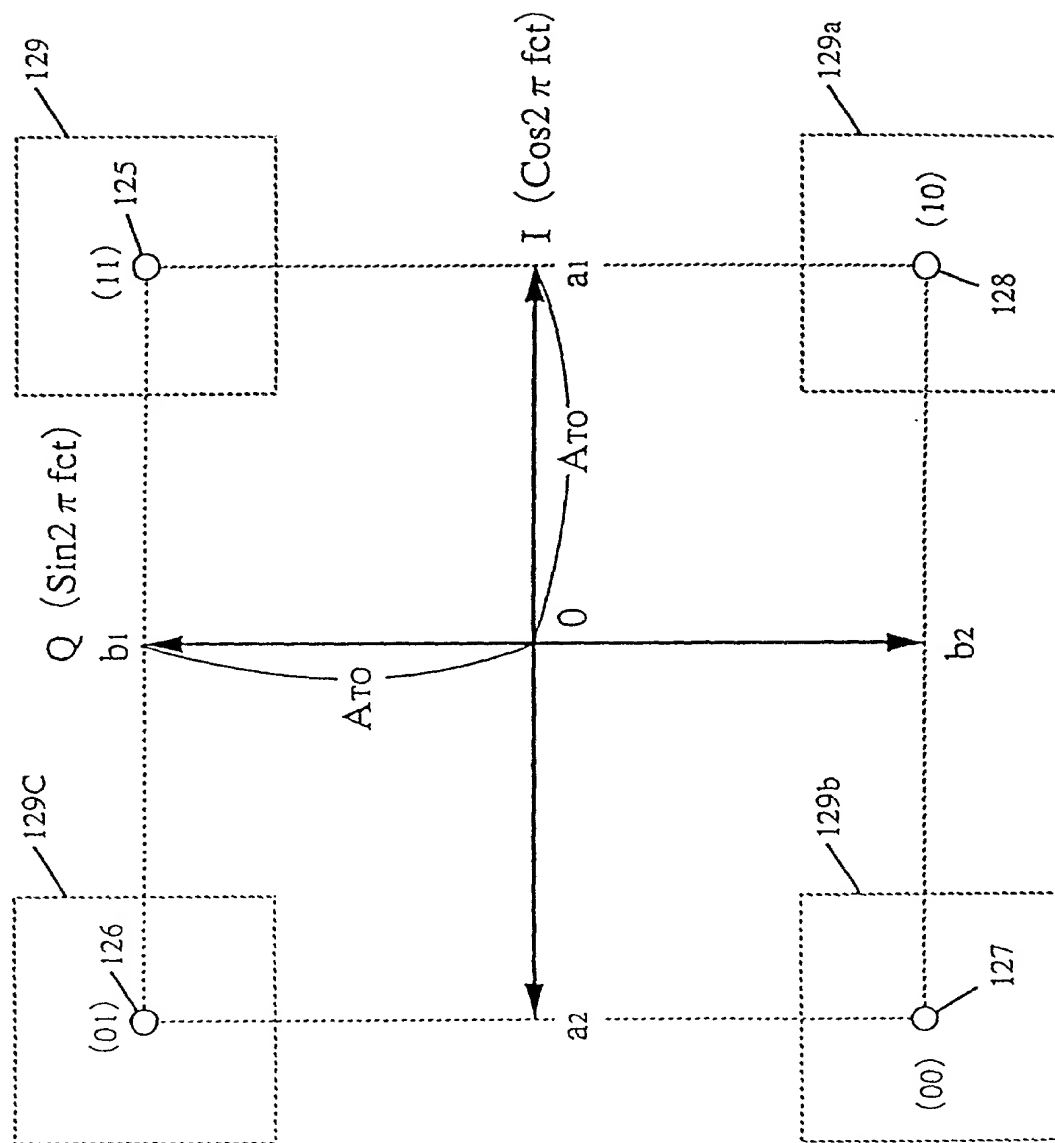


FIG. 19

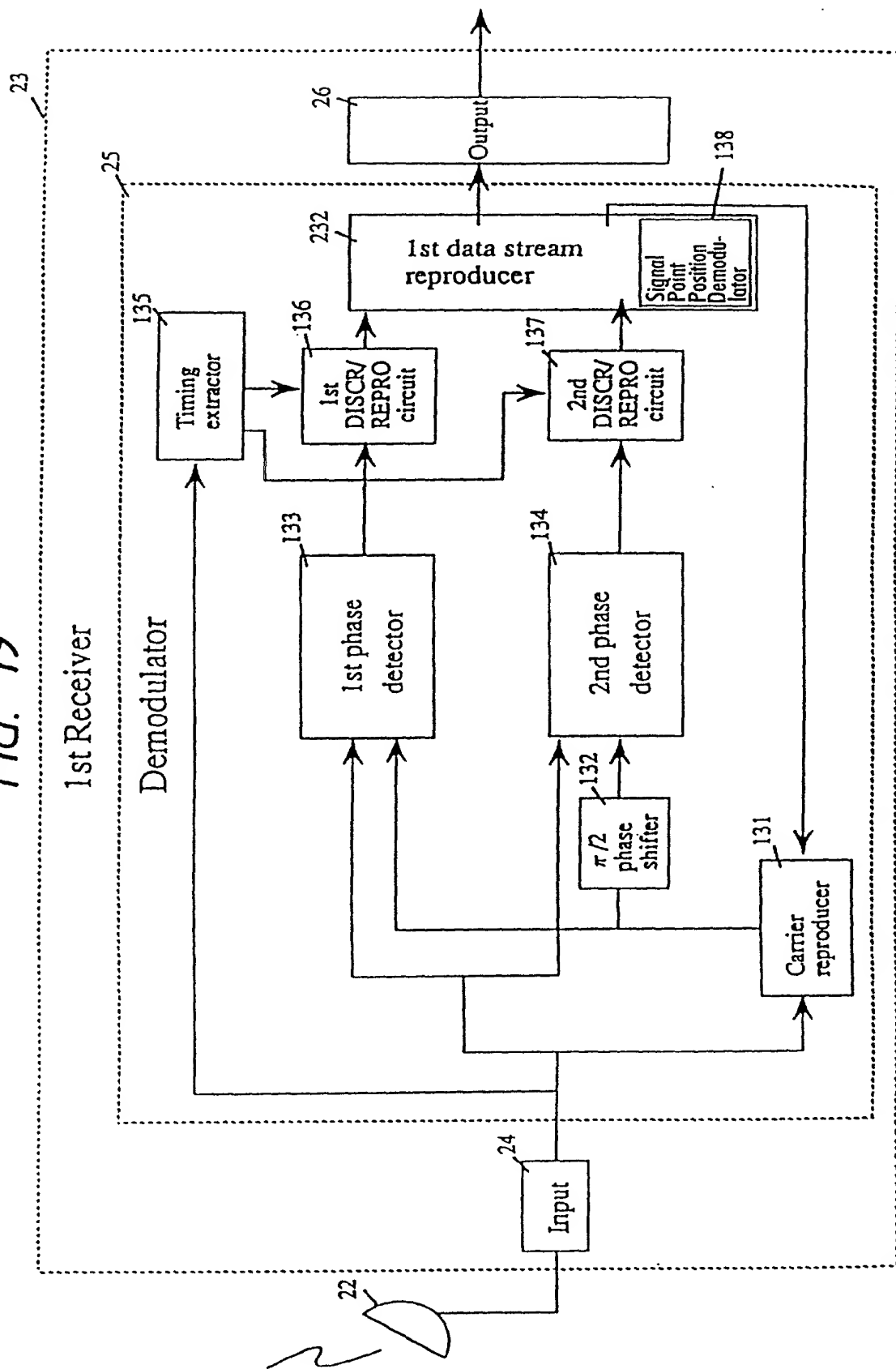


FIG. 20

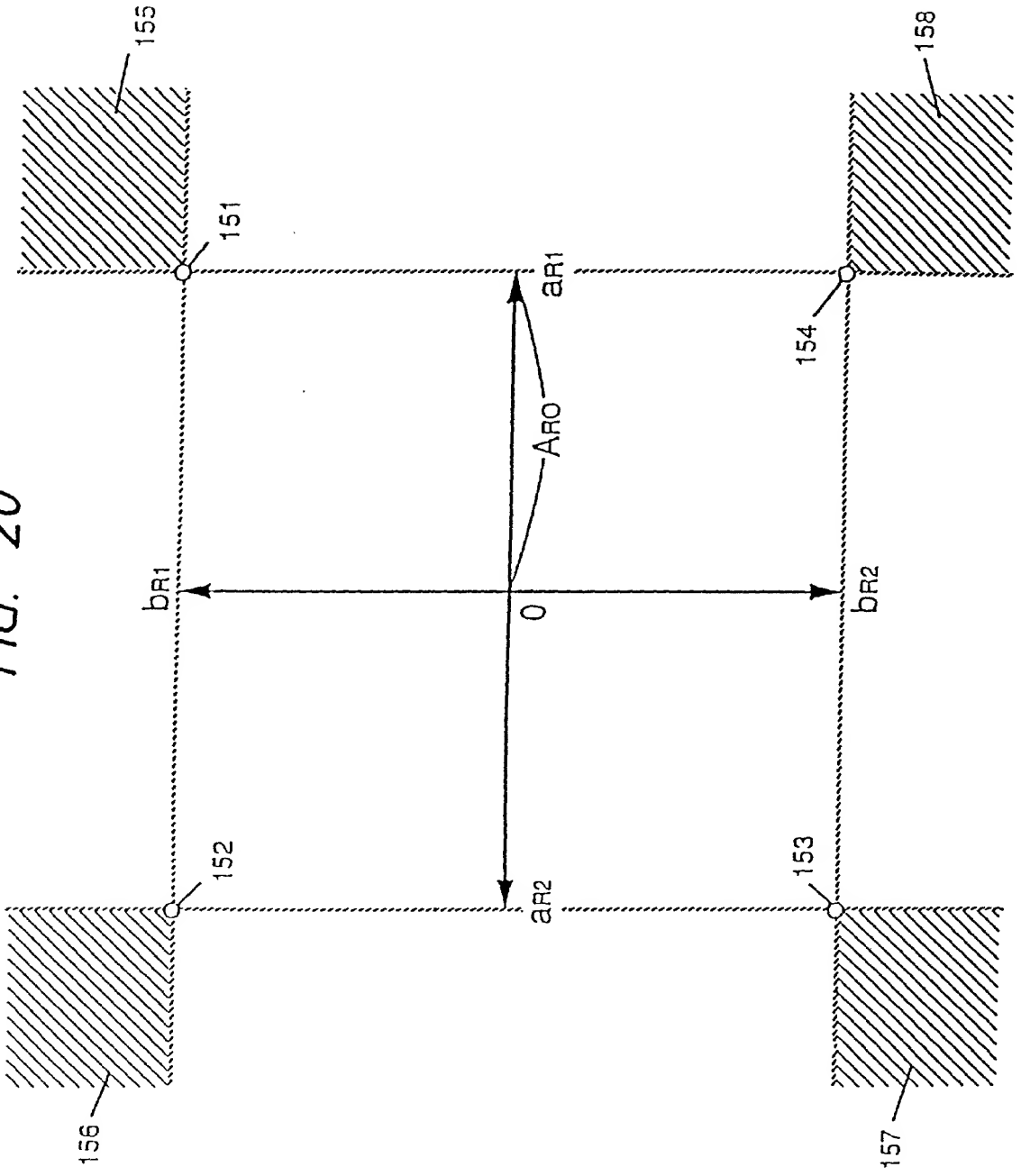


FIG. 21

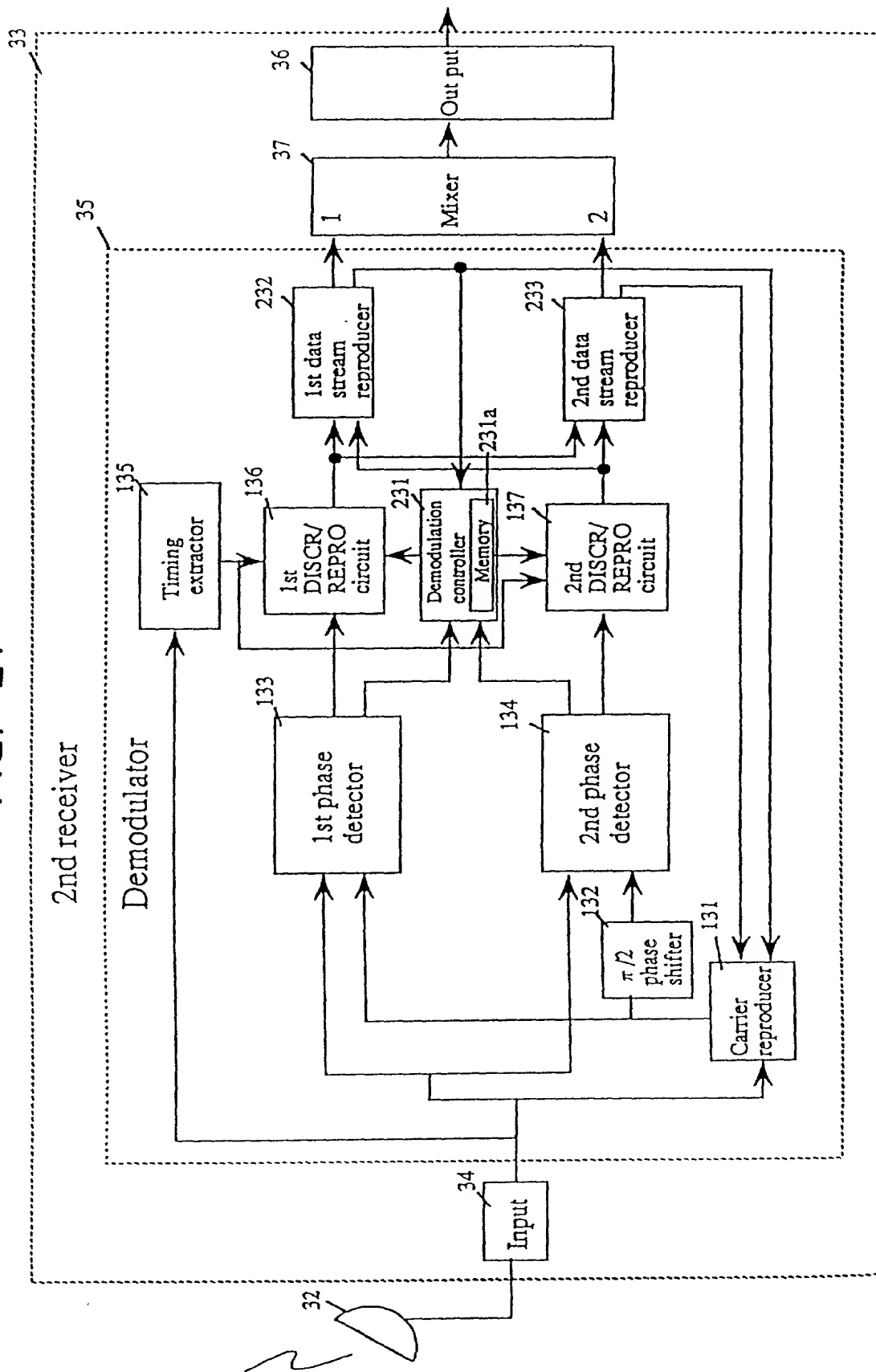


FIG. 22

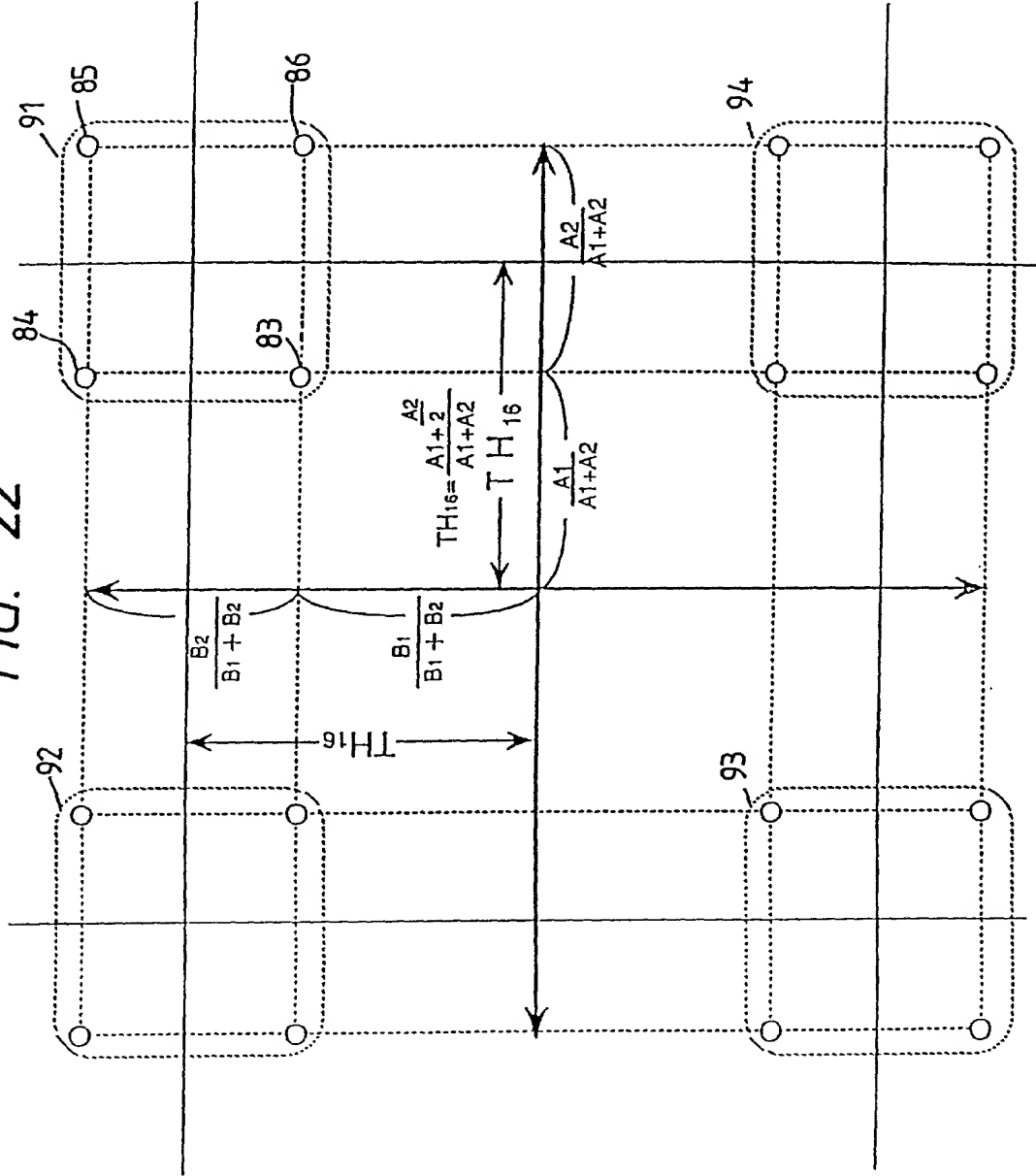


FIG. 23

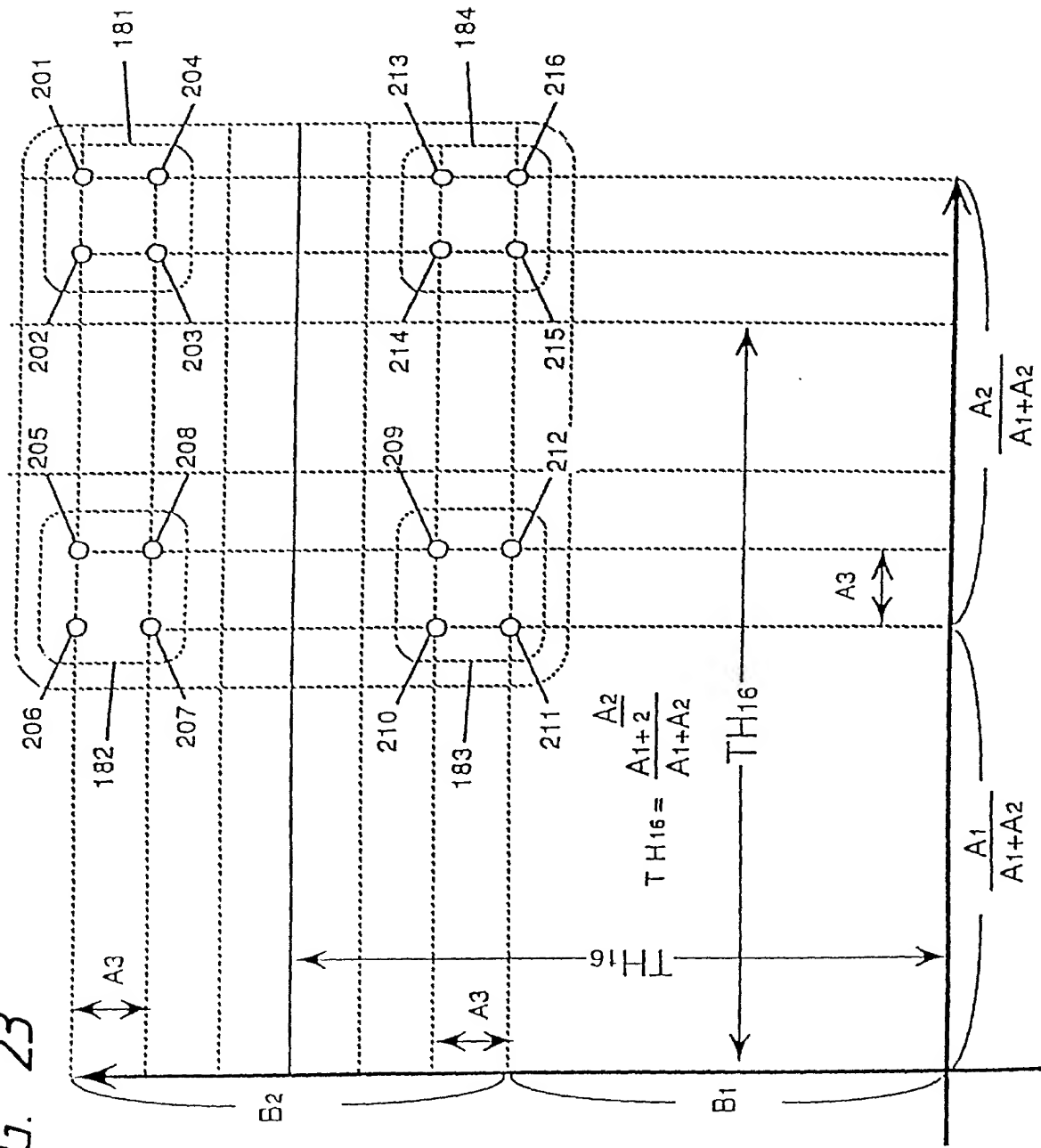


FIG. 24

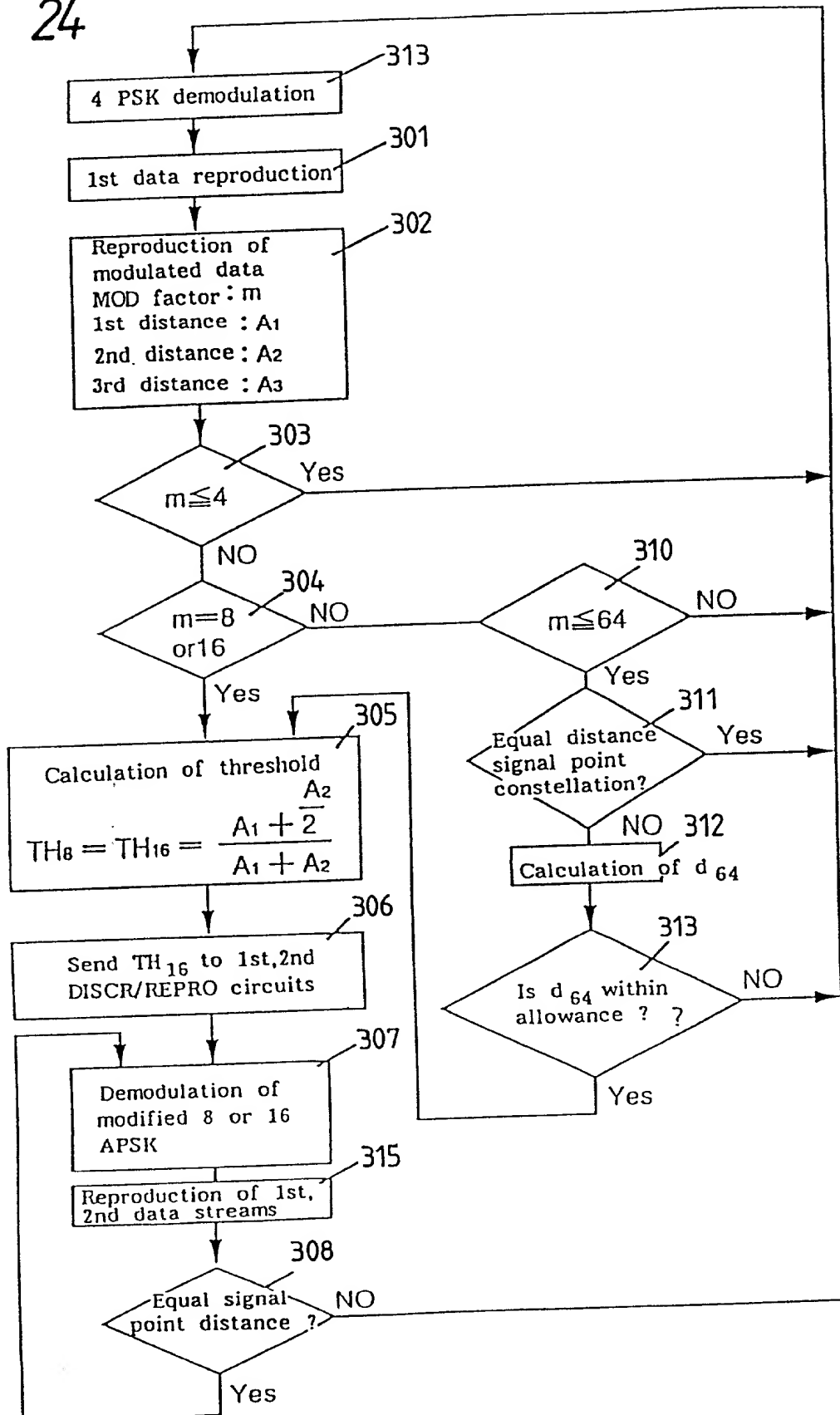


FIG. 25(a)

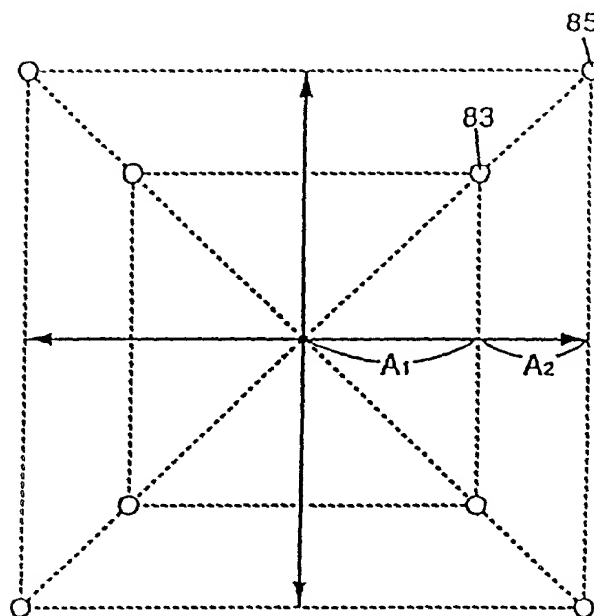


FIG. 25(b)

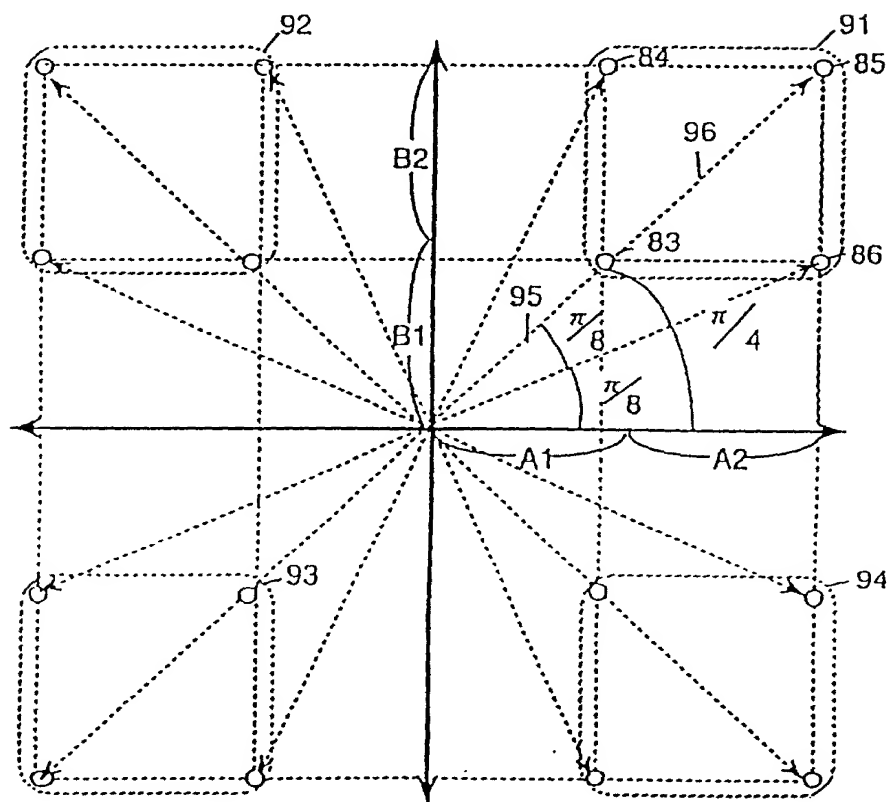


FIG. 26

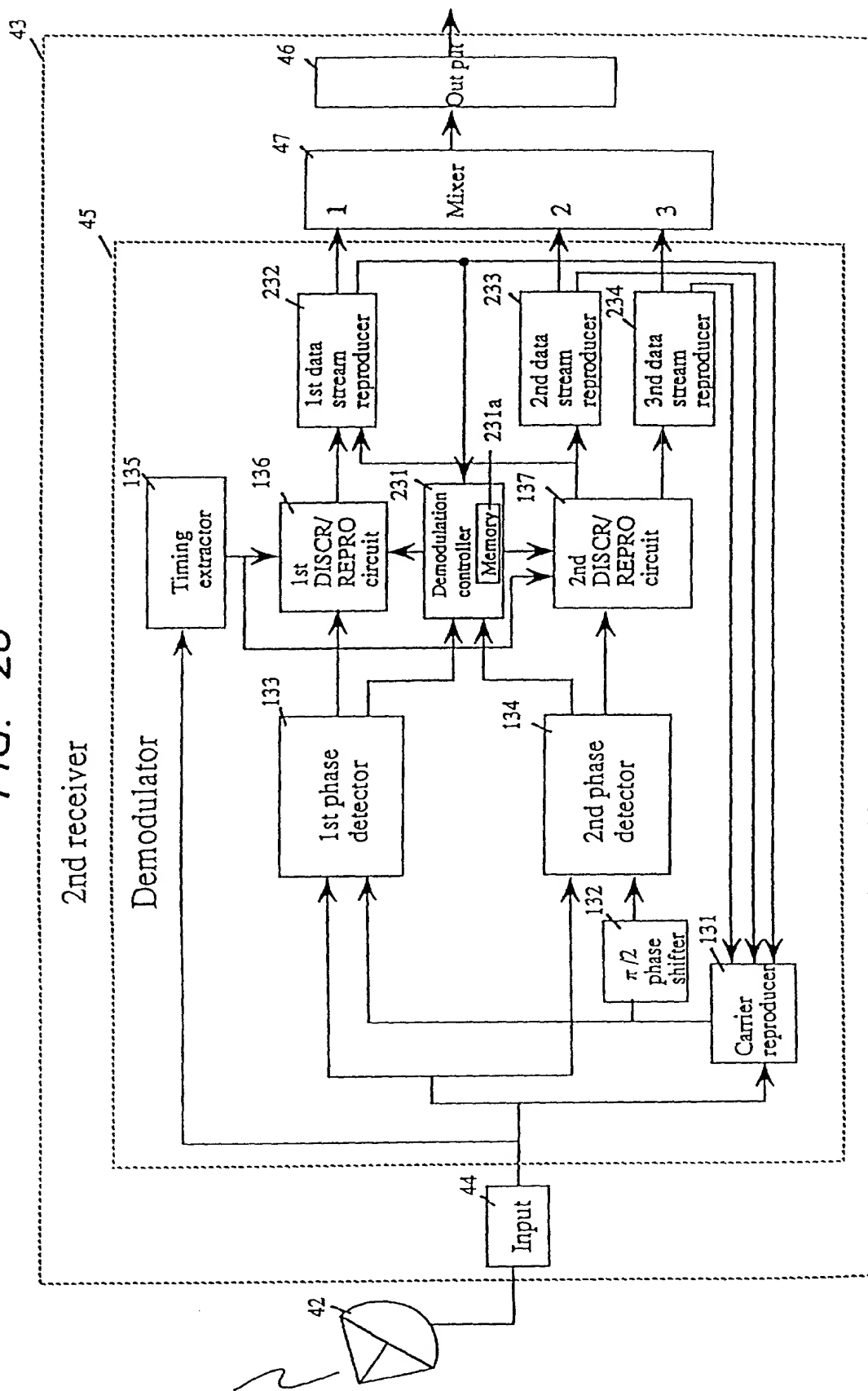


FIG. 27

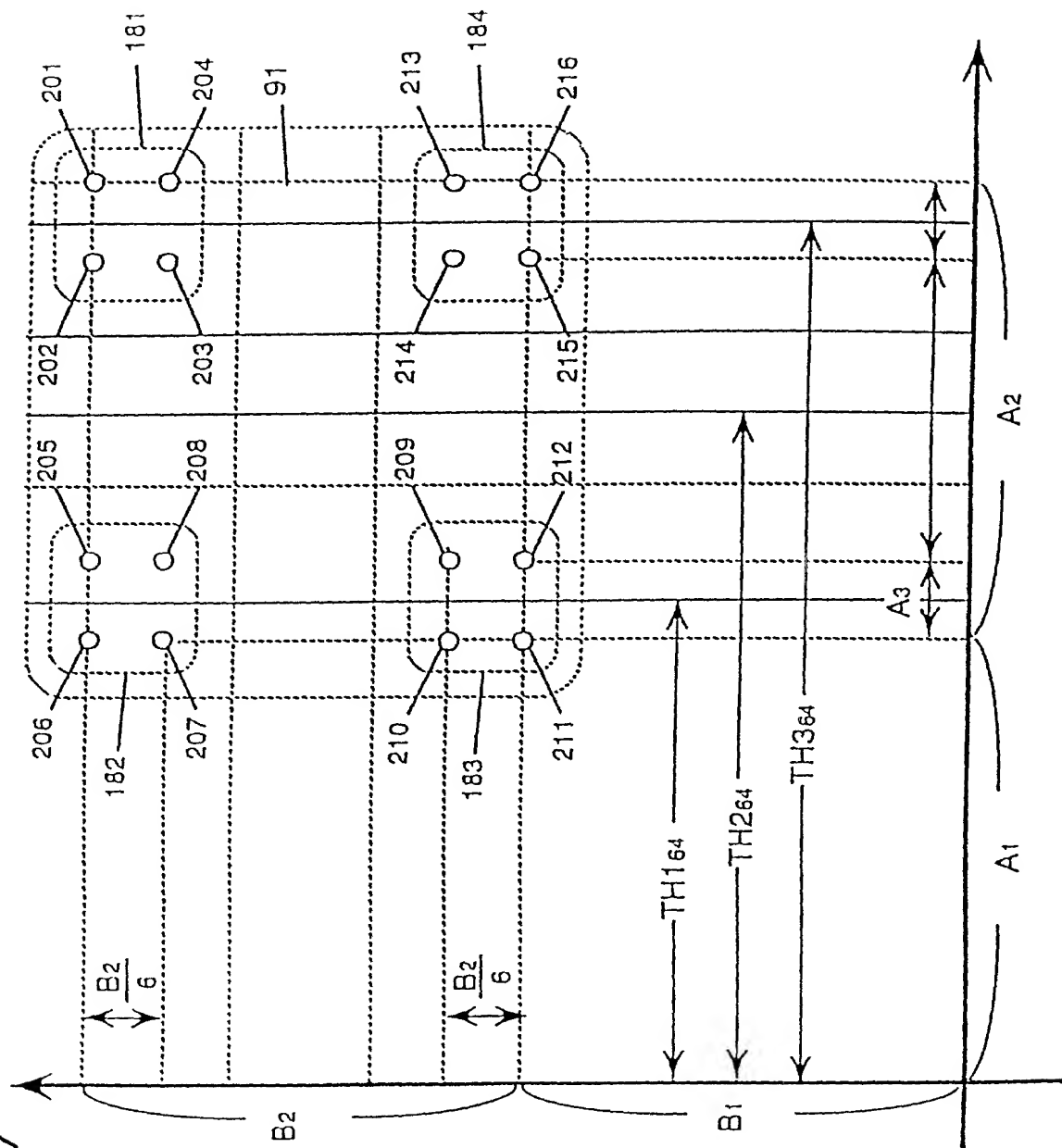
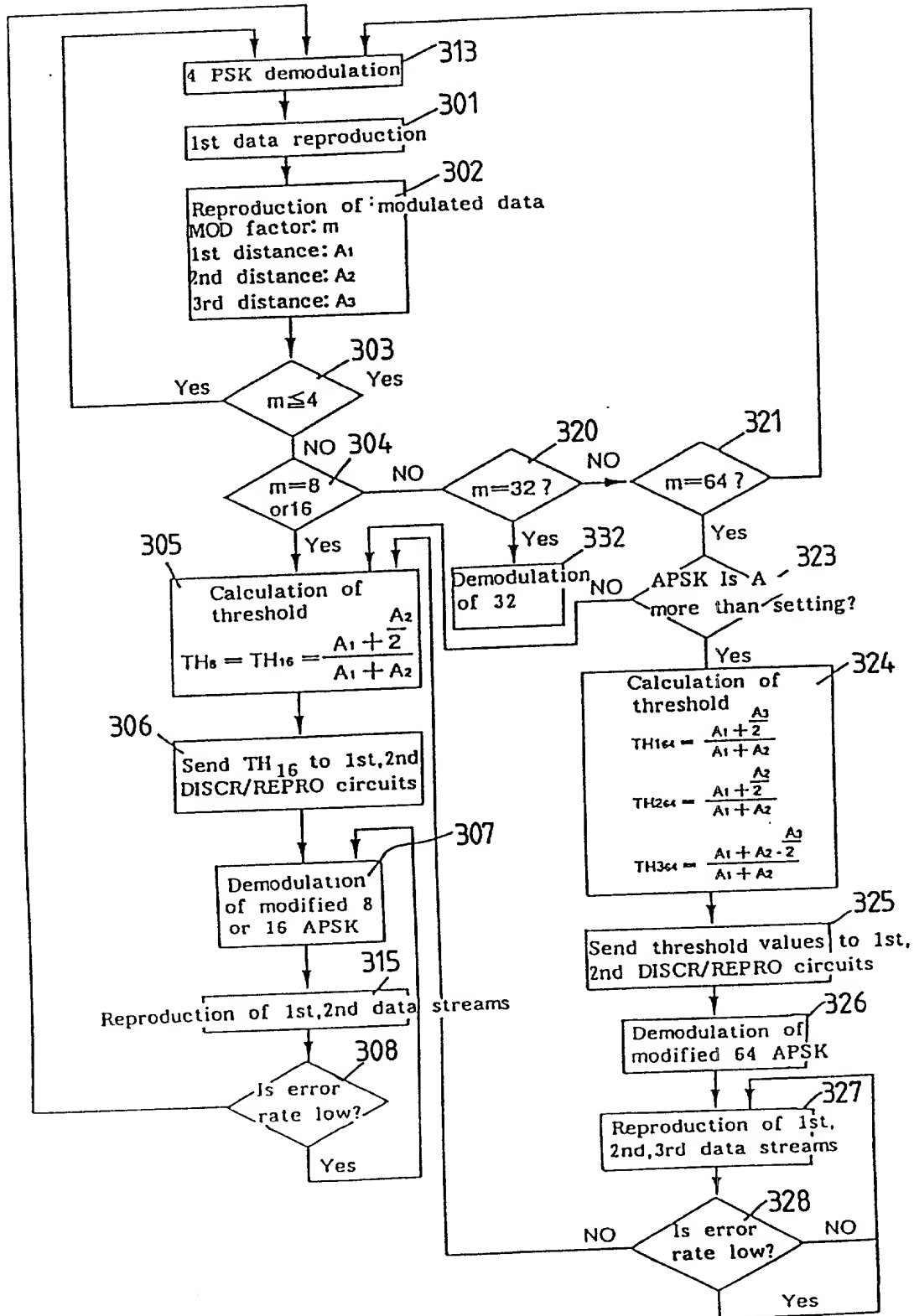


FIG. 28



00907 9459/60

FIG. 29

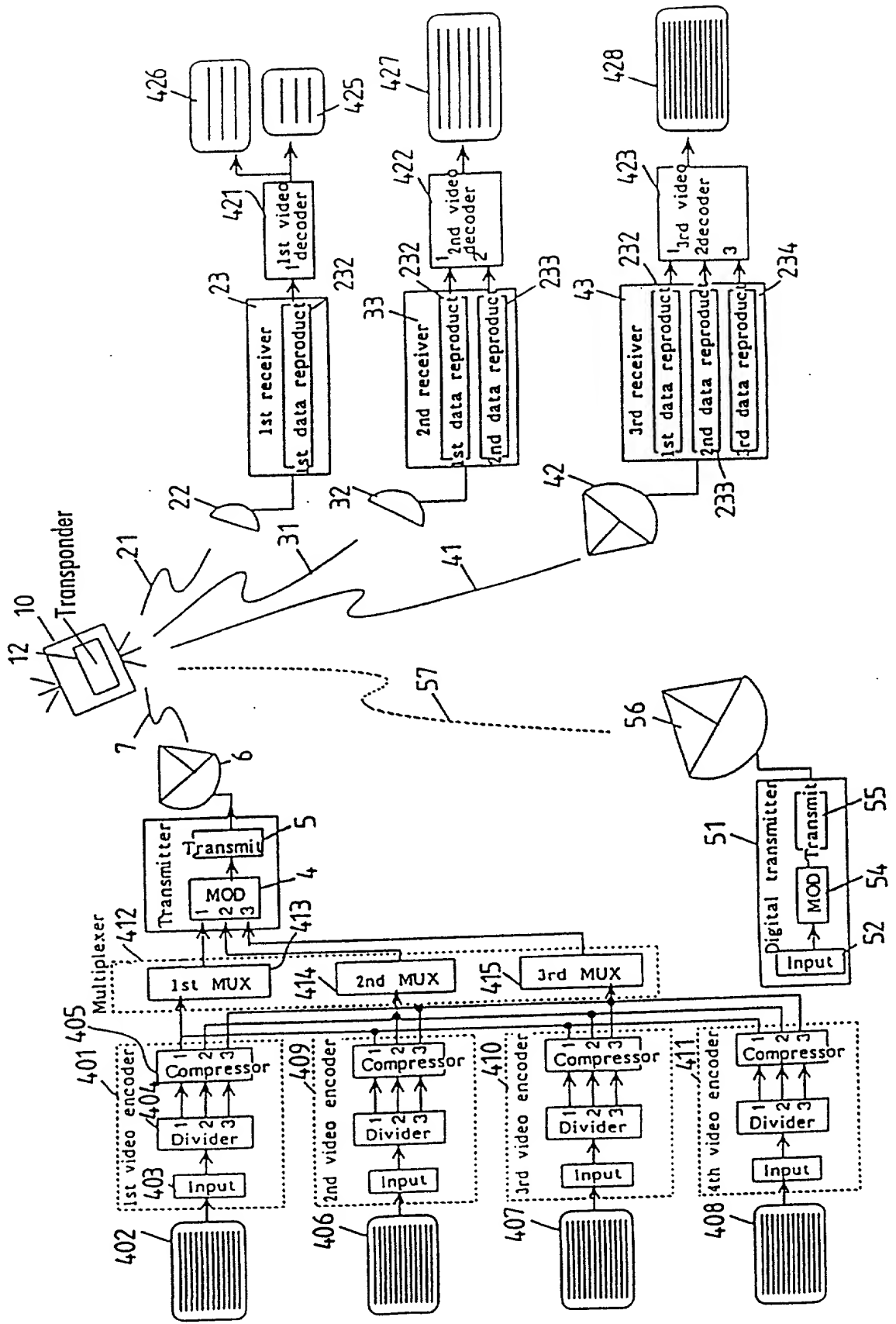


FIG. 30

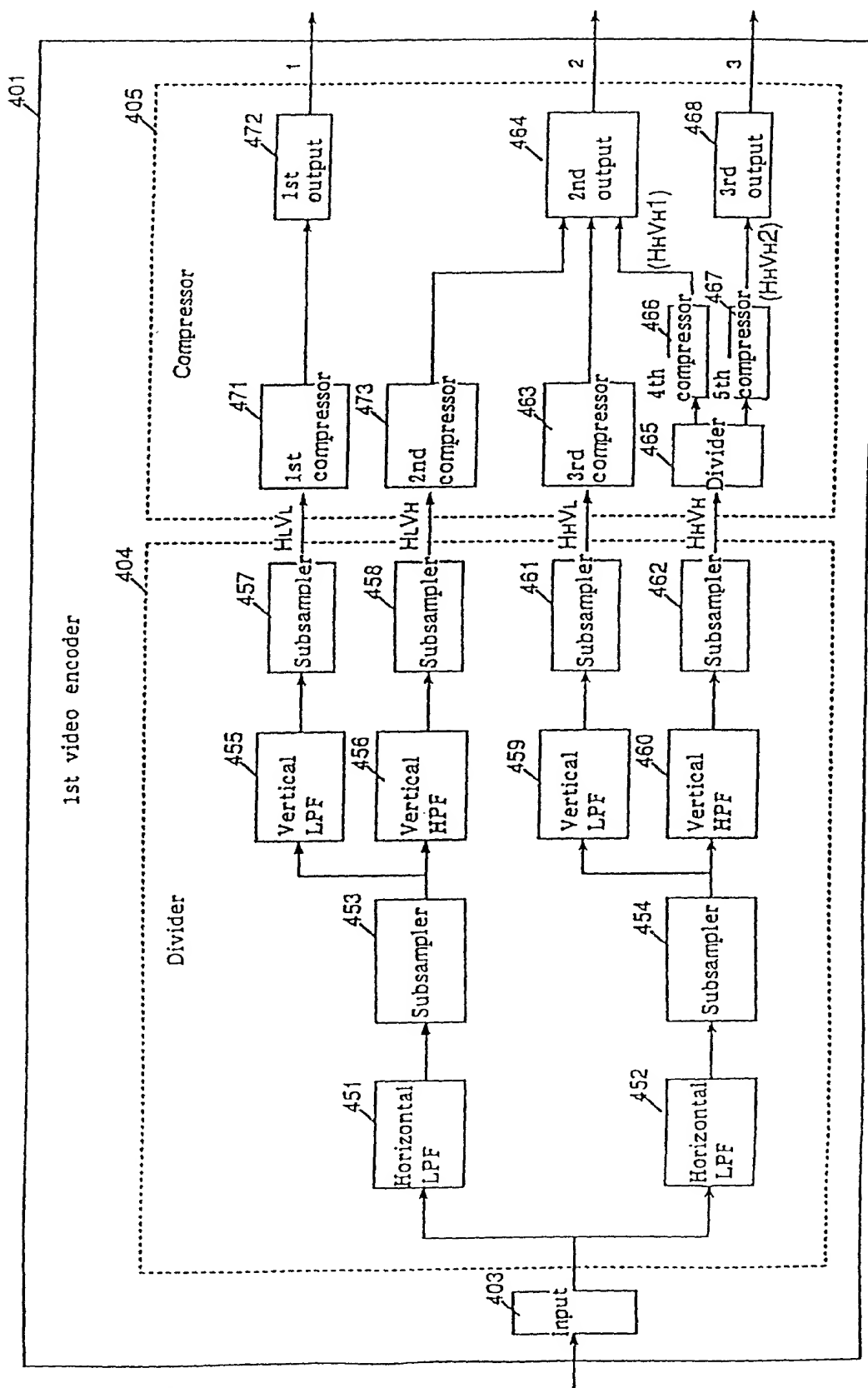


FIG. 31

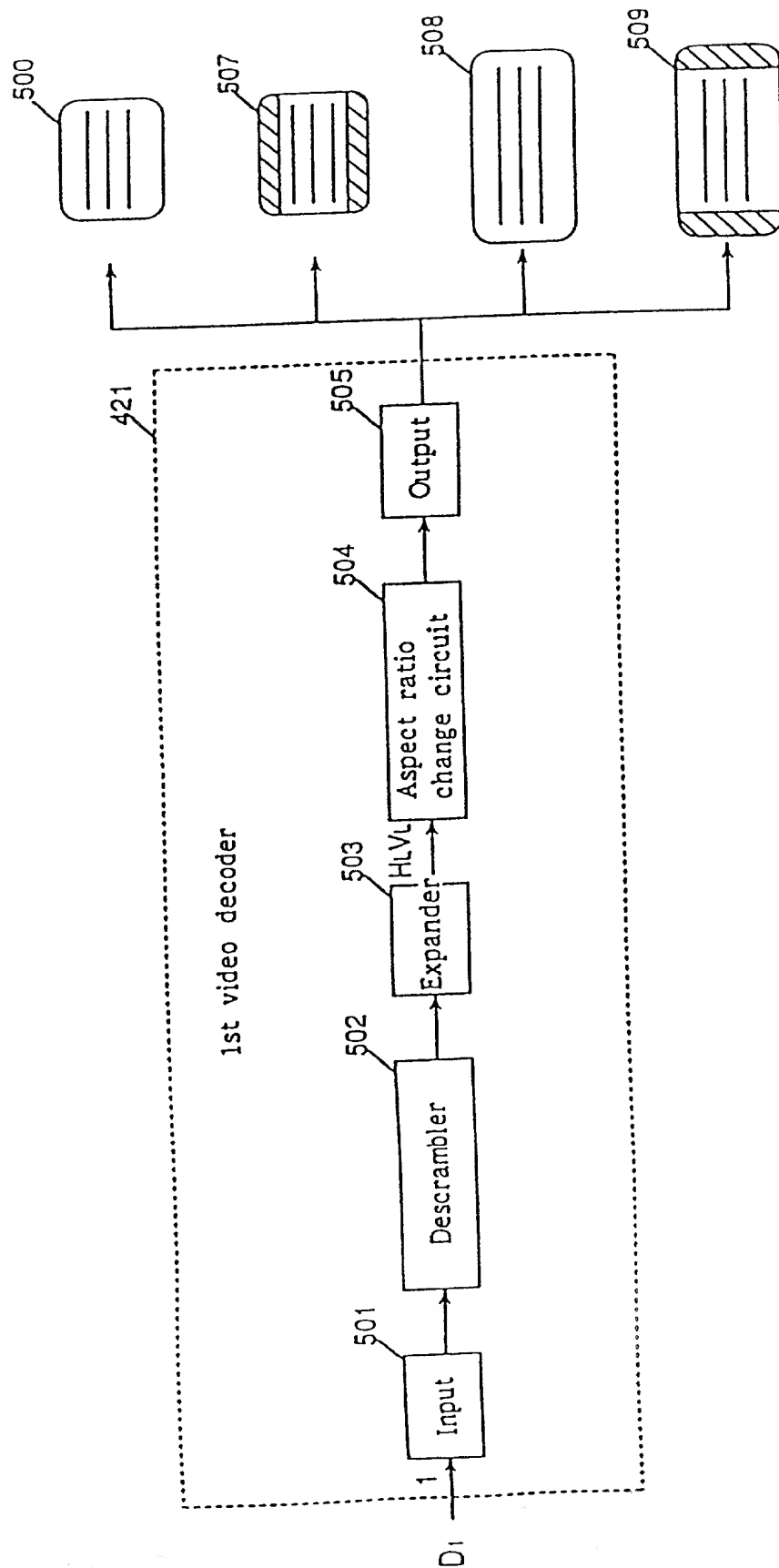


FIG. 32

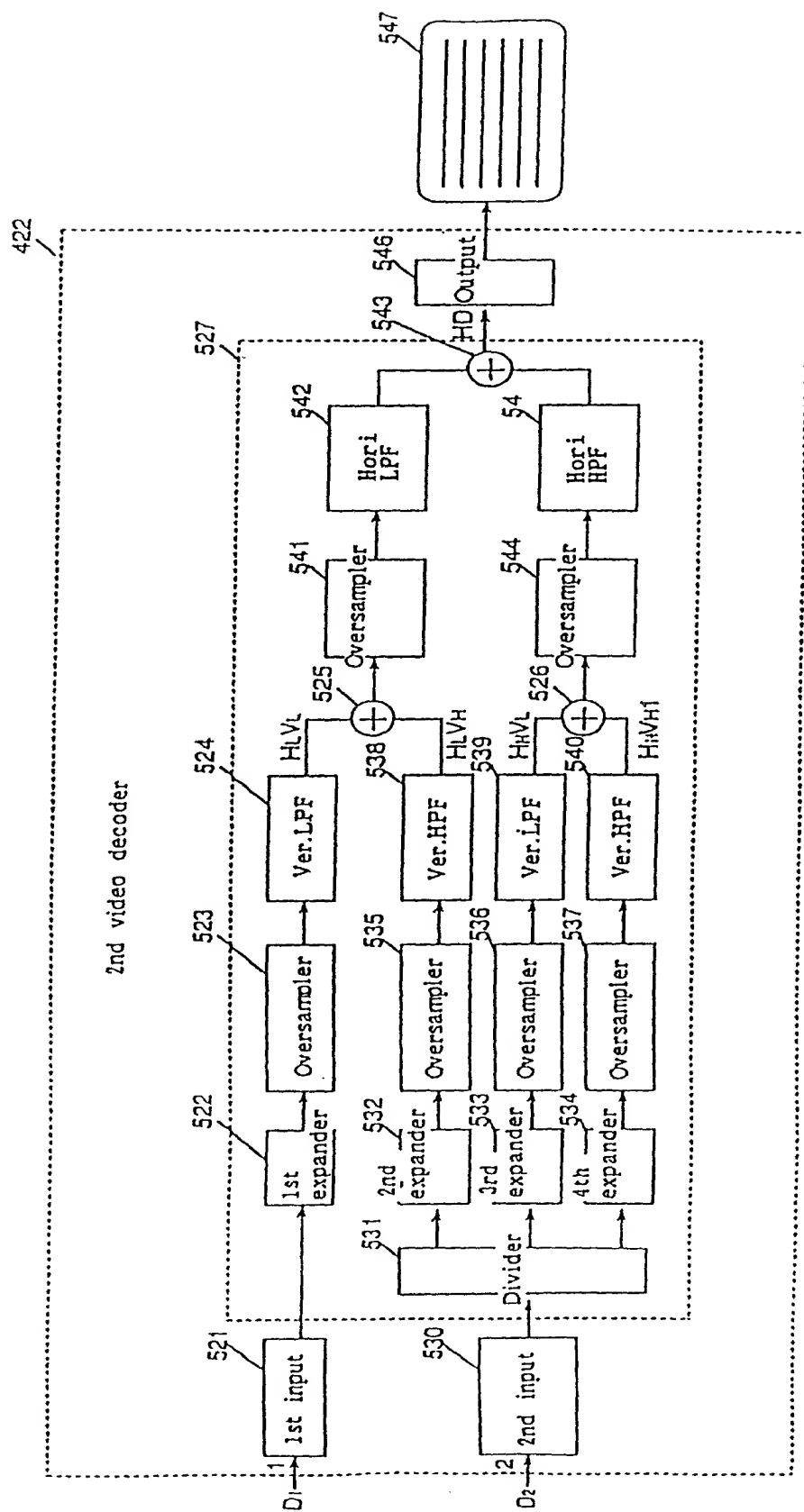


FIG. 33

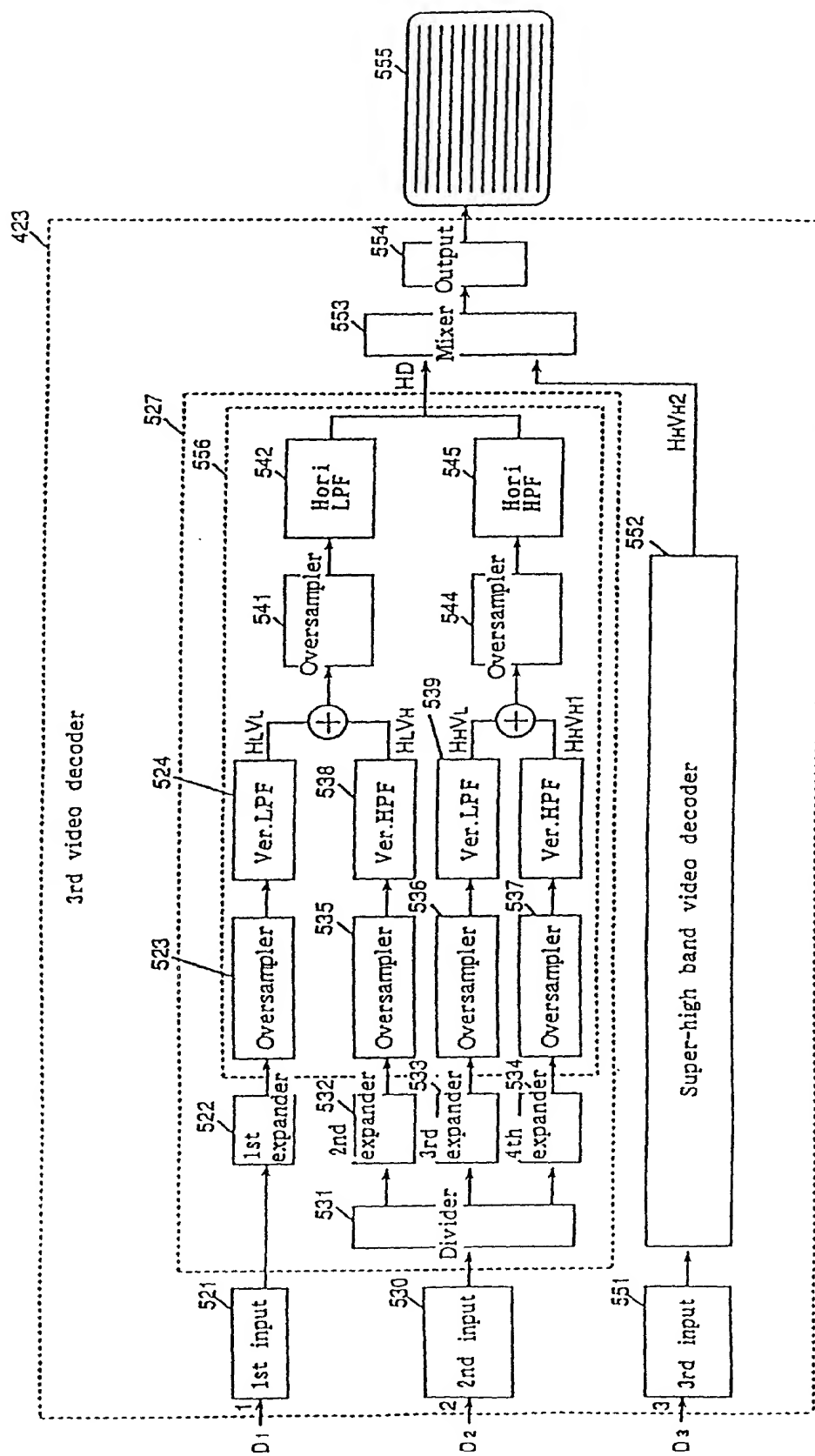


FIG. 34

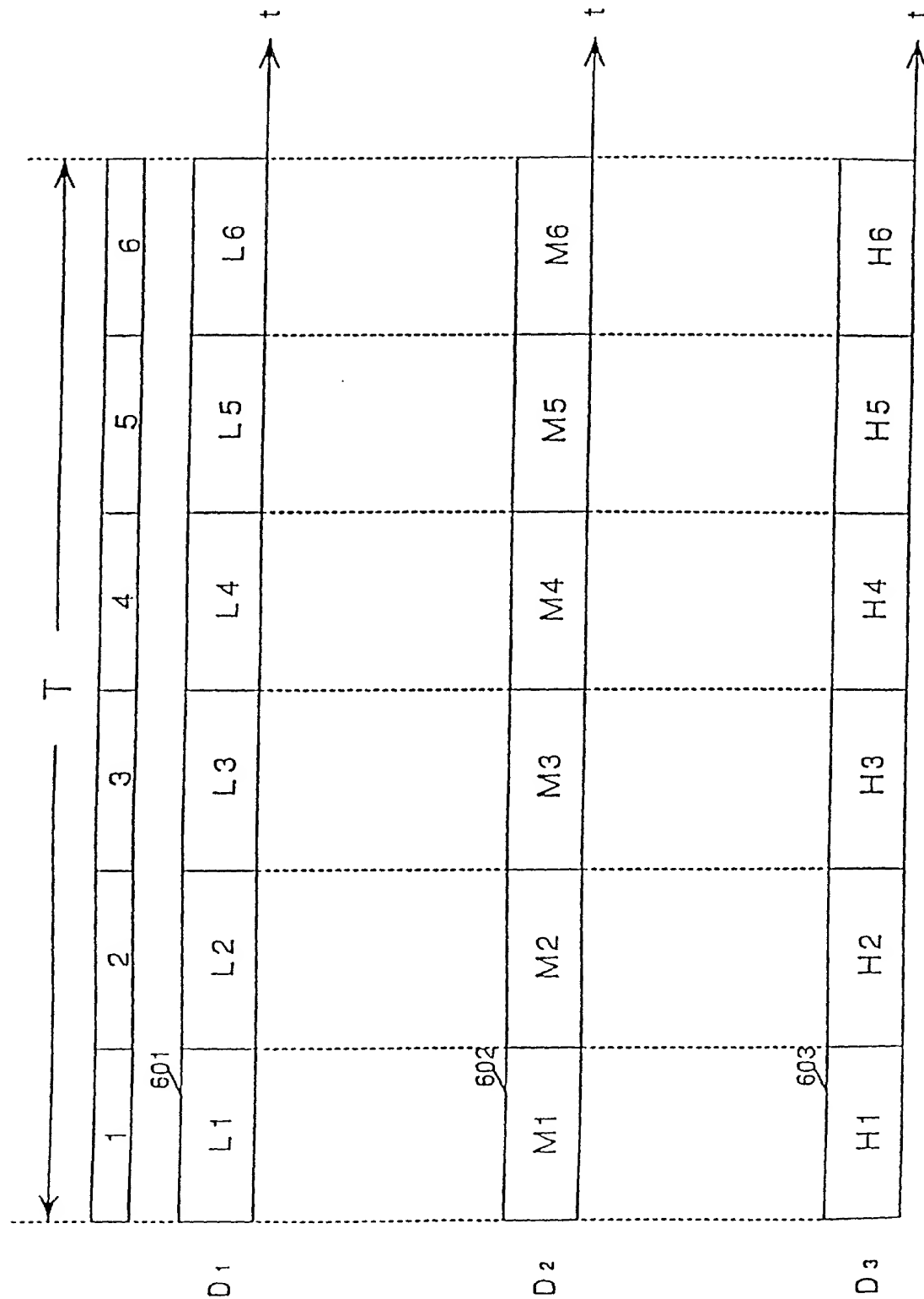


FIG. 35

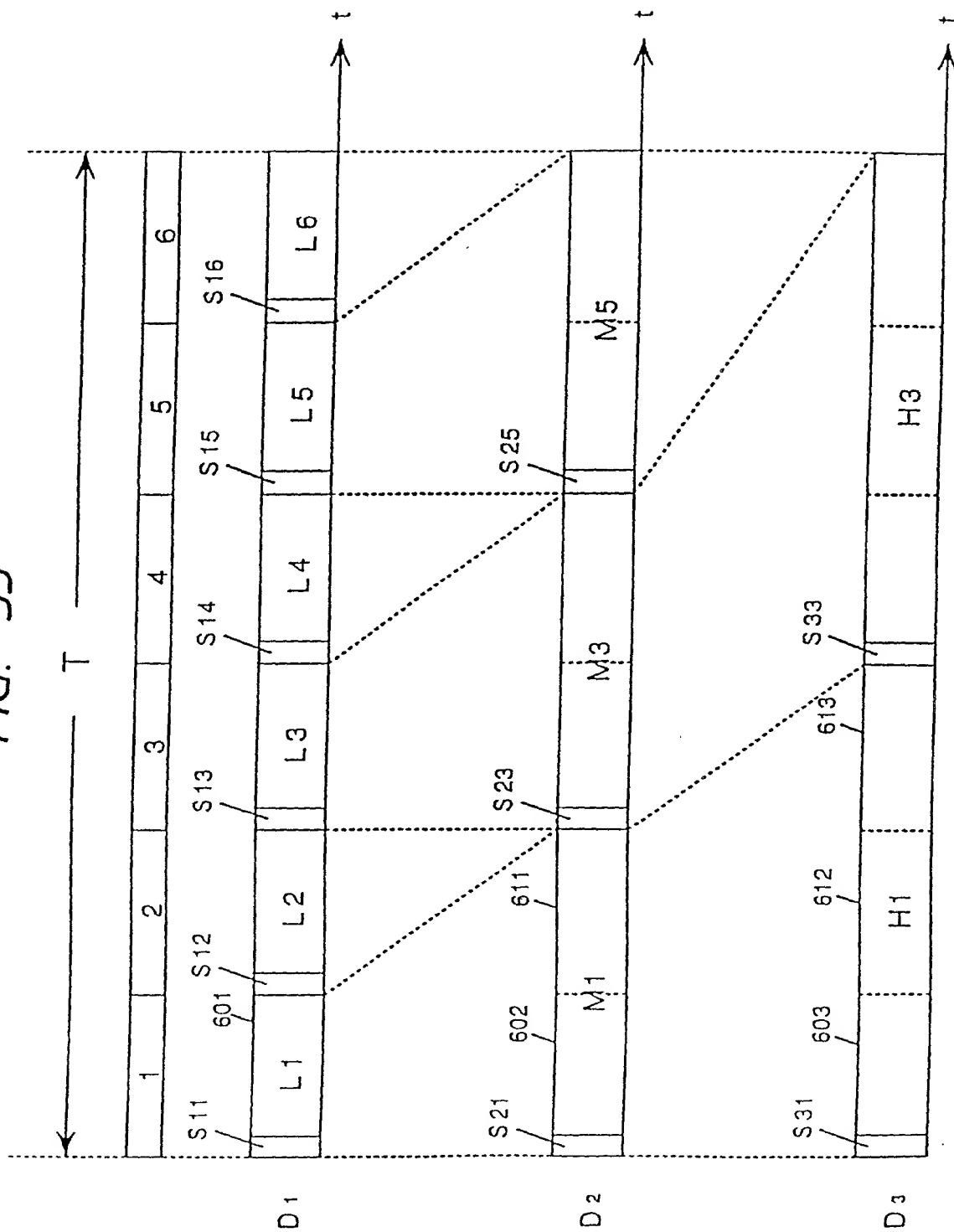


FIG. 36

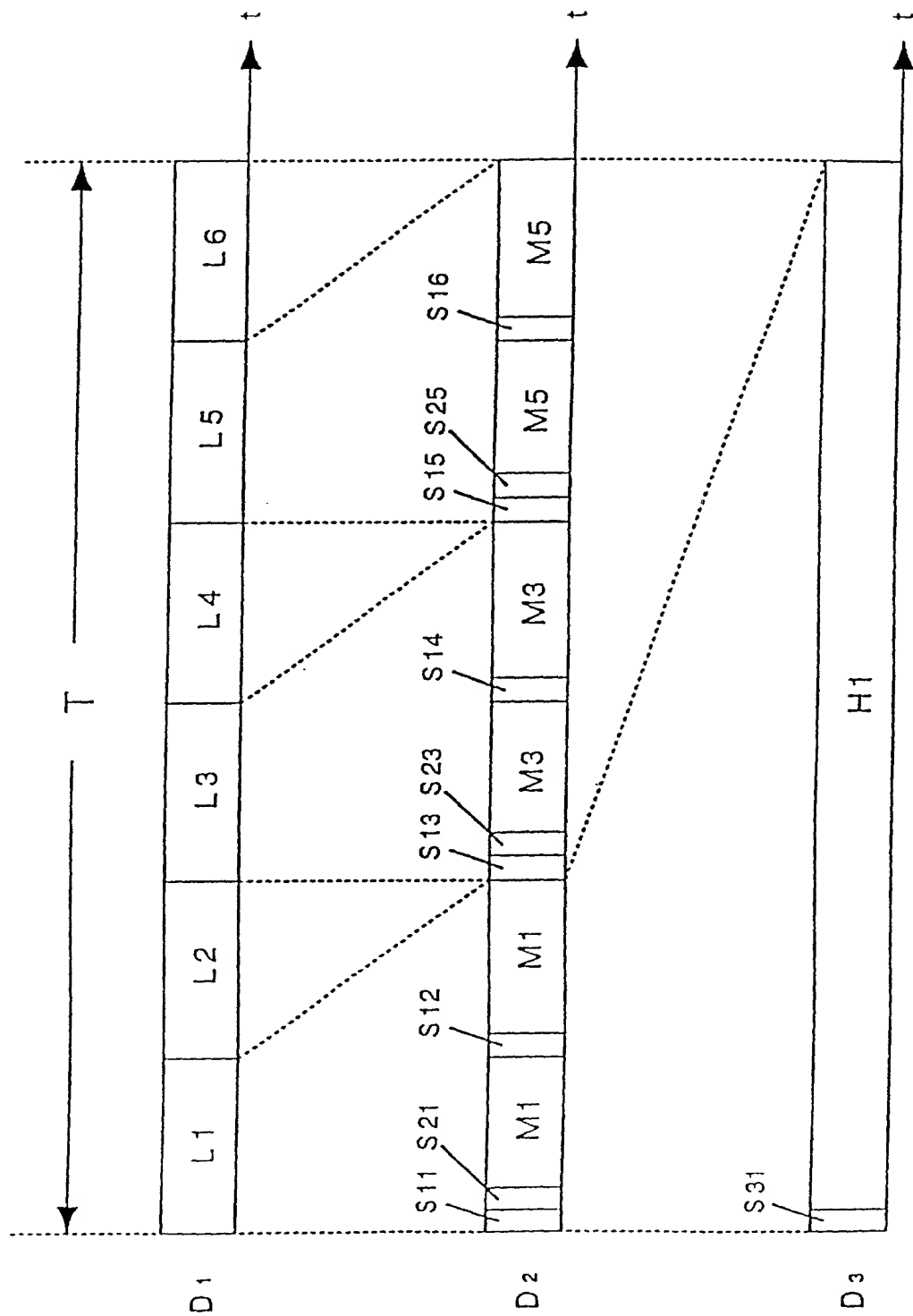


FIG. 37

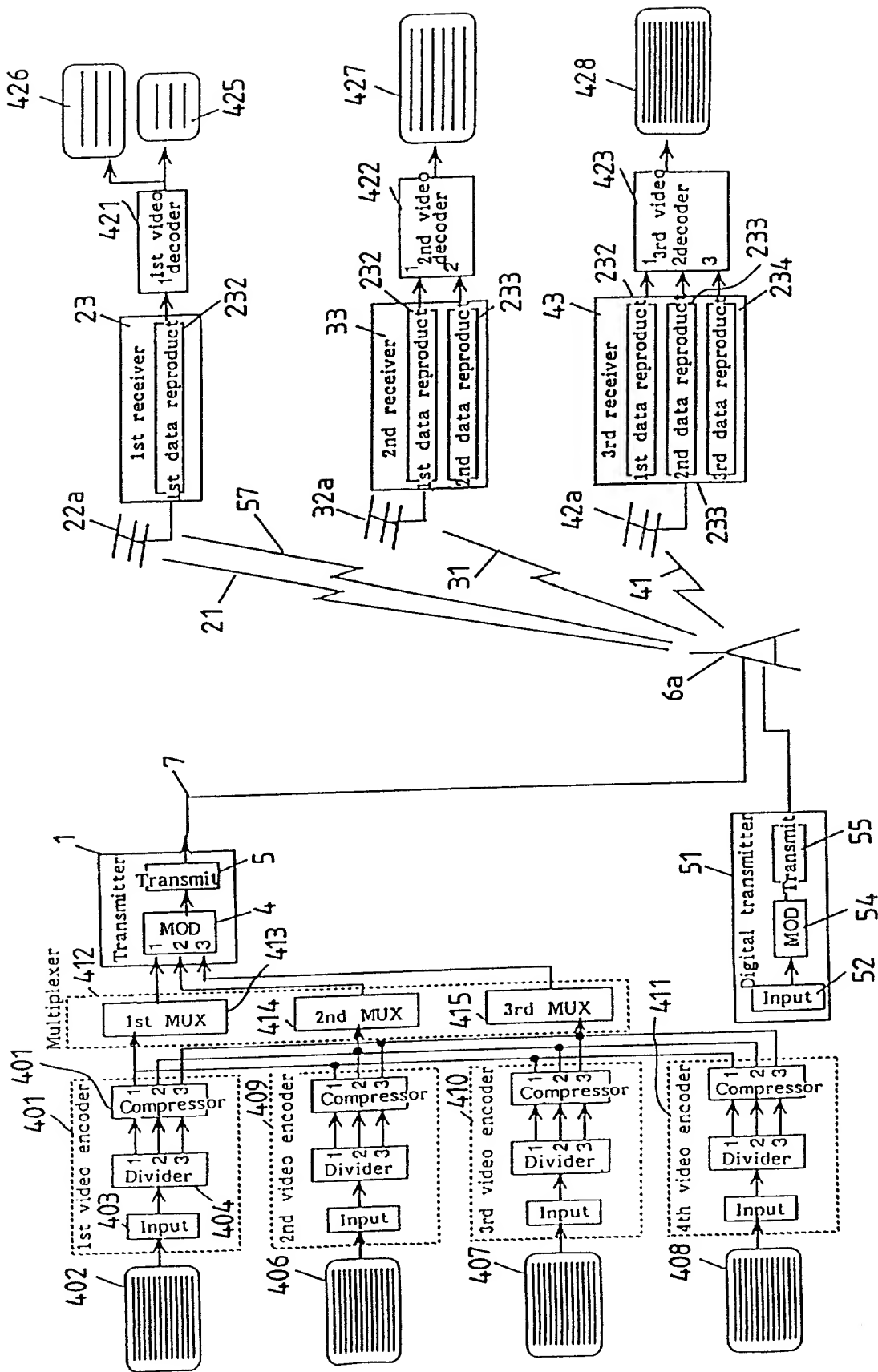
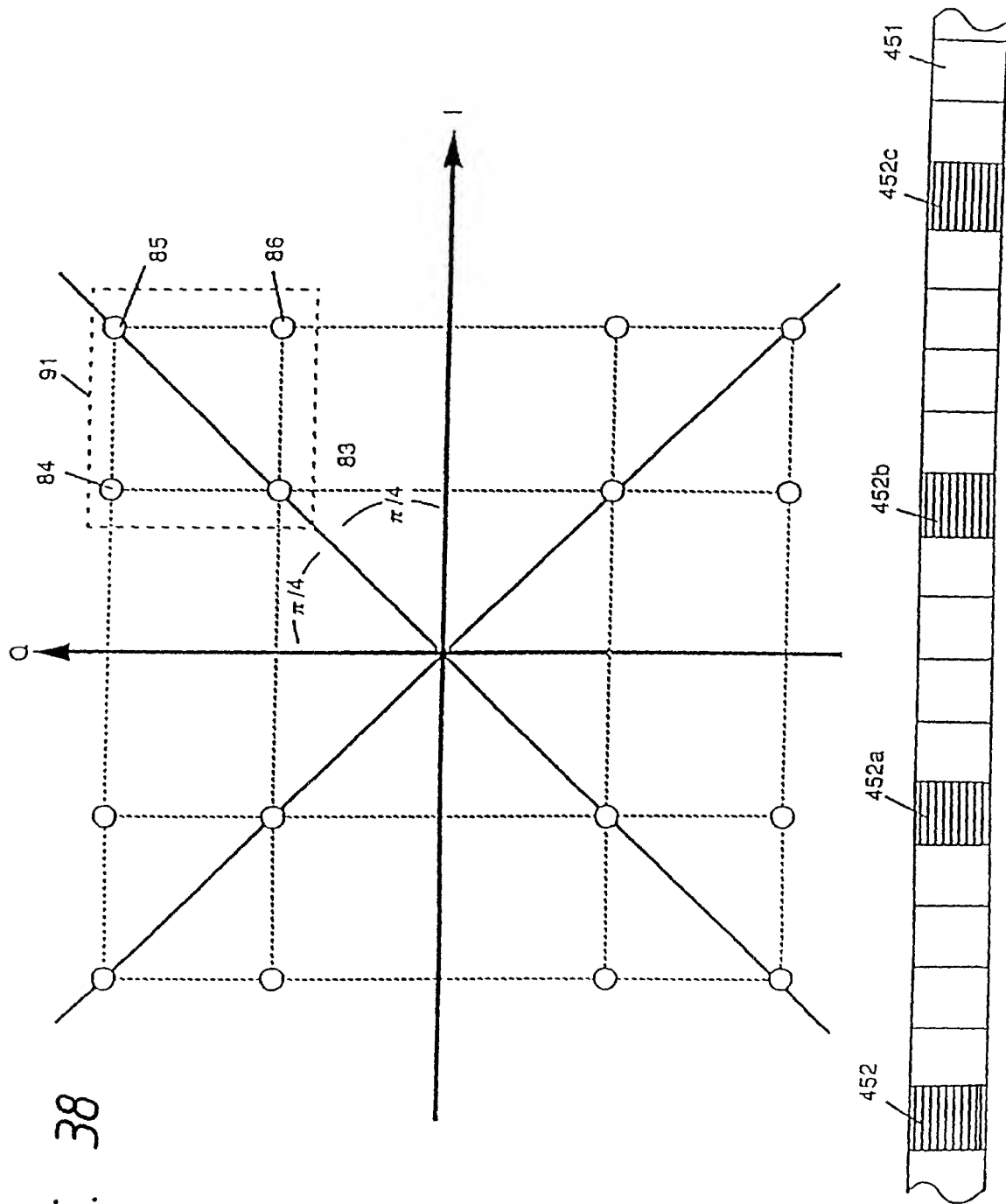
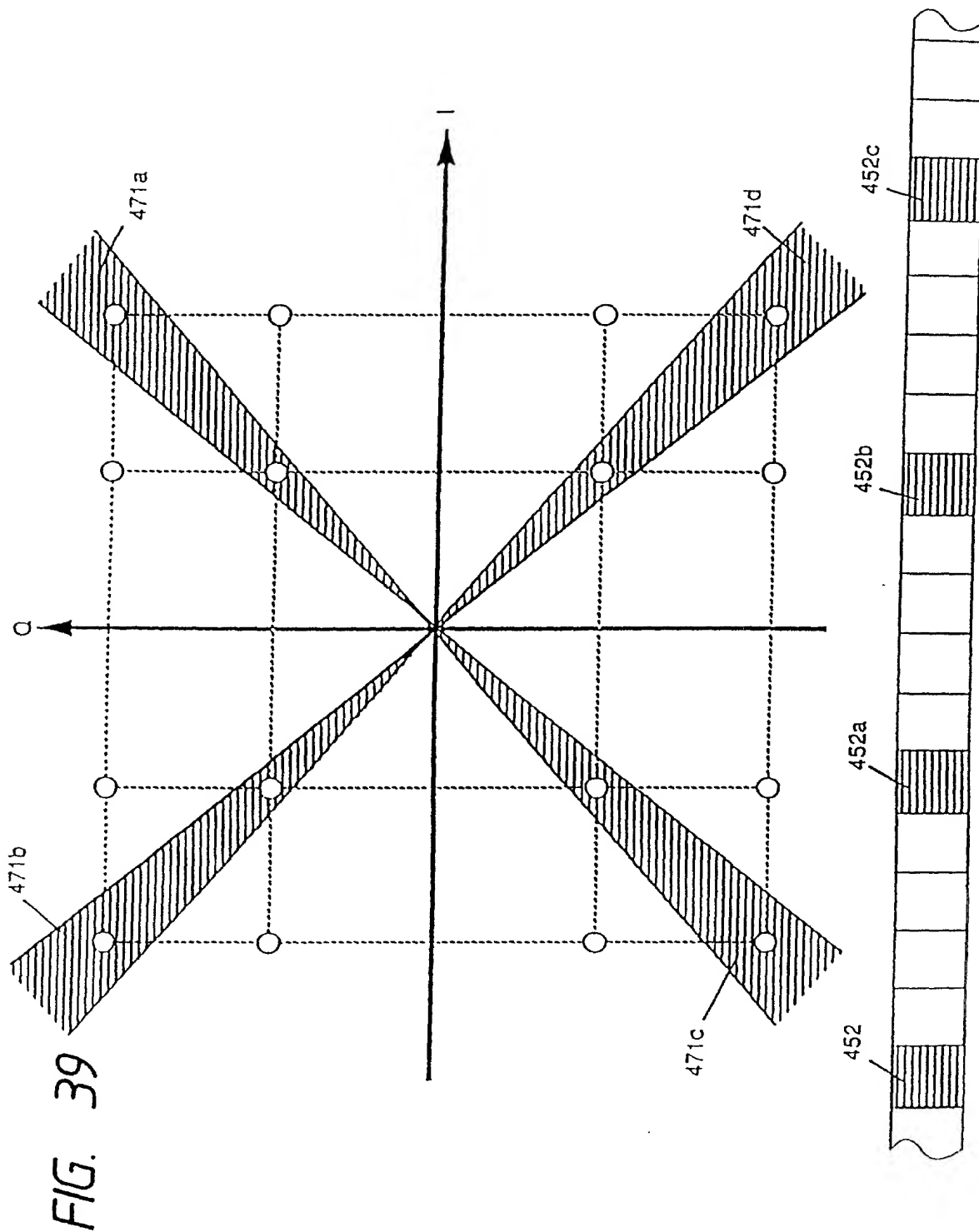


FIG. 38





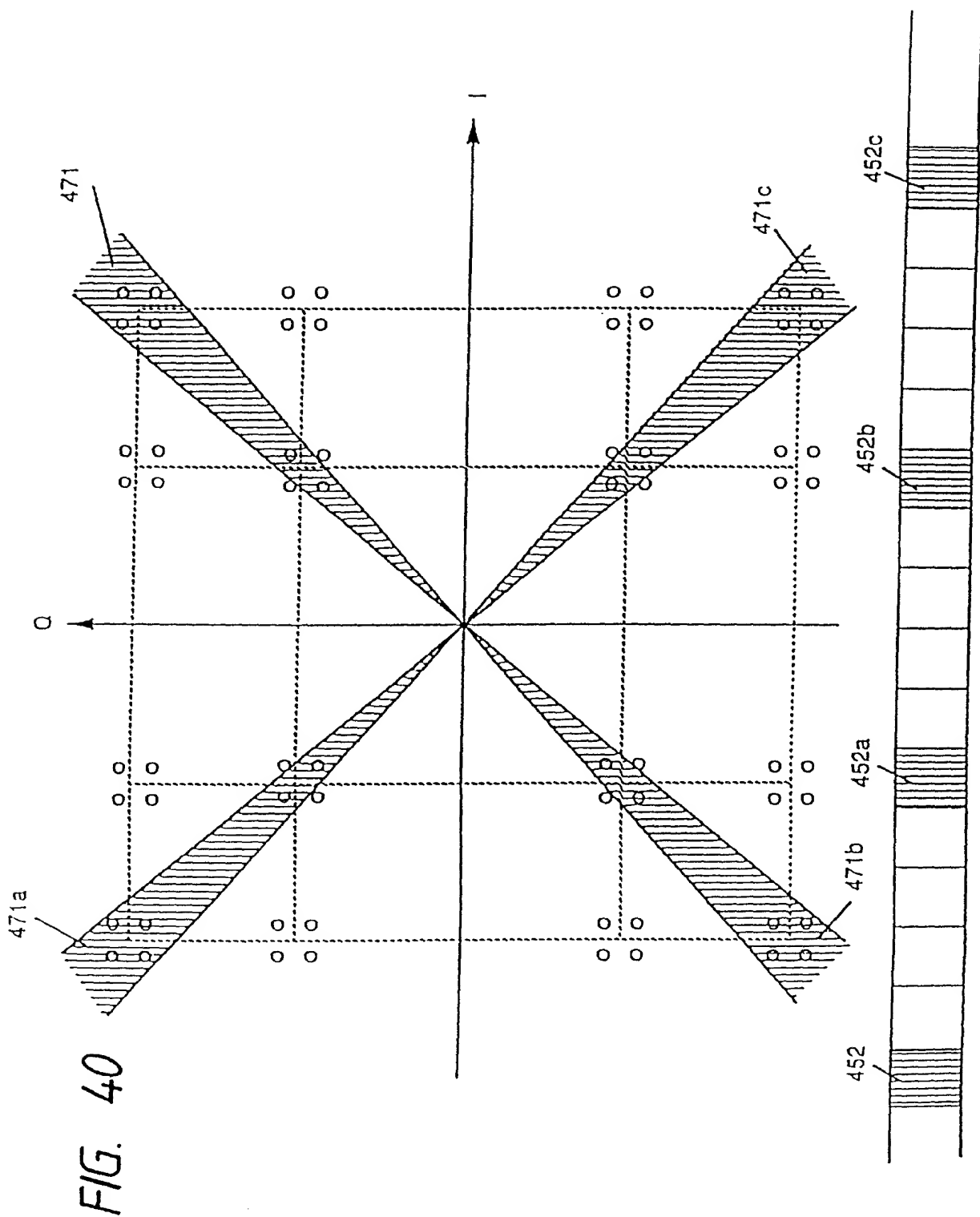


FIG. 41

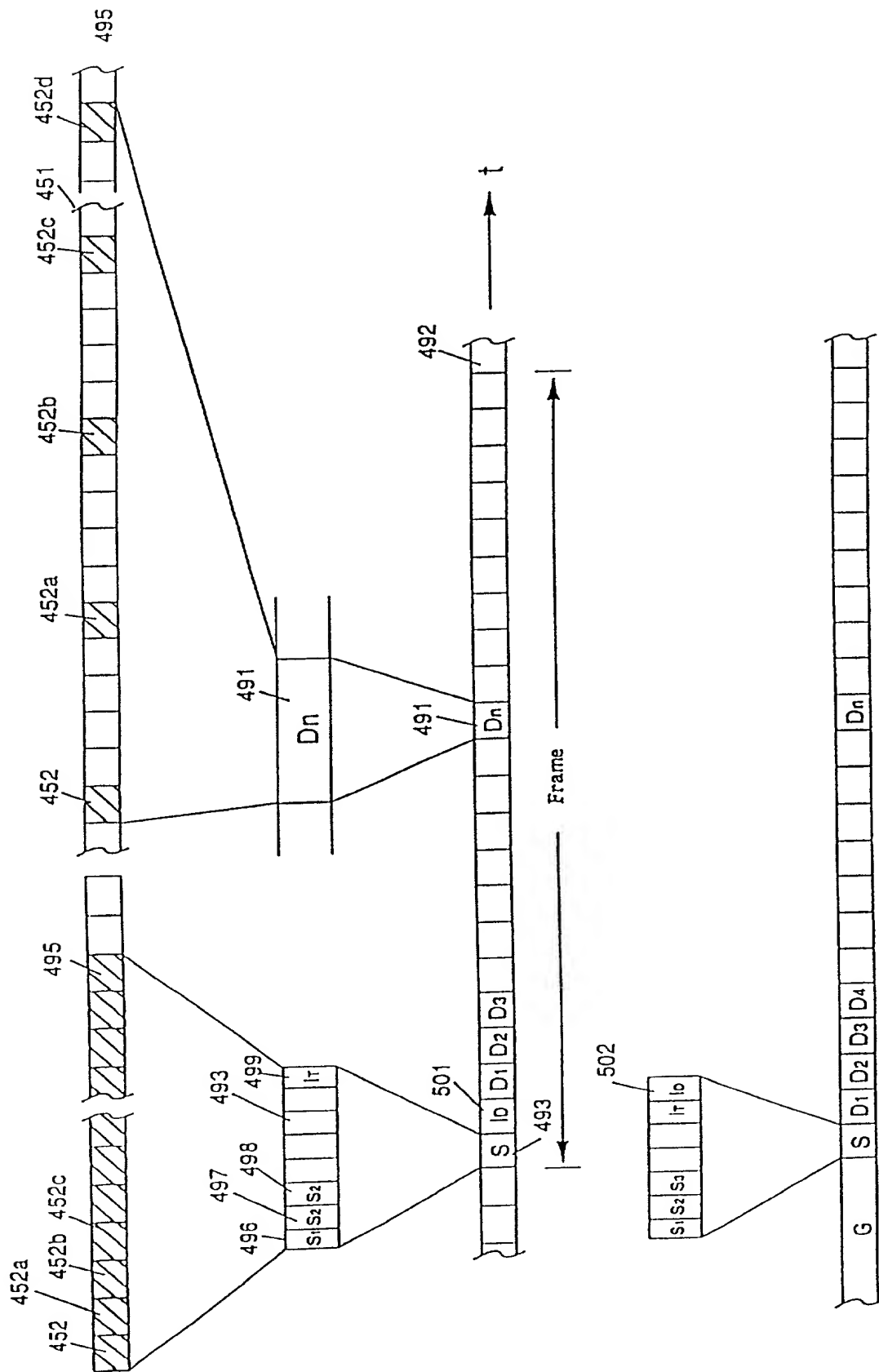


FIG. 42

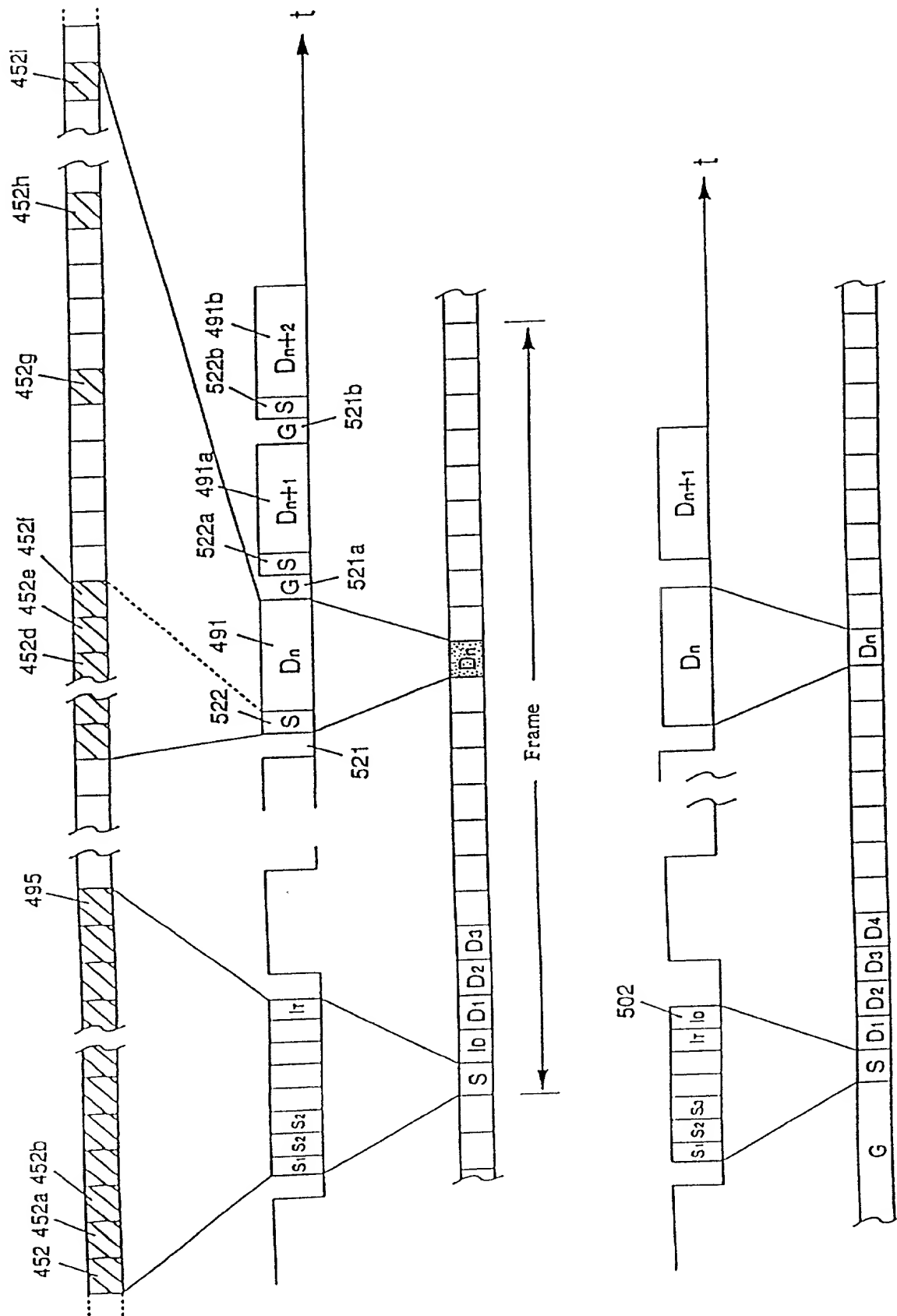


FIG. 43

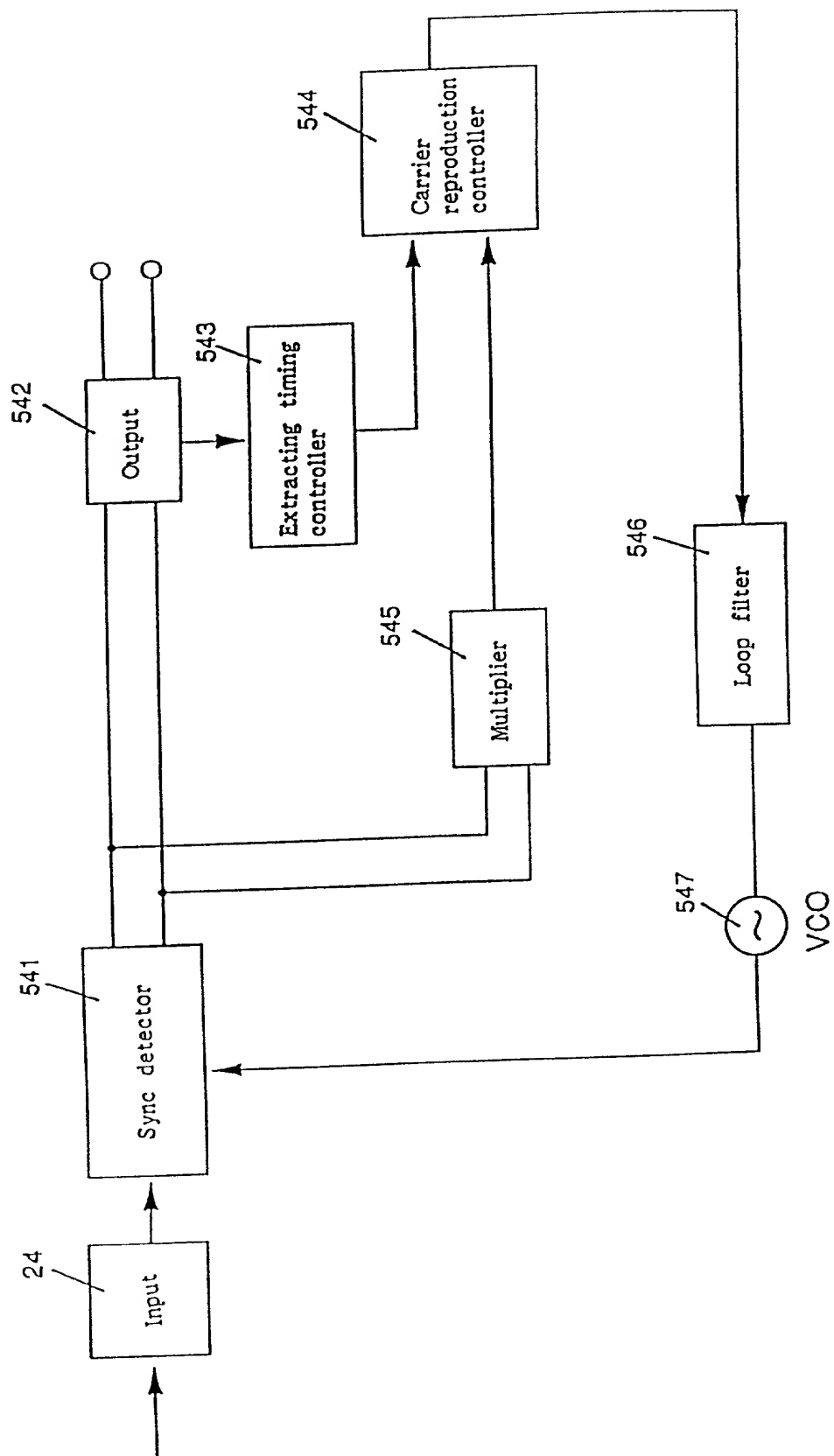


FIG. 44

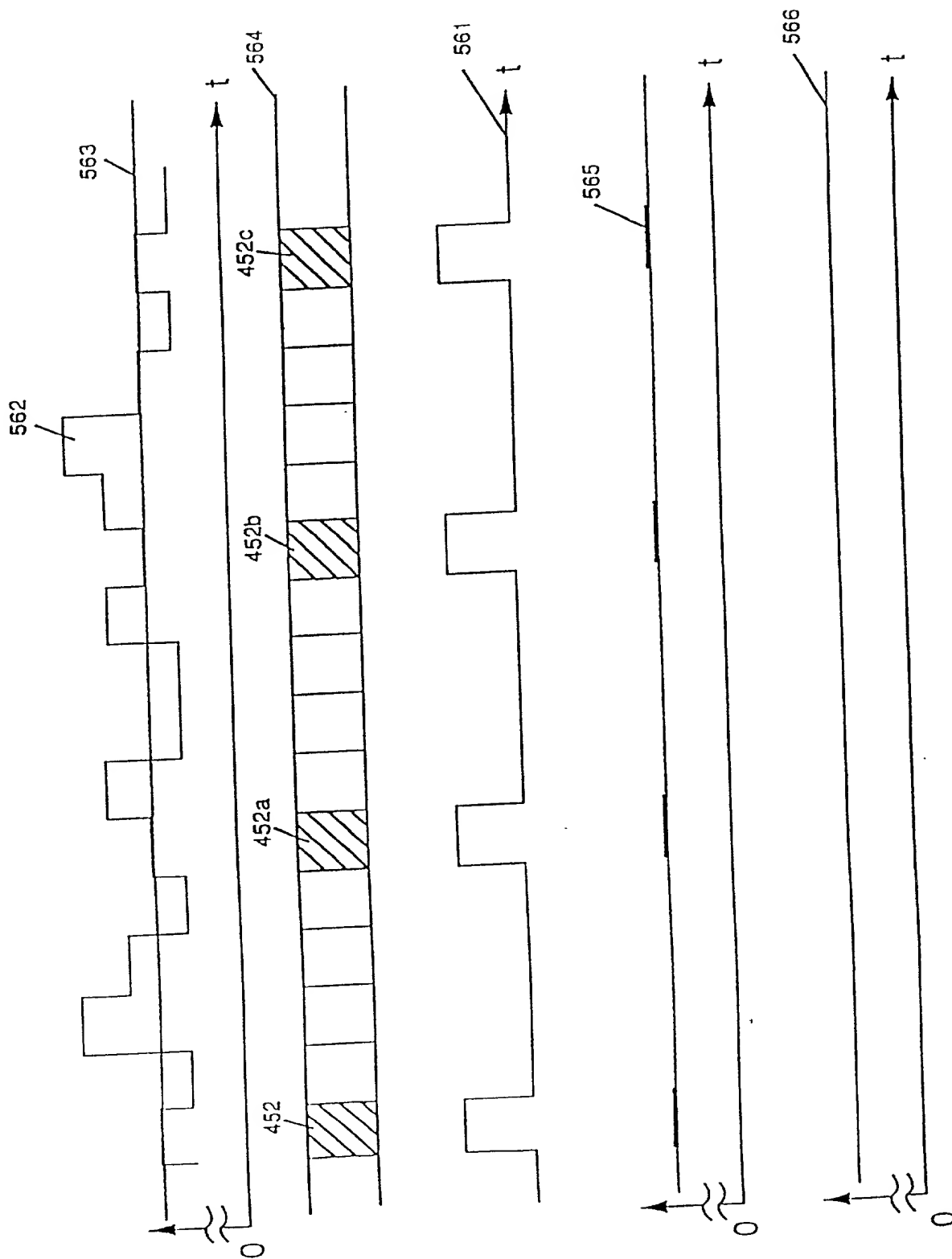


FIG. 45

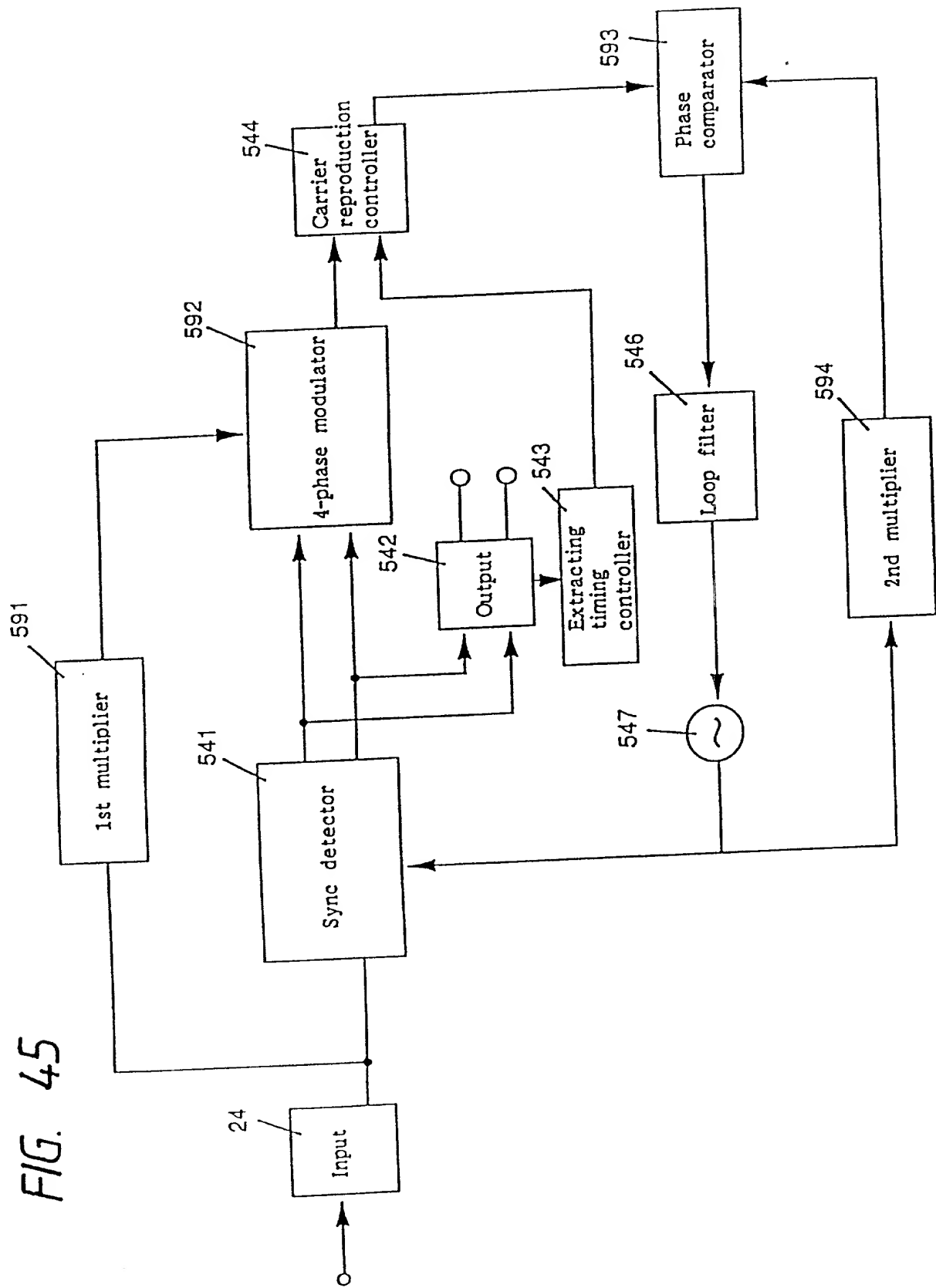


FIG. 46

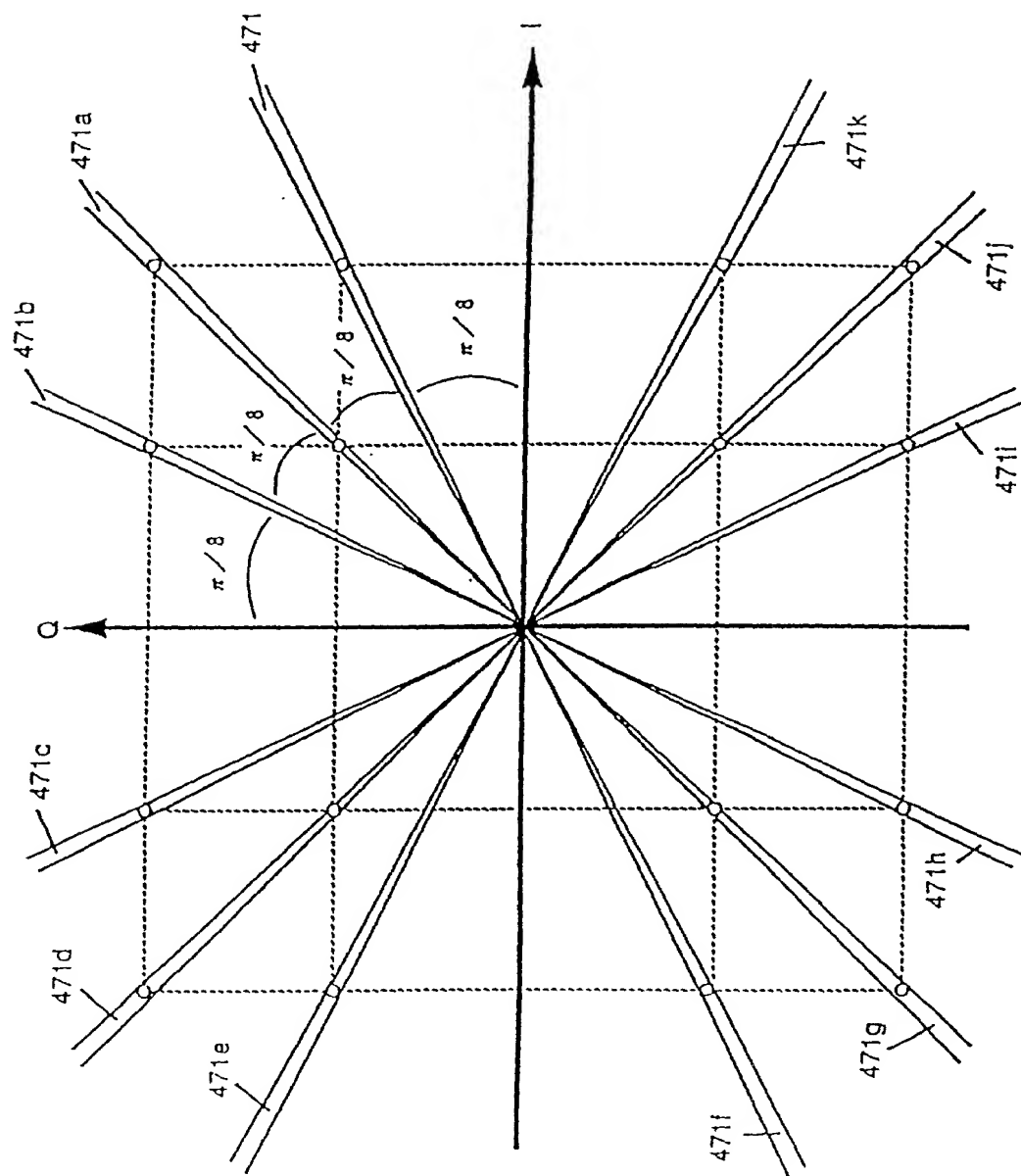


FIG. 47

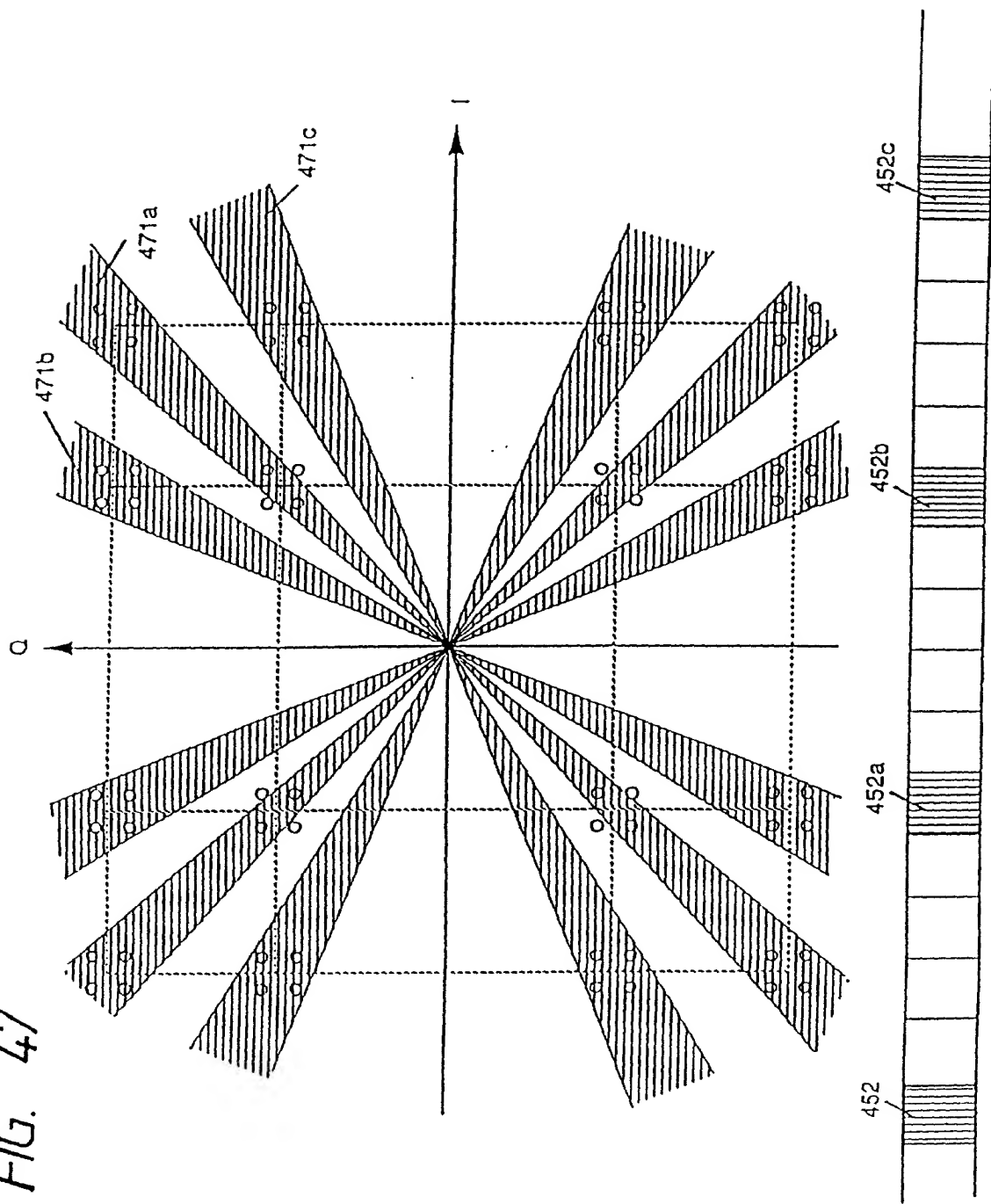


FIG. 48

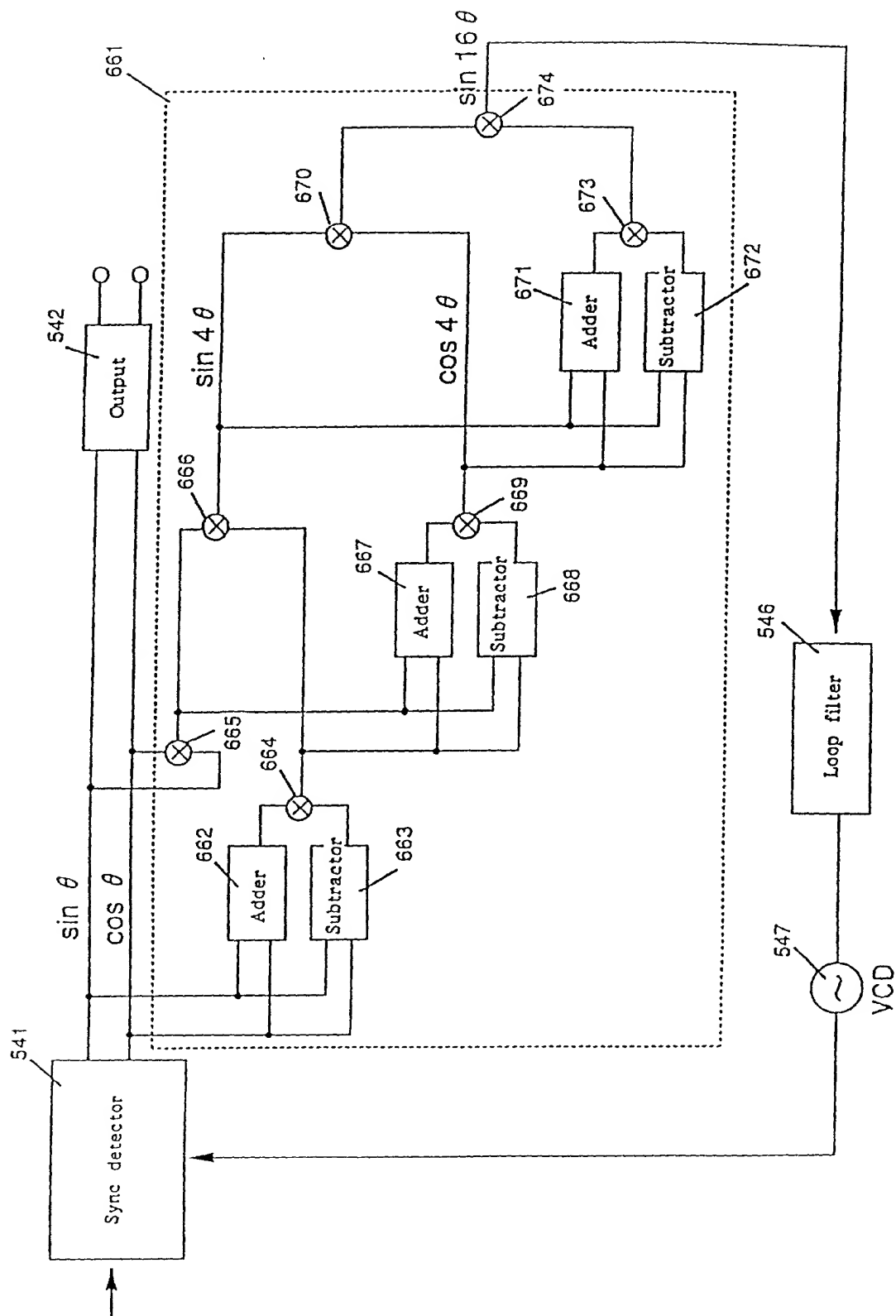


FIG. 49

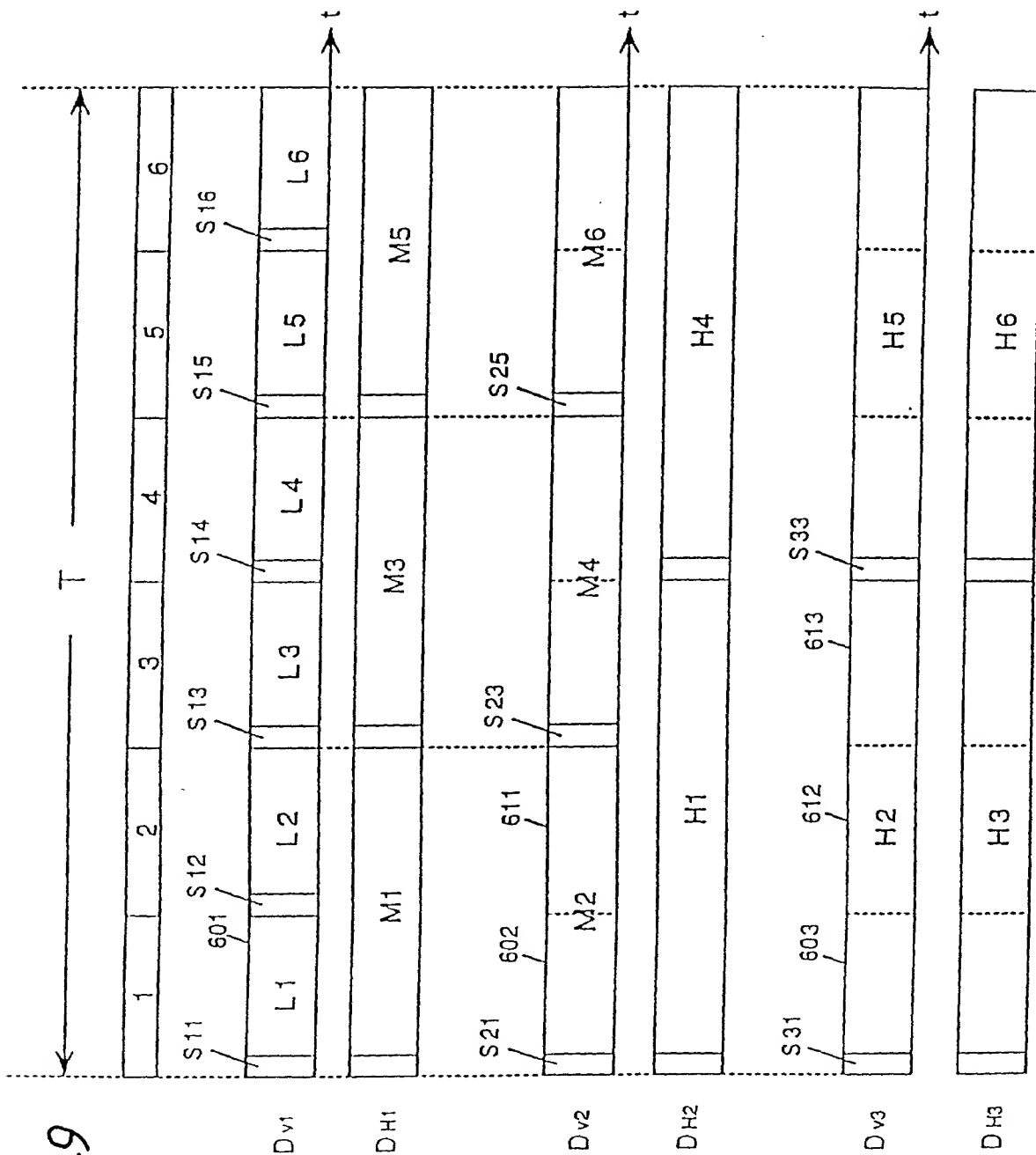


FIG. 50

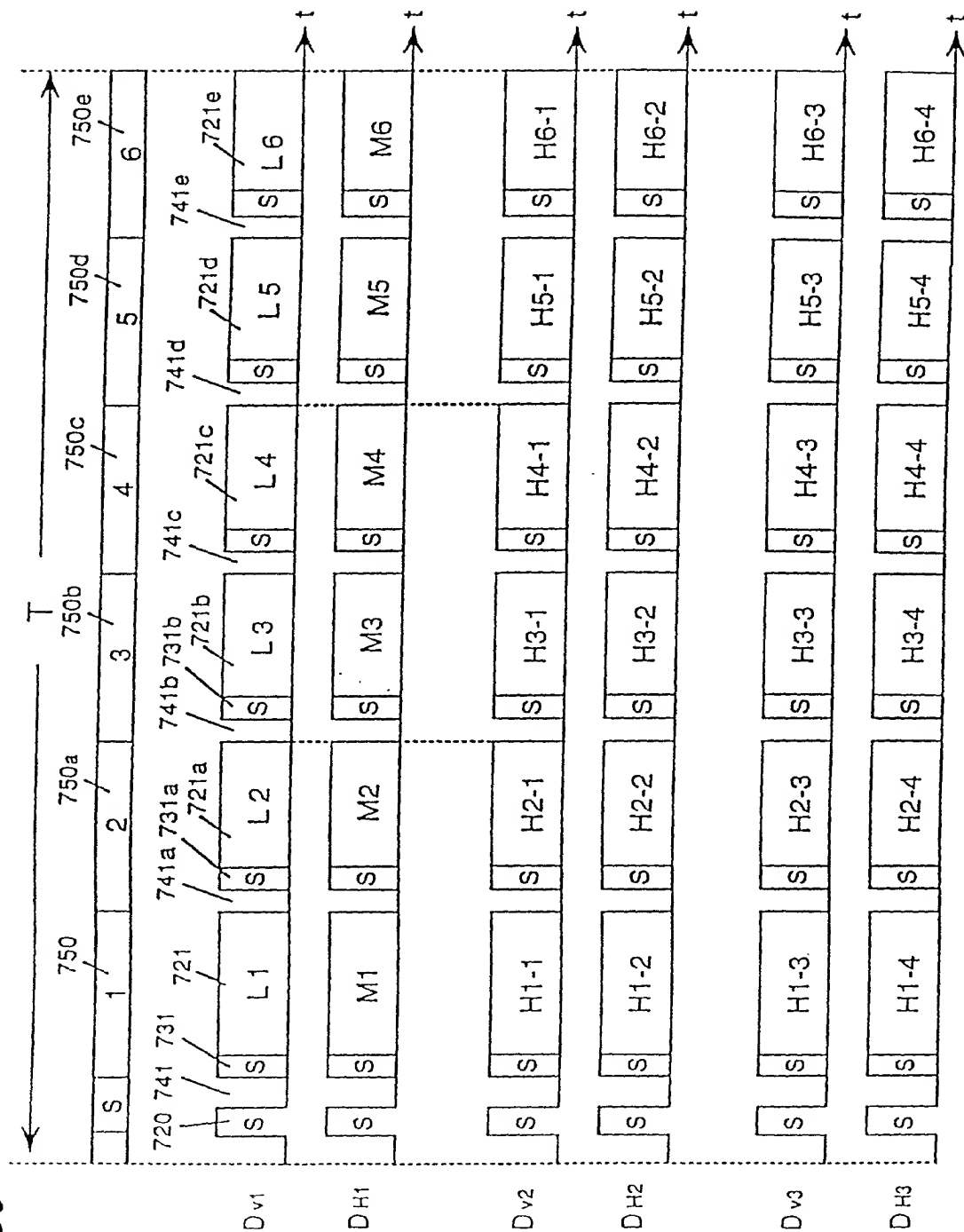


FIG. 51

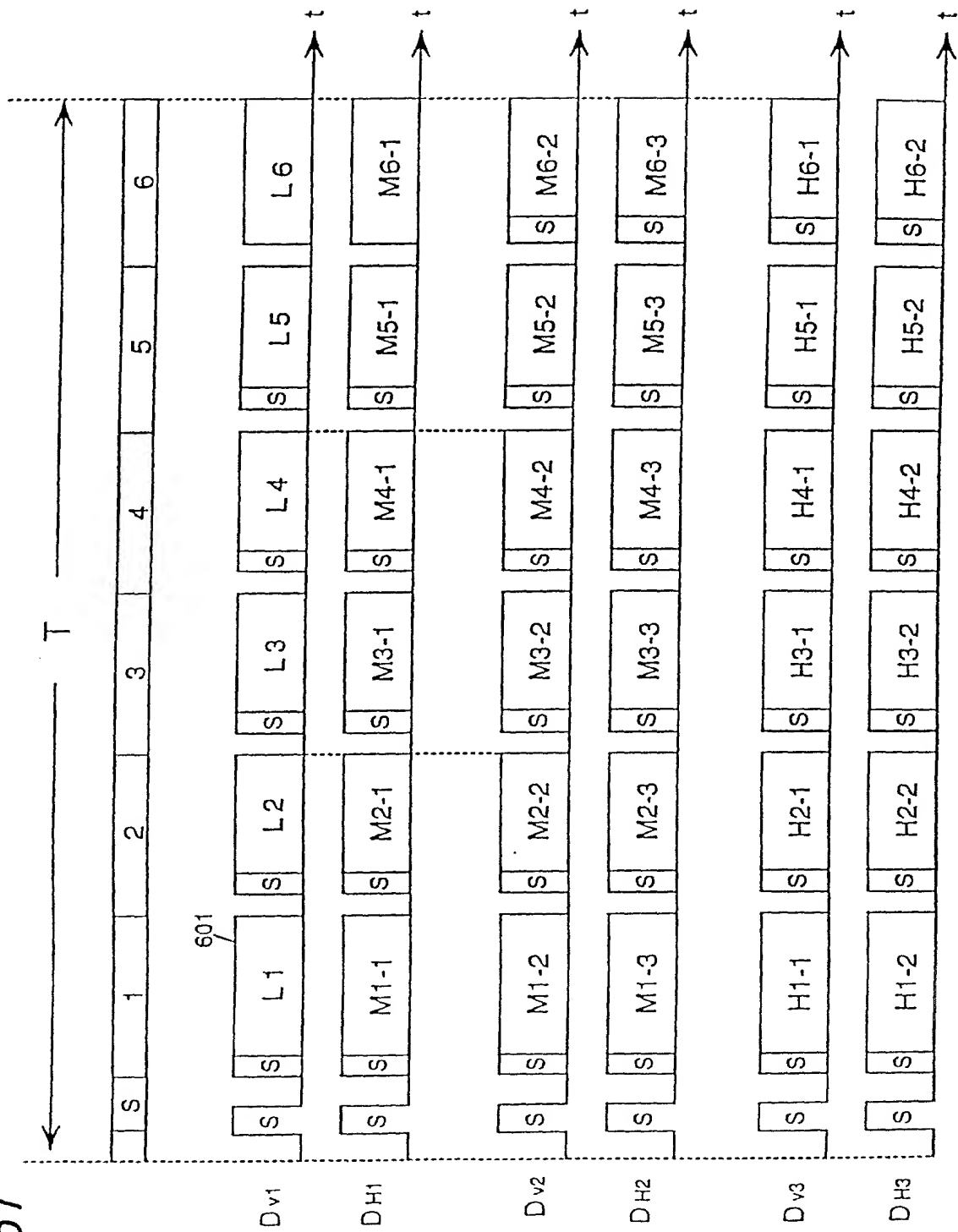


FIG. 52

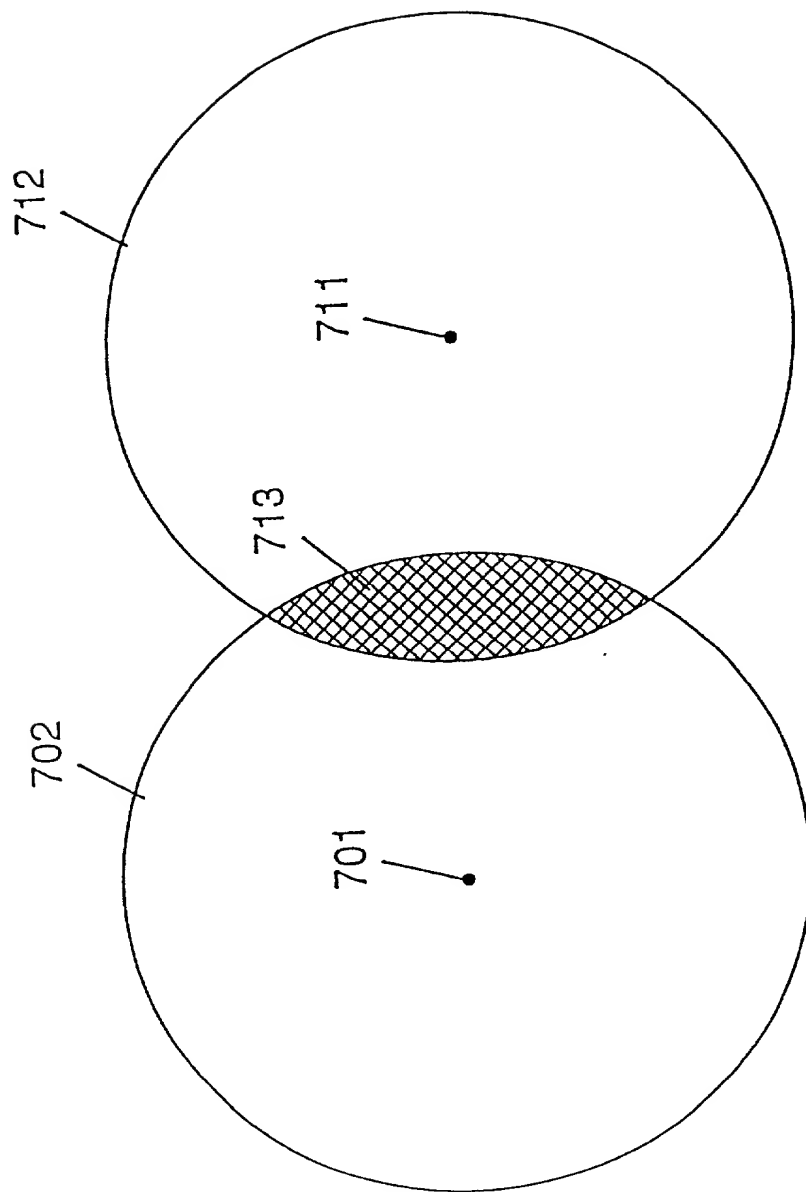


FIG. 53

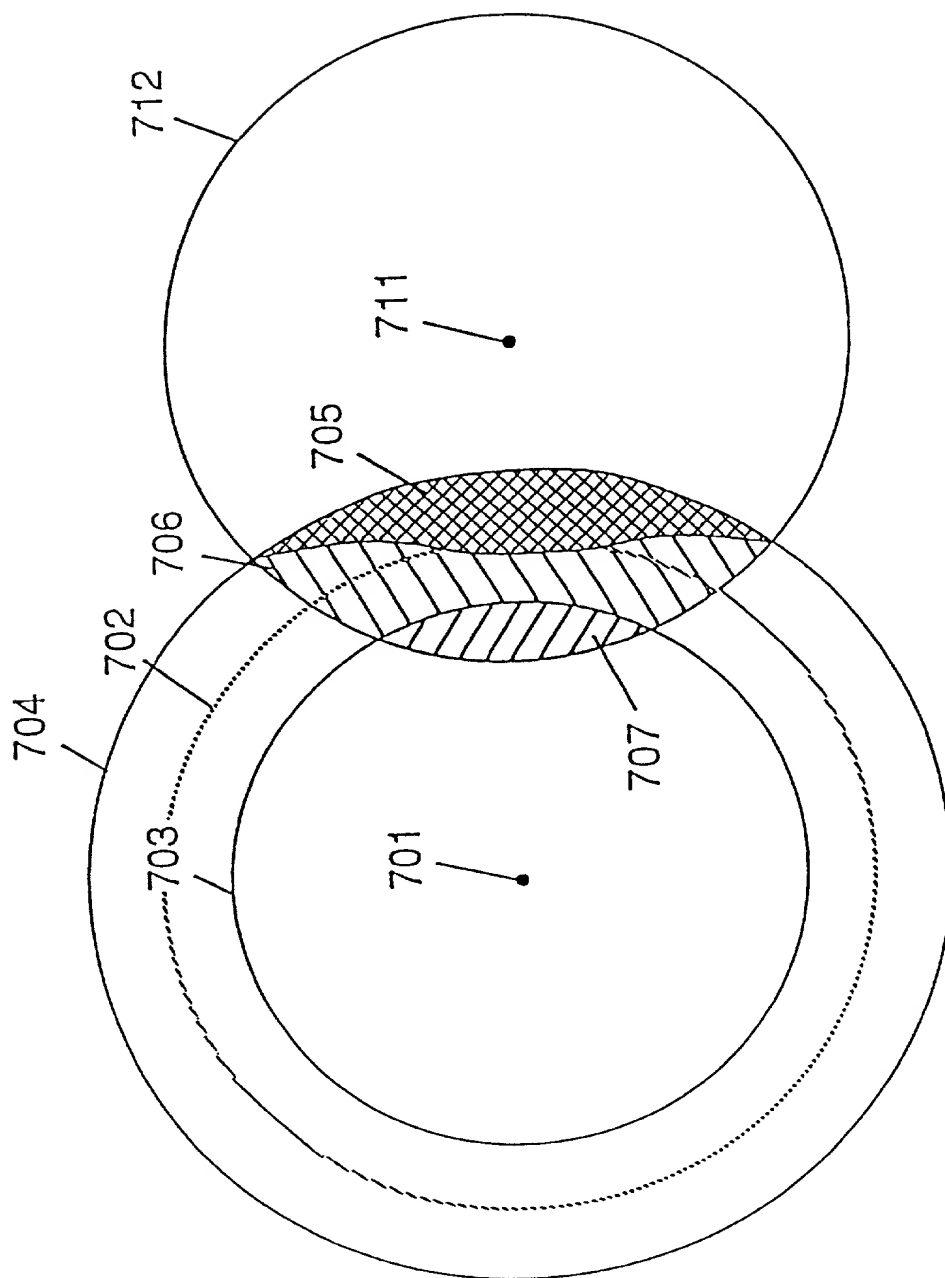


FIG. 54

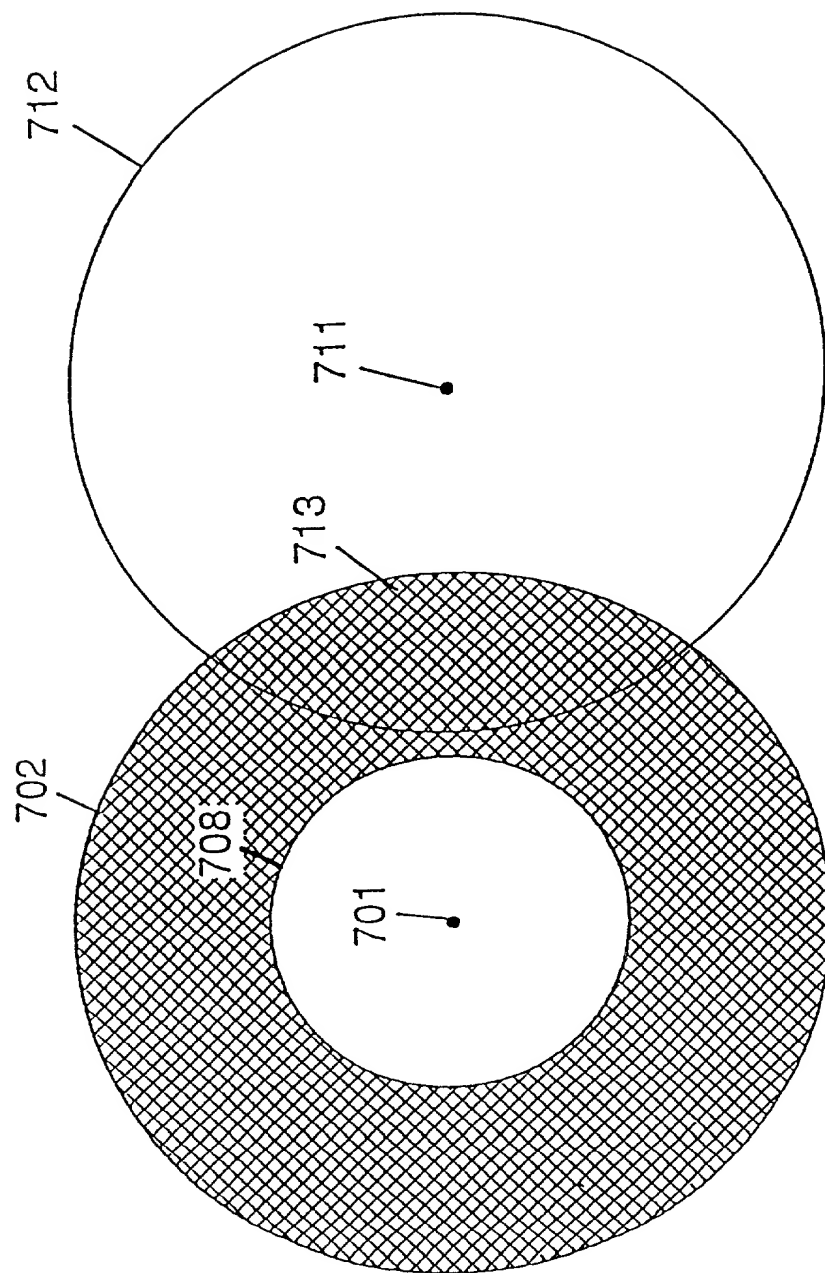


FIG. 55

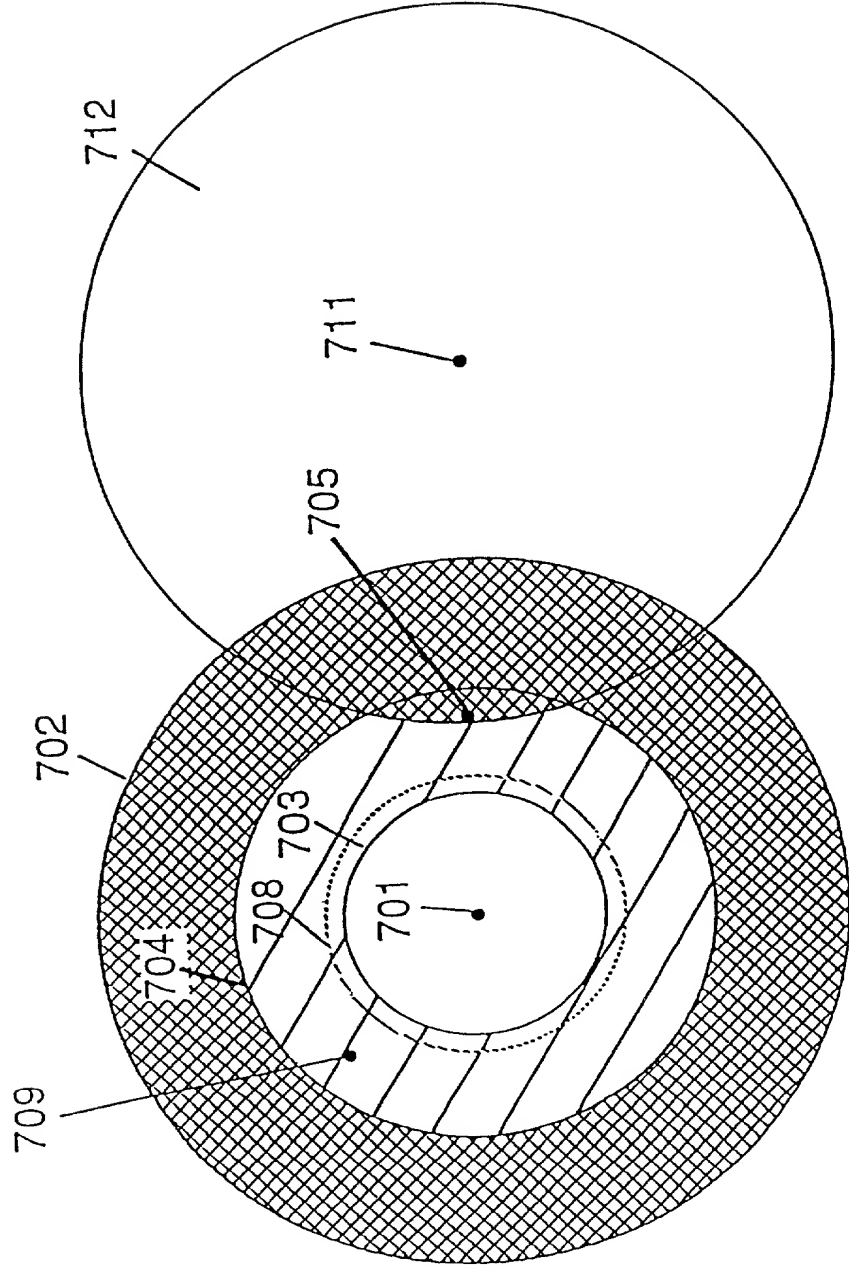


FIG. 56

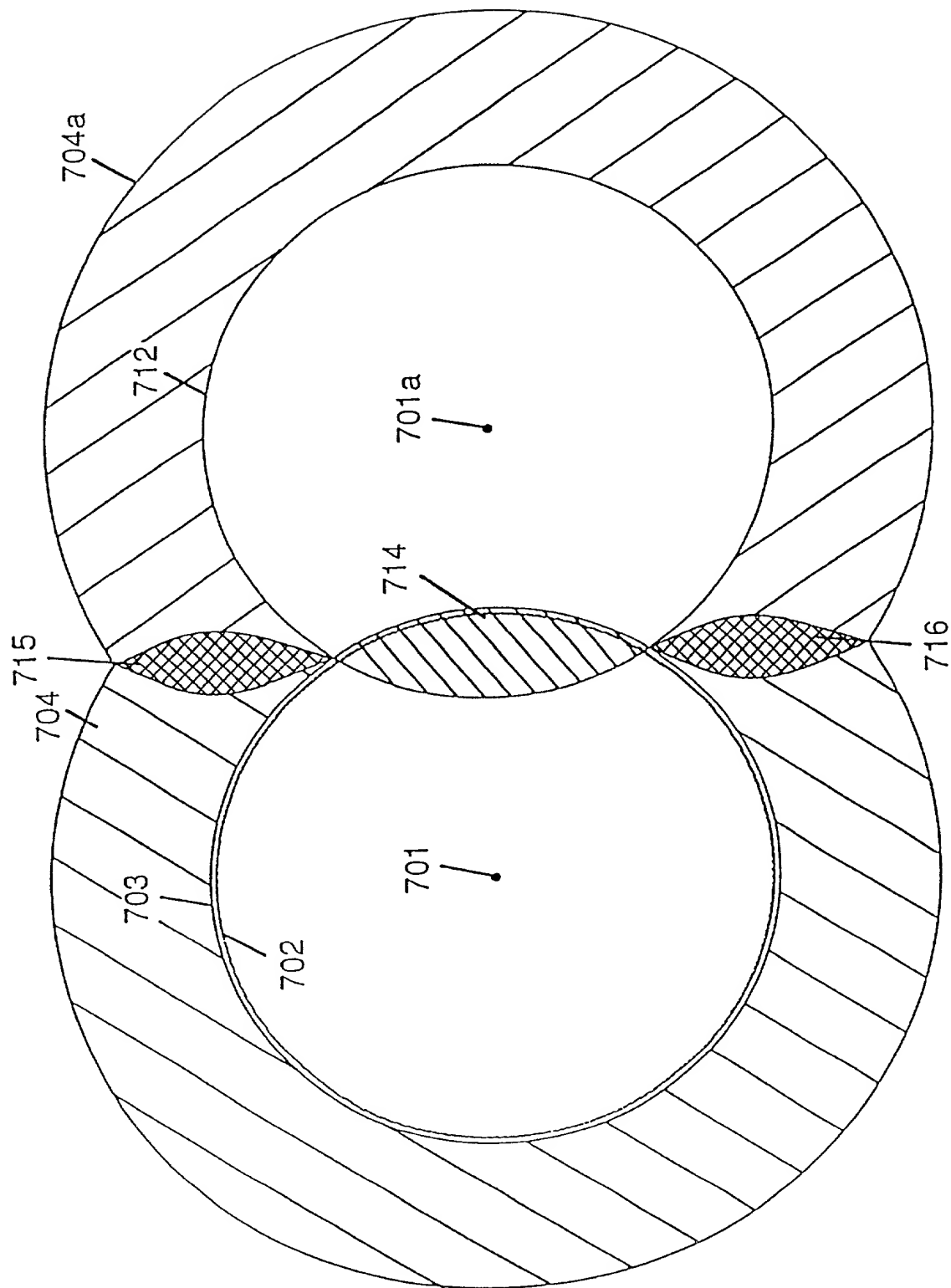


FIG. 57

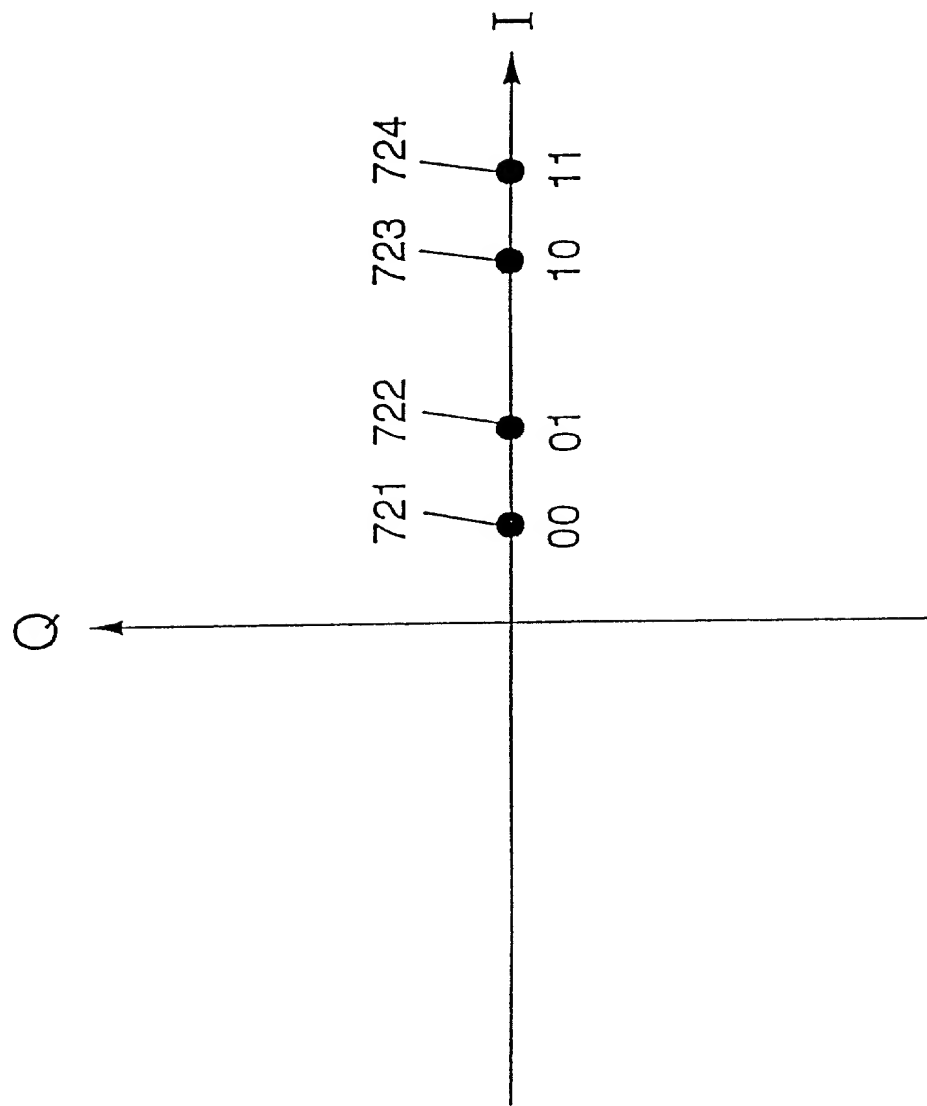


FIG. 58

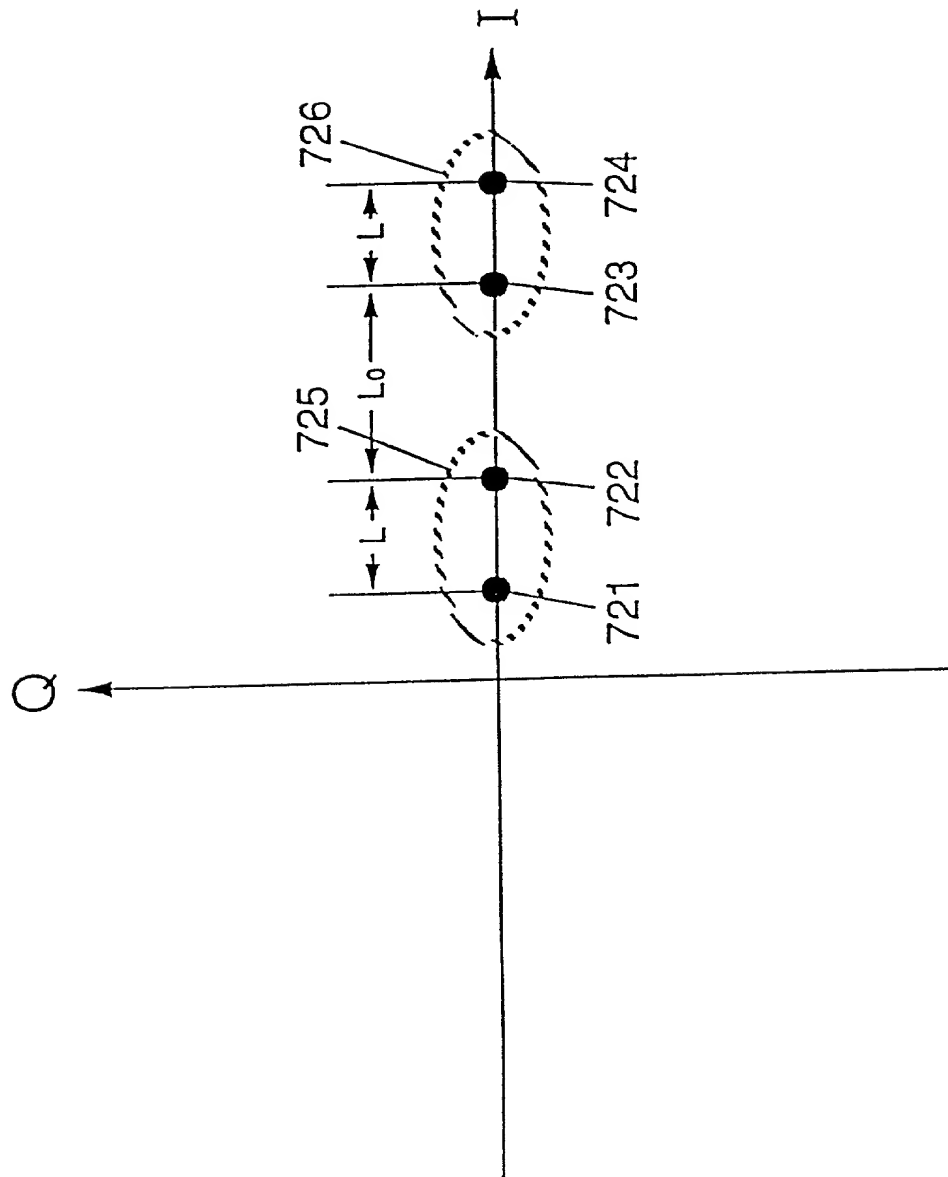


FIG. 59(a)

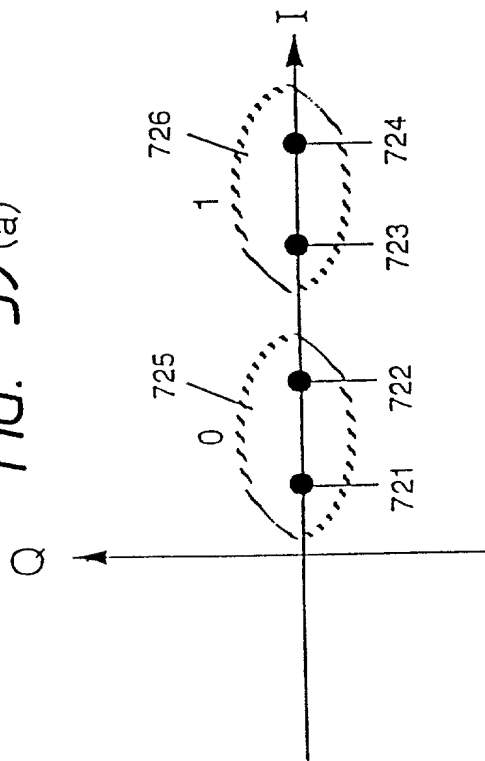


FIG. 59(c)

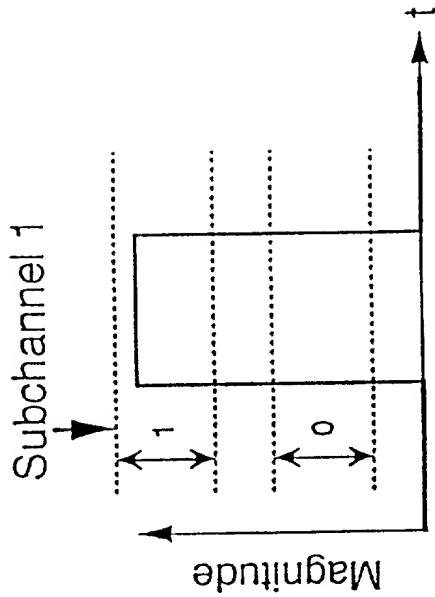


FIG. 59(b)

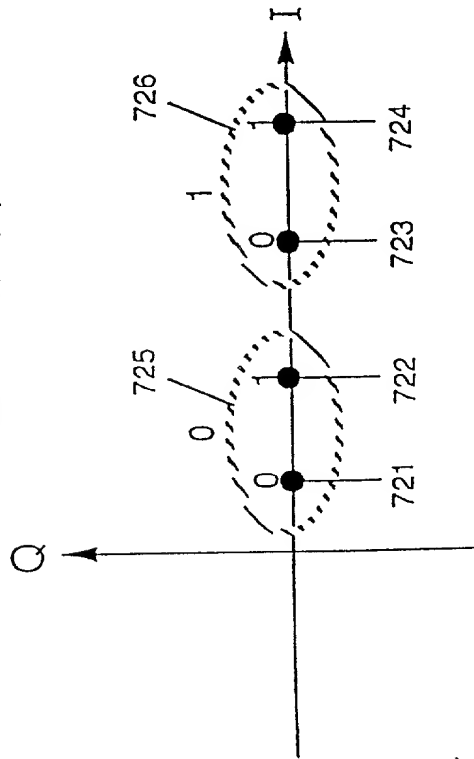


FIG. 59(d)

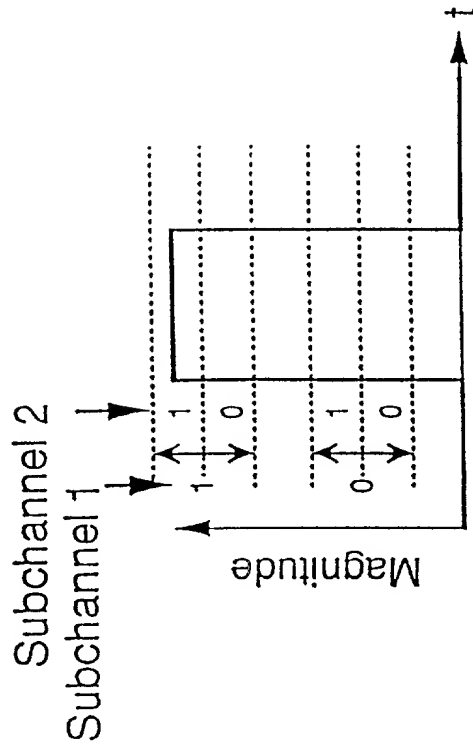


FIG. 60

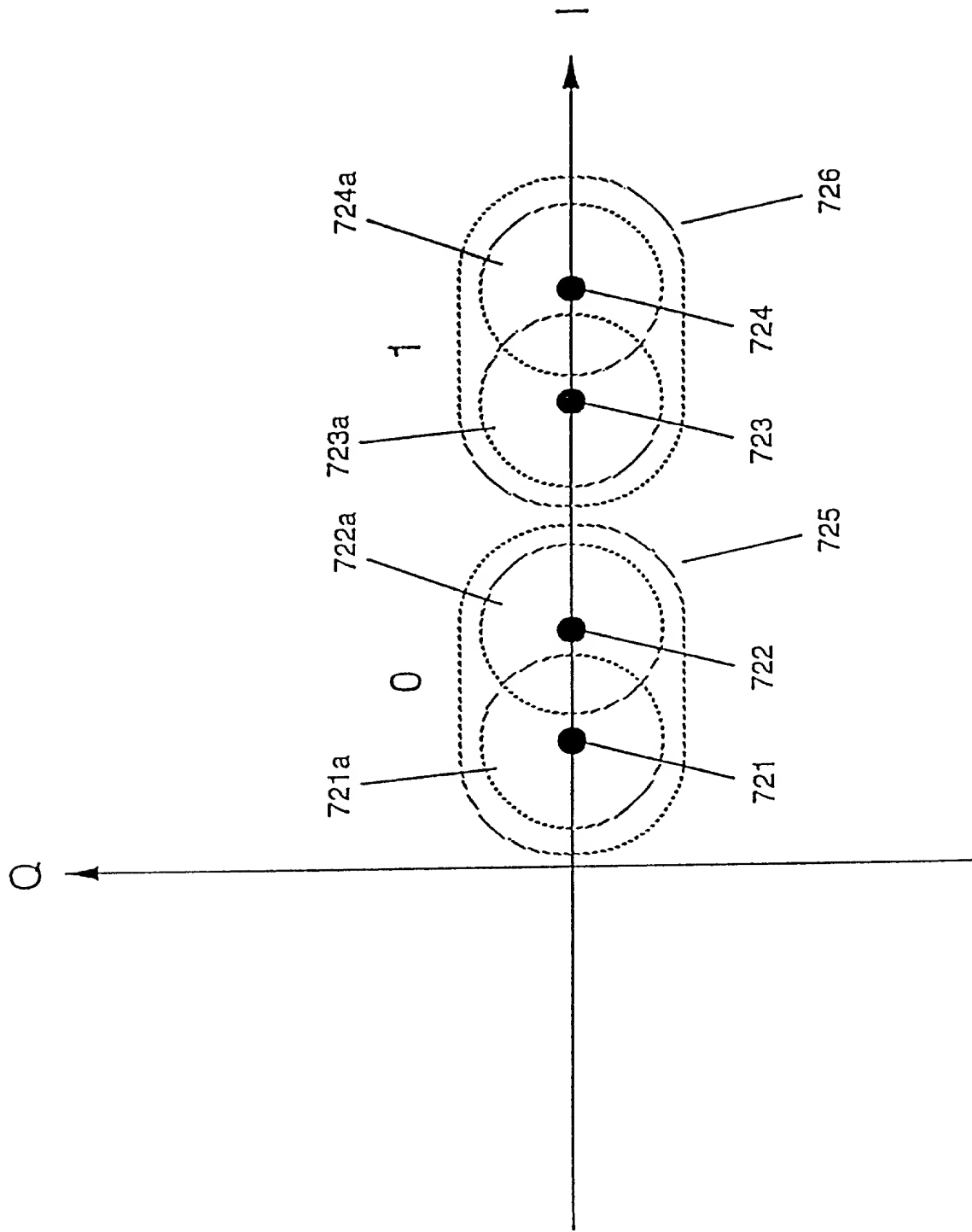


FIG. 61

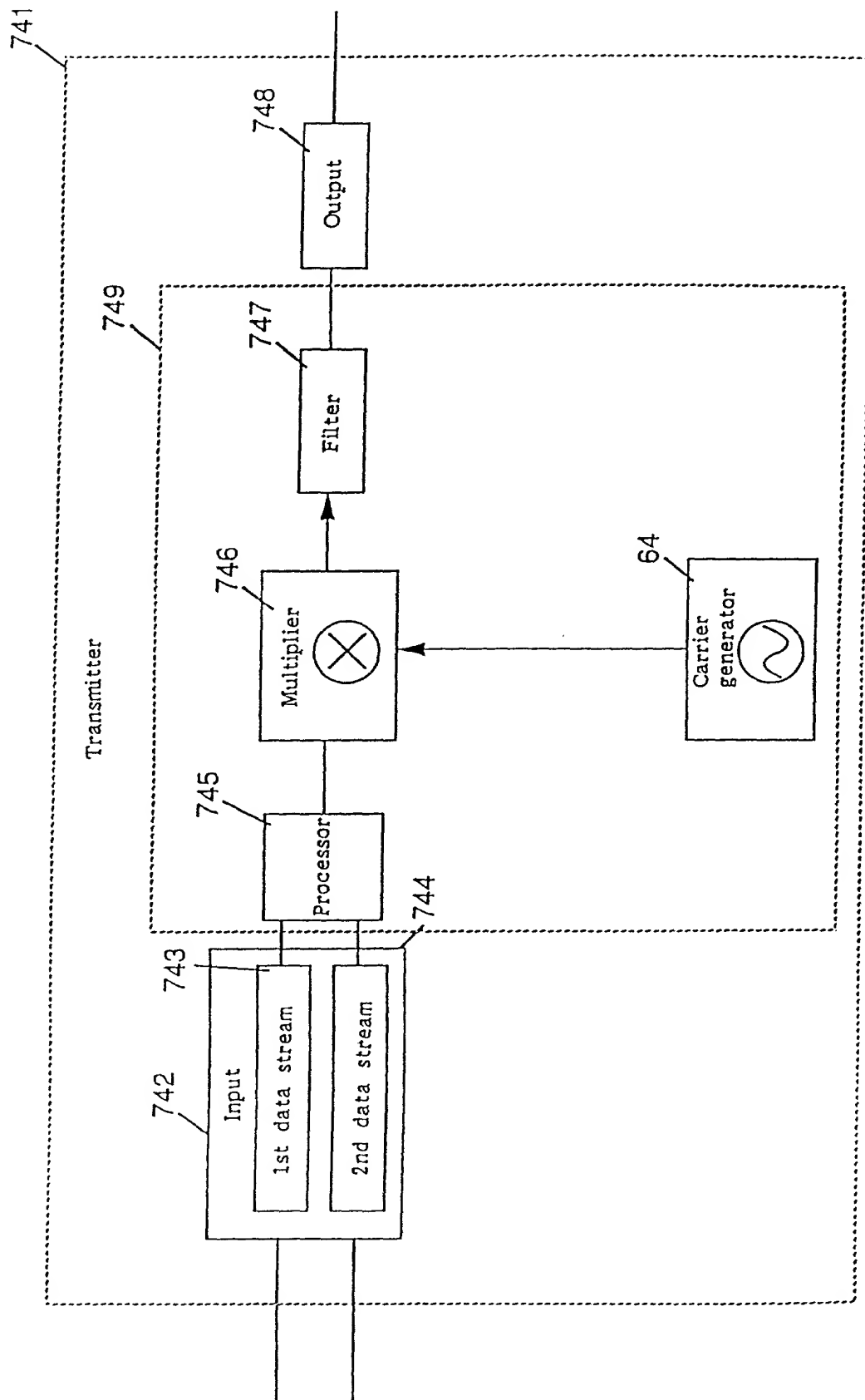


FIG. 62

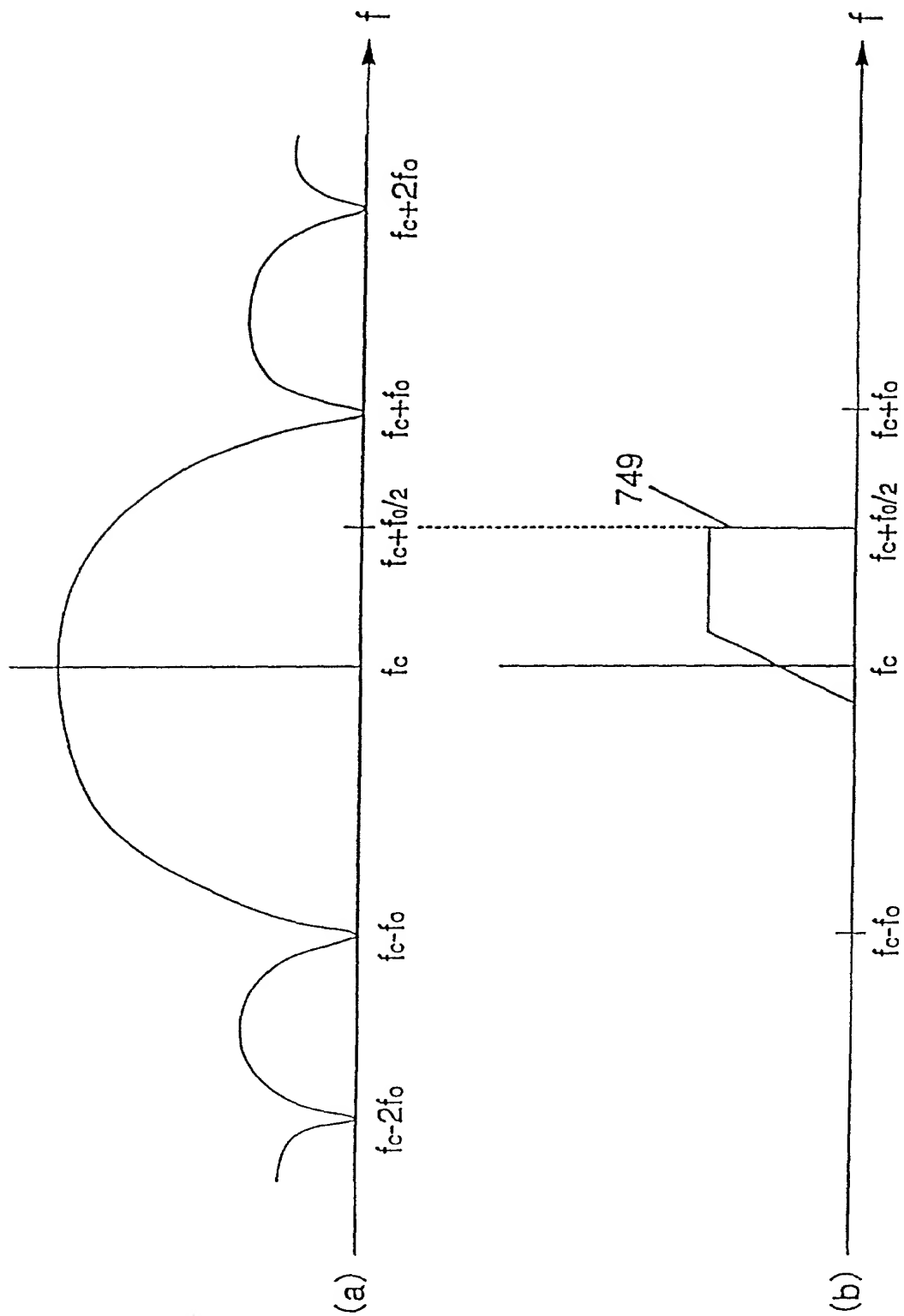


FIG. 63

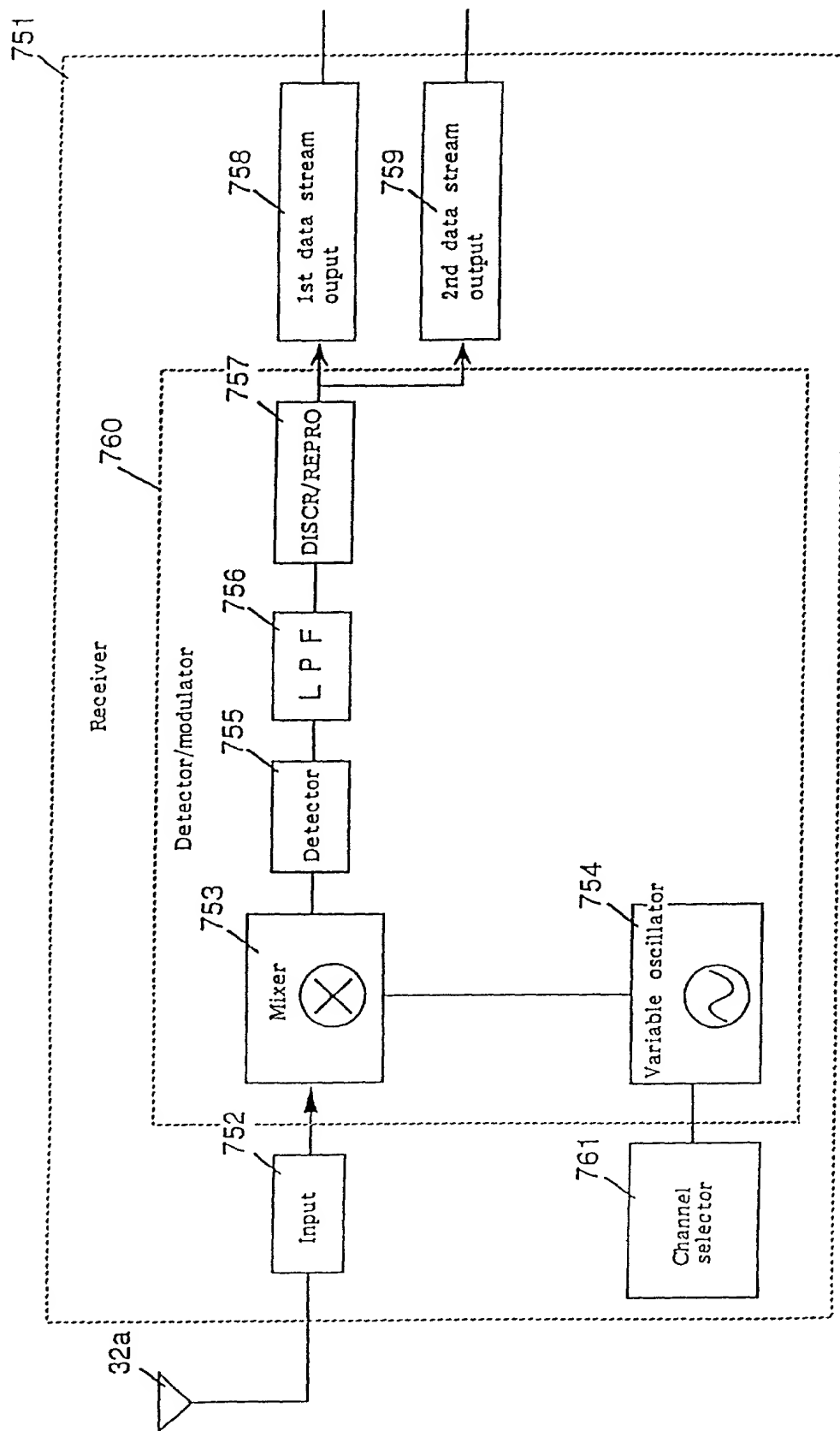


FIG. 64

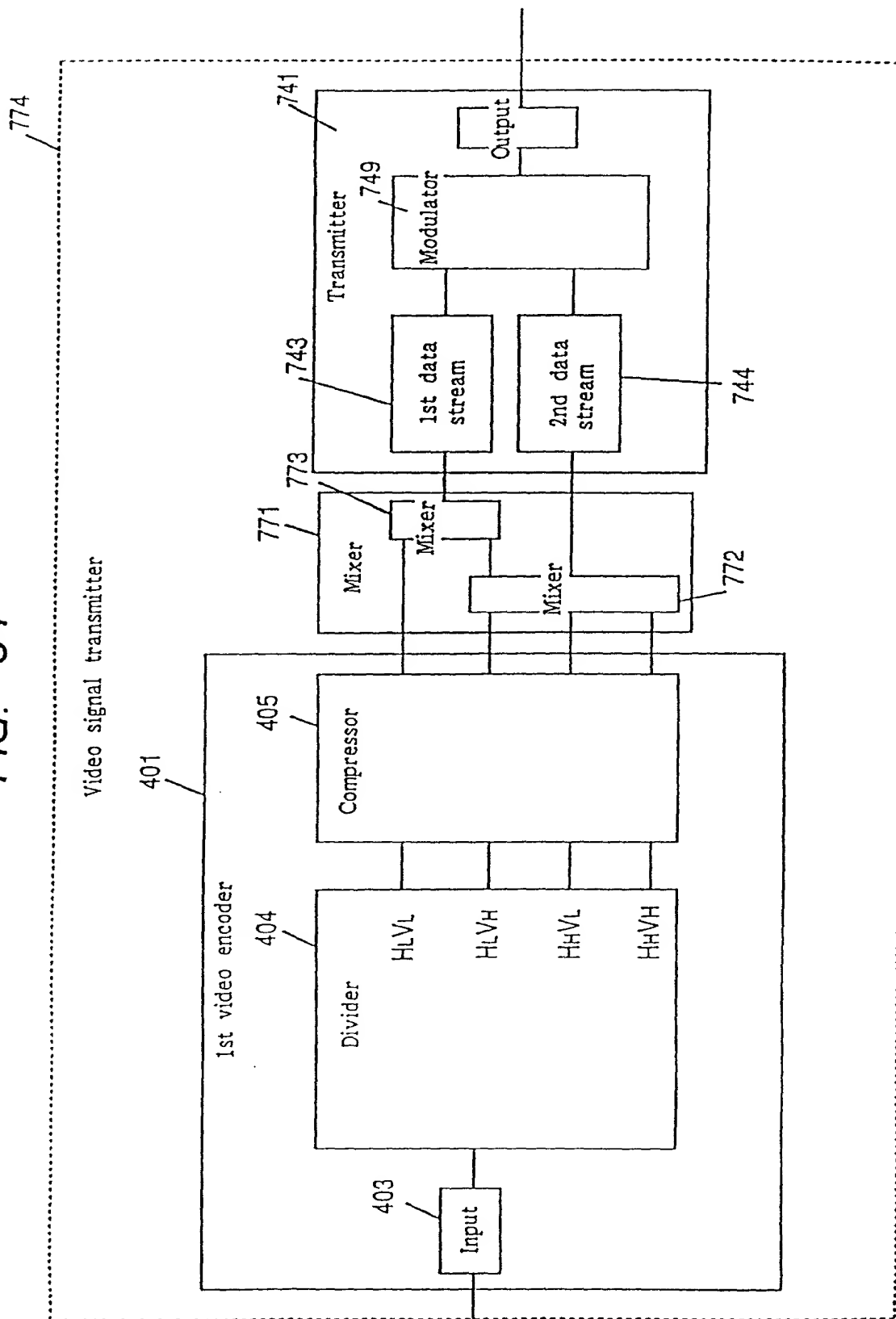


FIG. 65

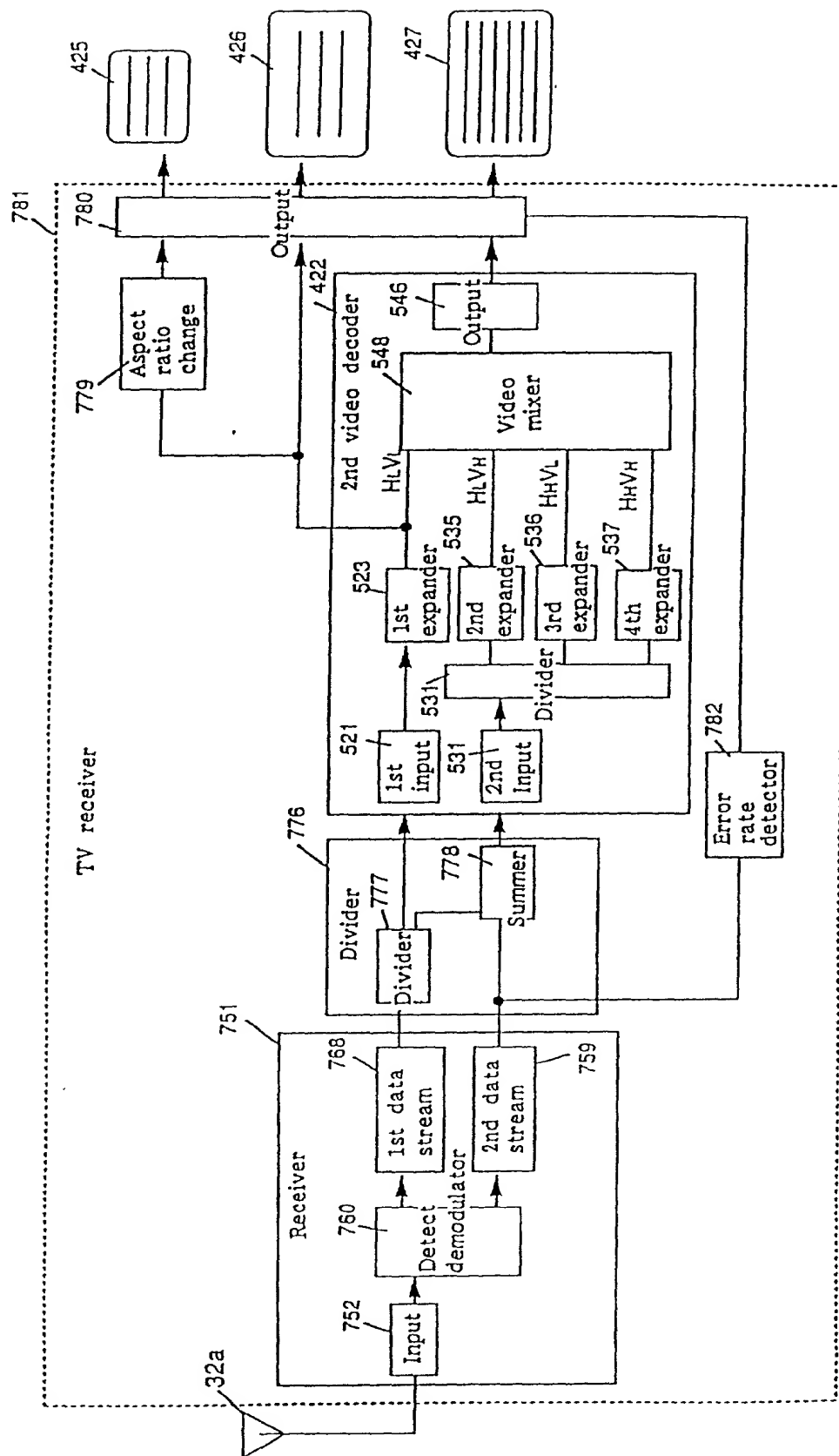


FIG. 66

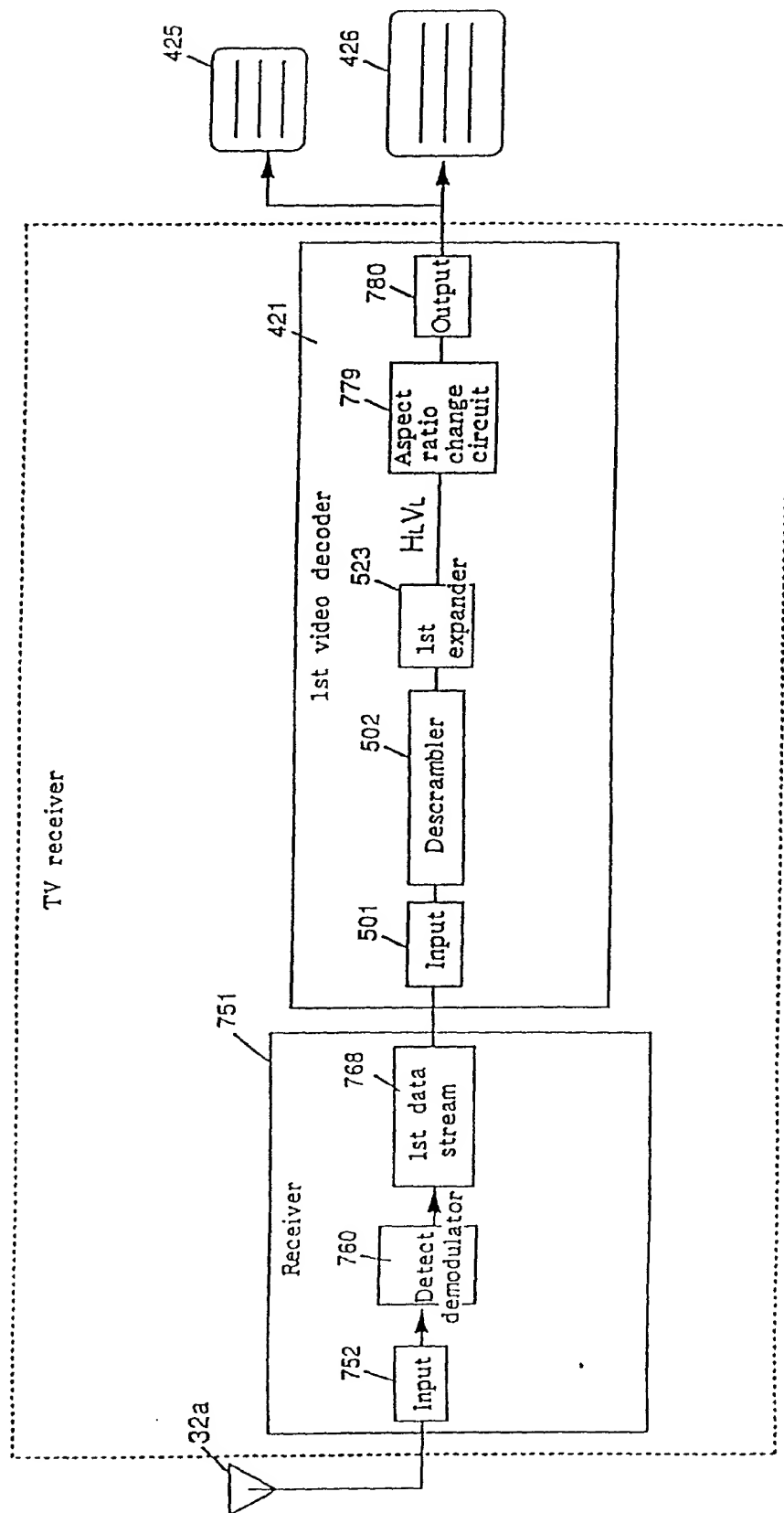


FIG. 67

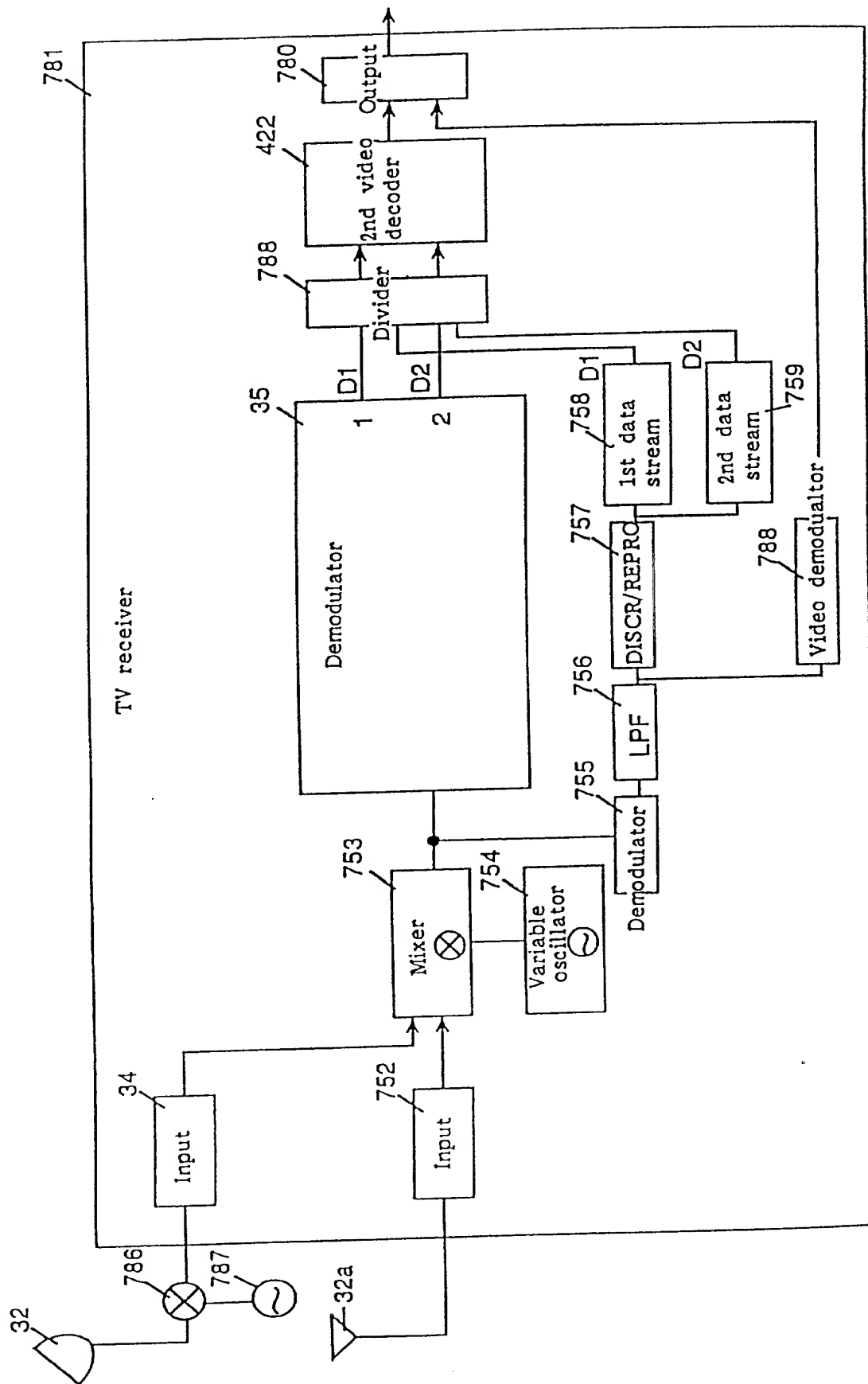


FIG. 68

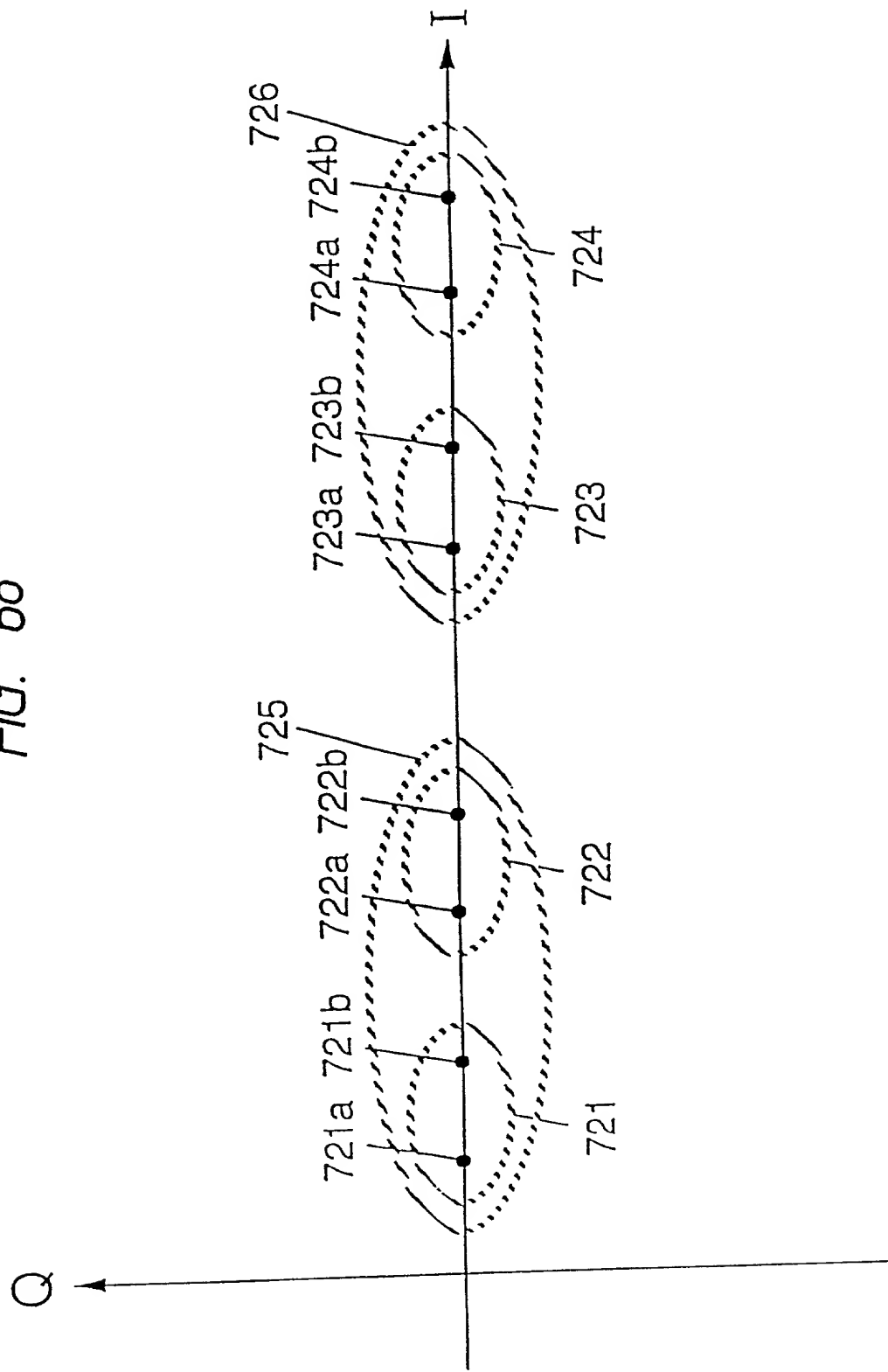


FIG. 69

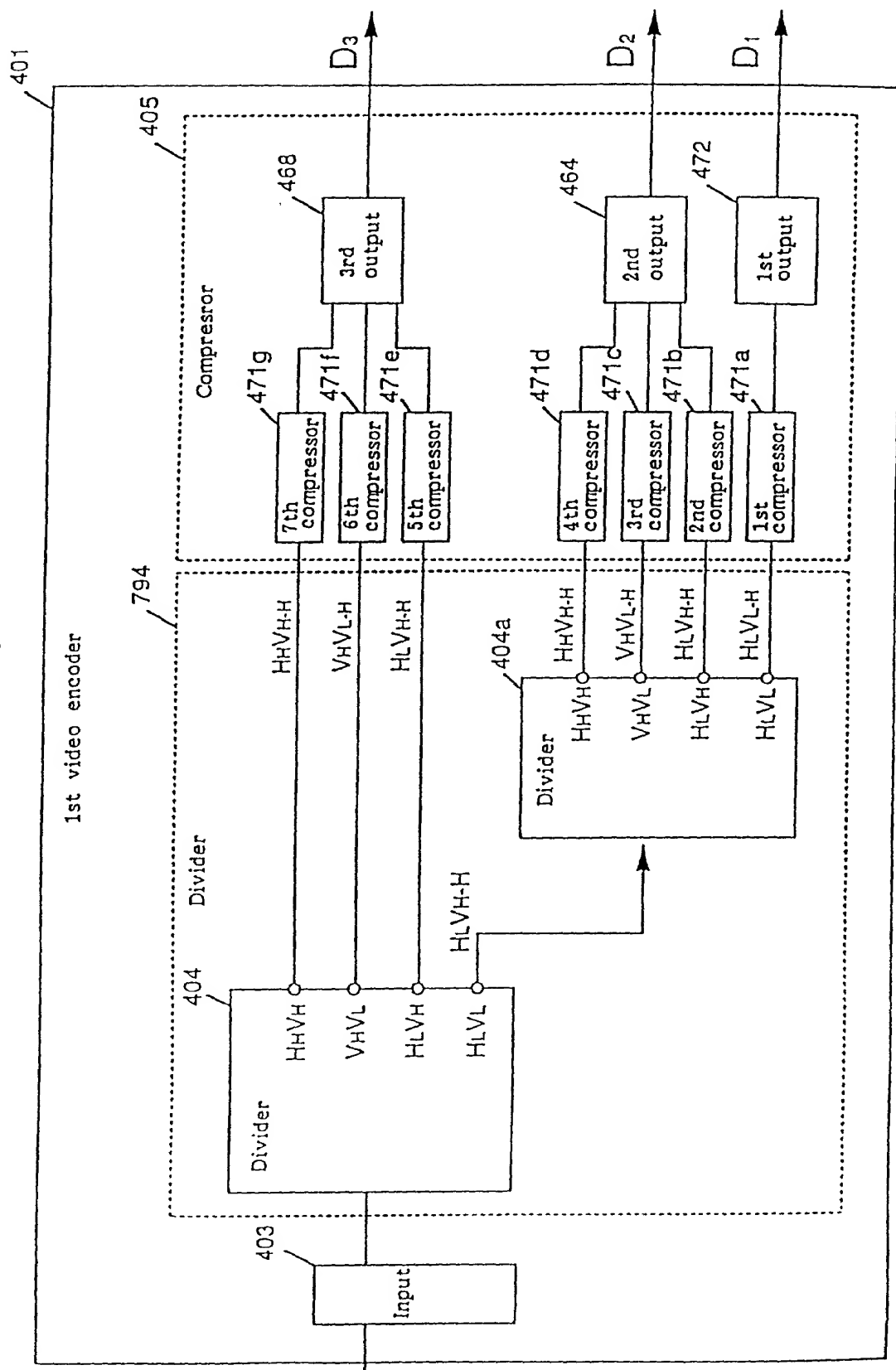


FIG. 70

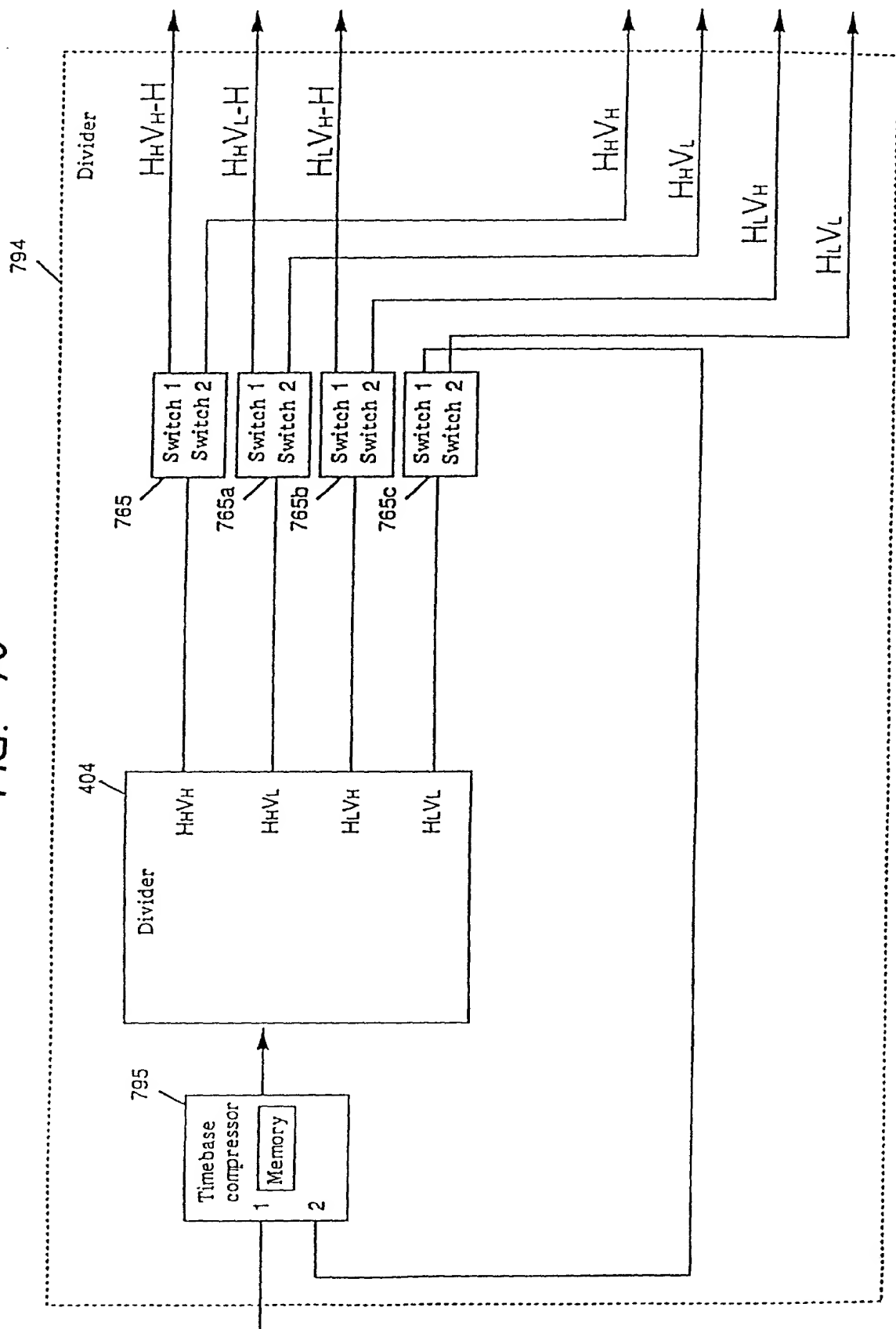


FIG. 71

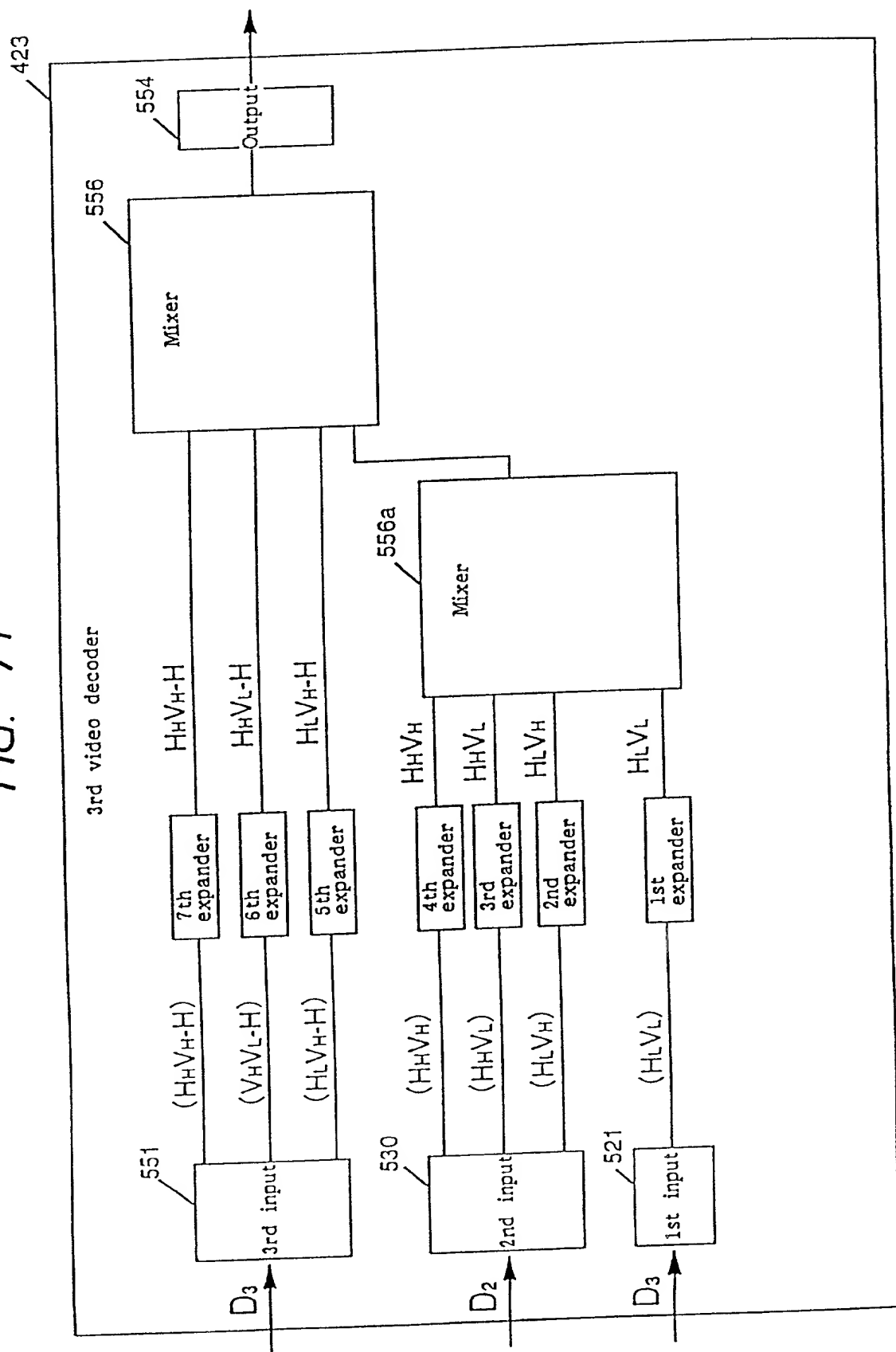


FIG. 72

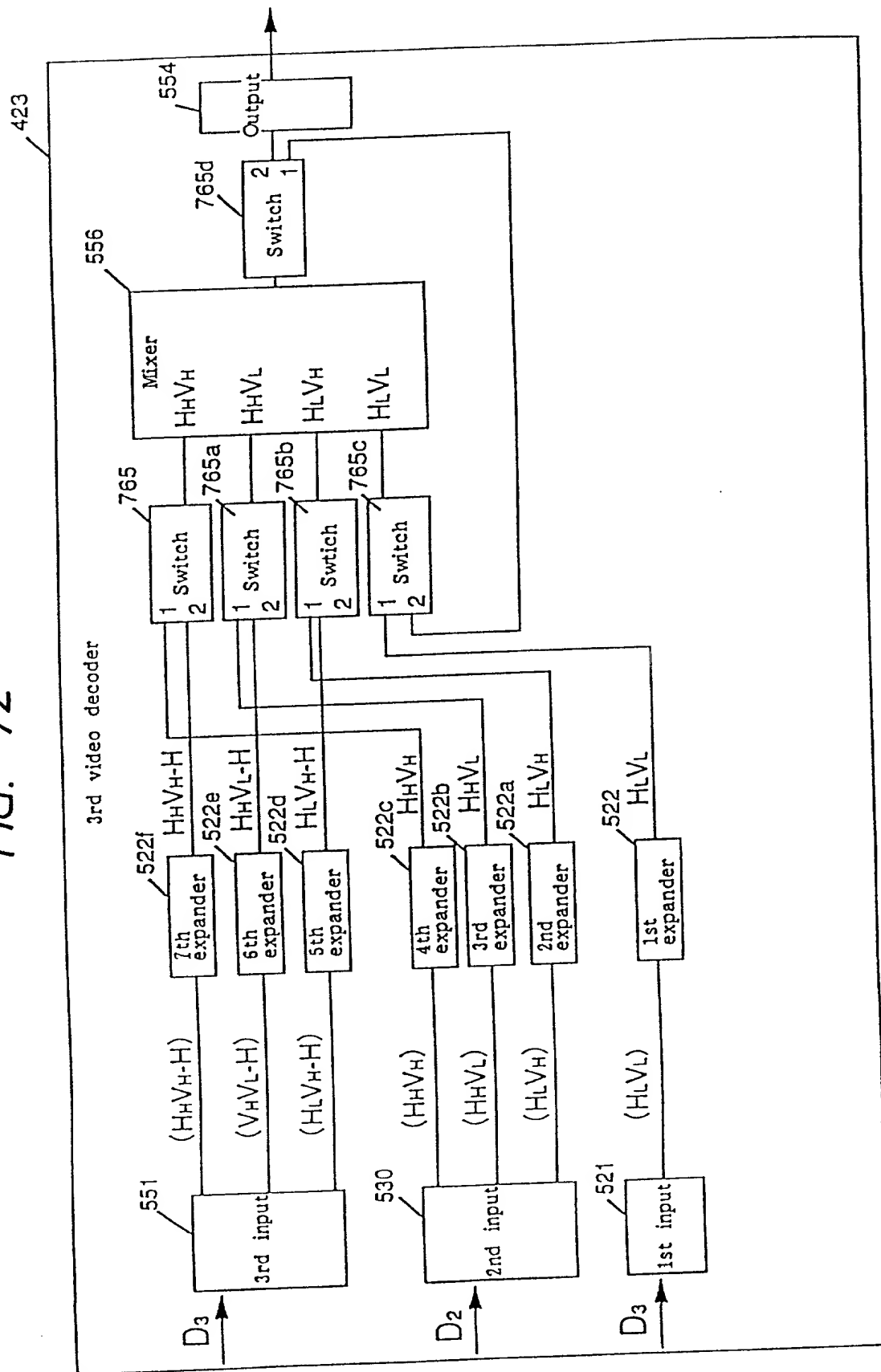


FIG. 73

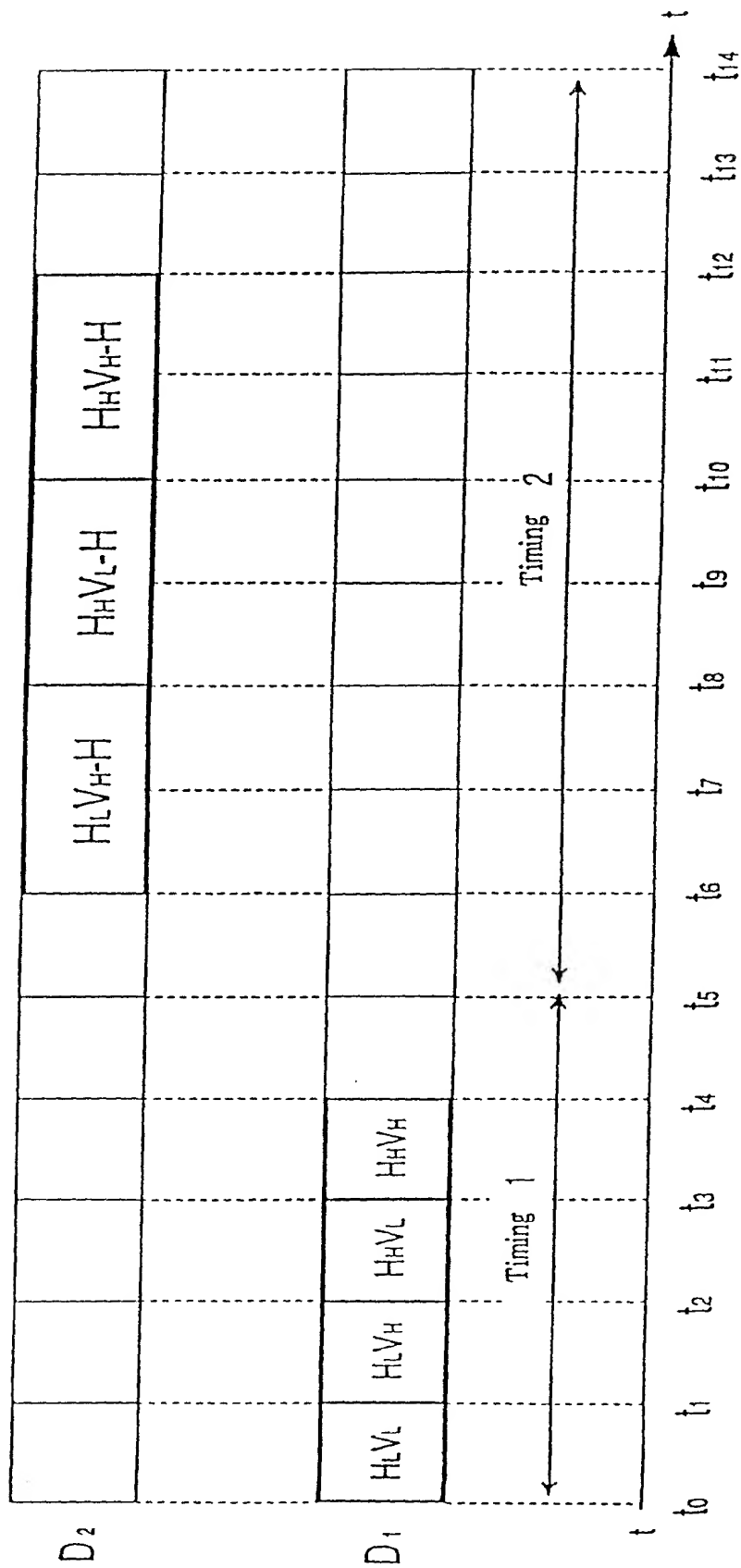


FIG. 74

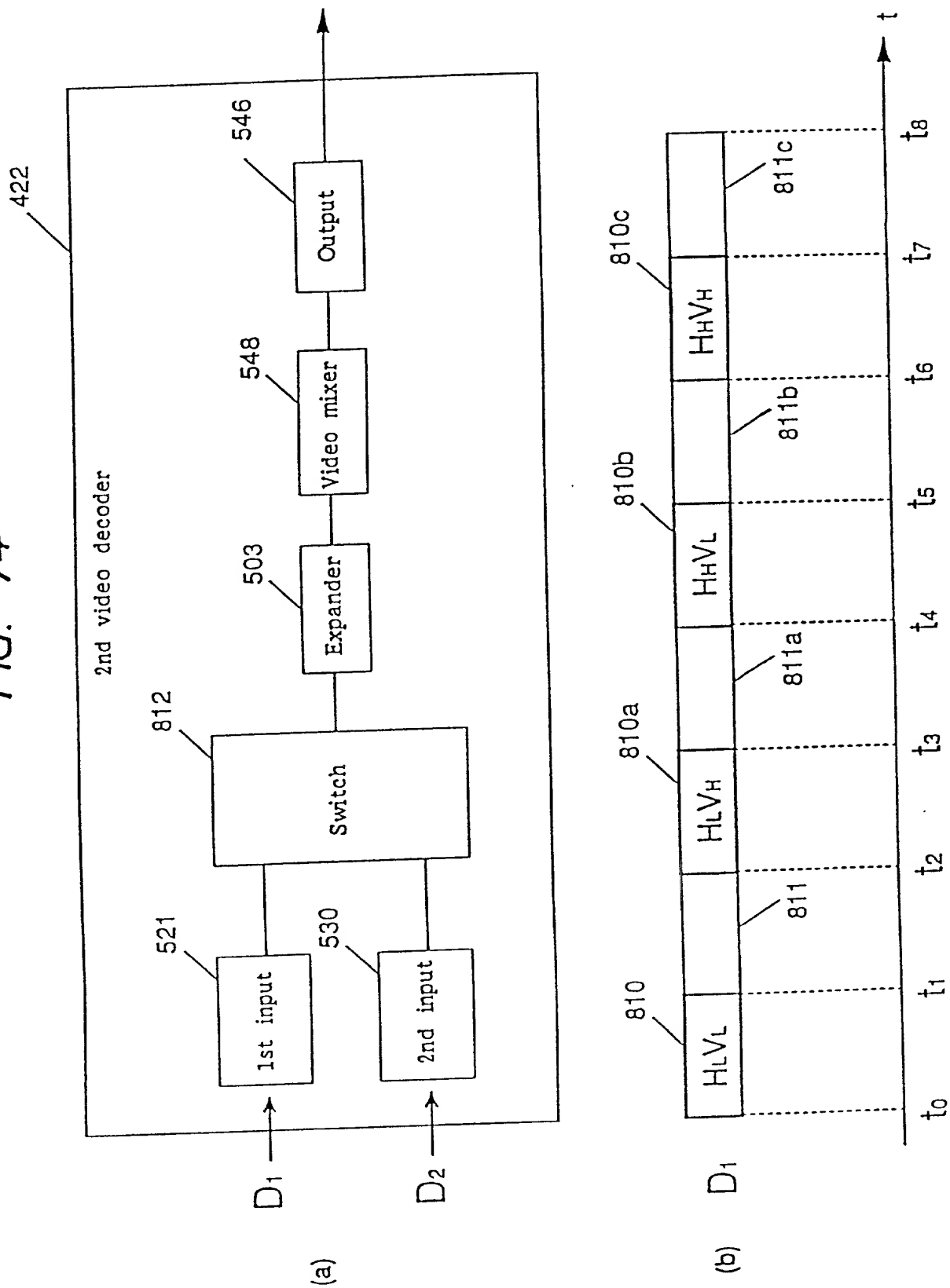


FIG. 75

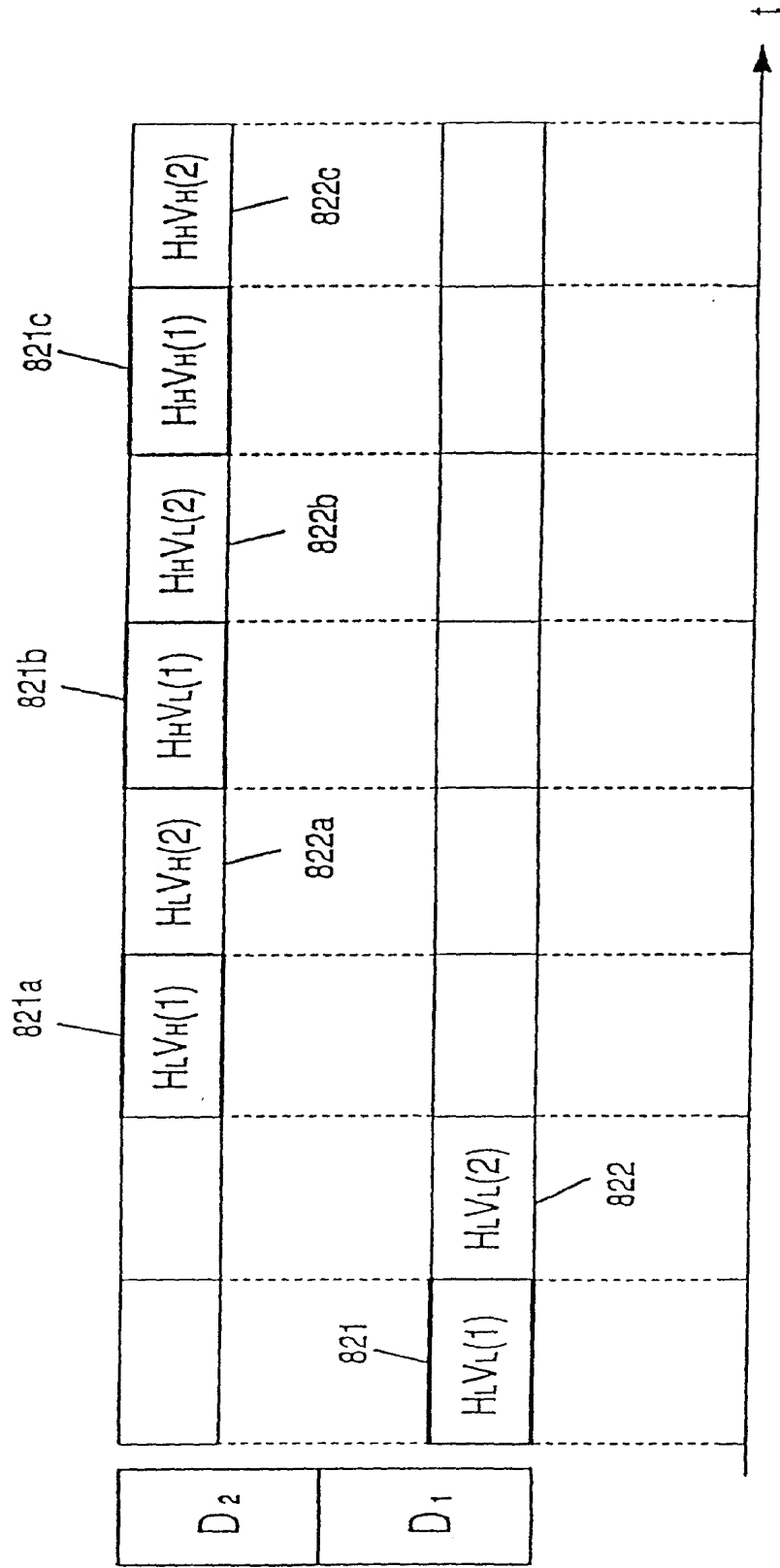


FIG. 76

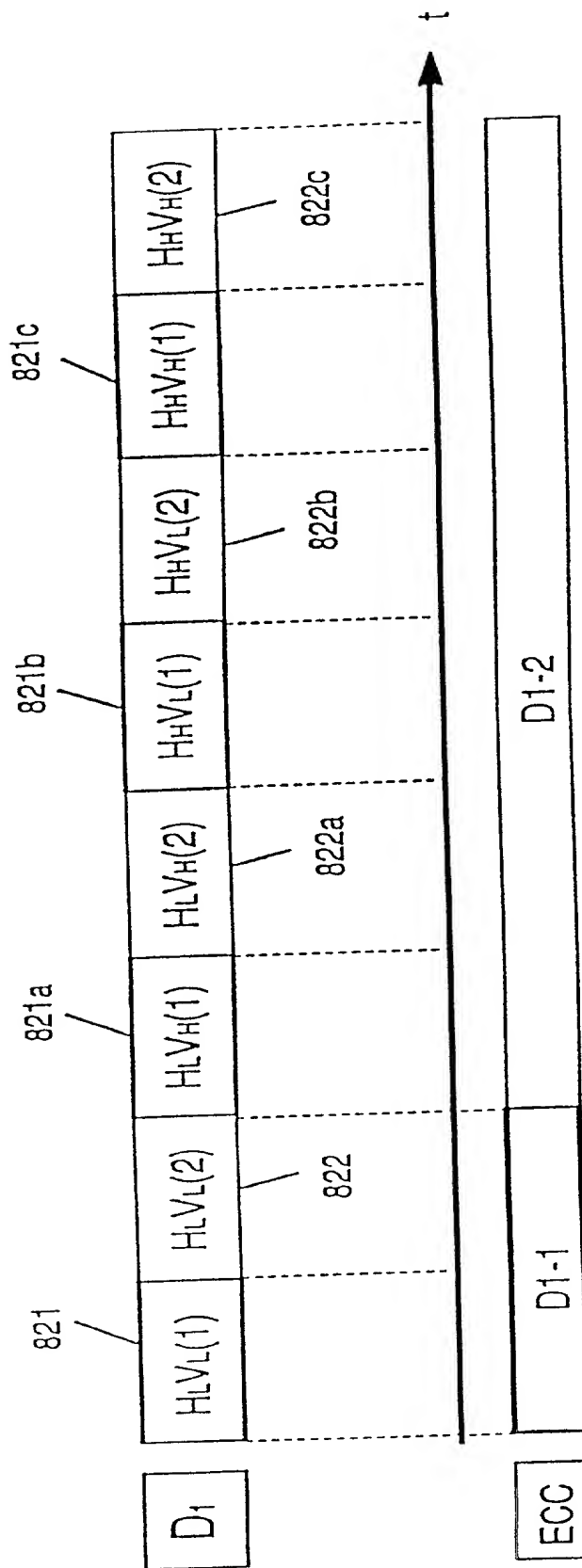


FIG. 77

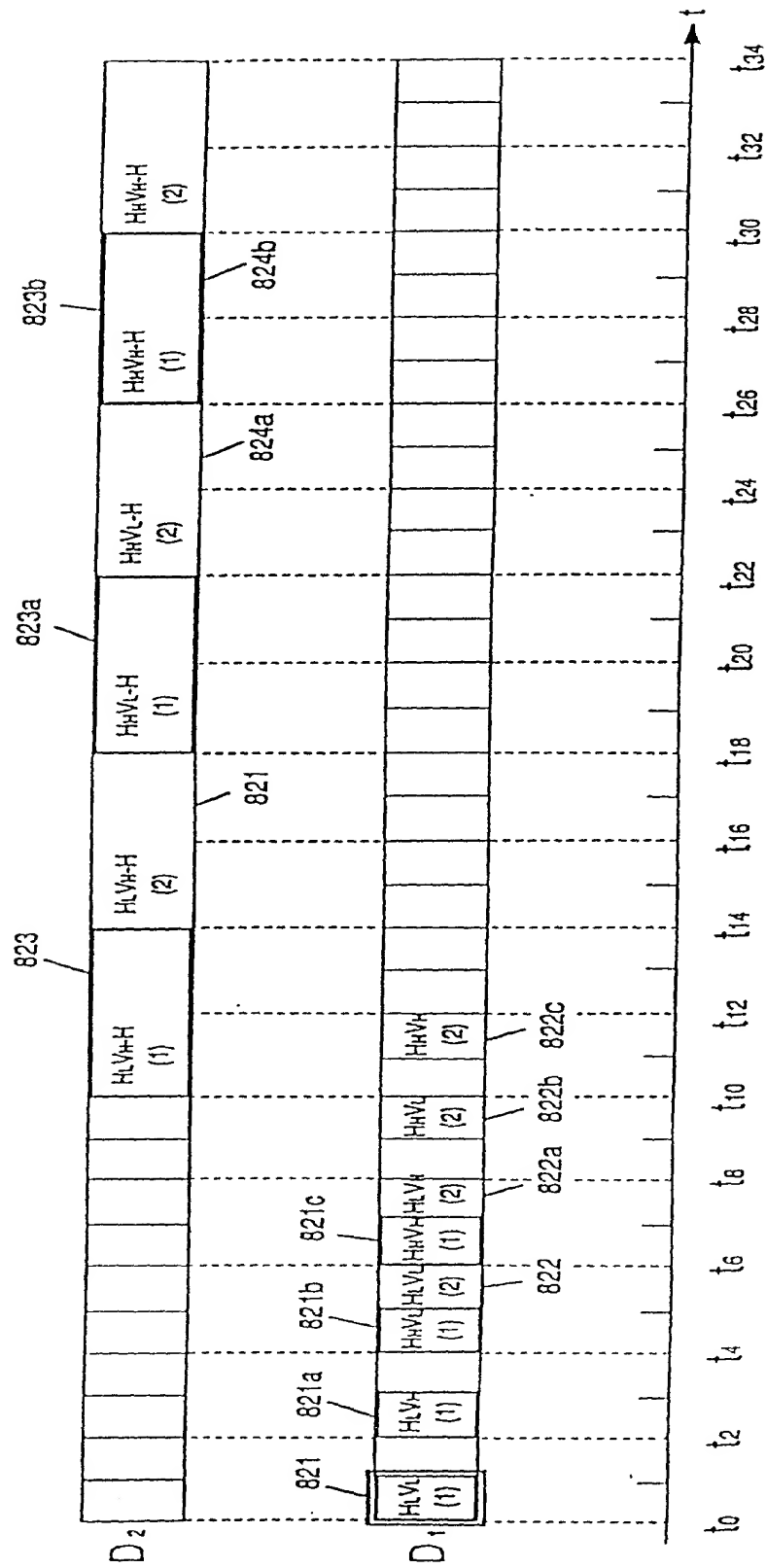


FIG. 78

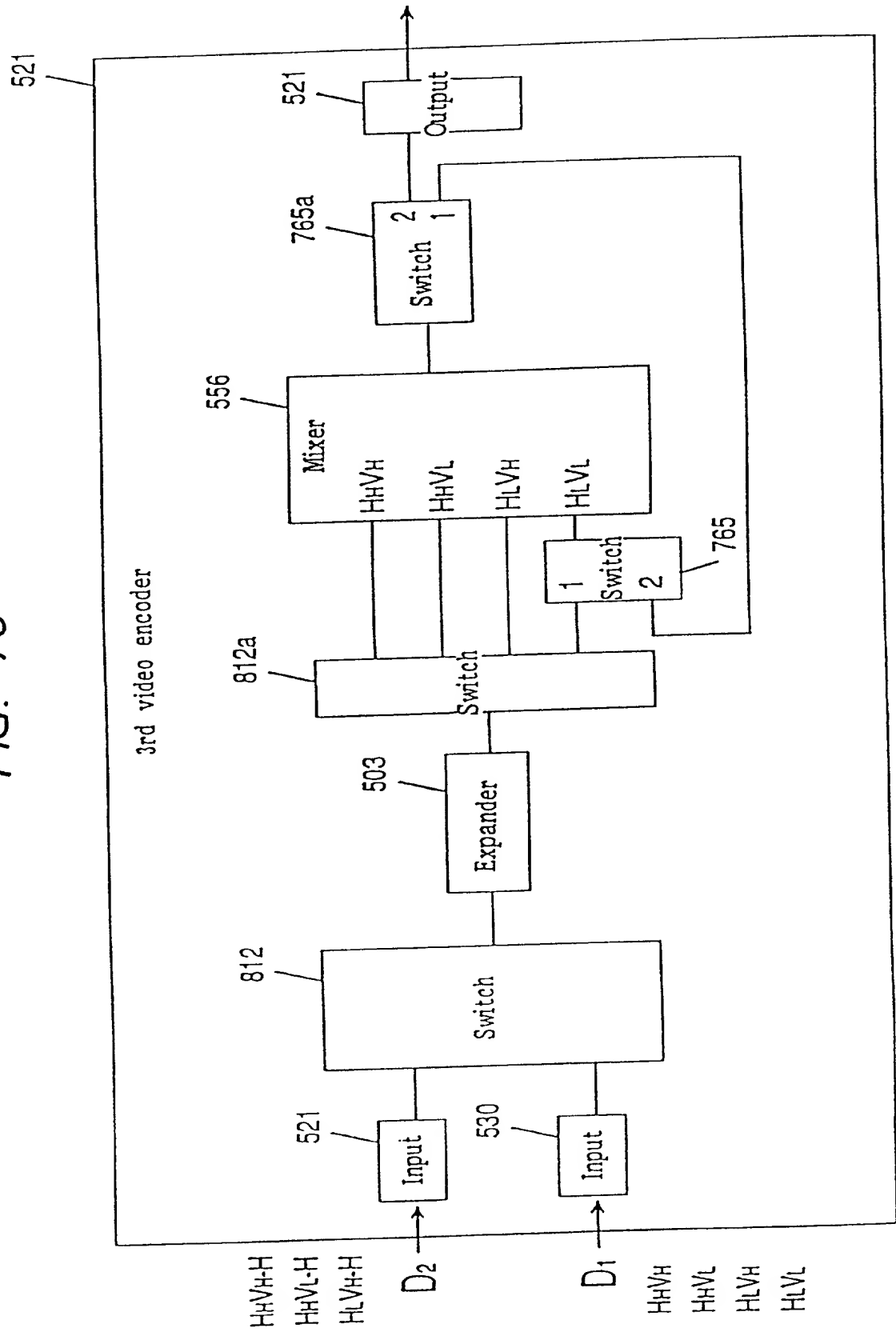


FIG. 79

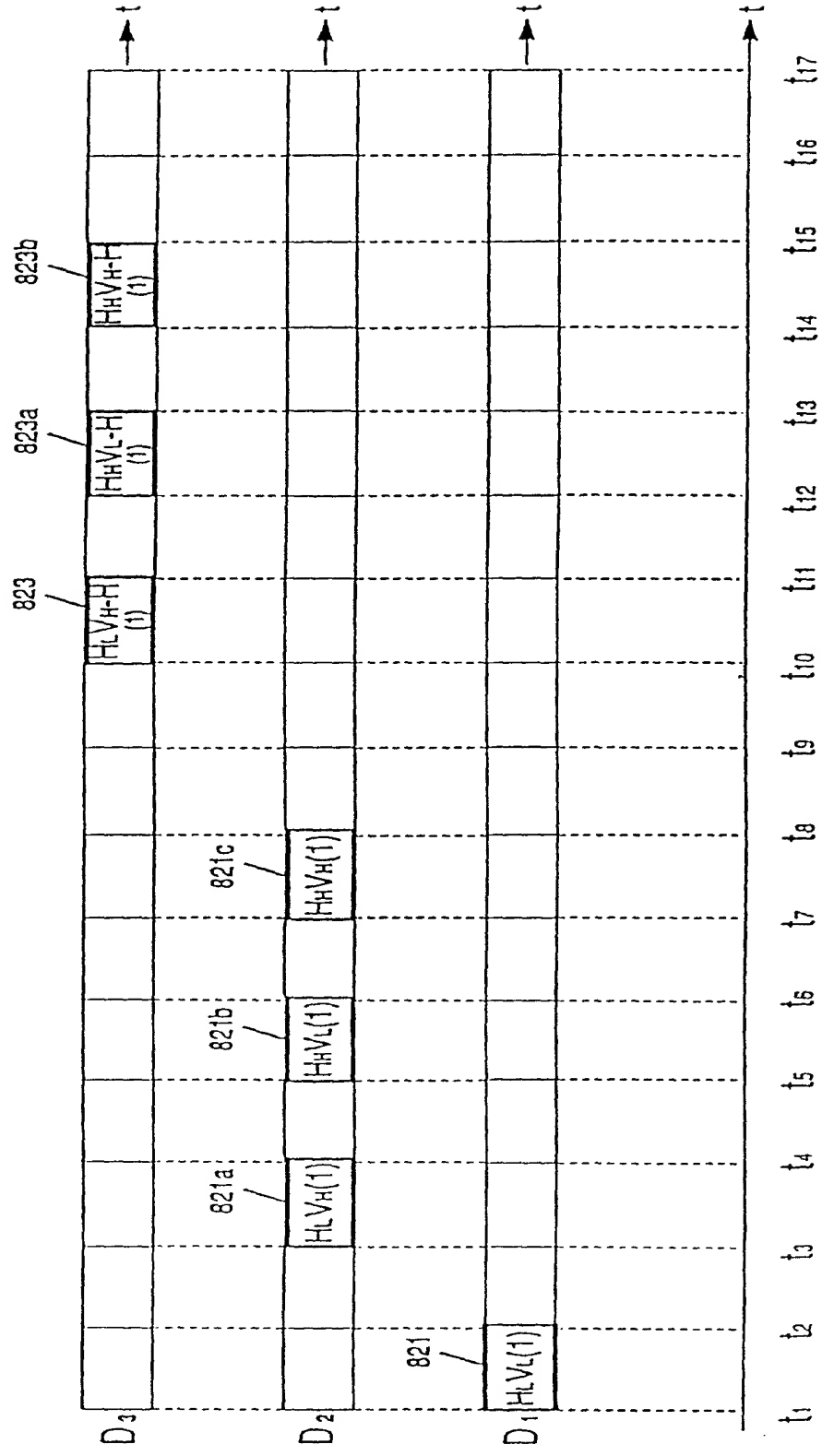


FIG. 80

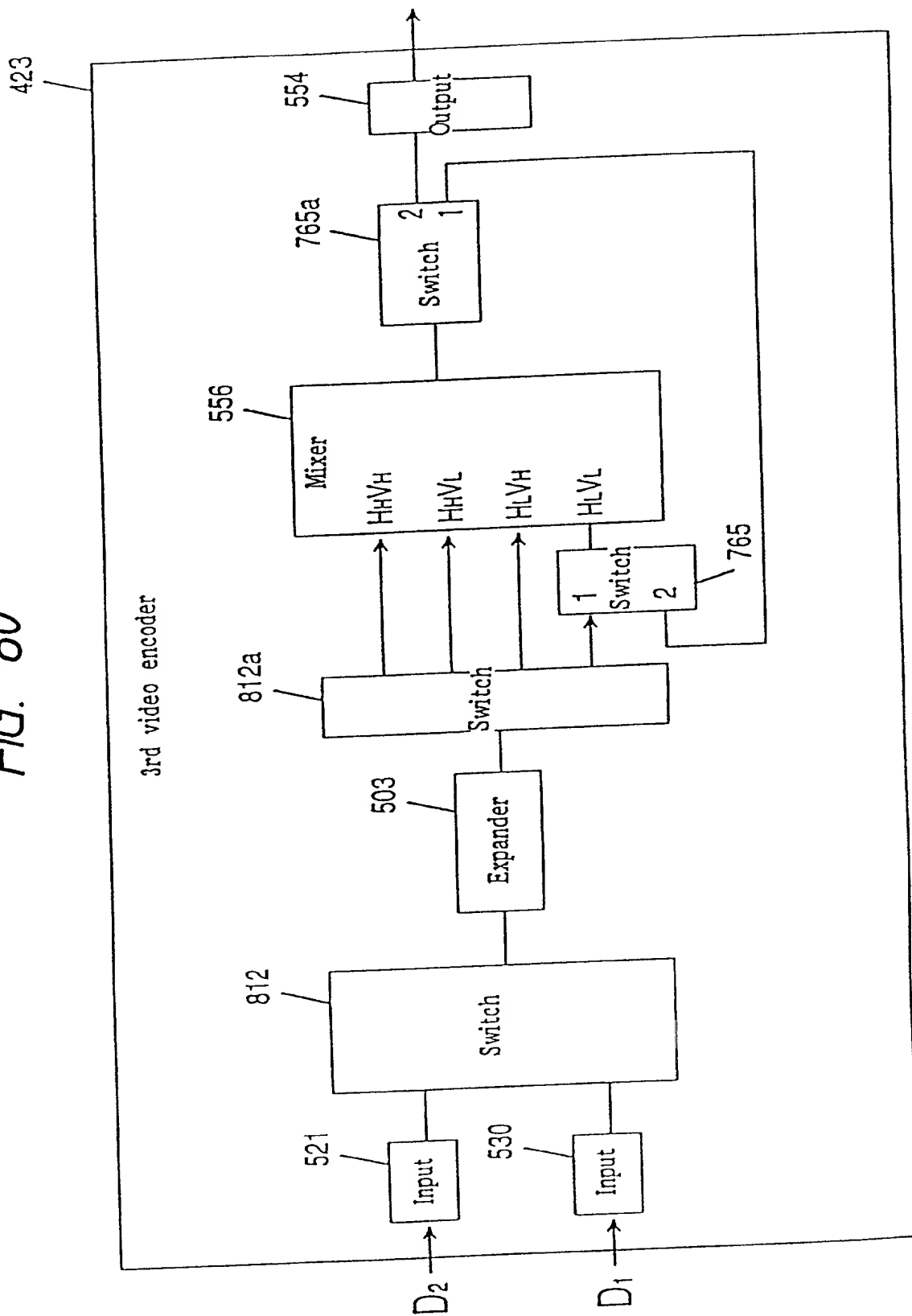


FIG. 81

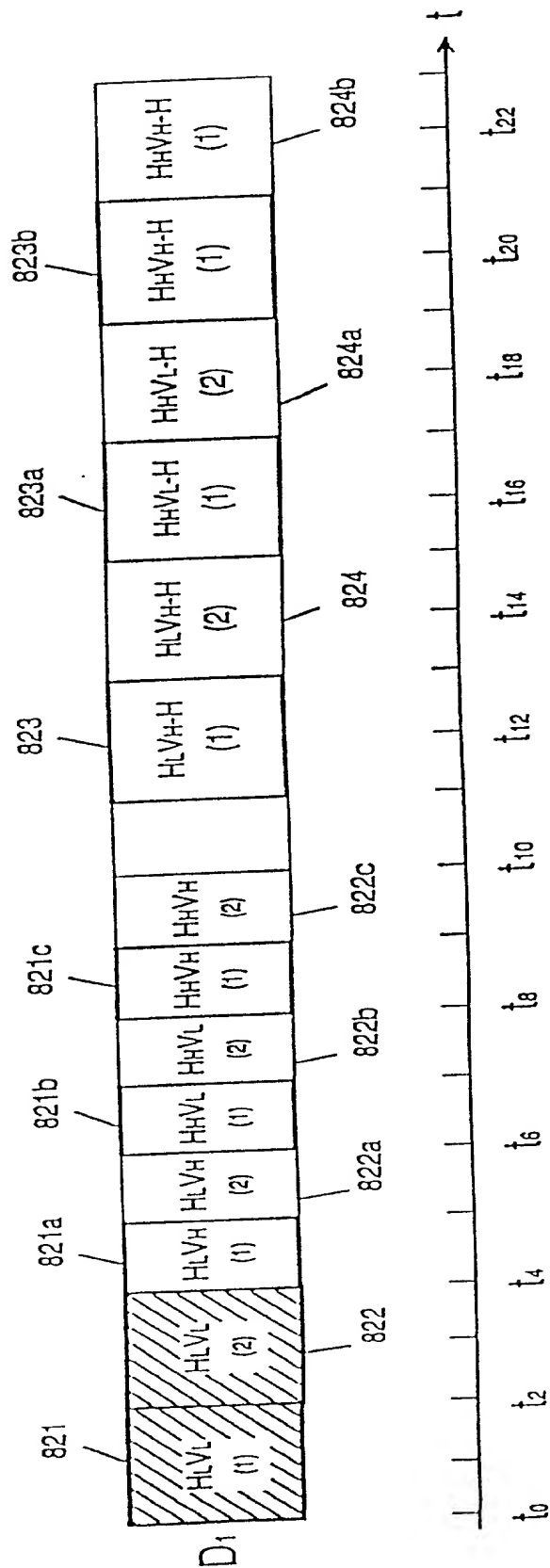


FIG. 82

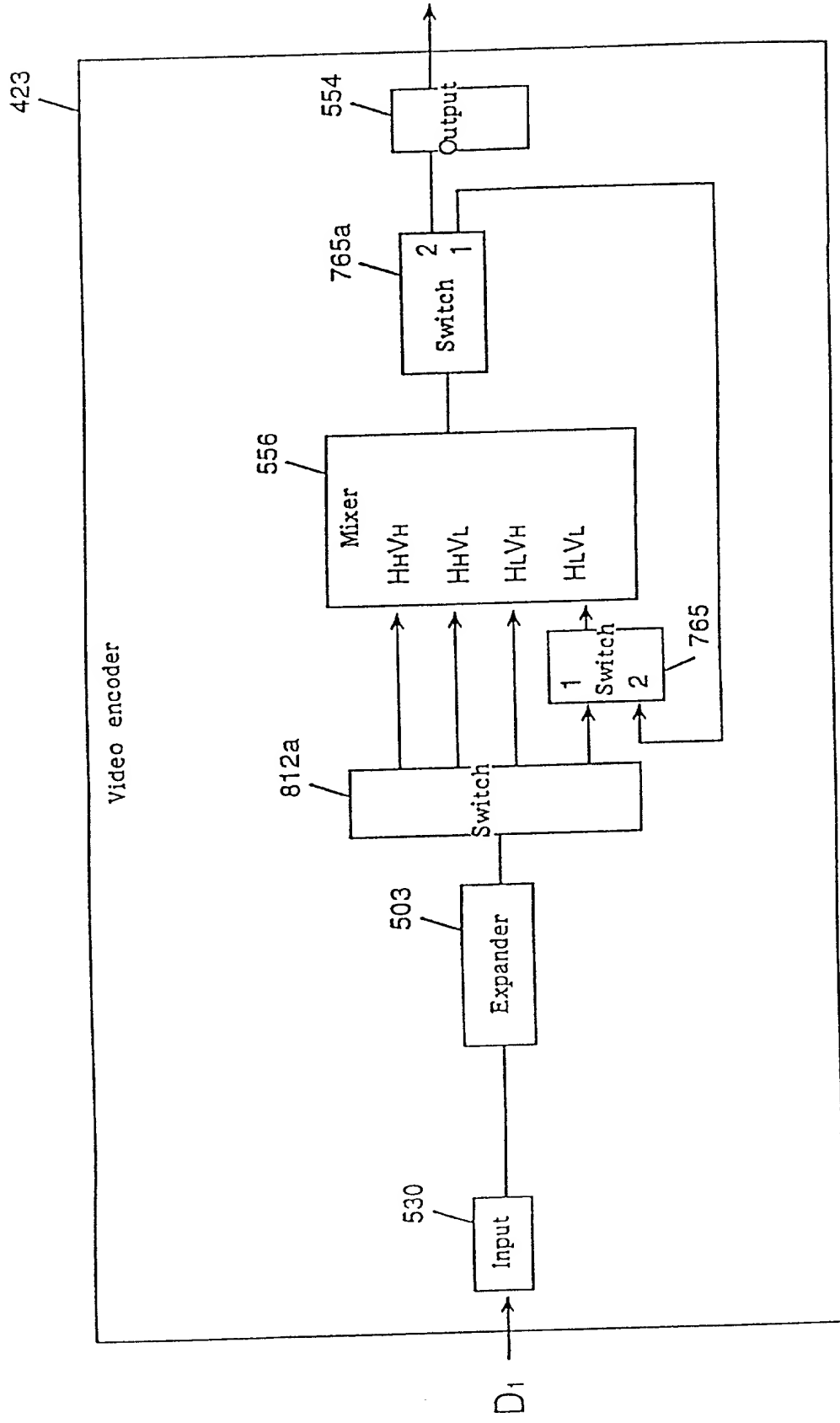


FIG. 83

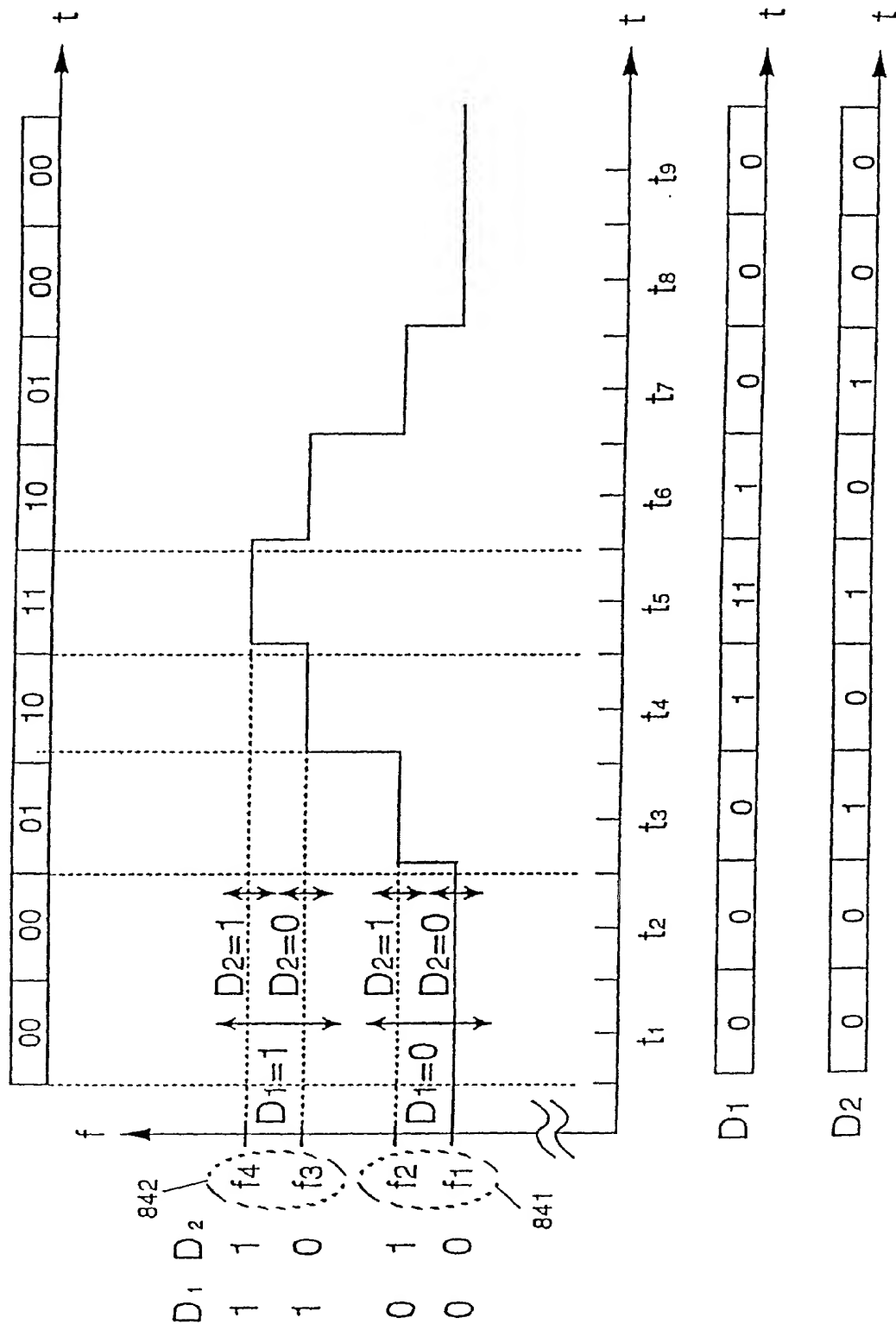


FIG. 84

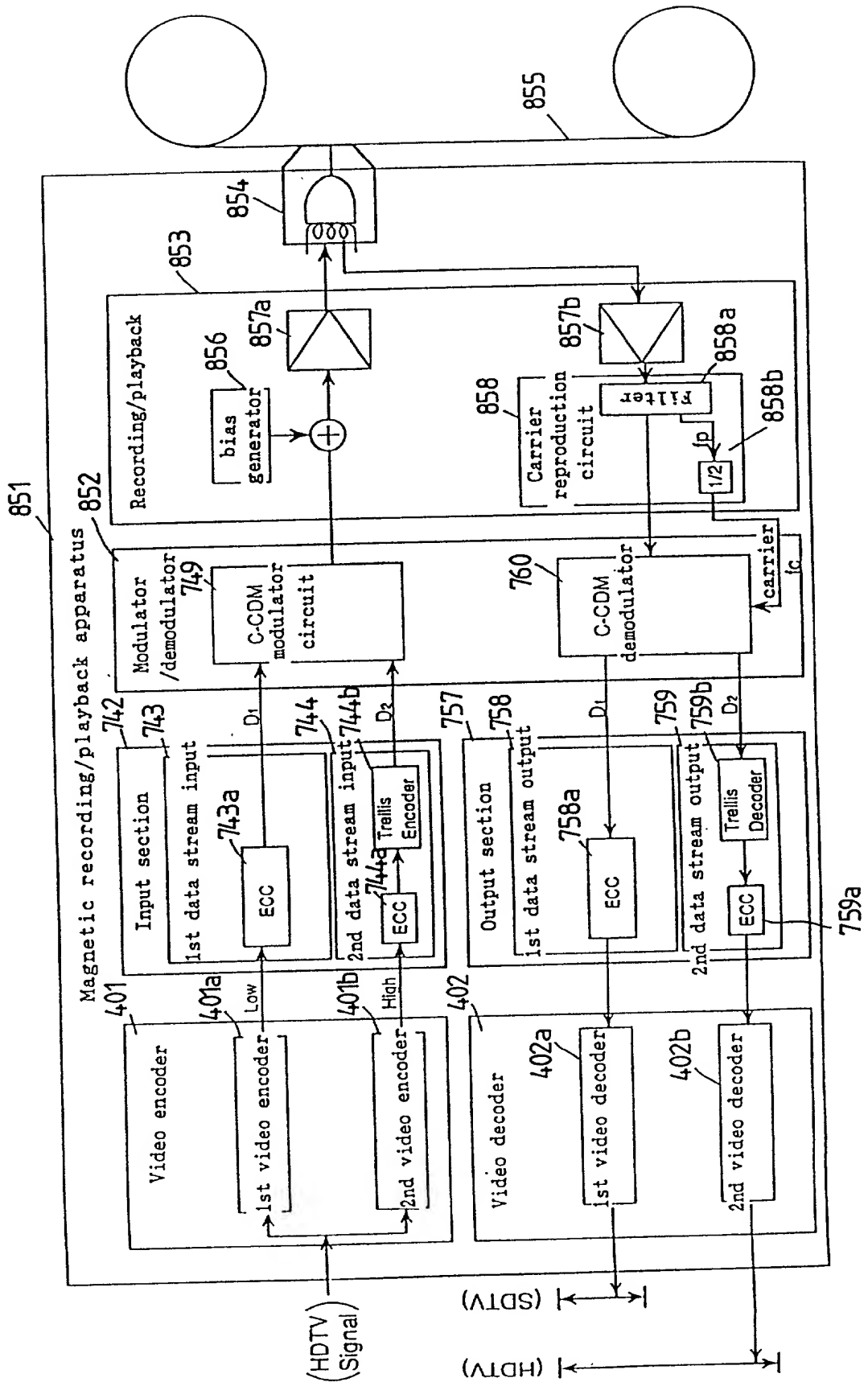


FIG. 85

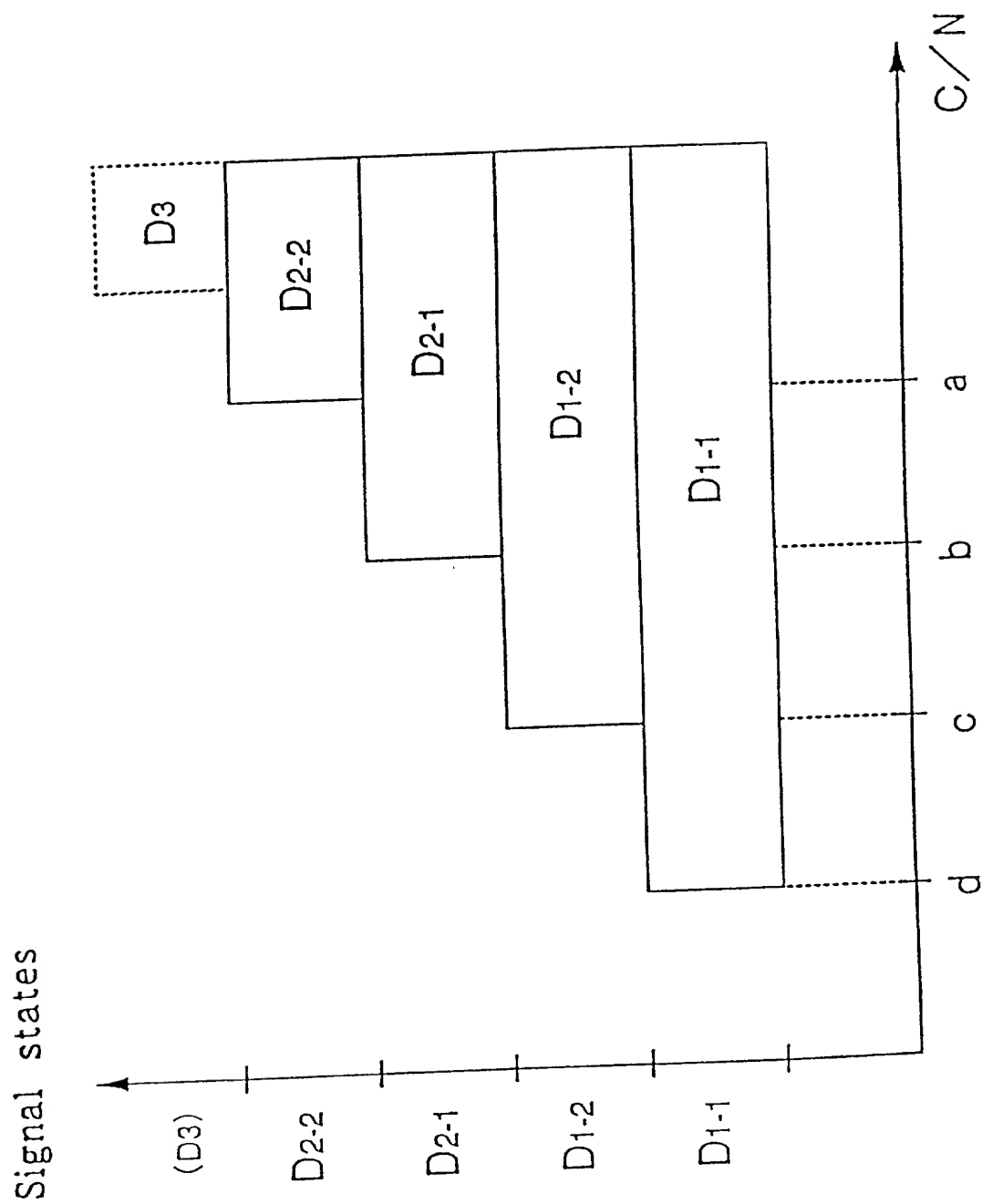


FIG. 86

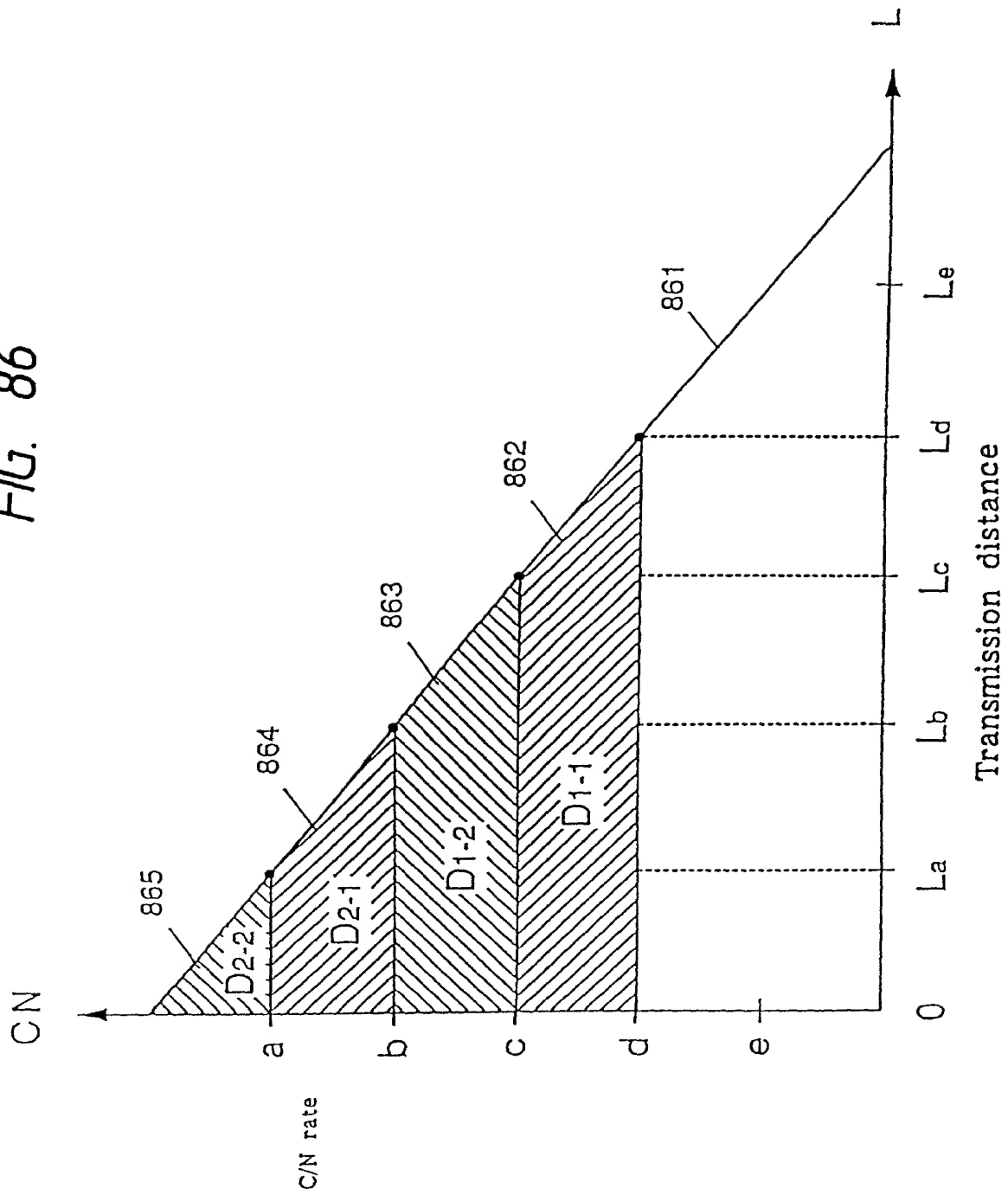


FIG. 87

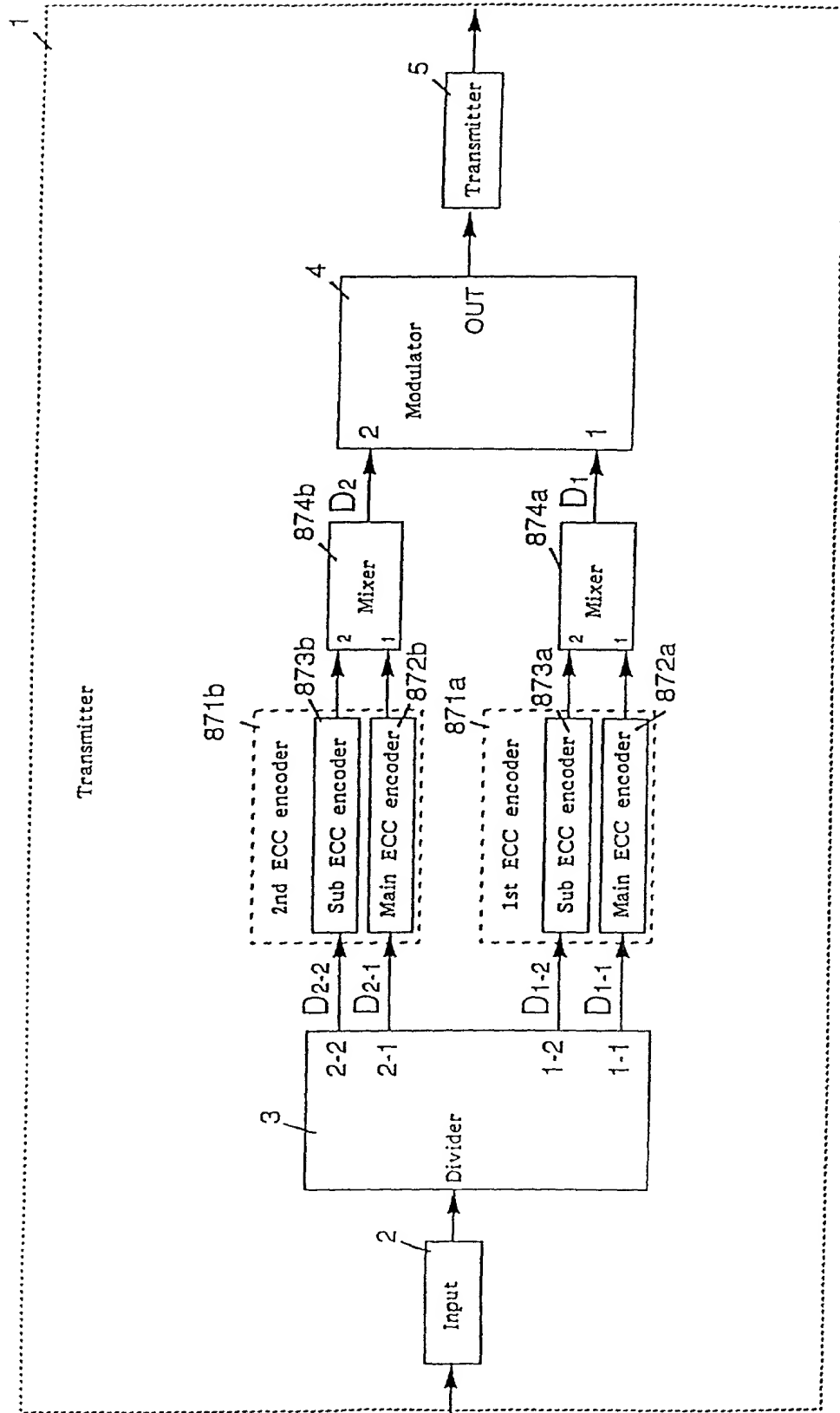


FIG. 88

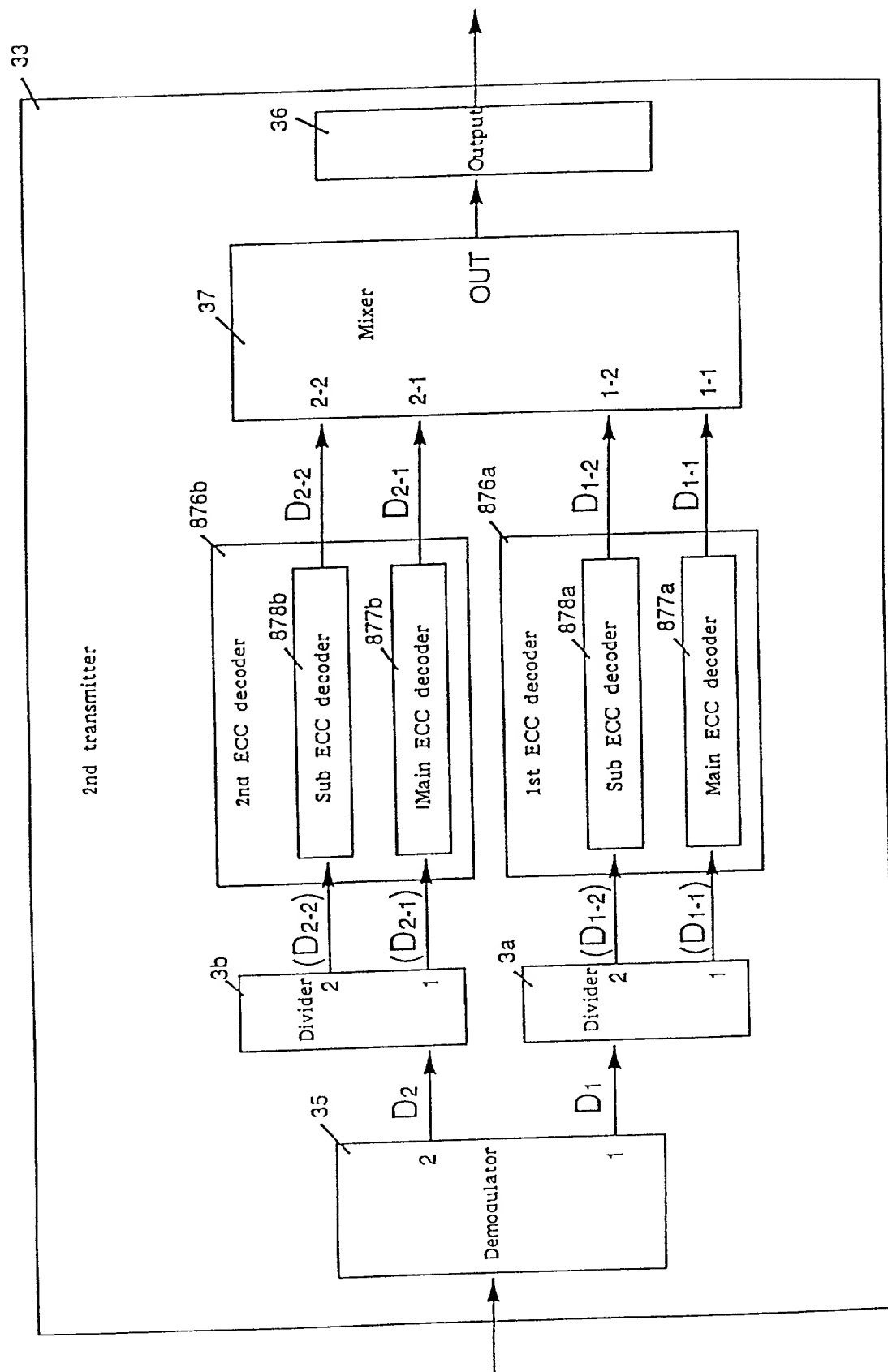


FIG. 89

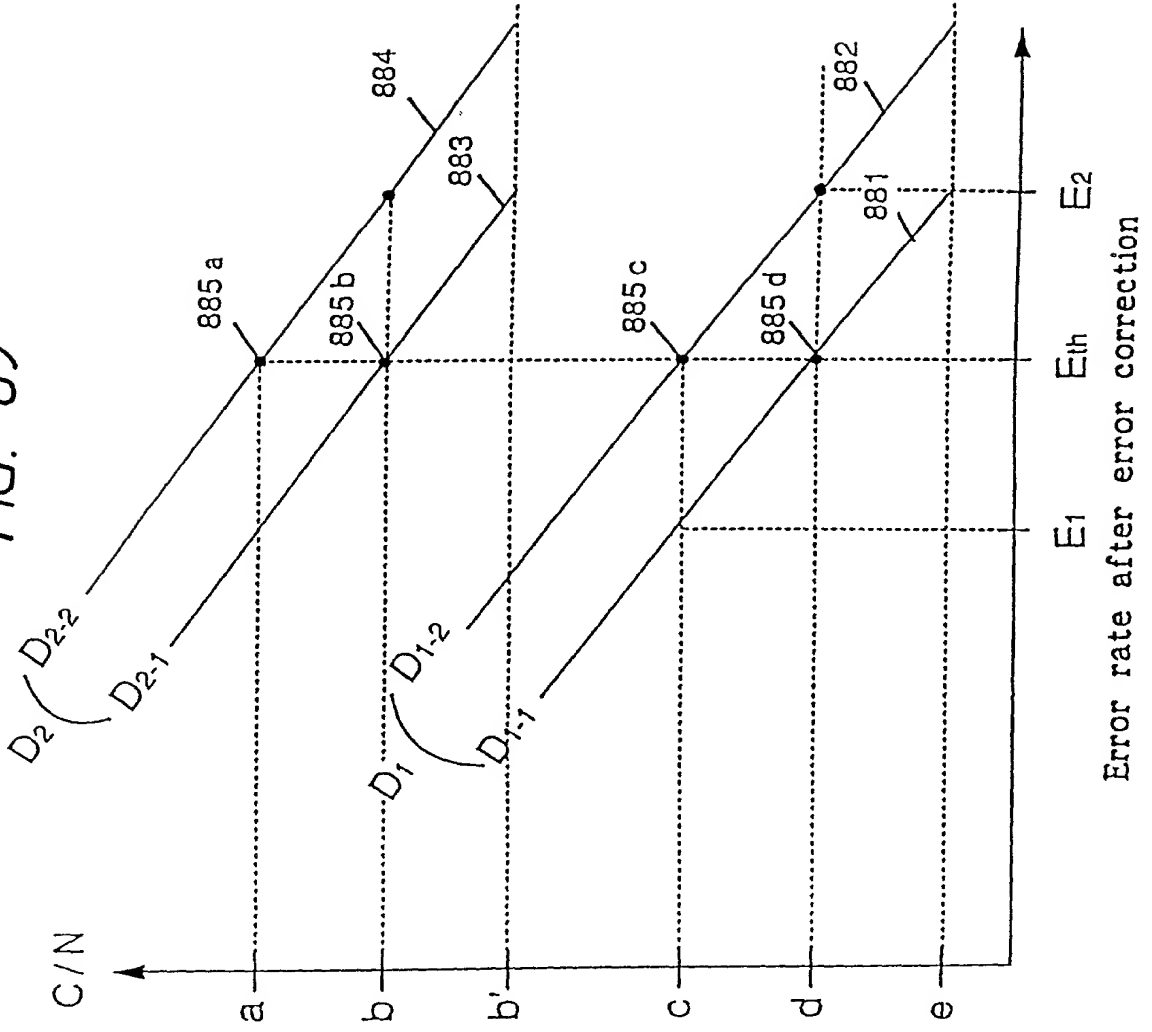


FIG. 90

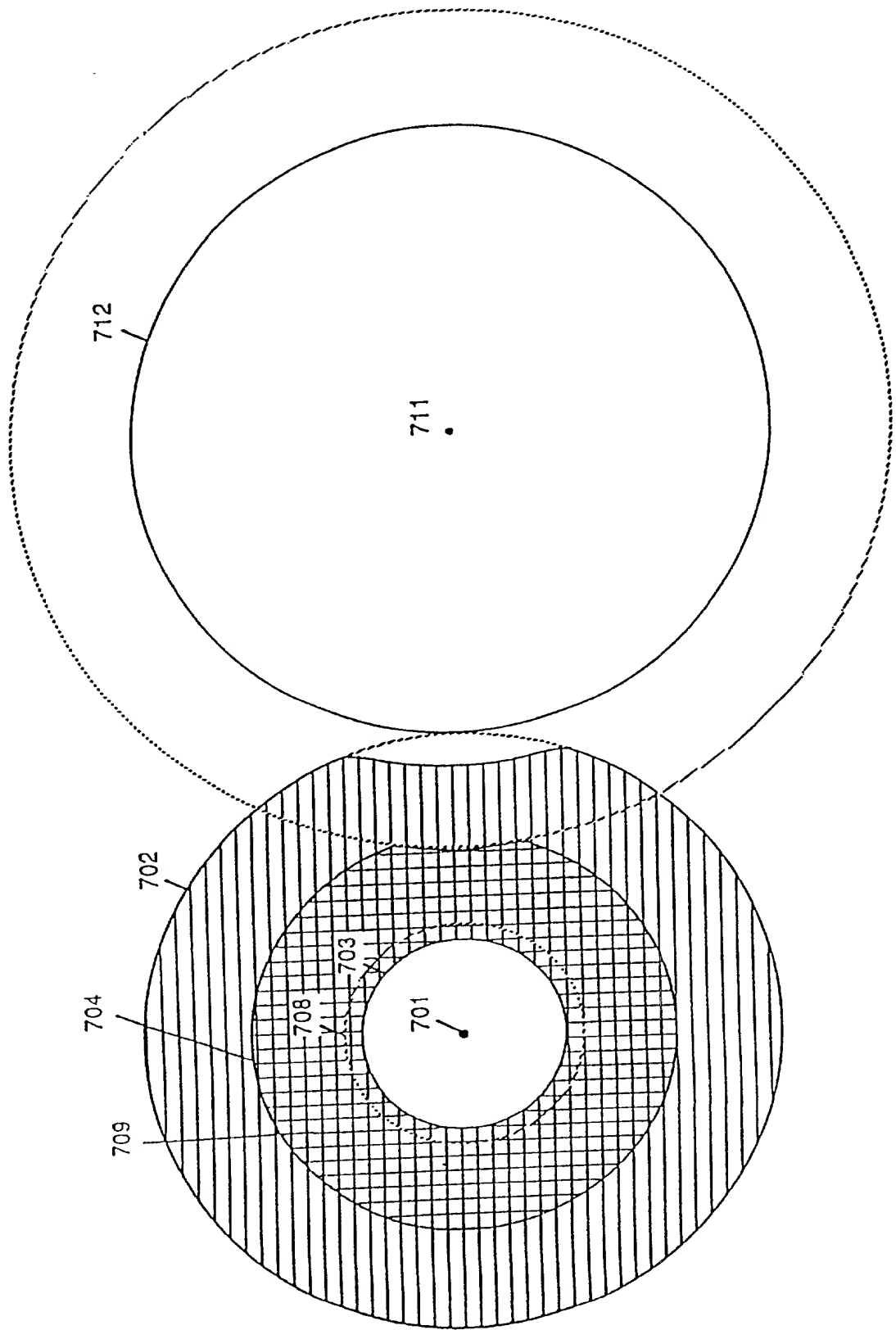


FIG. 91

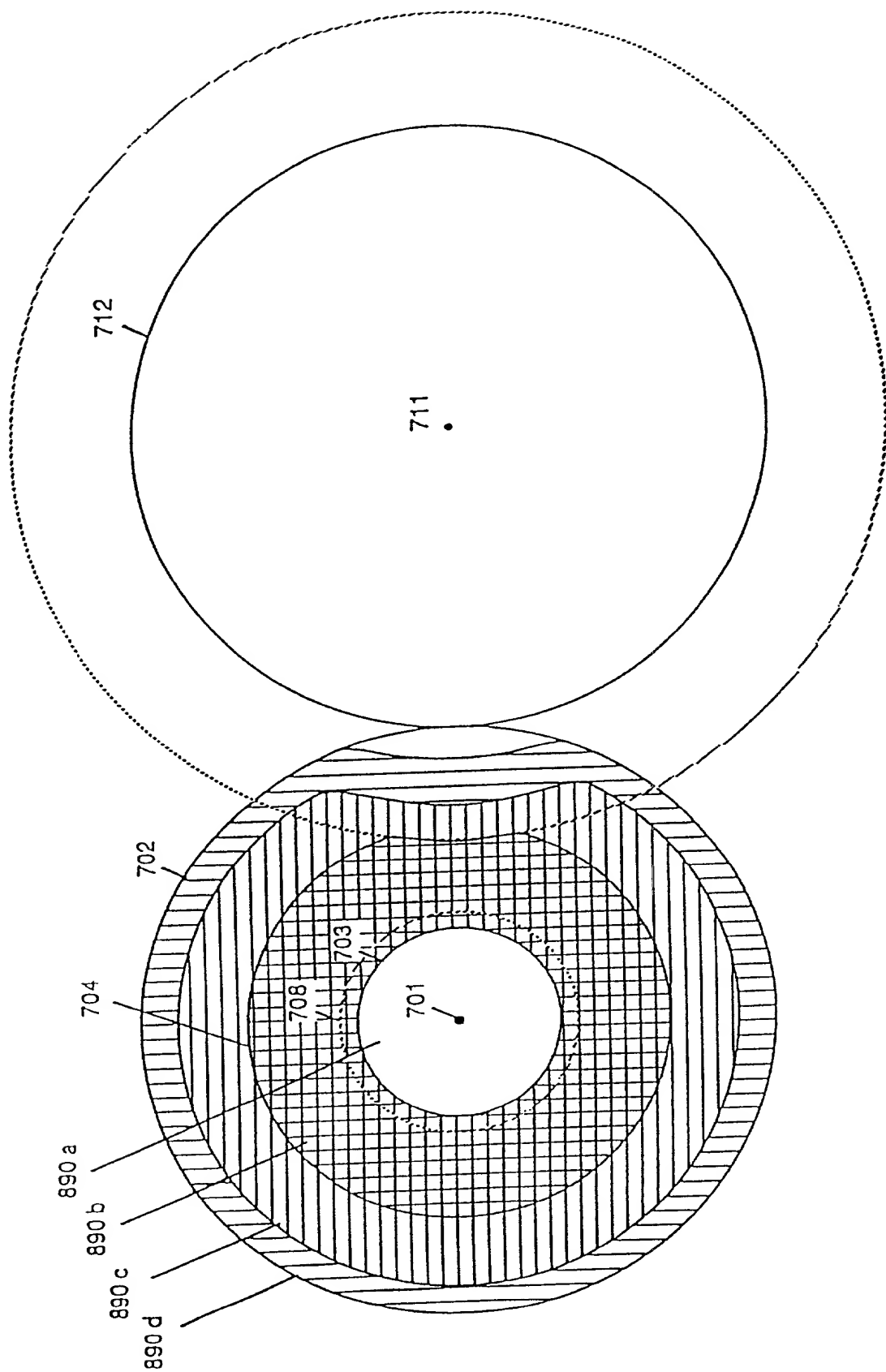


FIG. 92

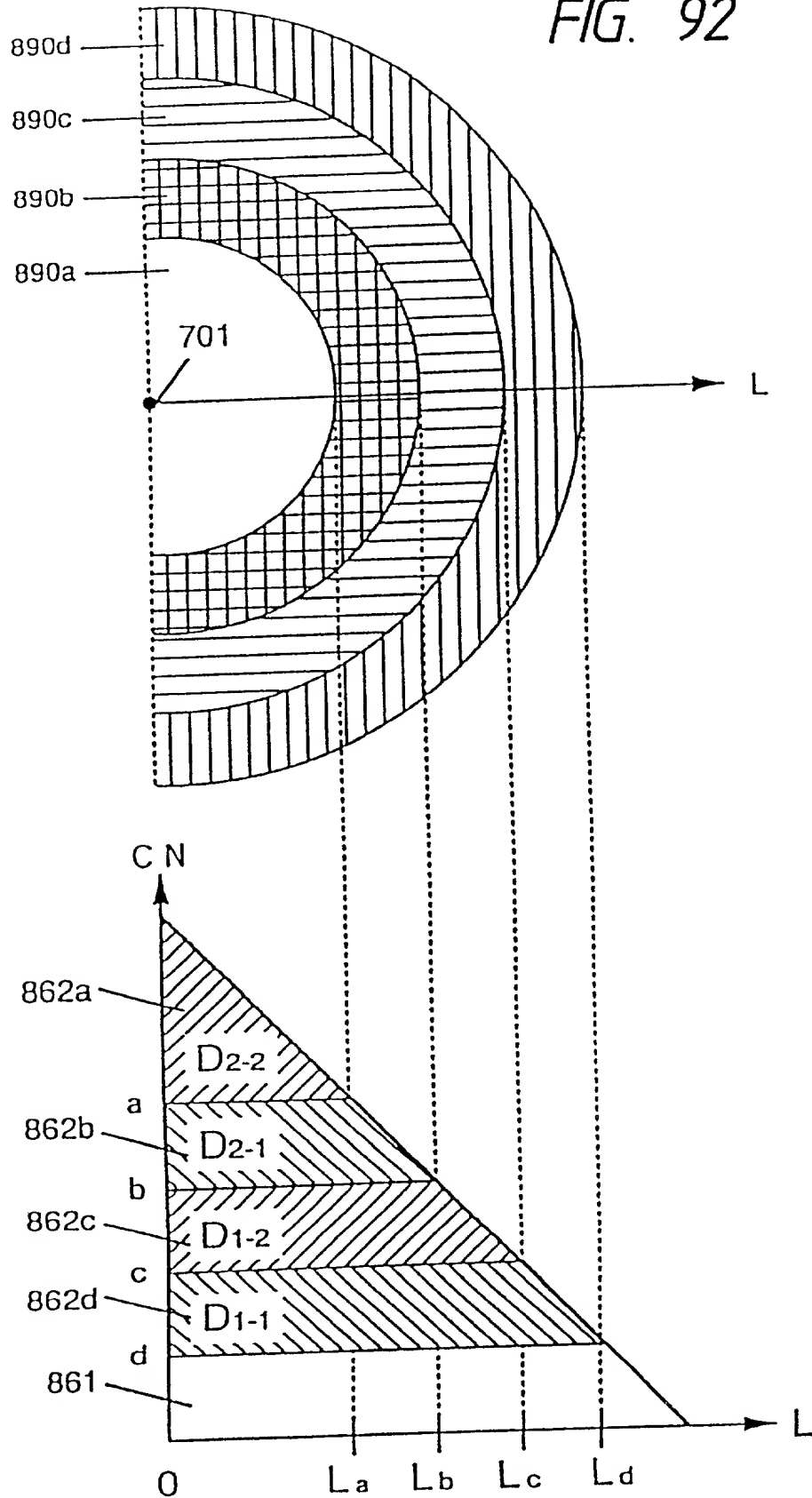


FIG. 93

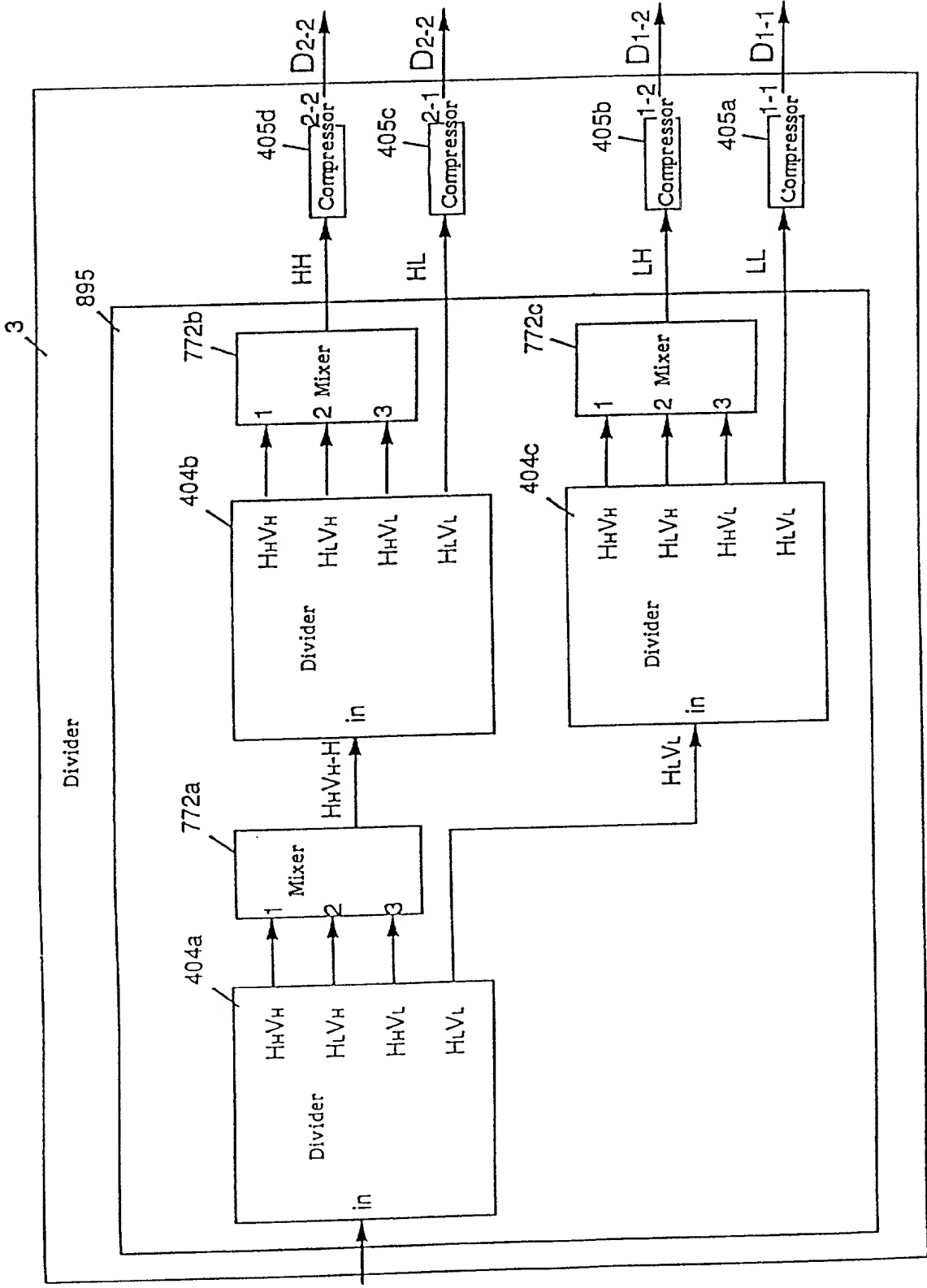


FIG. 95

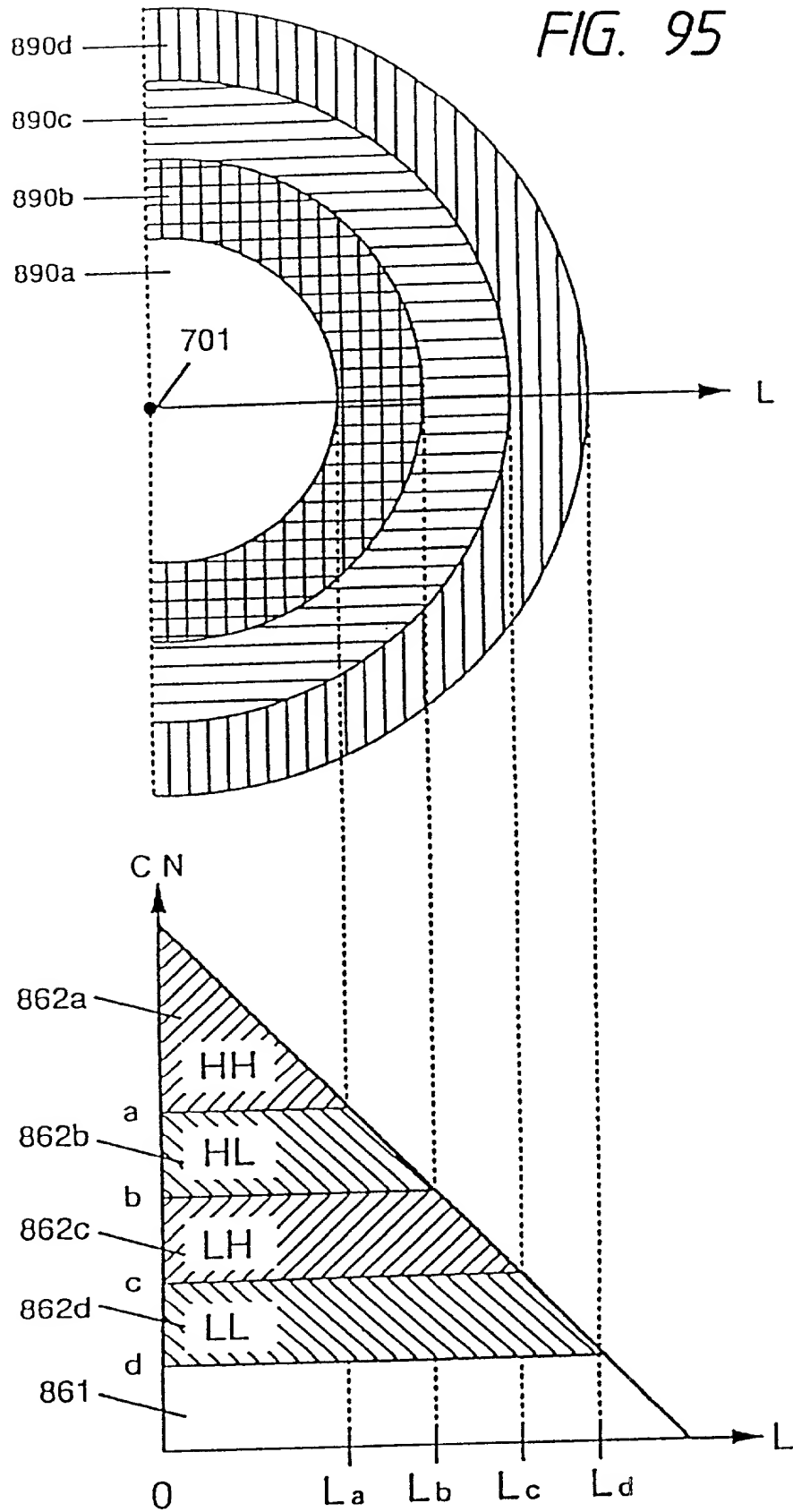


FIG. 96

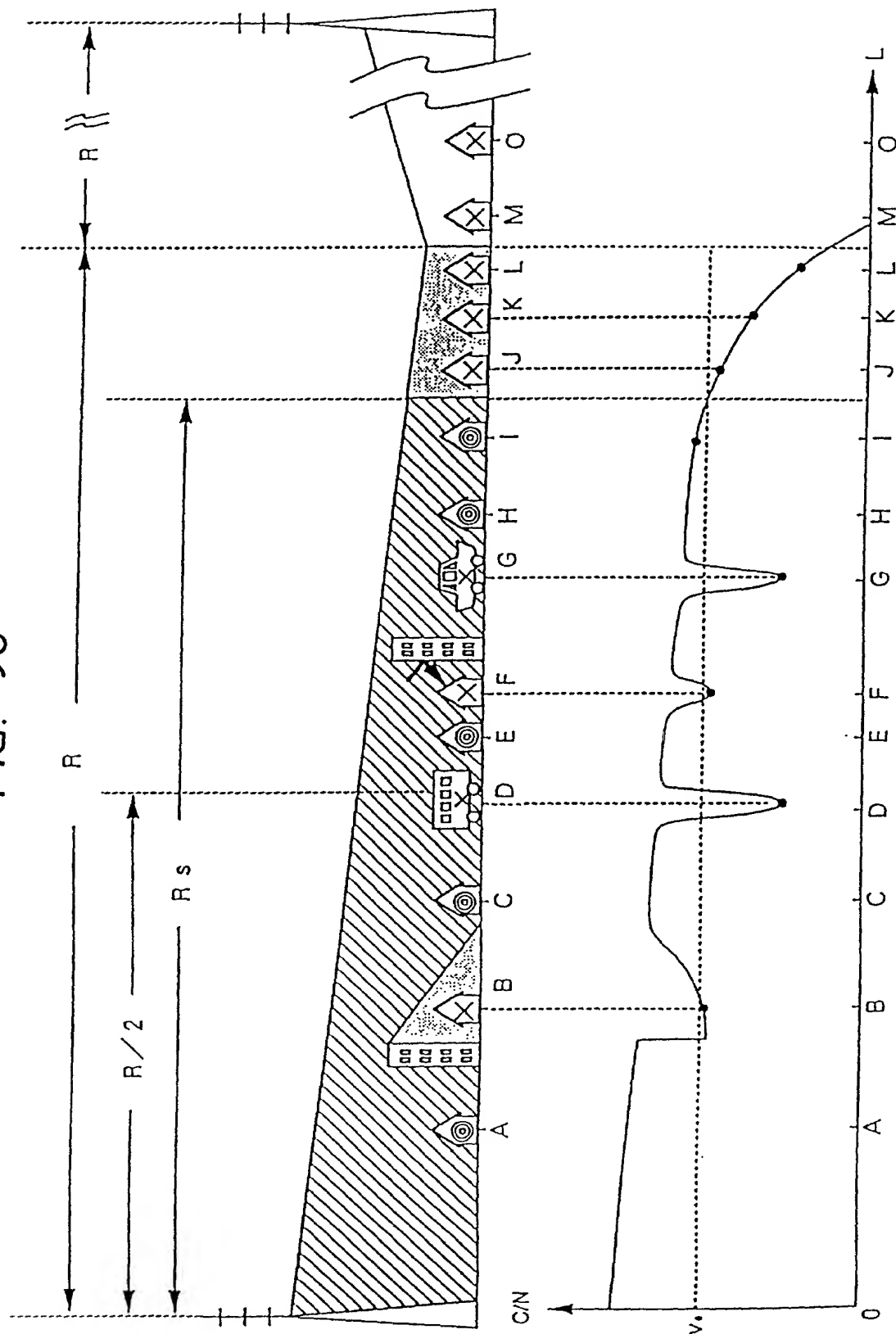


FIG. 97

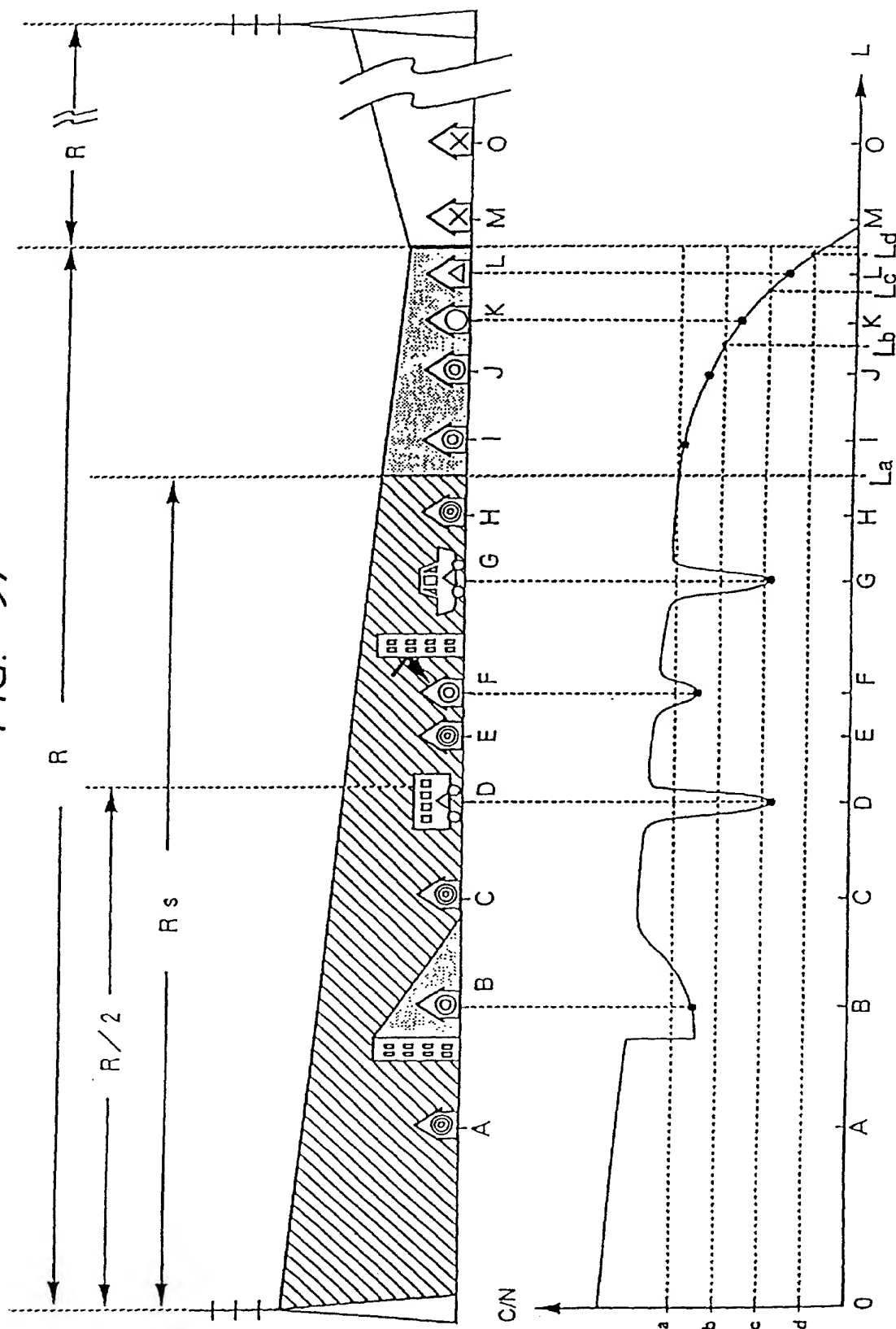


FIG. 98

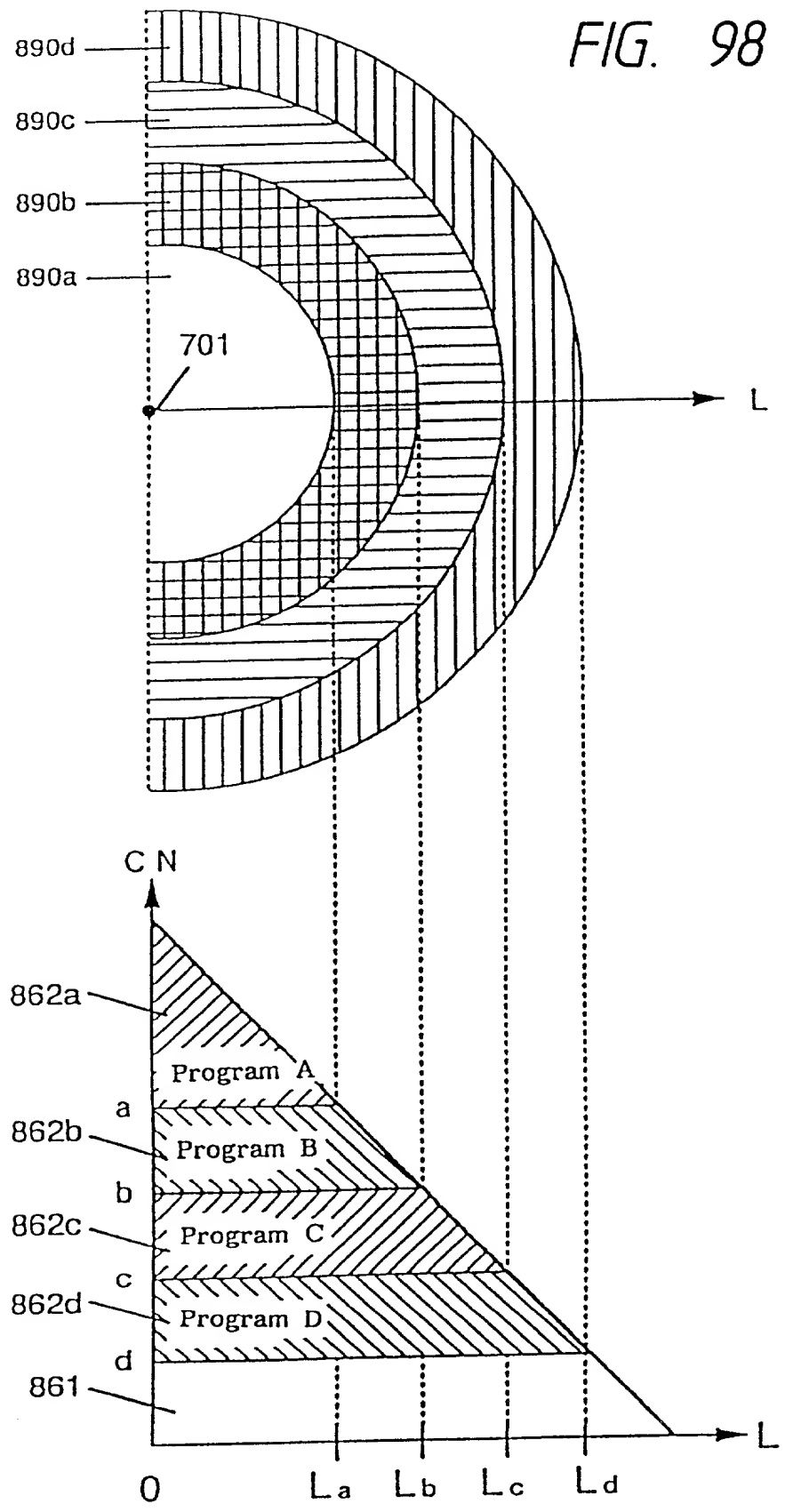


FIG. 99

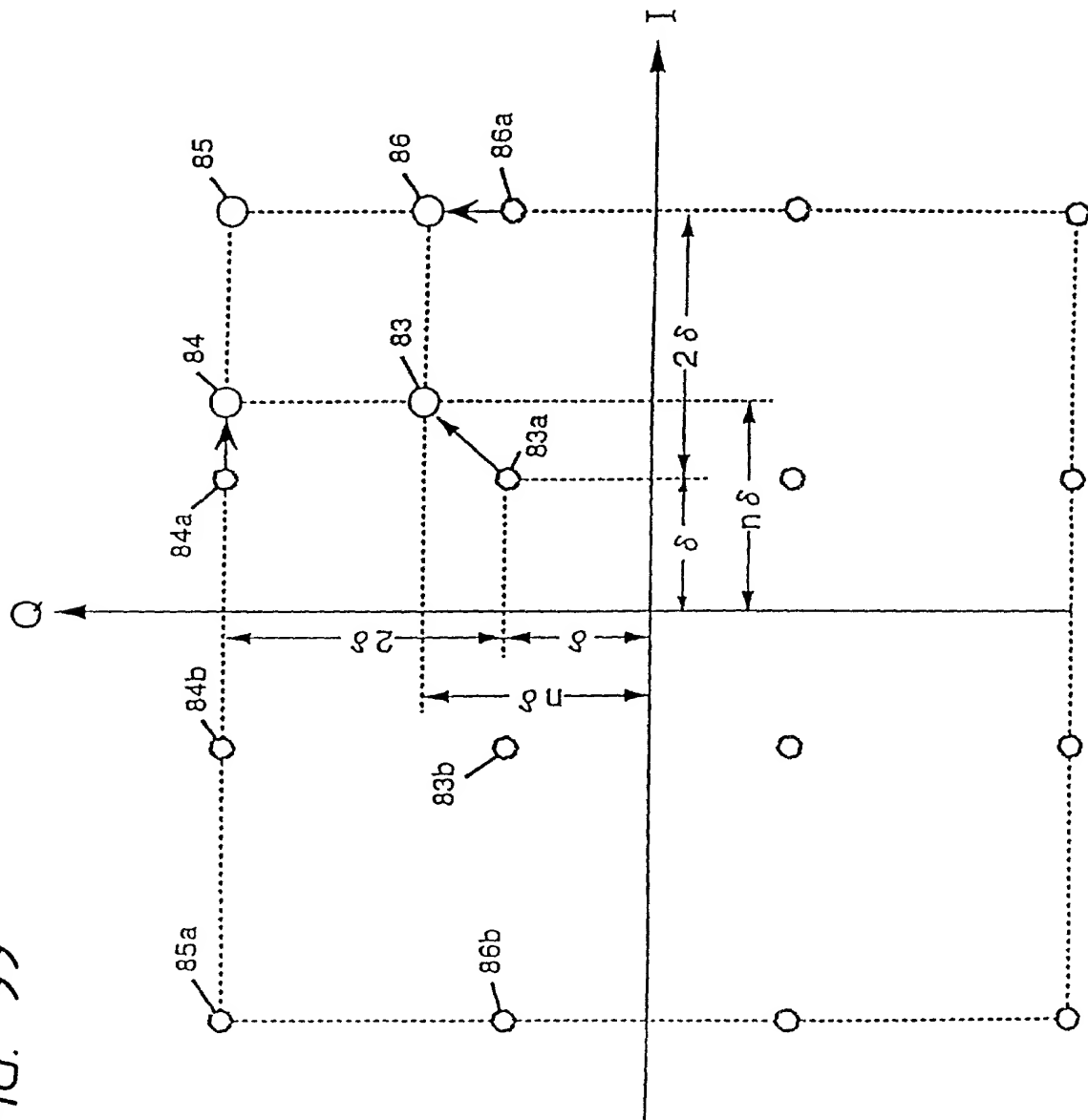


FIG. 100

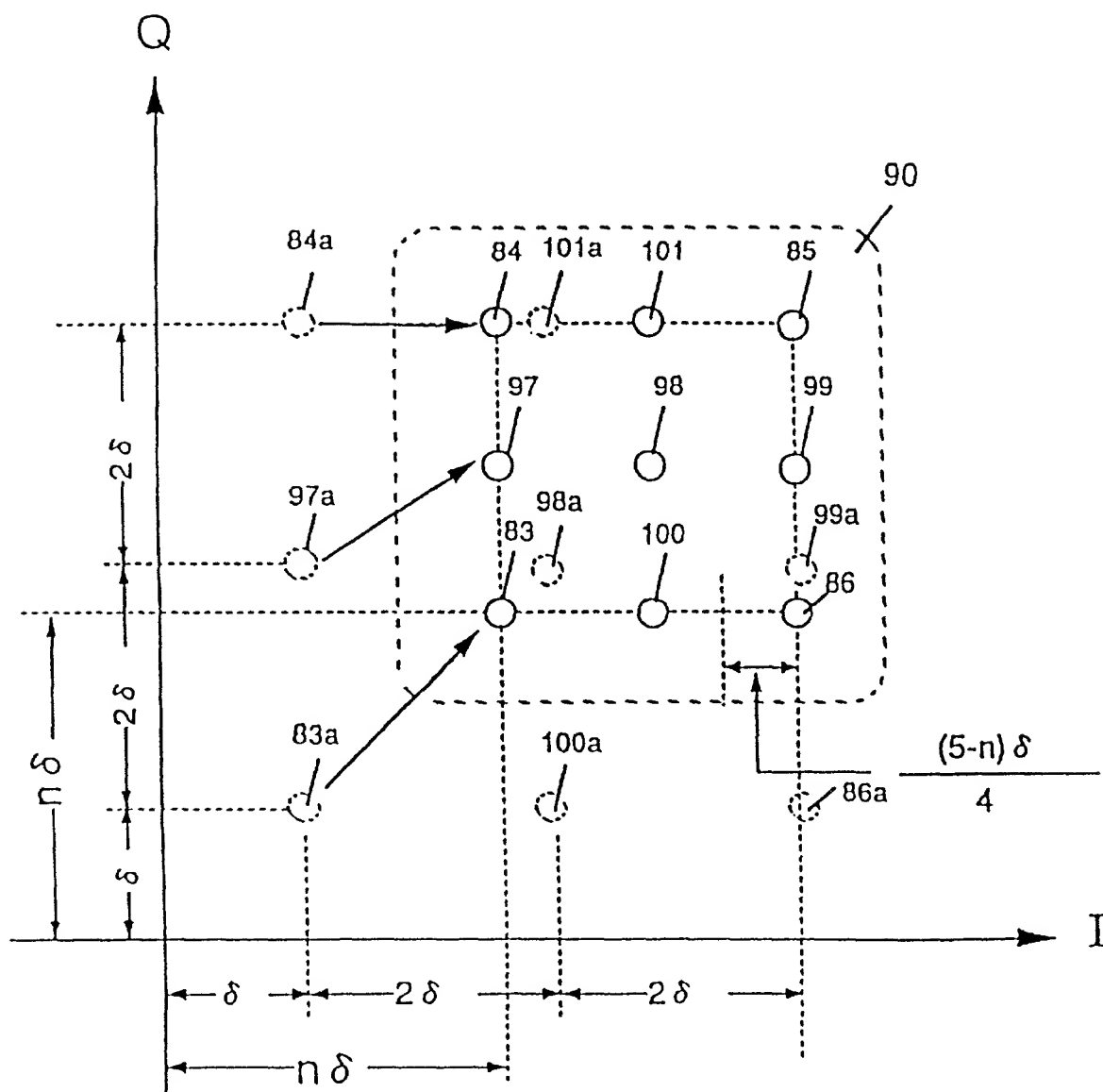


FIG. 101

Pe

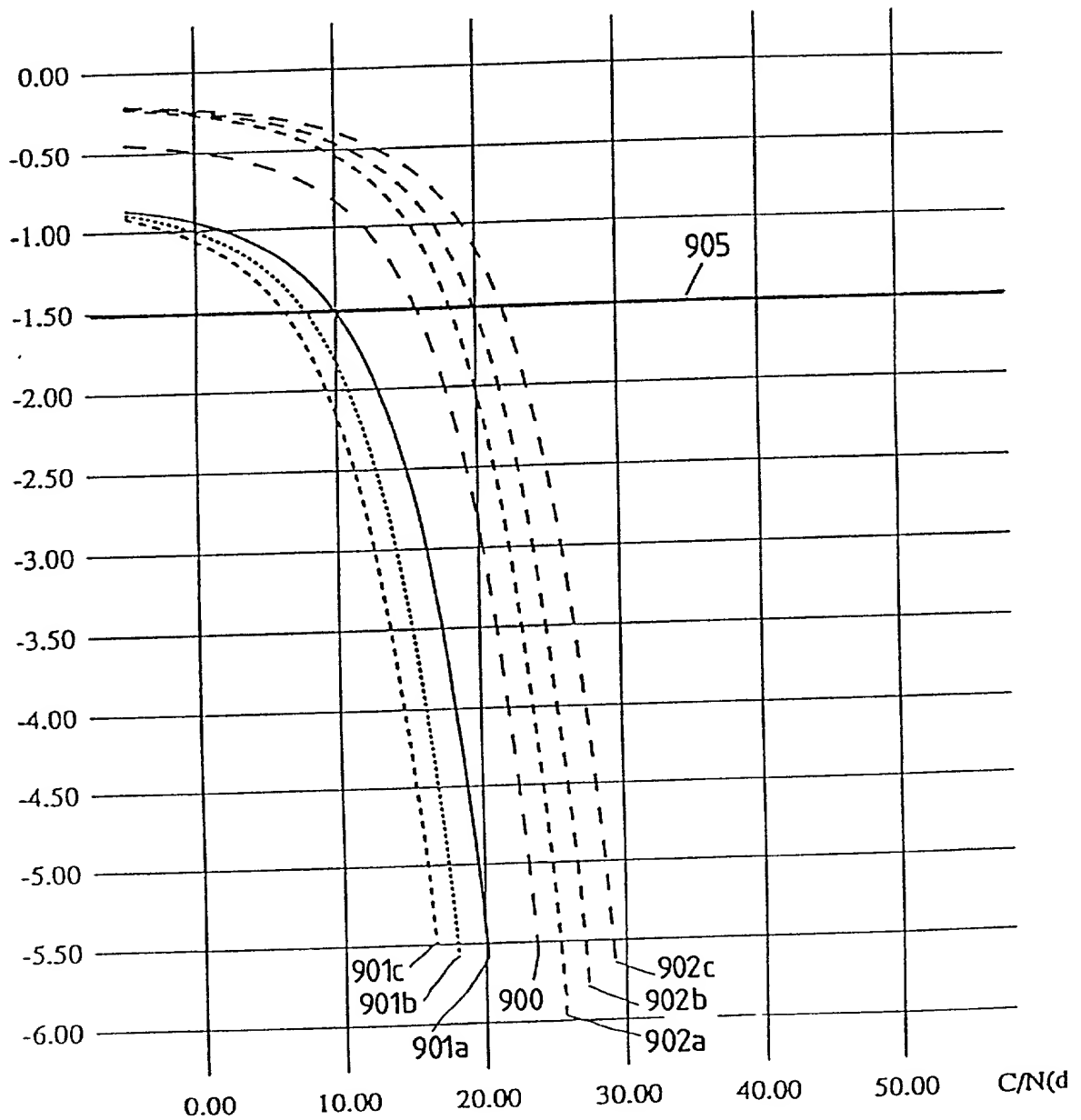


FIG. 102

Pe

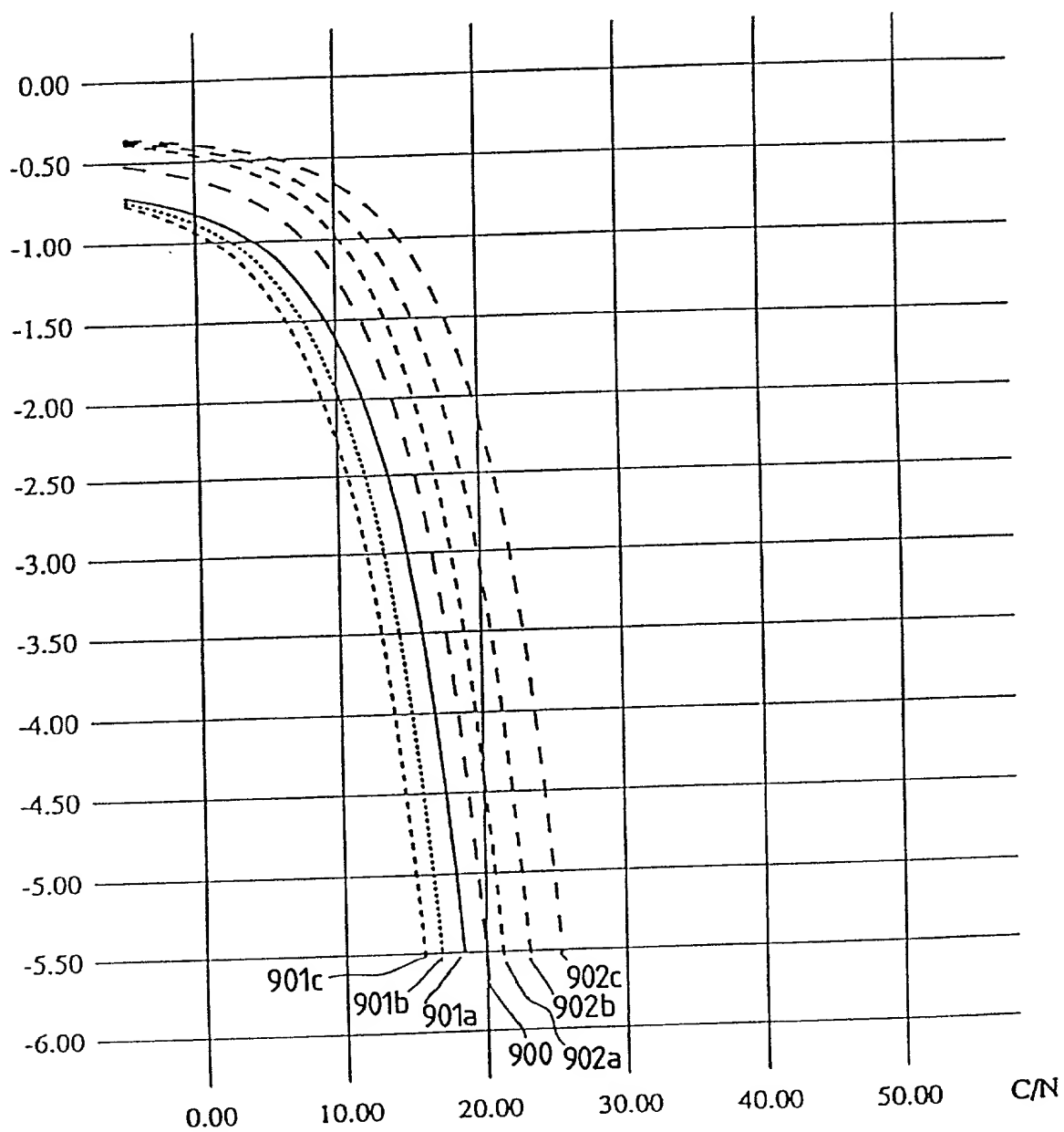
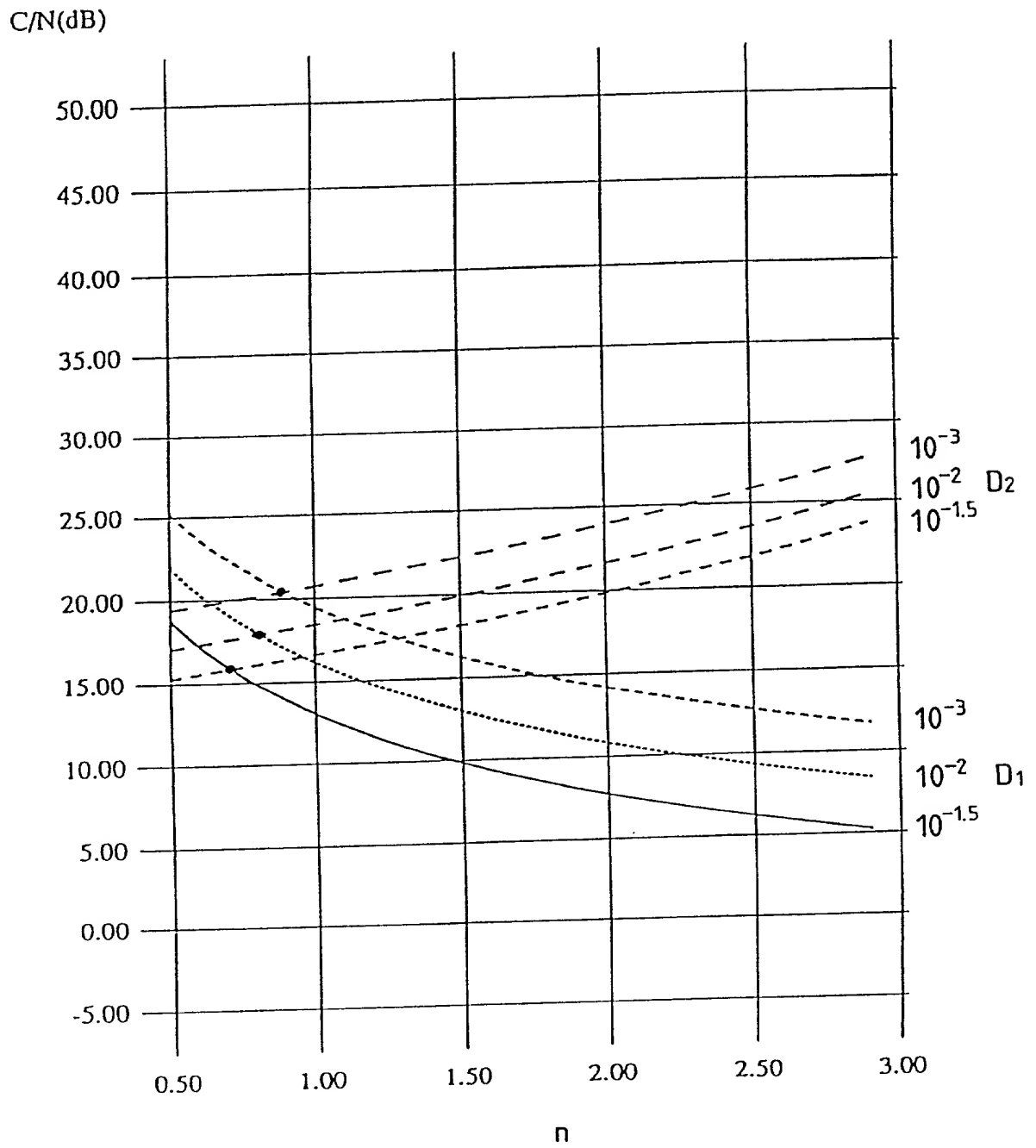
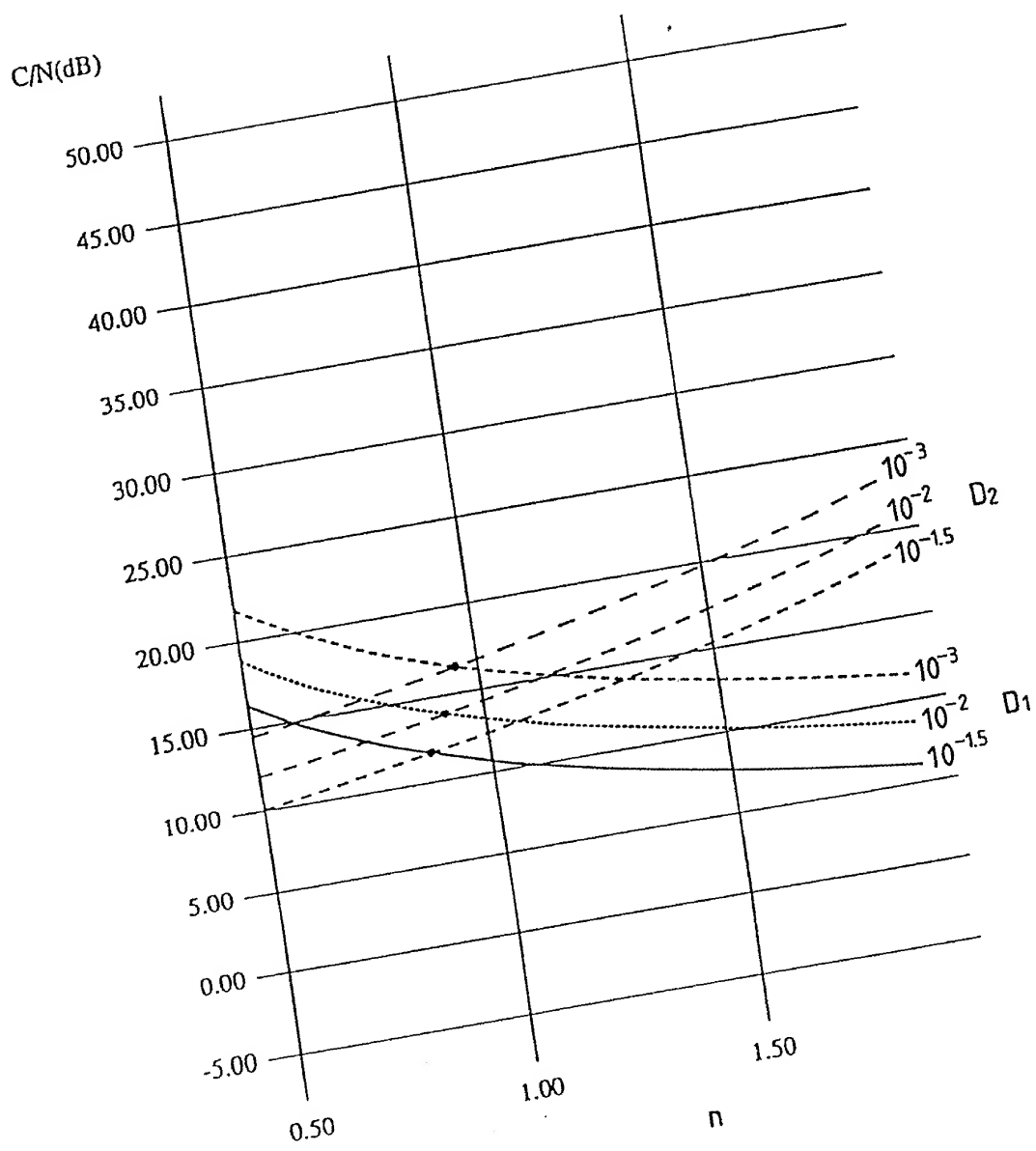


FIG. 103



005011 9250260

FIG. 104



09705775-340677

FIG. 105

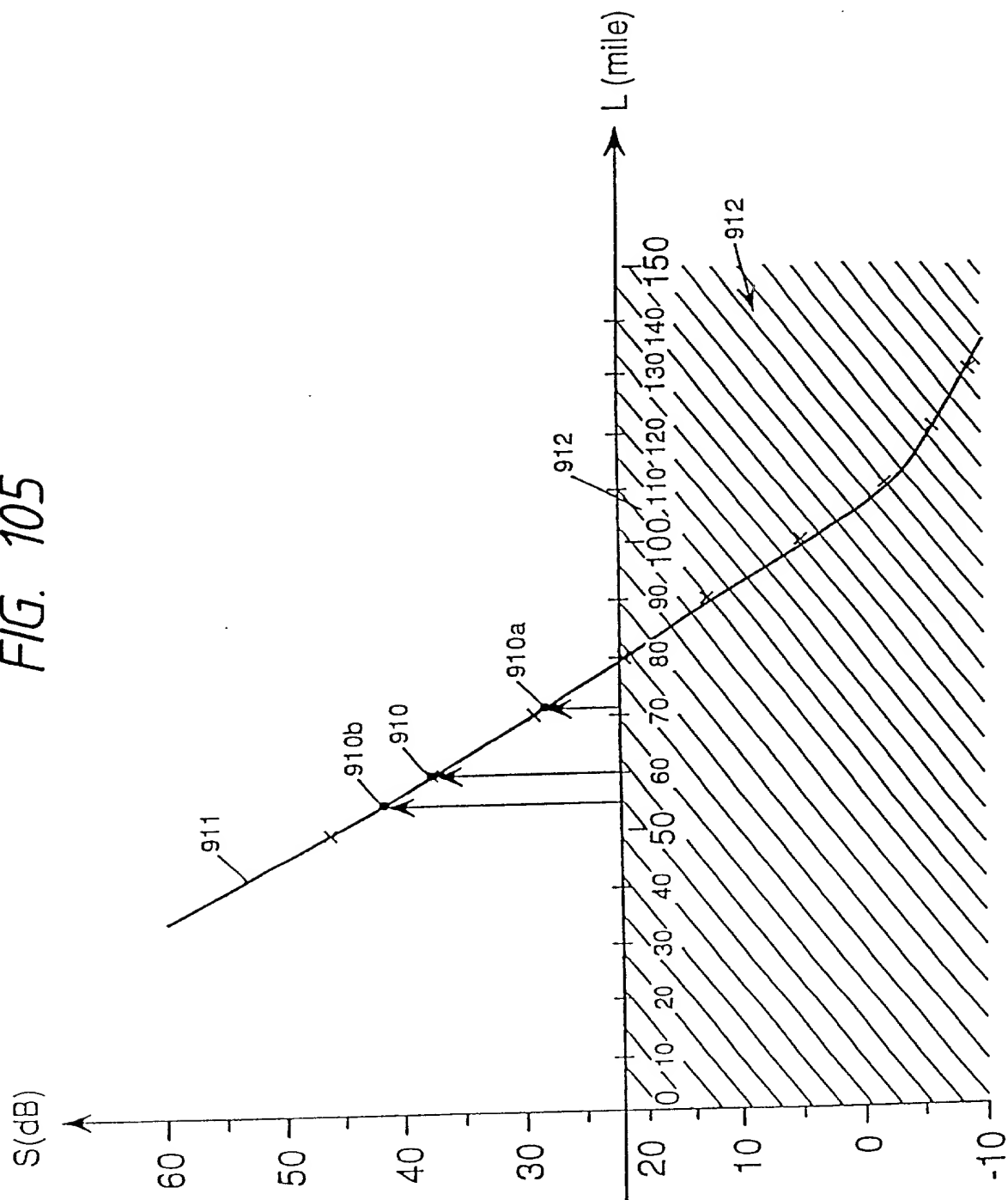


FIG. 106

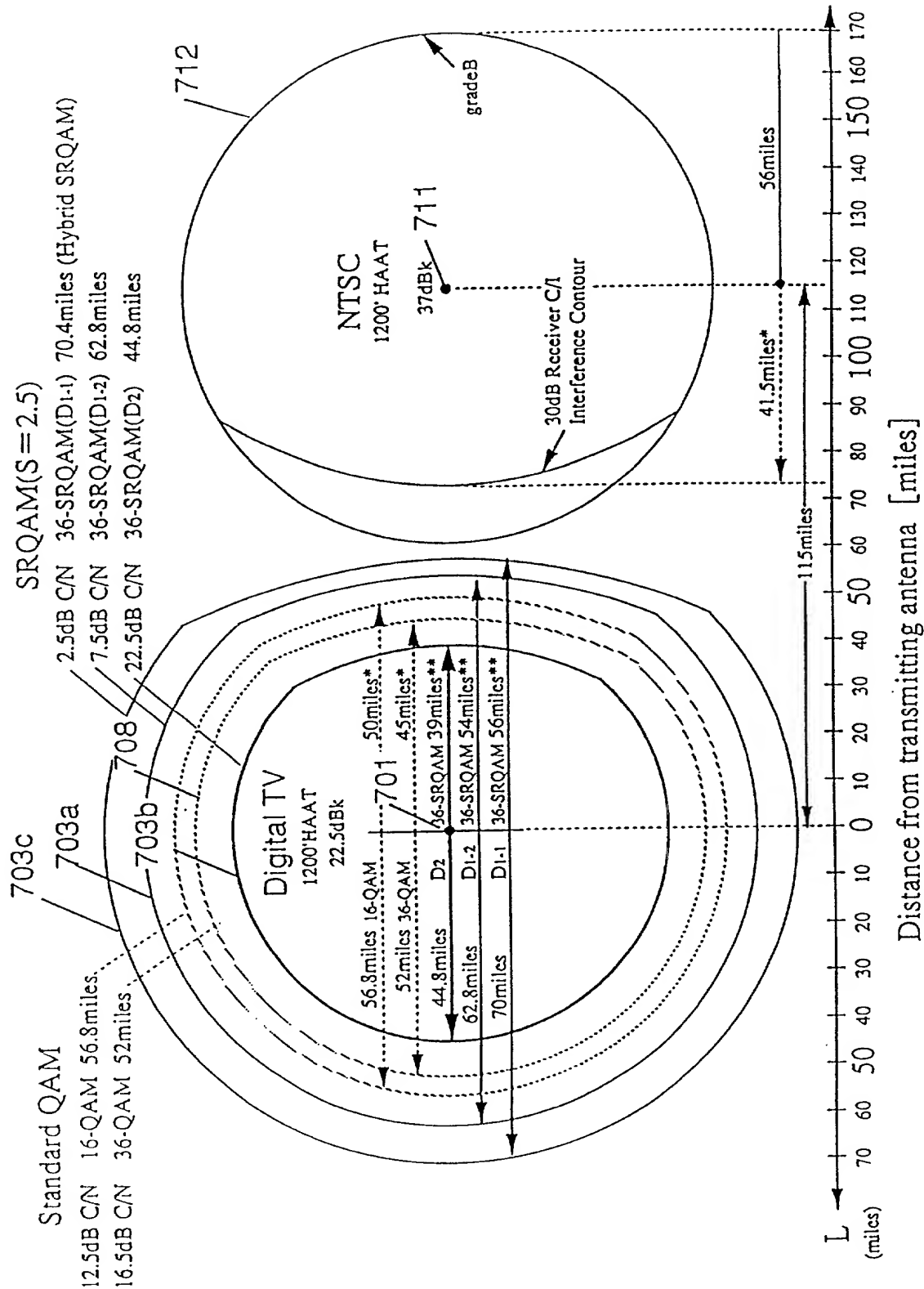
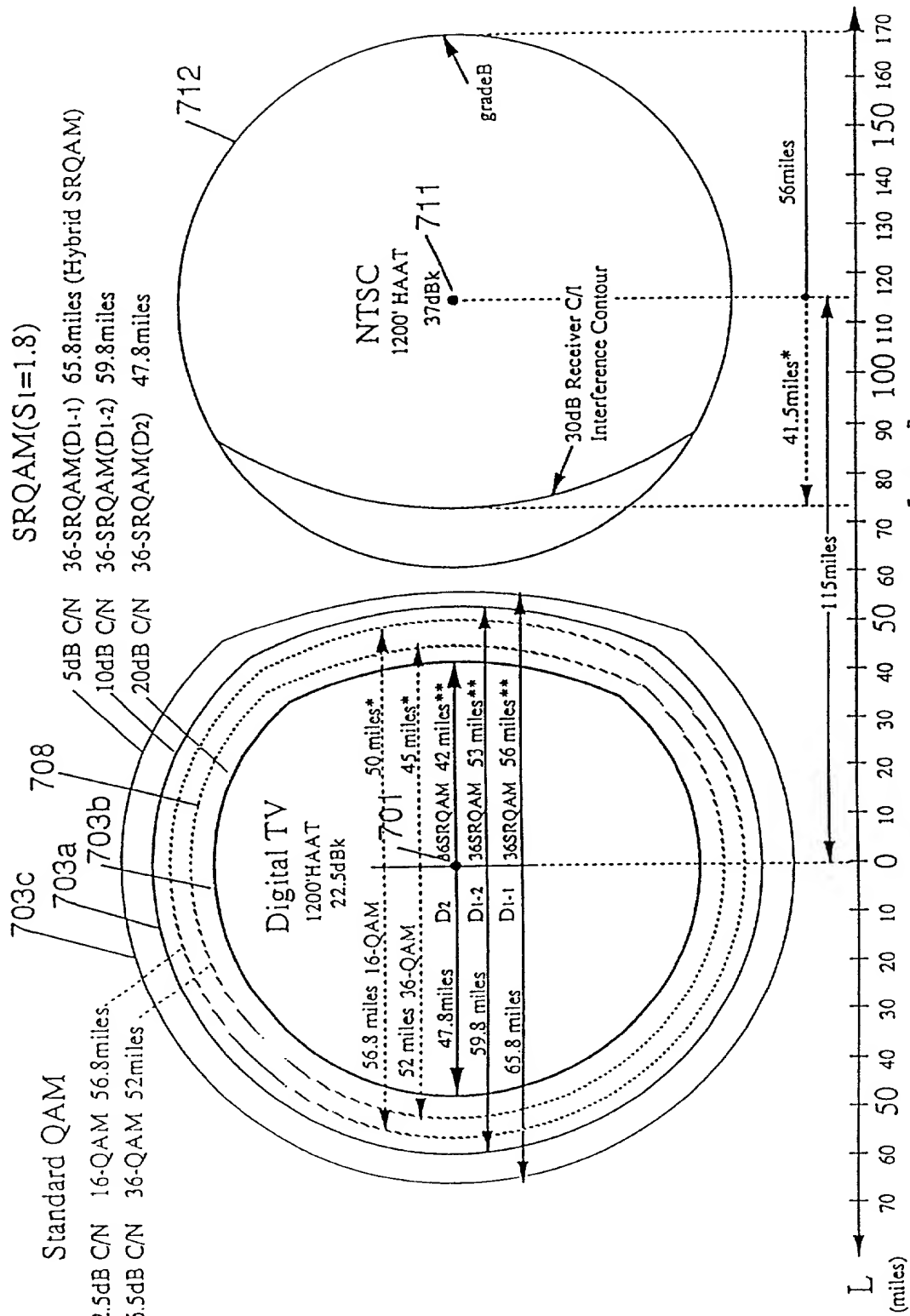


FIG. 107



** : approximately calculated

FIG. 109

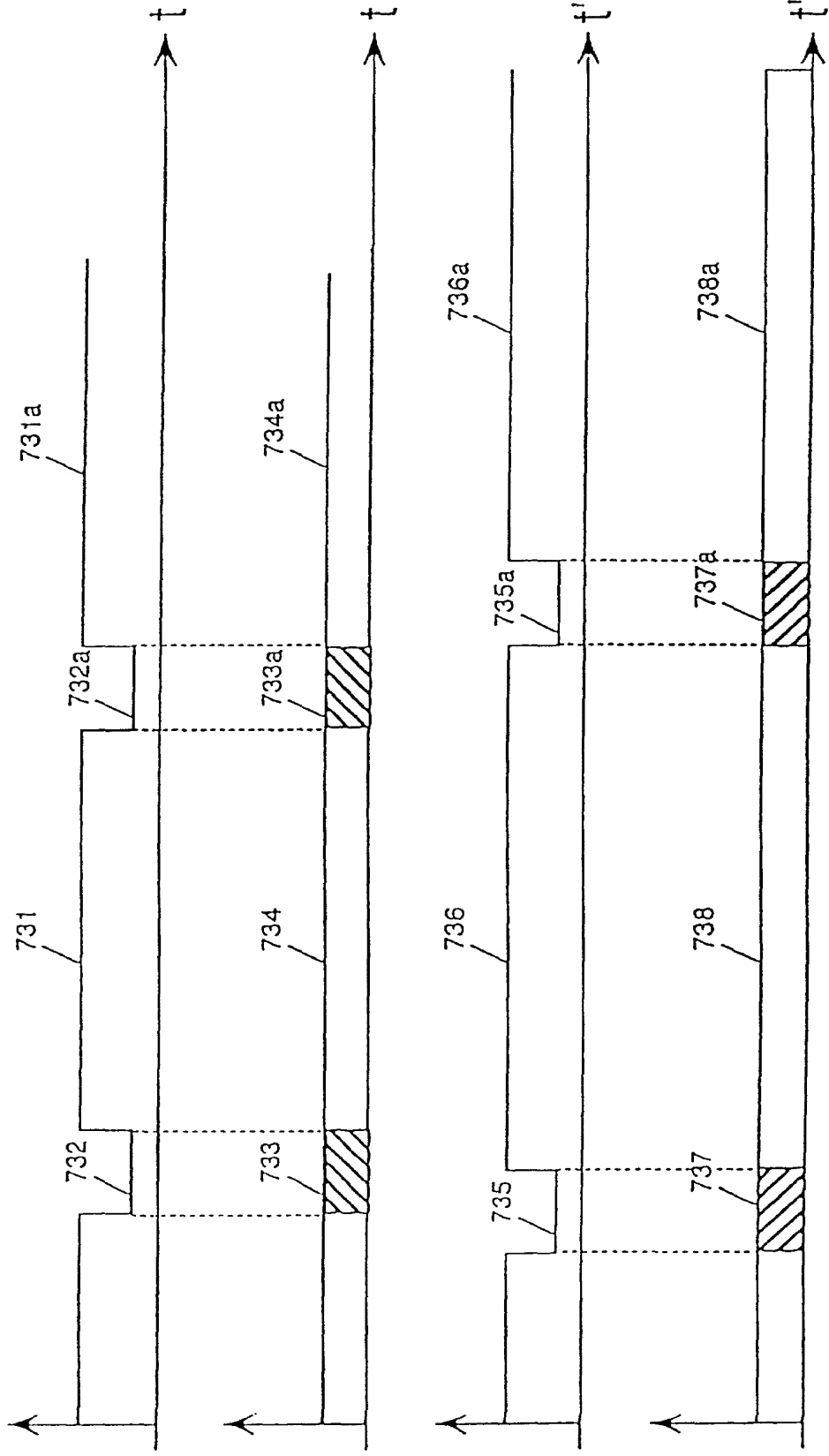
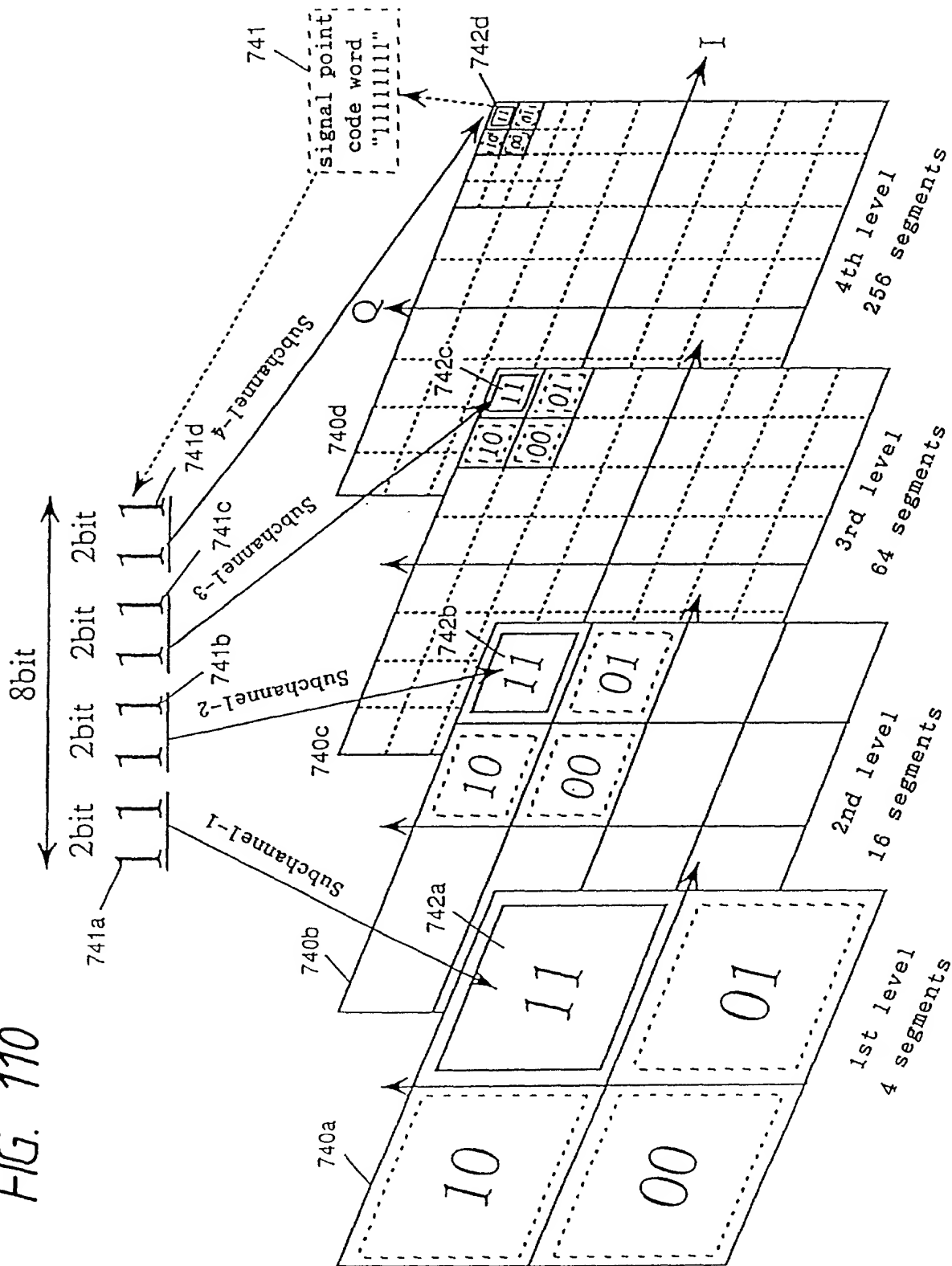


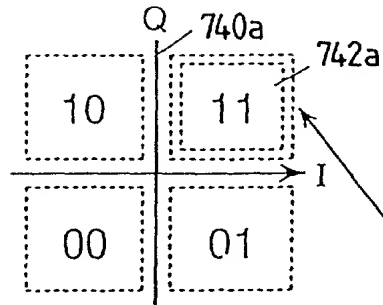
FIG. 110



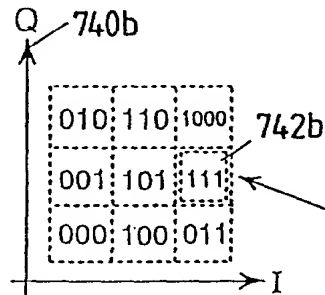
009077 9450460

FIG. 111

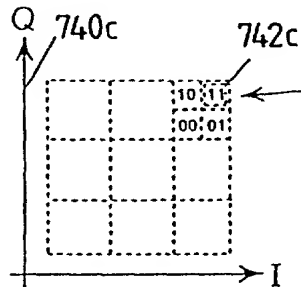
Subchannel-1 (SRQAM: $D_1 = 2\text{bit}$)



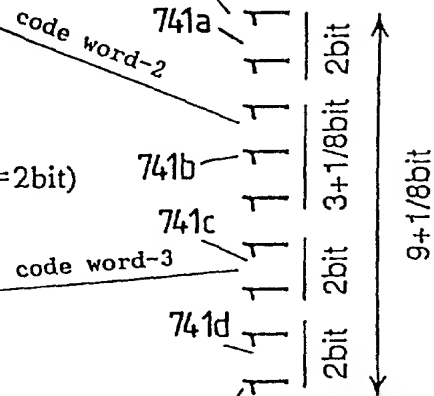
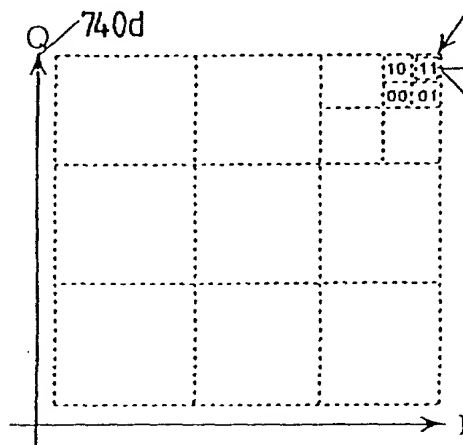
Subchannel-2 (36-SRQAM: $D_2 = 3\text{bit} + 1/8\text{bit}$)



Subchannel-3 (144-SRQAM: $D_3 = 2\text{bit}$)



Subchannel-4 (576-SRQAM: $D_4 = 2\text{bit}$)



signal point
code word
11 11 11 11

009011 32250250

Subchannel-1 (SRQAM:D₁=2bit)

FIG. 112

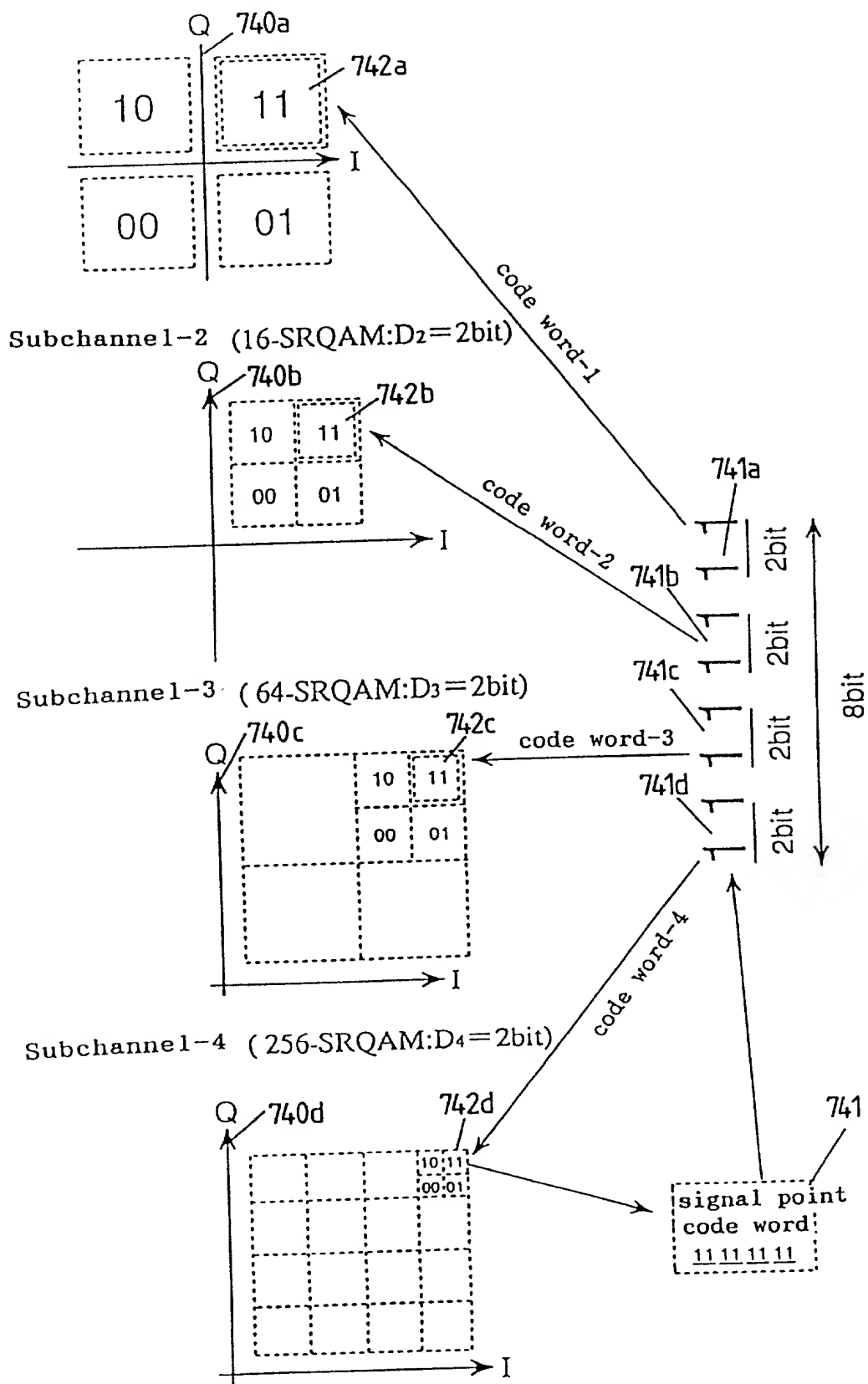


FIG. 113

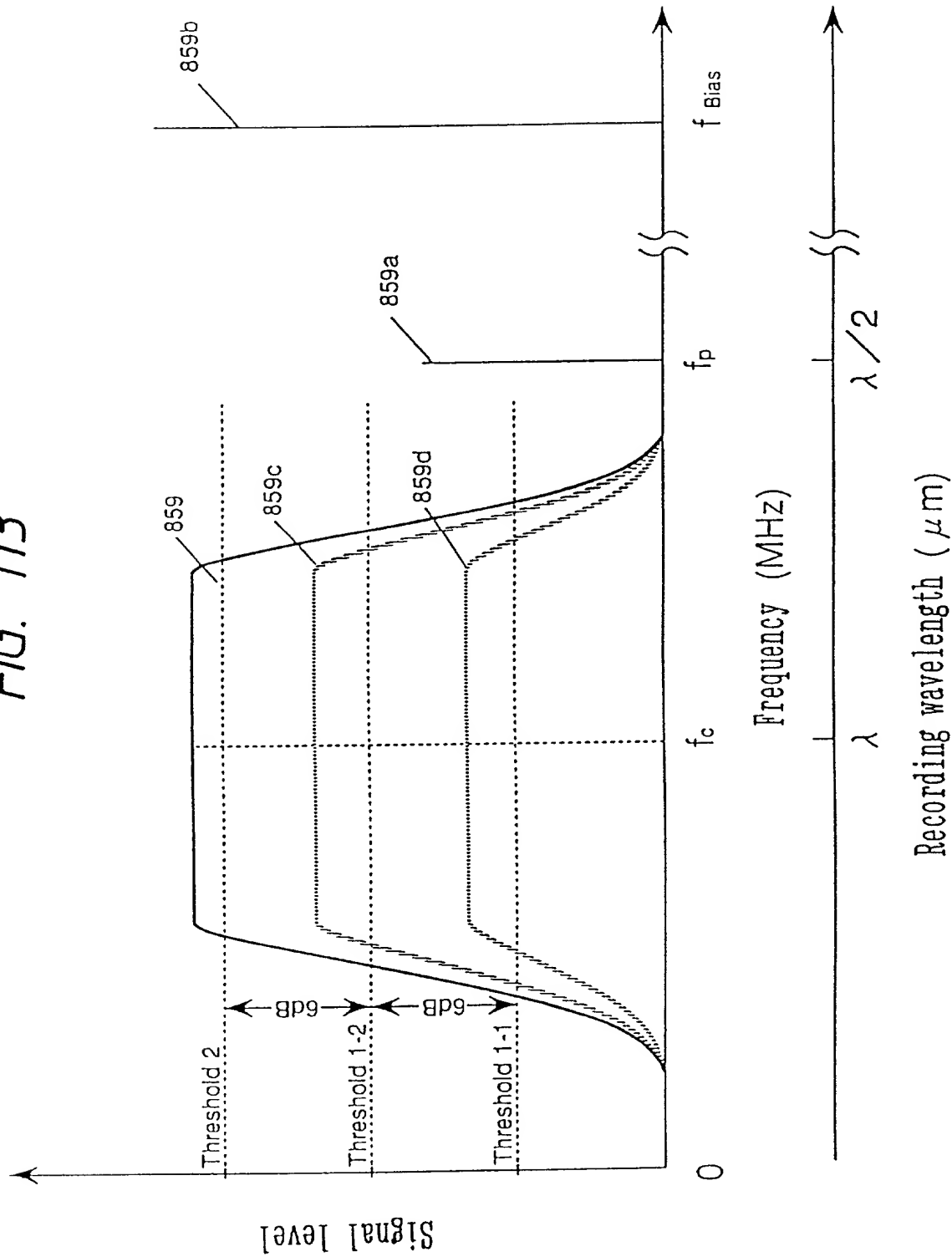


FIG. 115

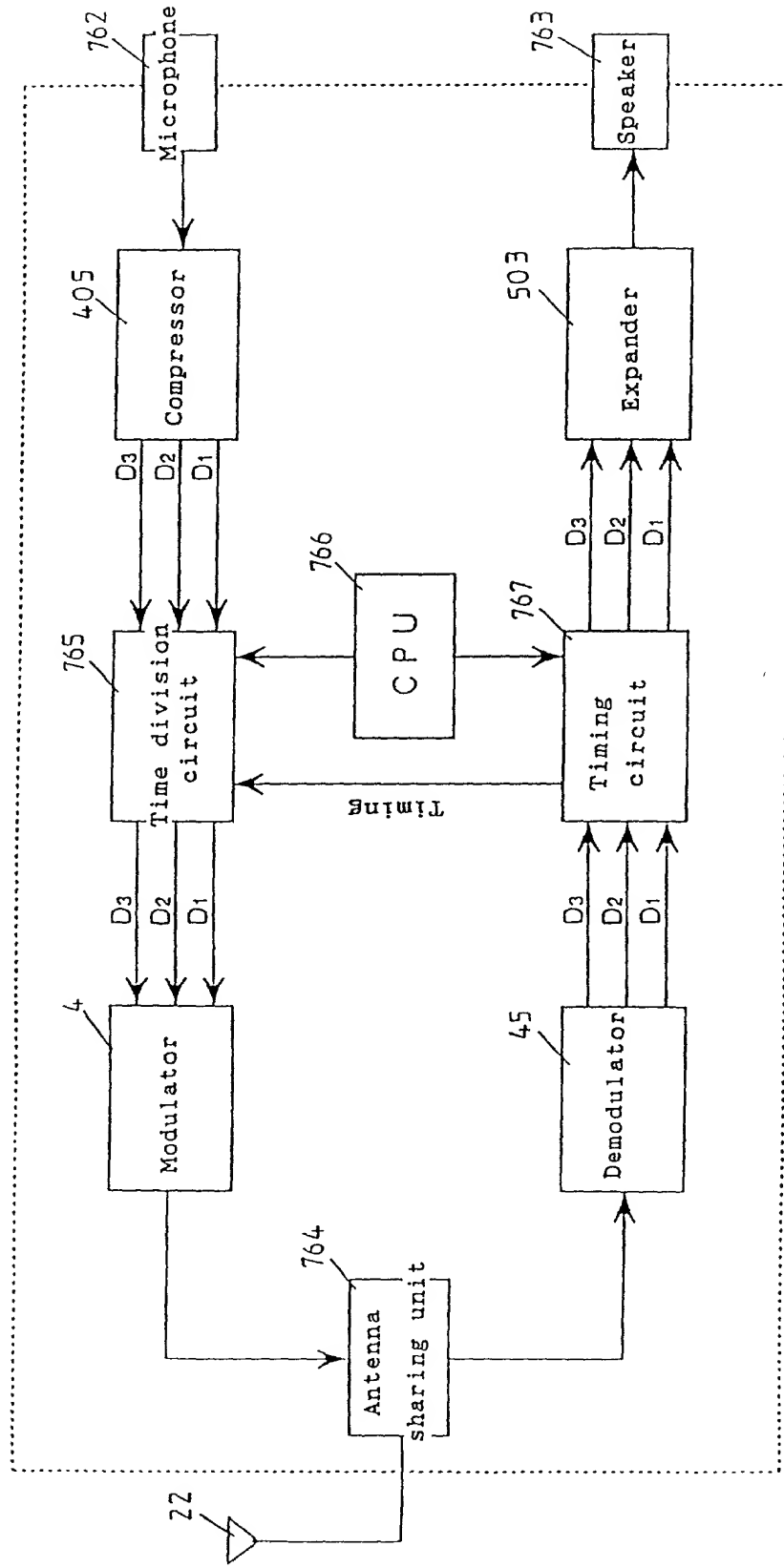


FIG. 116

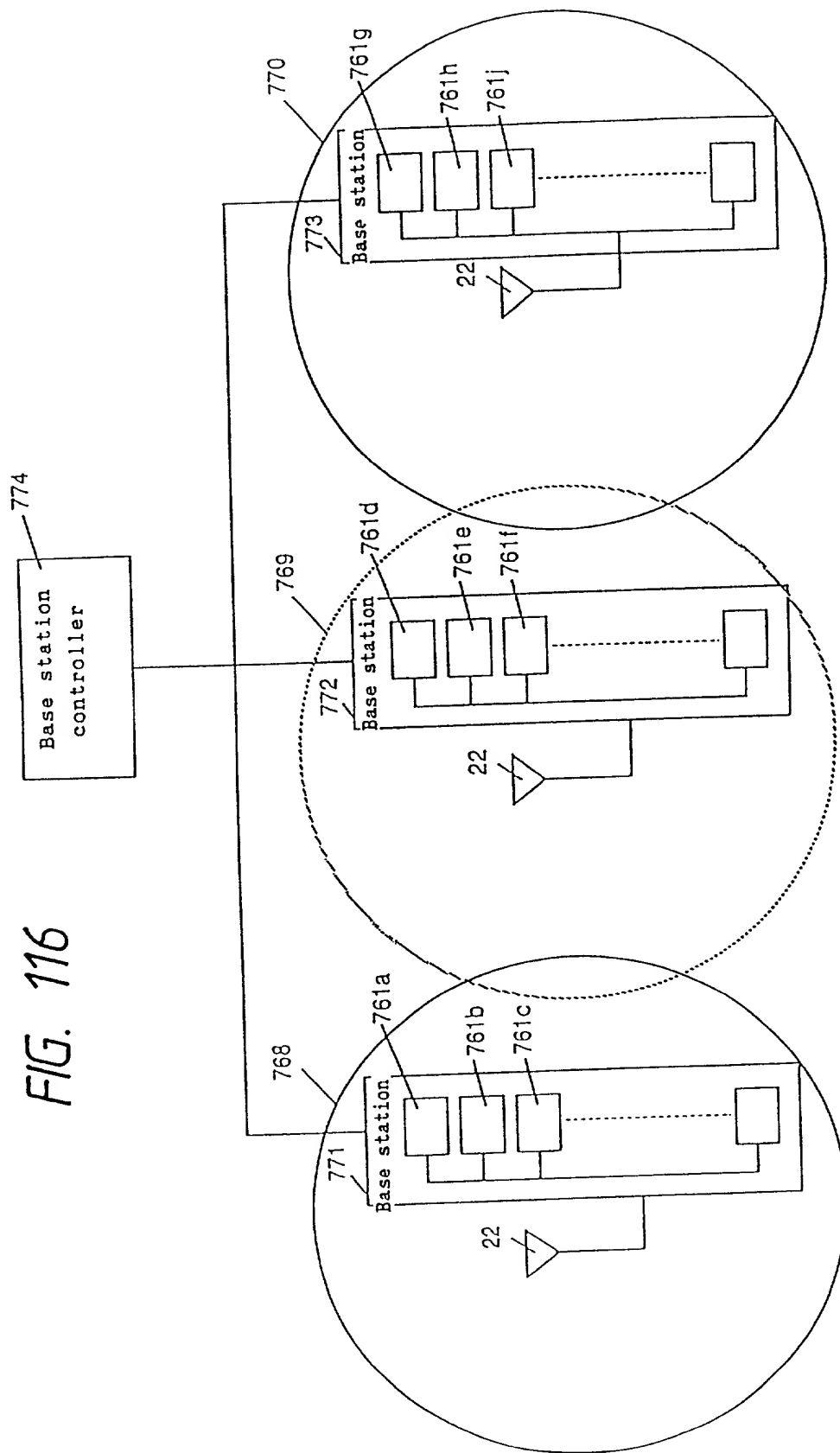


FIG. 117

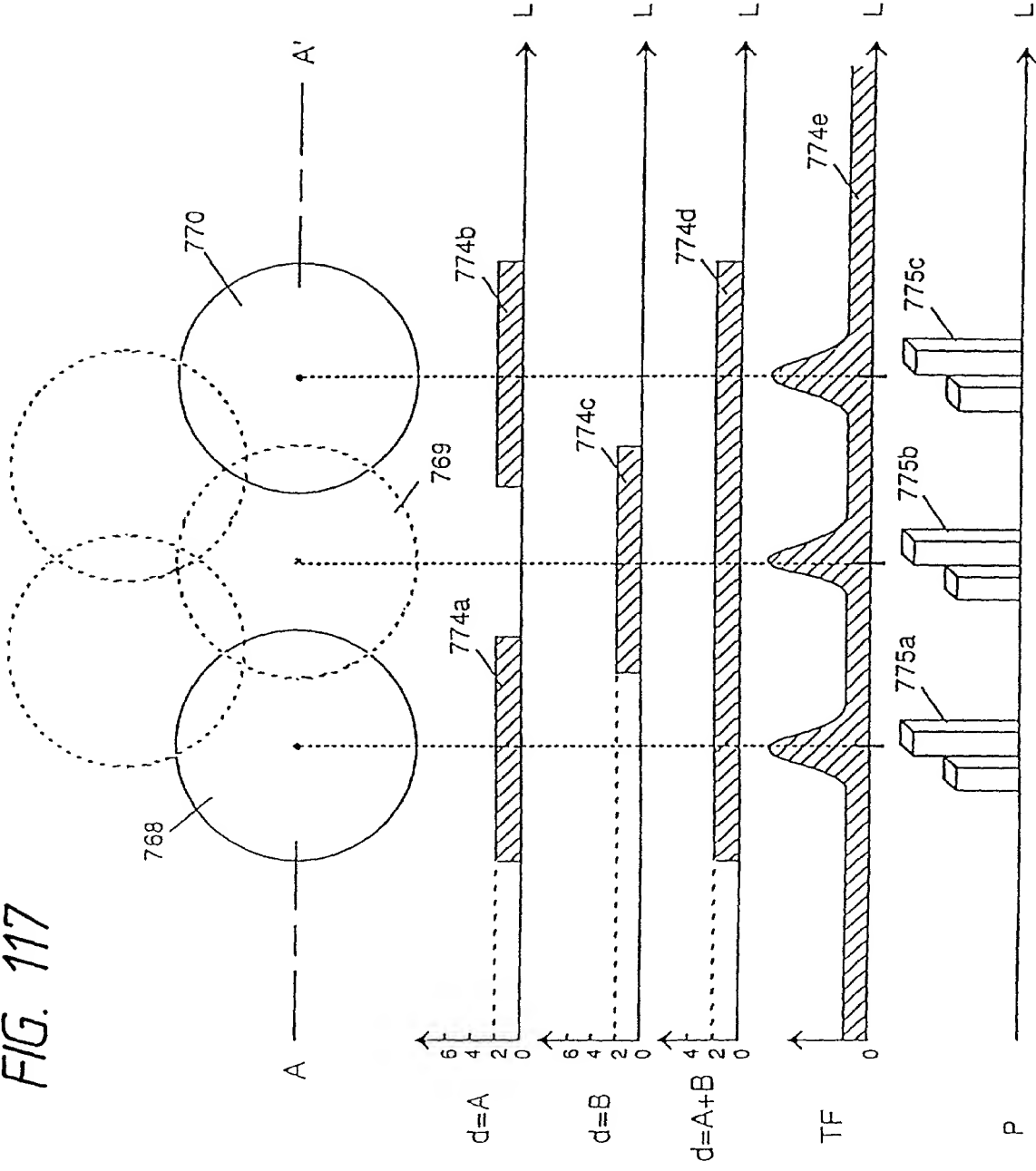


FIG. 118

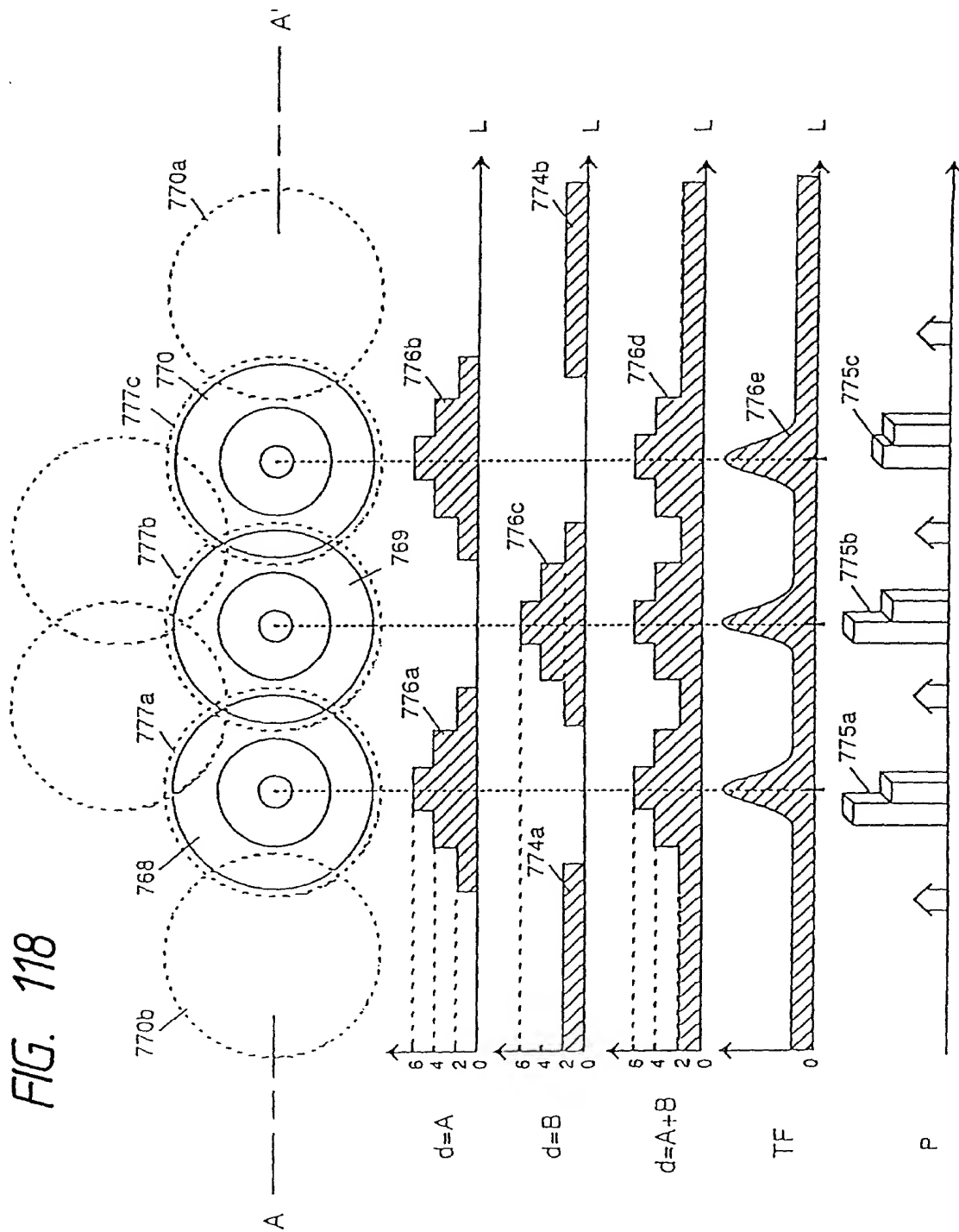


FIG. 119

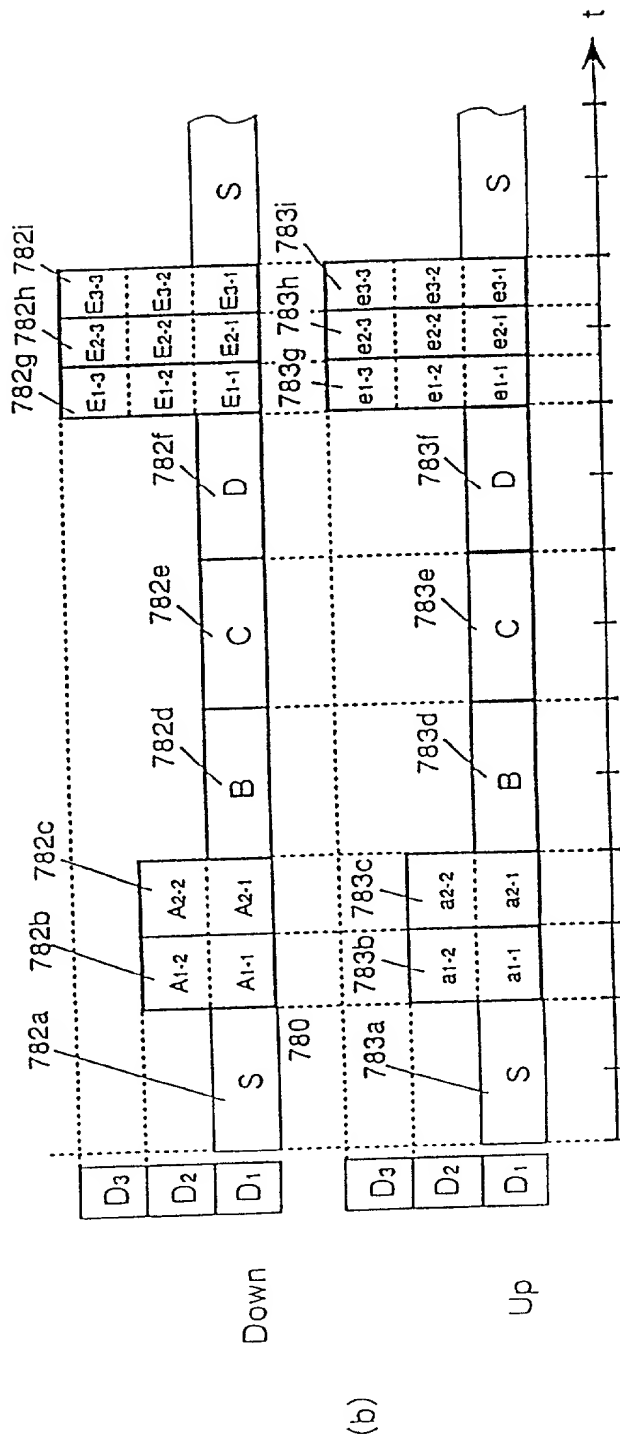
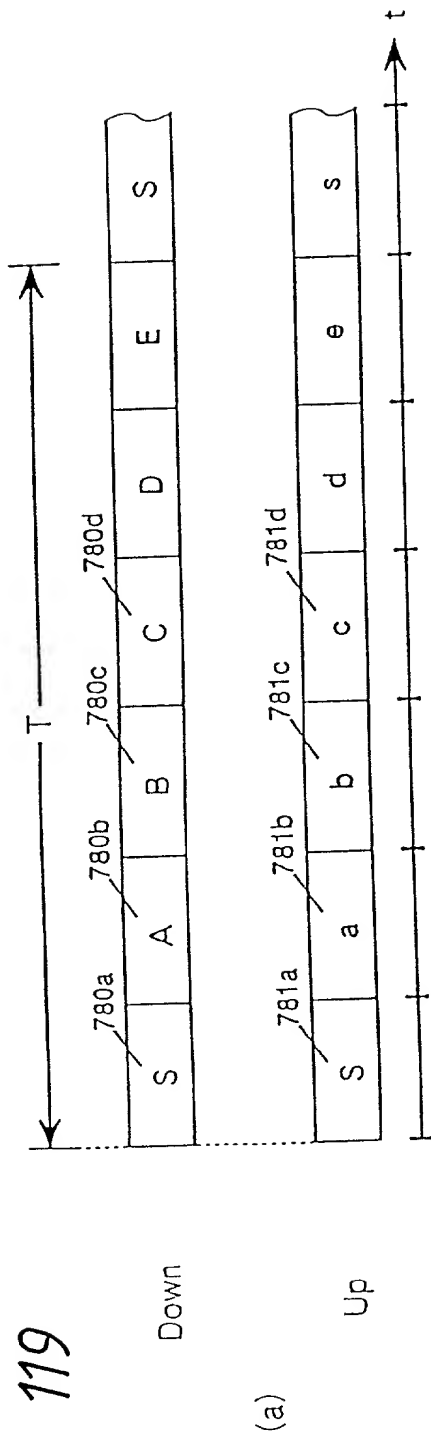


FIG. 120

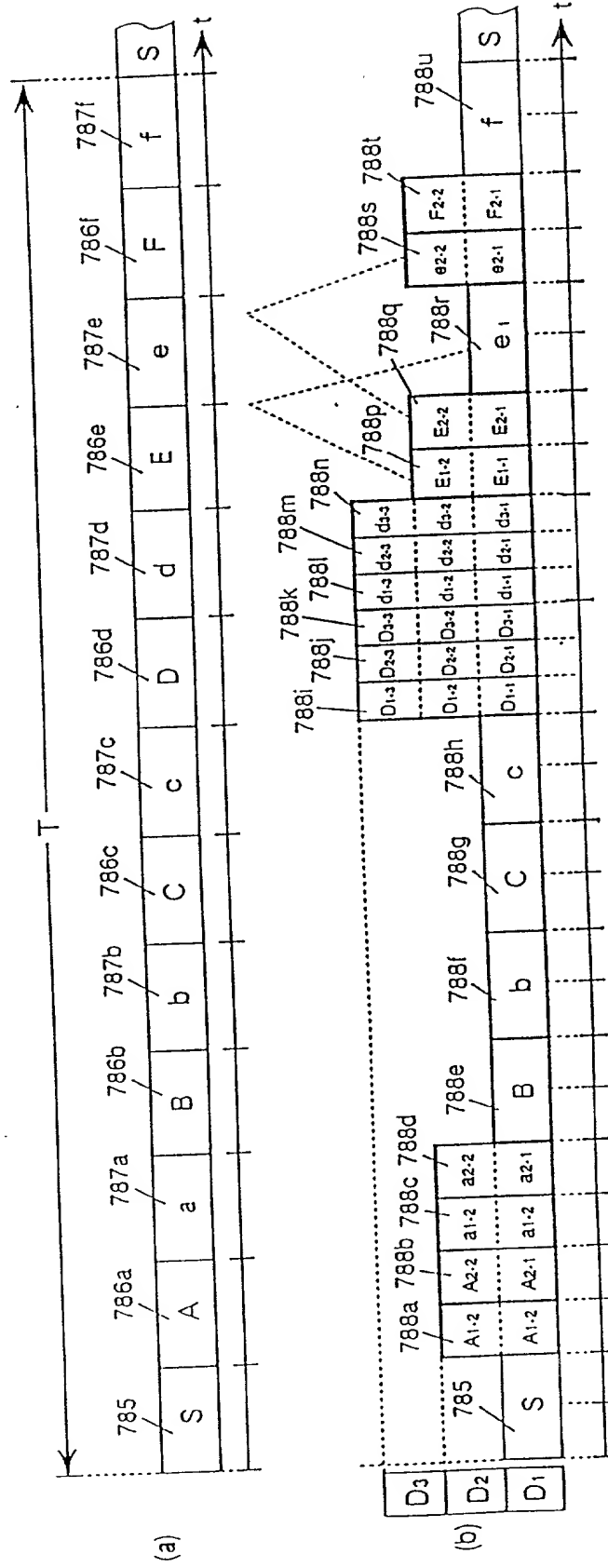


FIG. 121

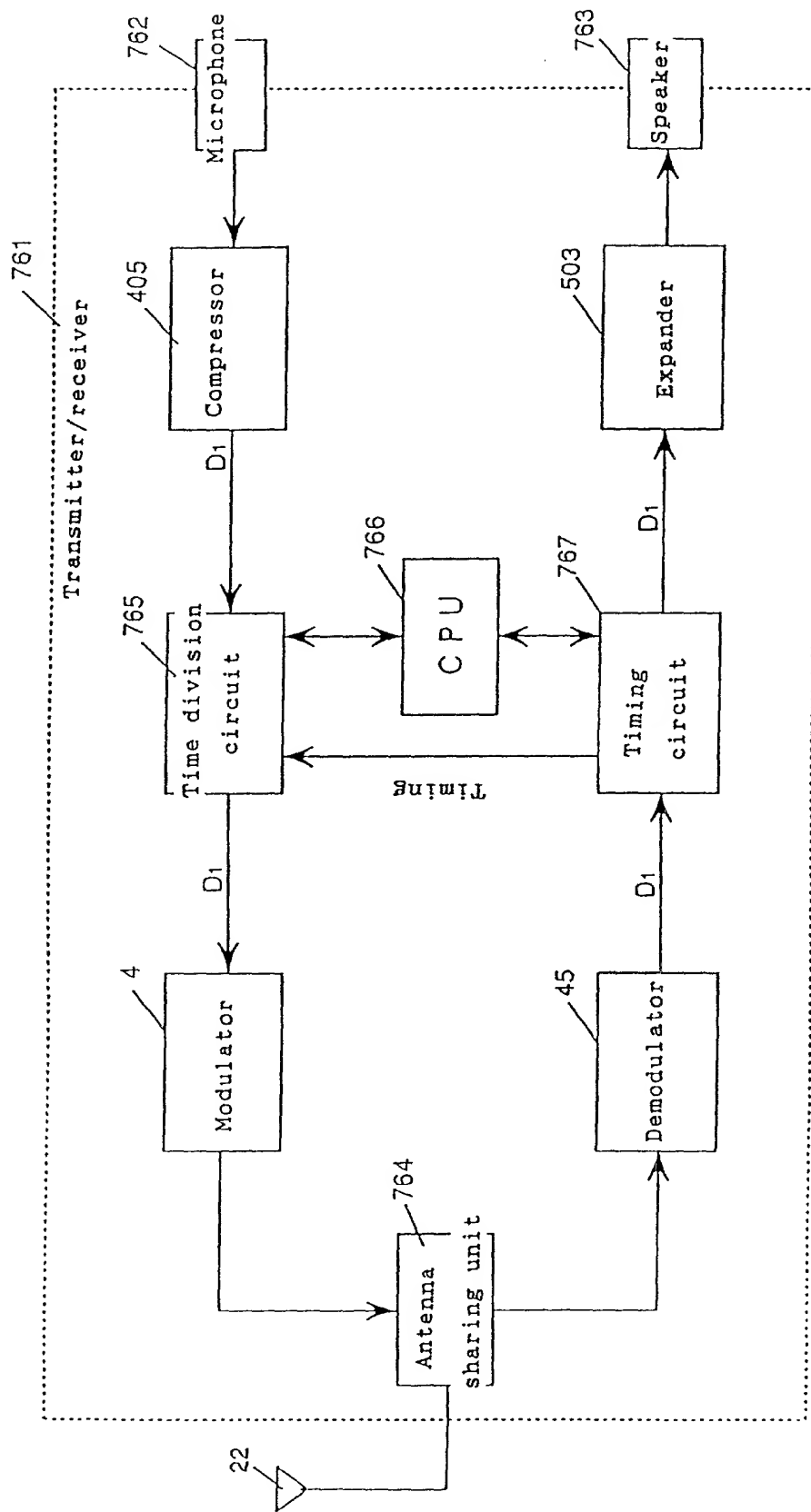


FIG. 122

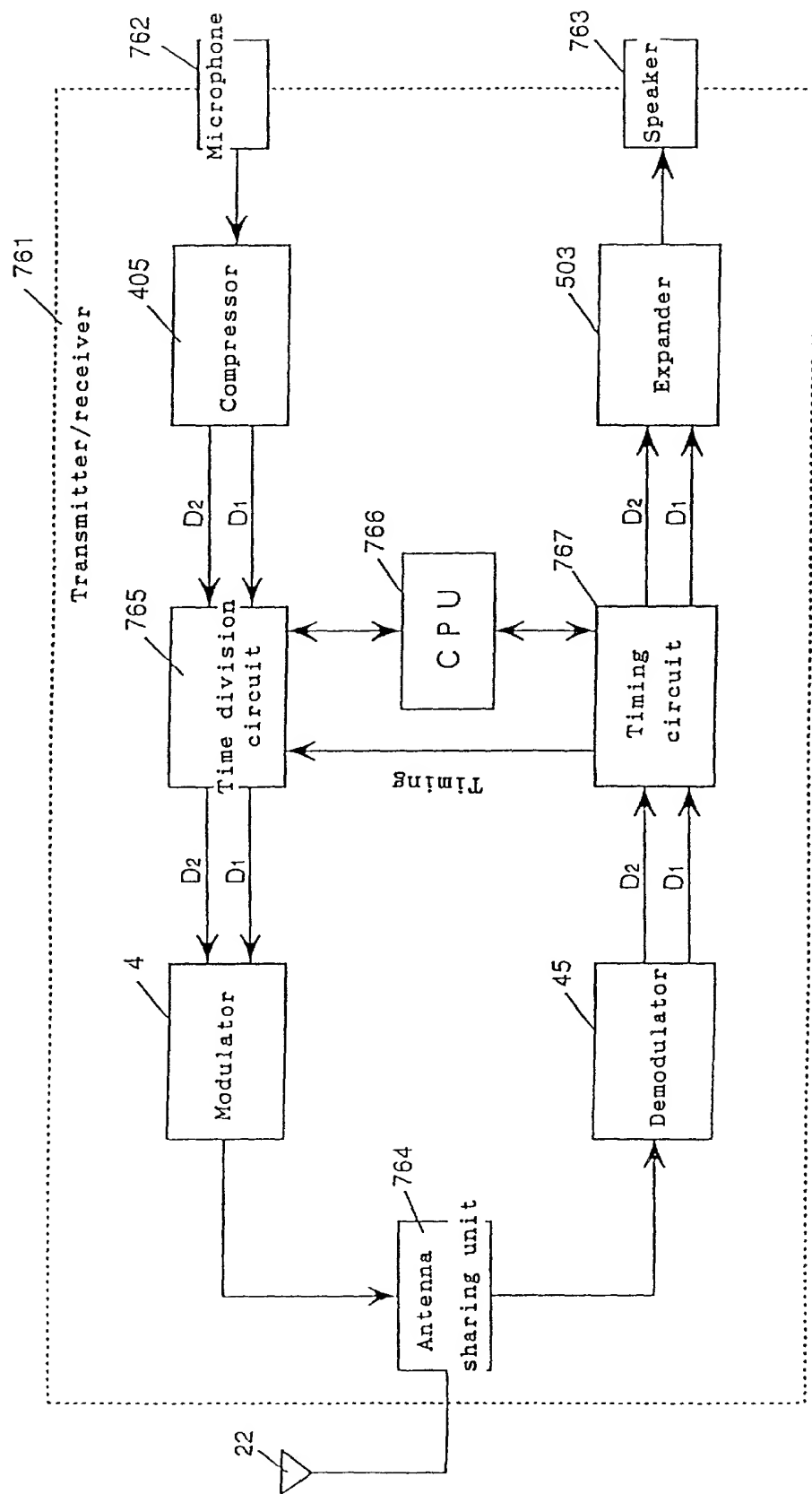


FIG. 123

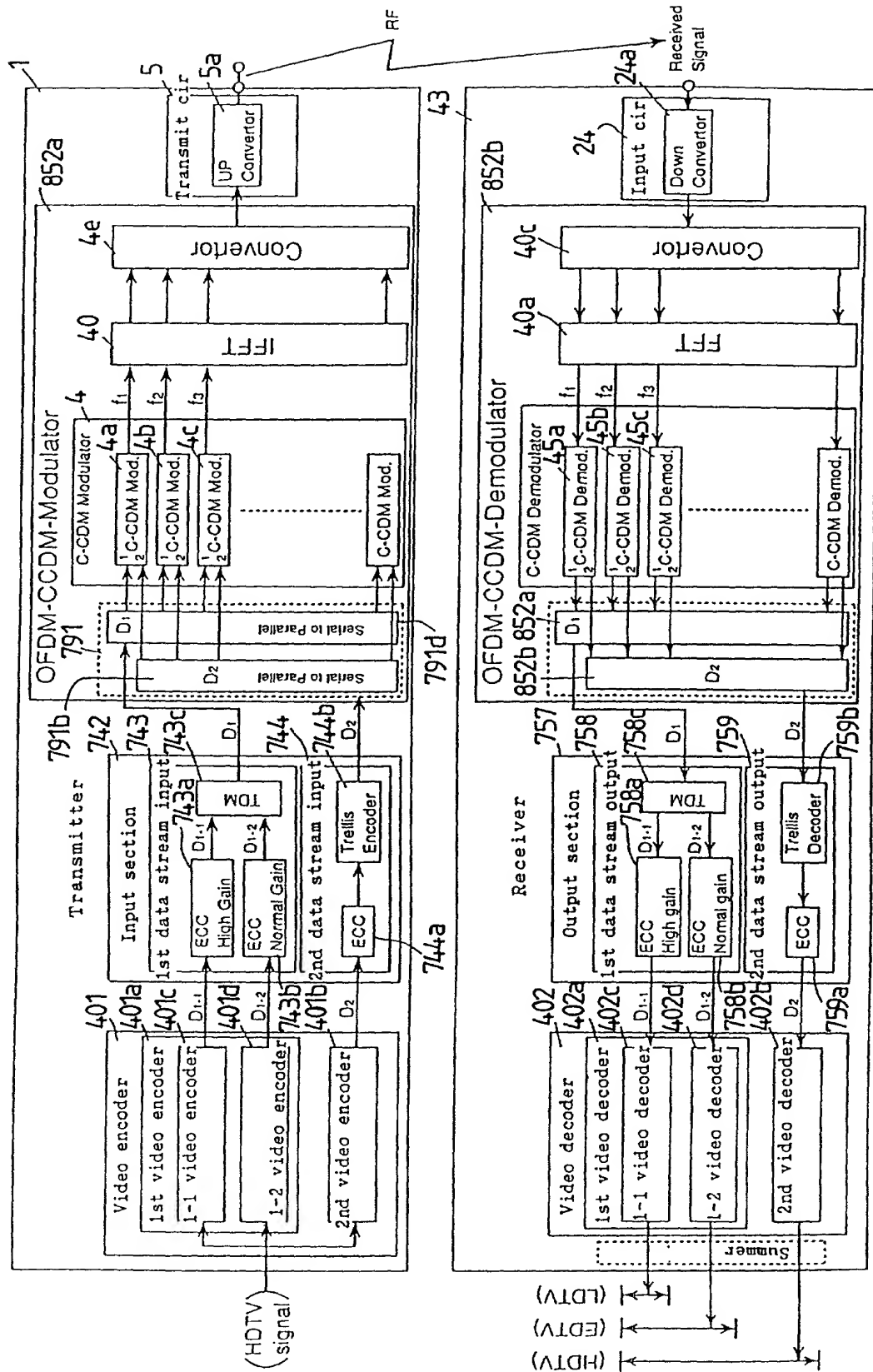


FIG. 124

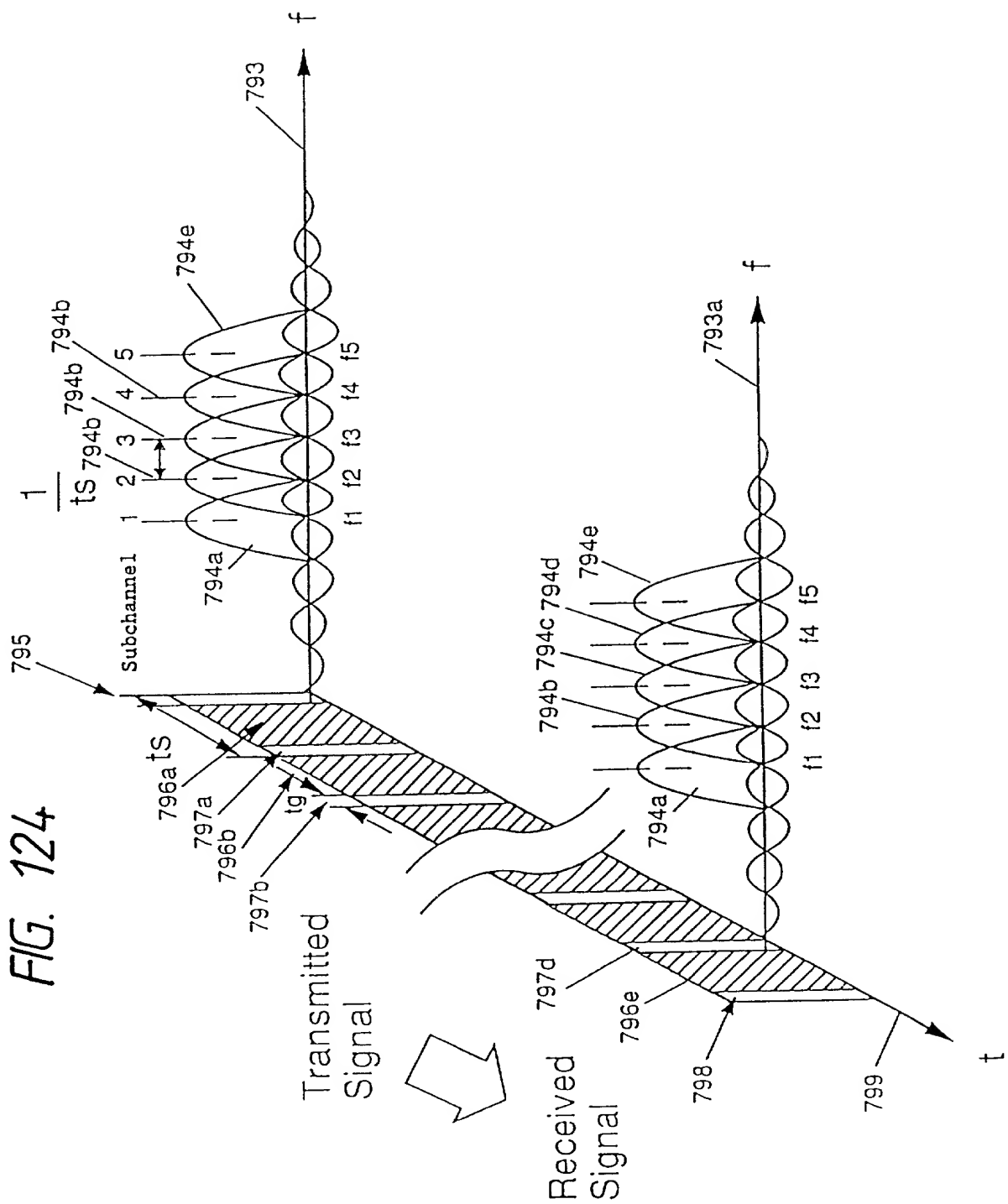


FIG. 125

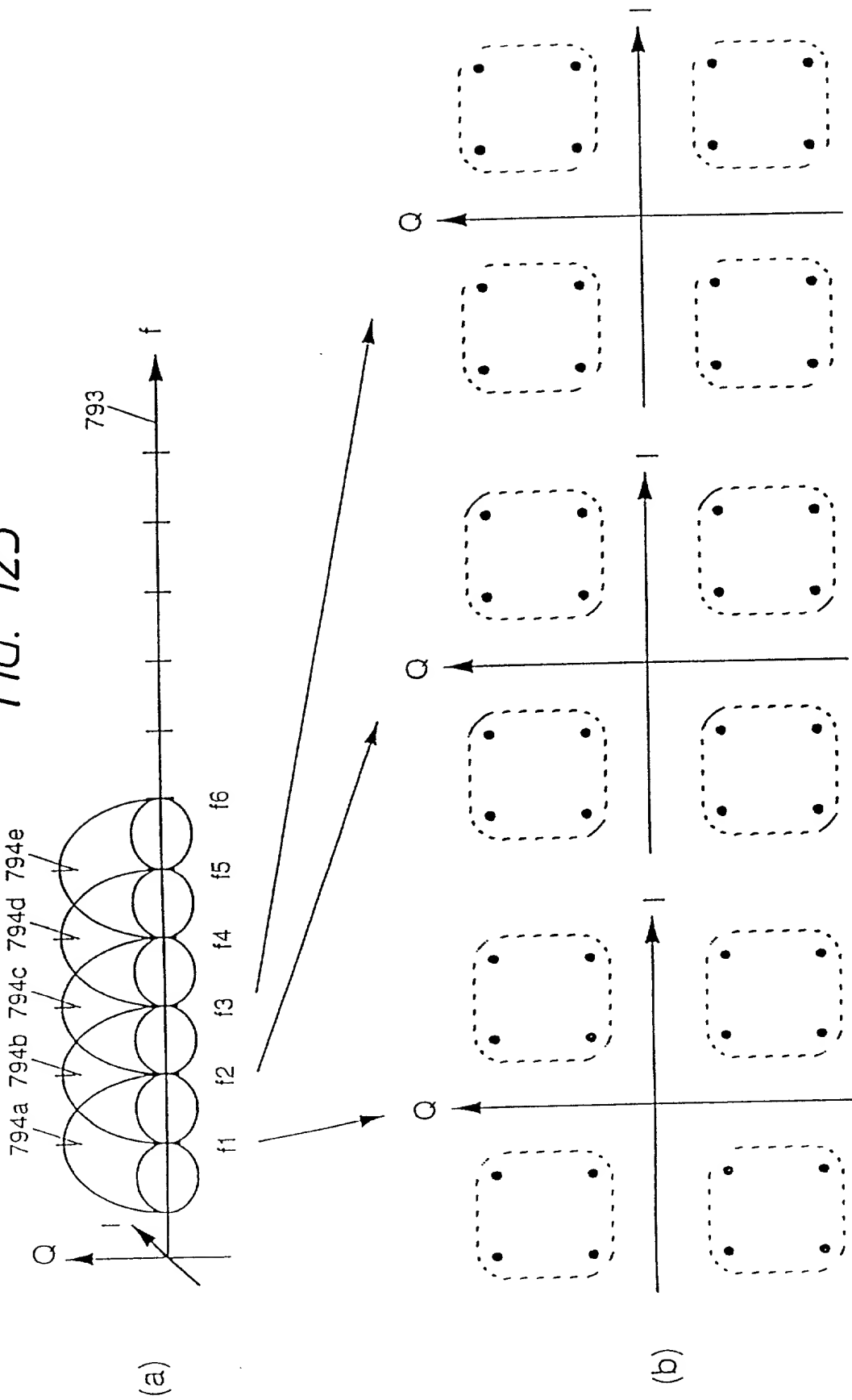


FIG. 126

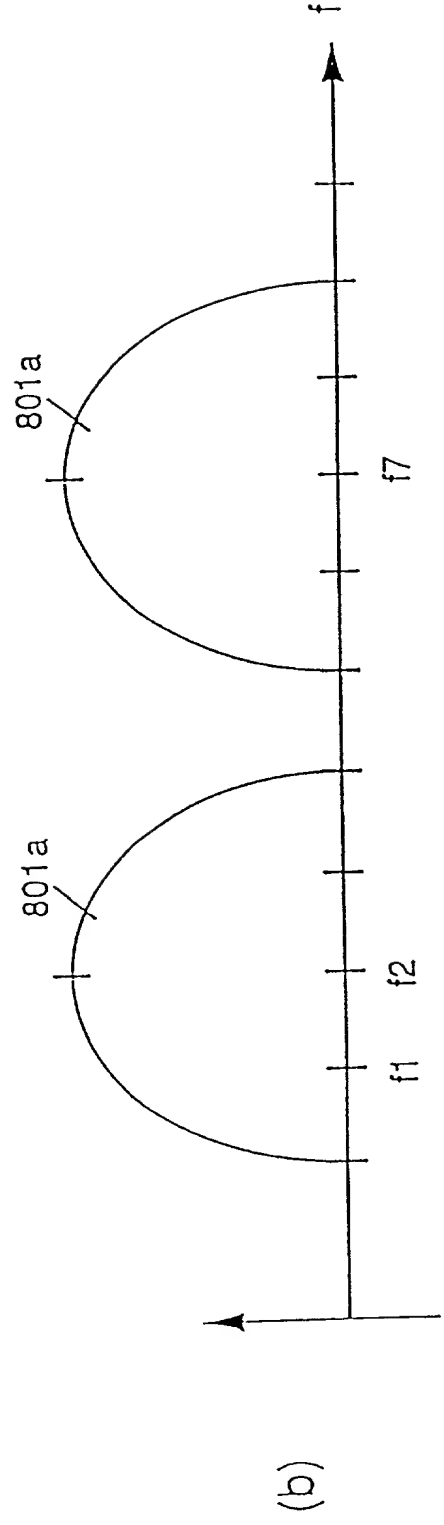
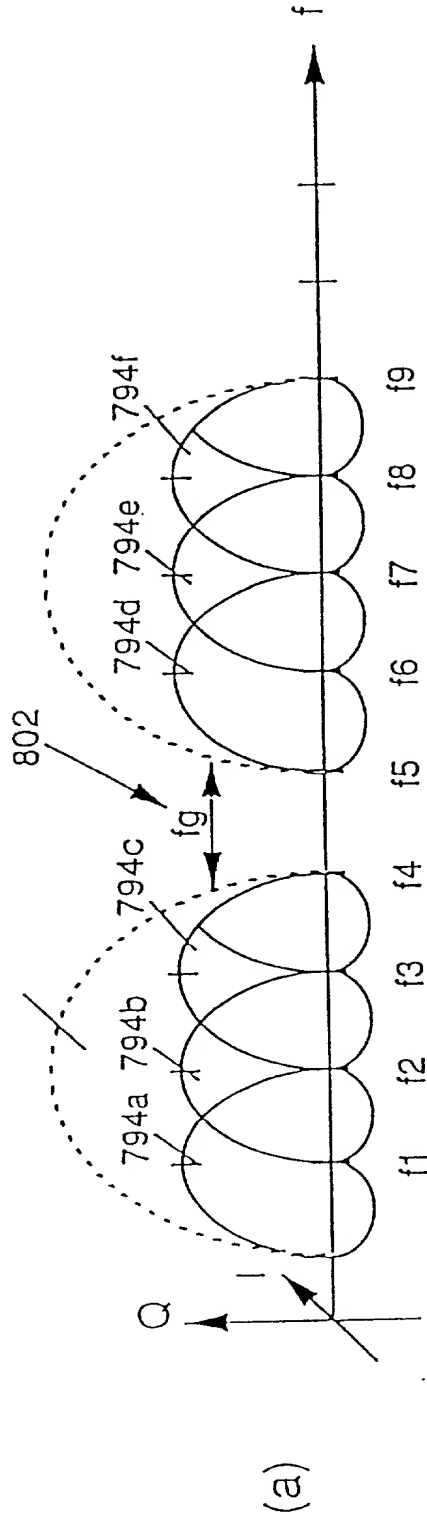


FIG. 127

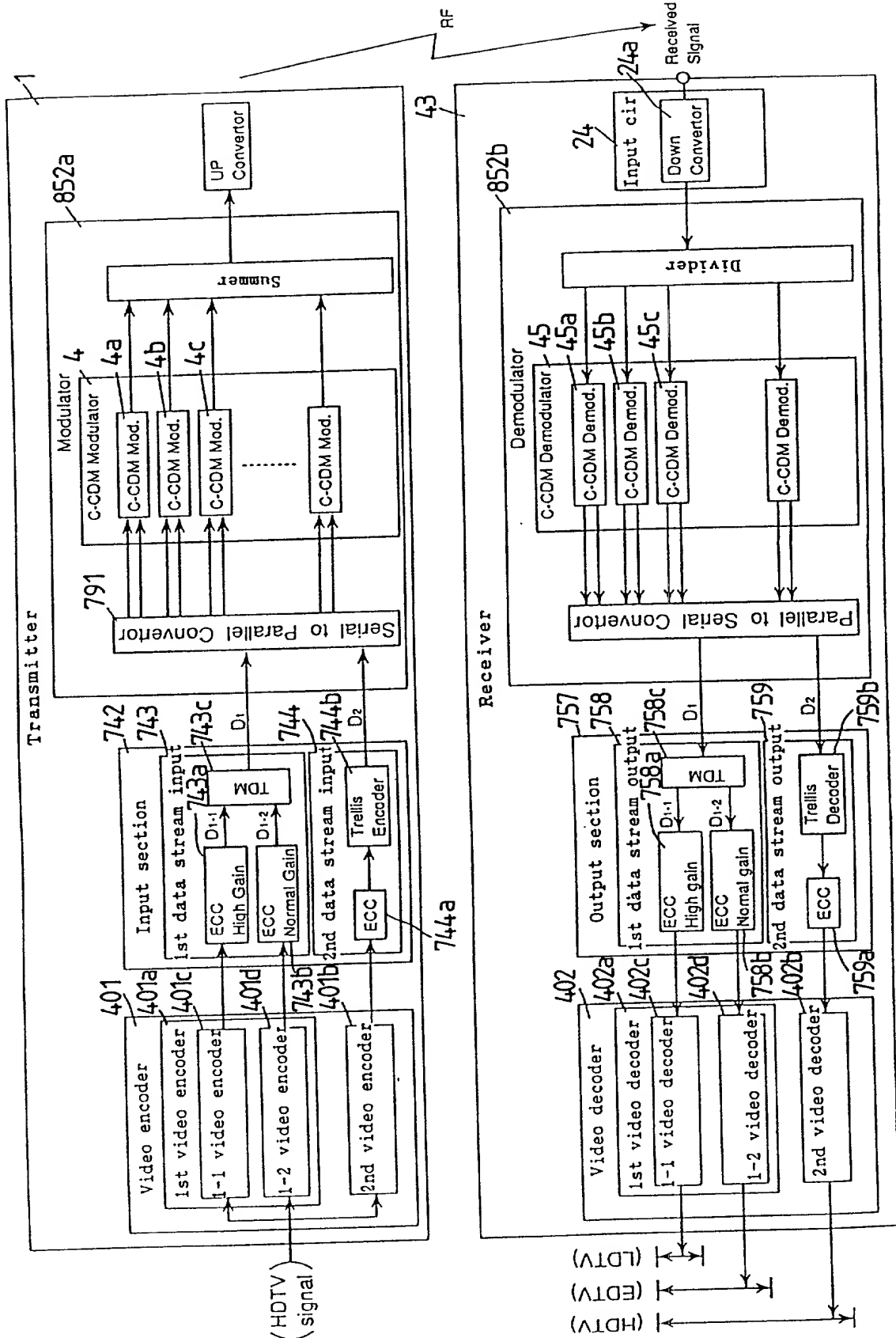


FIG. 128

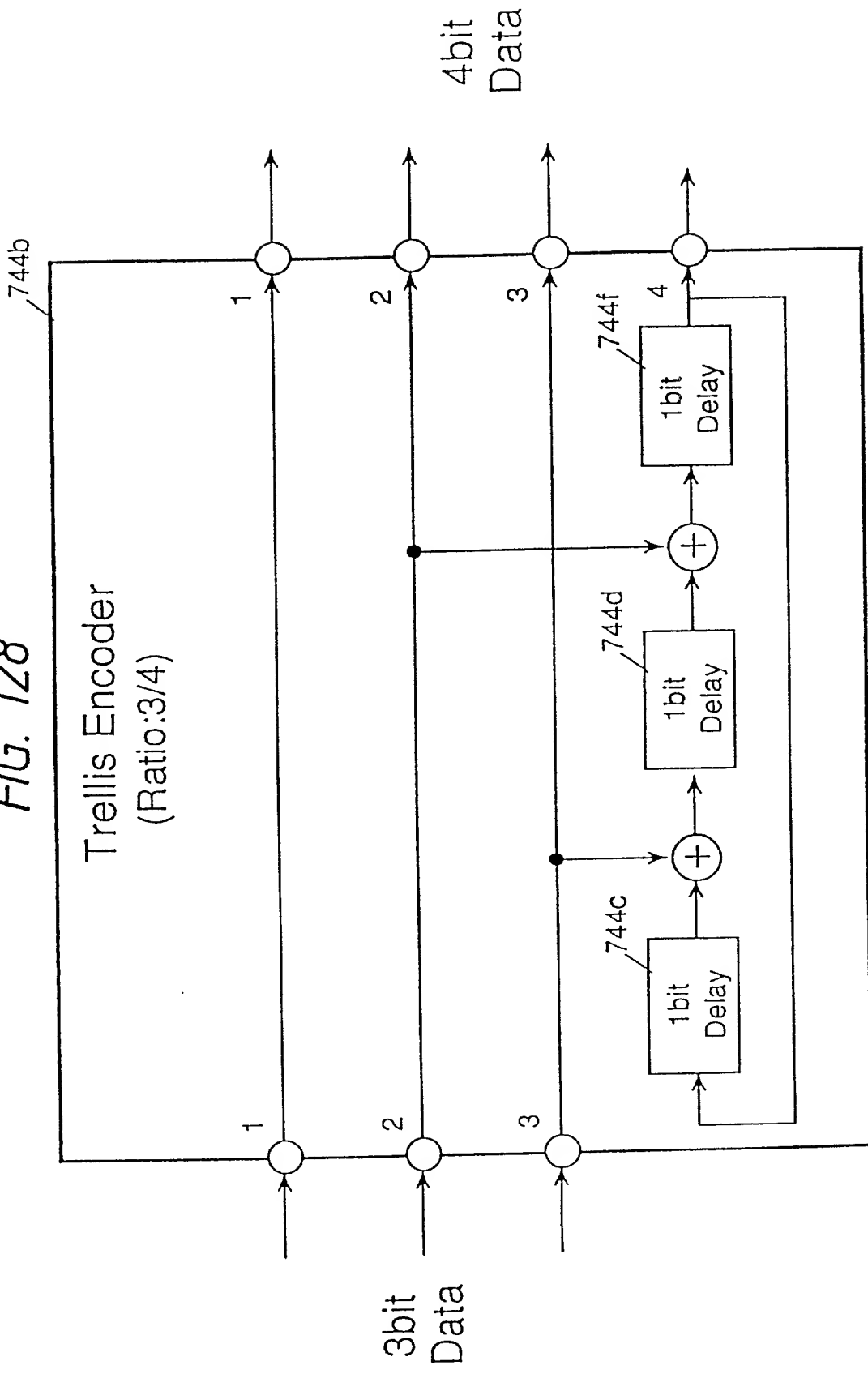


FIG. 129

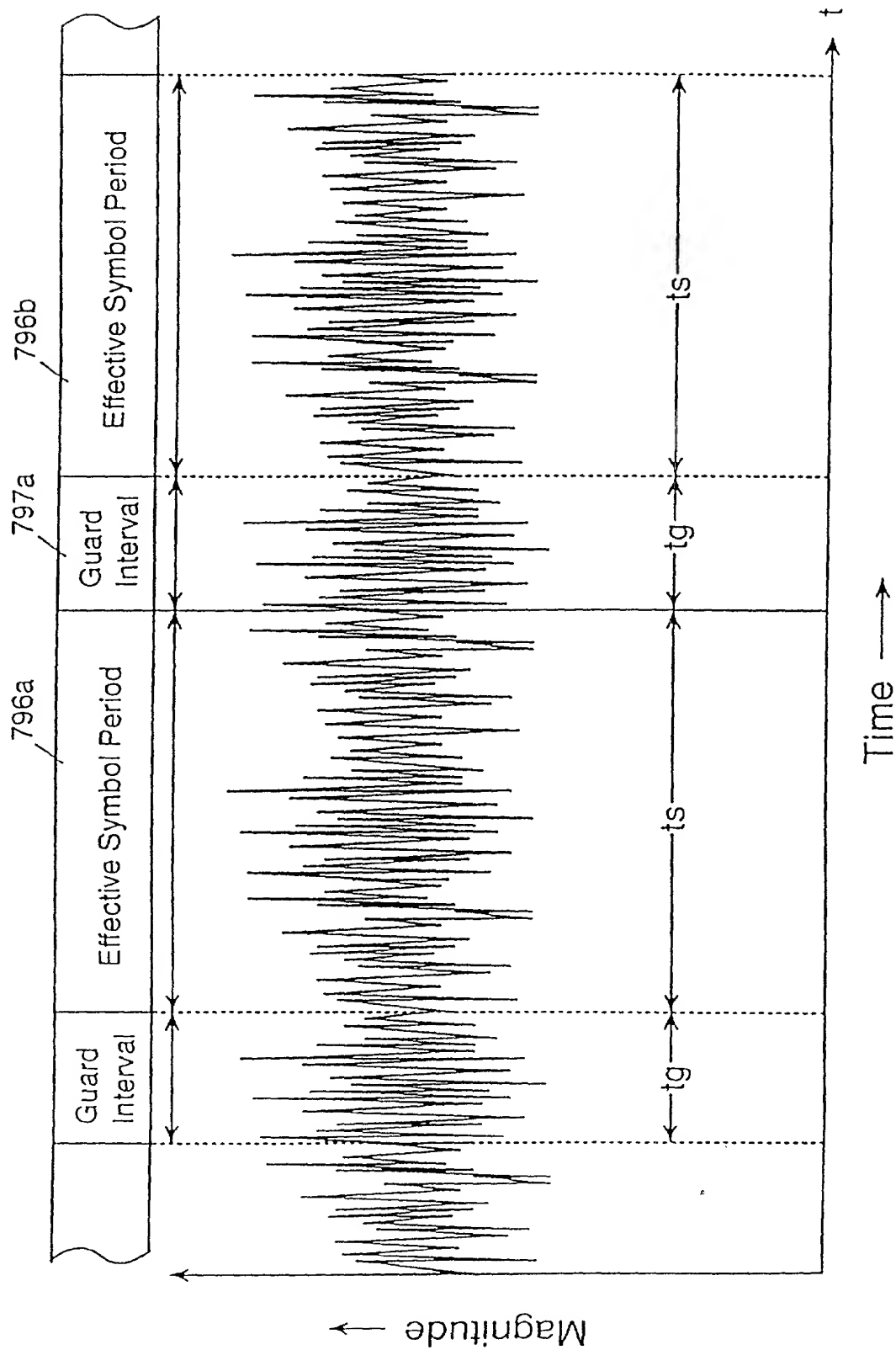


FIG. 130

GHOST DELAY=2us. D/U=8dB
Figure 8 Bit Error Rate Performance Under Single Ghost
and Gaussian Noise (1)

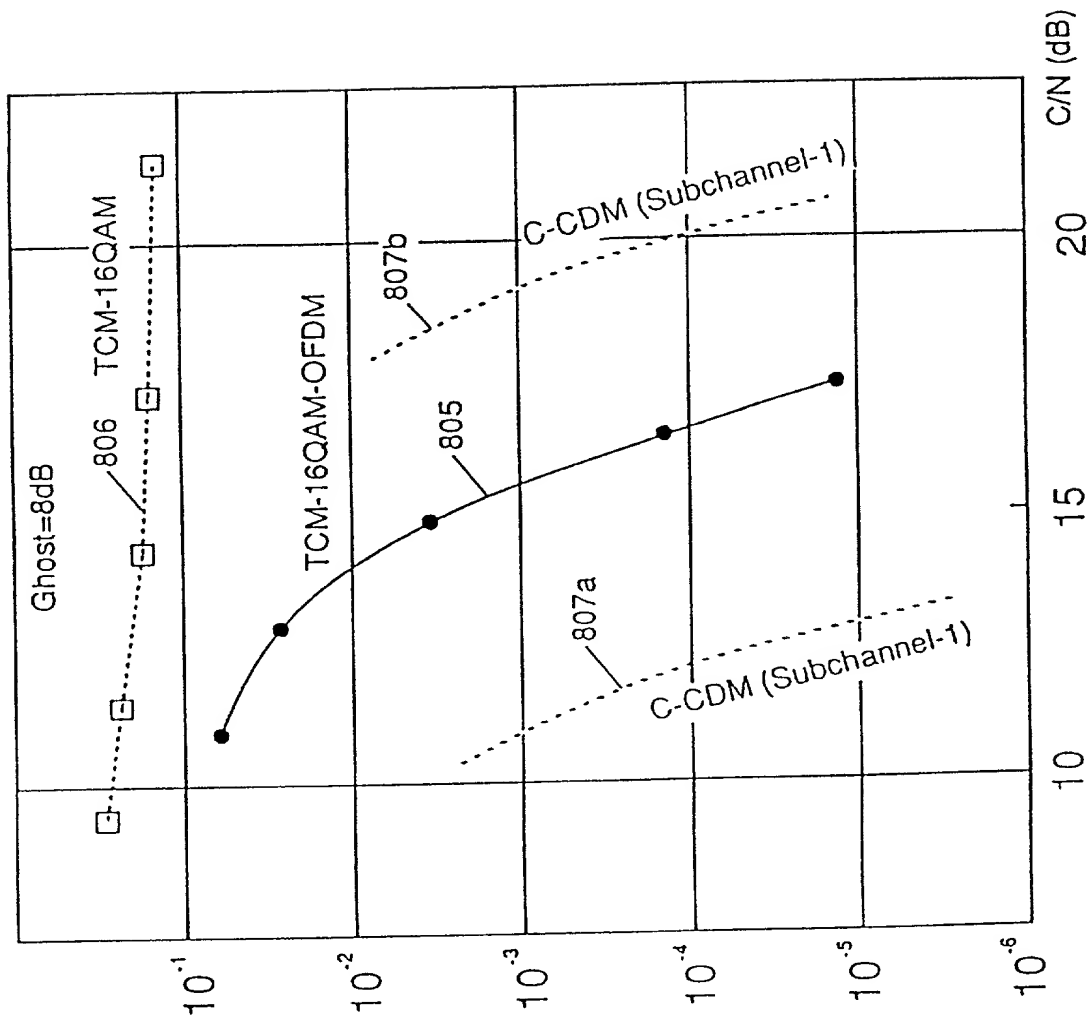


FIG. 131

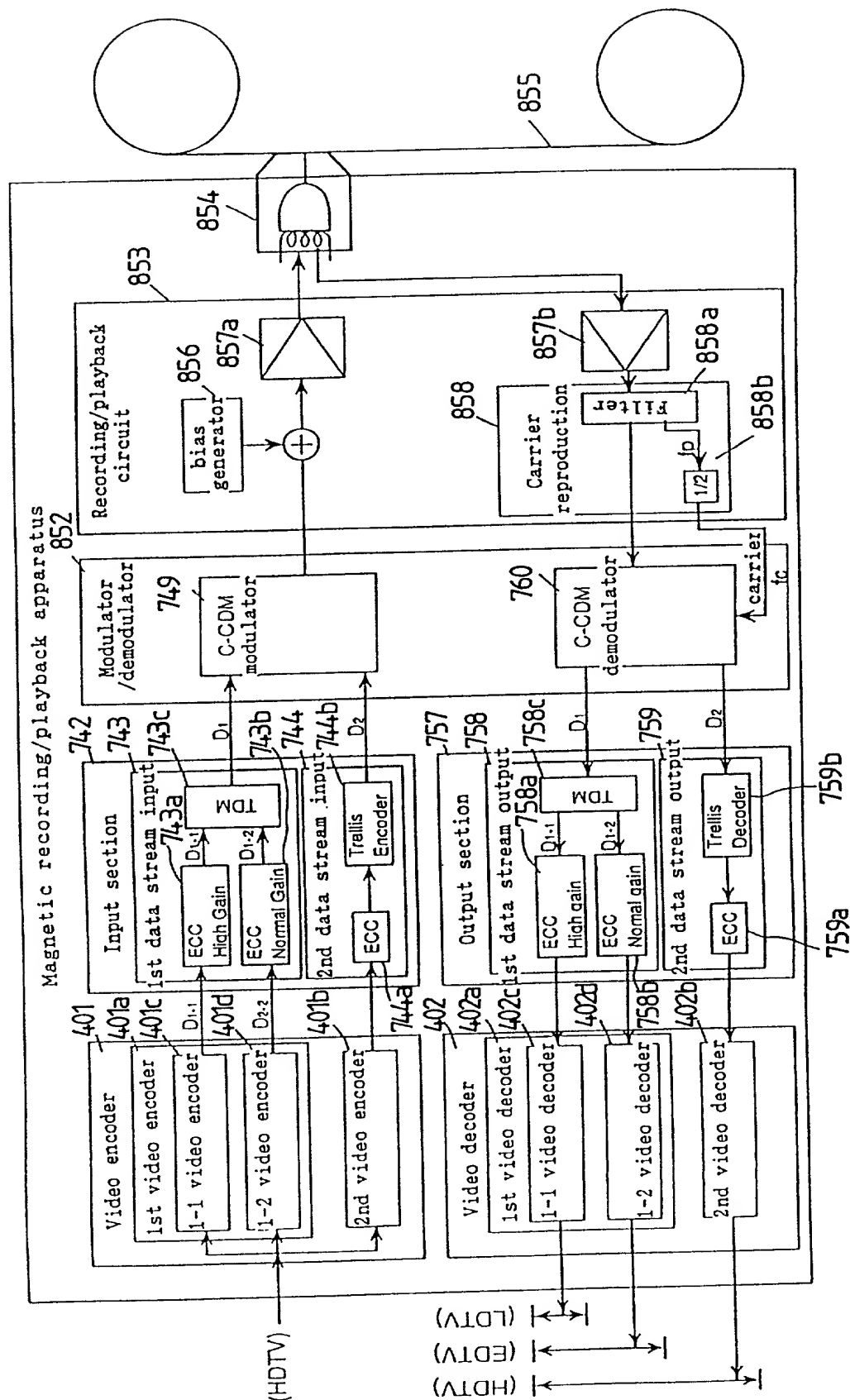


FIG. 132

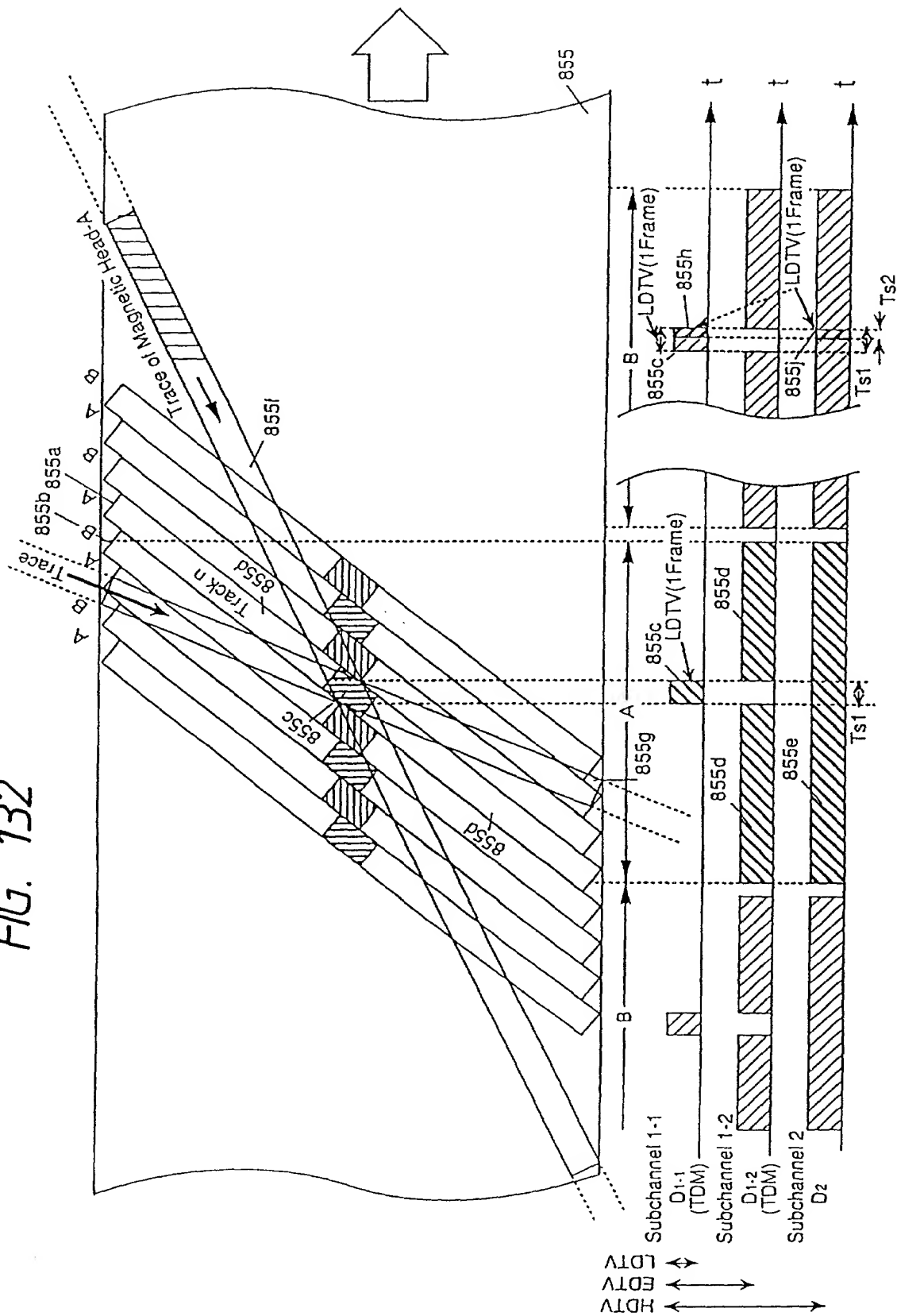


FIG. 133

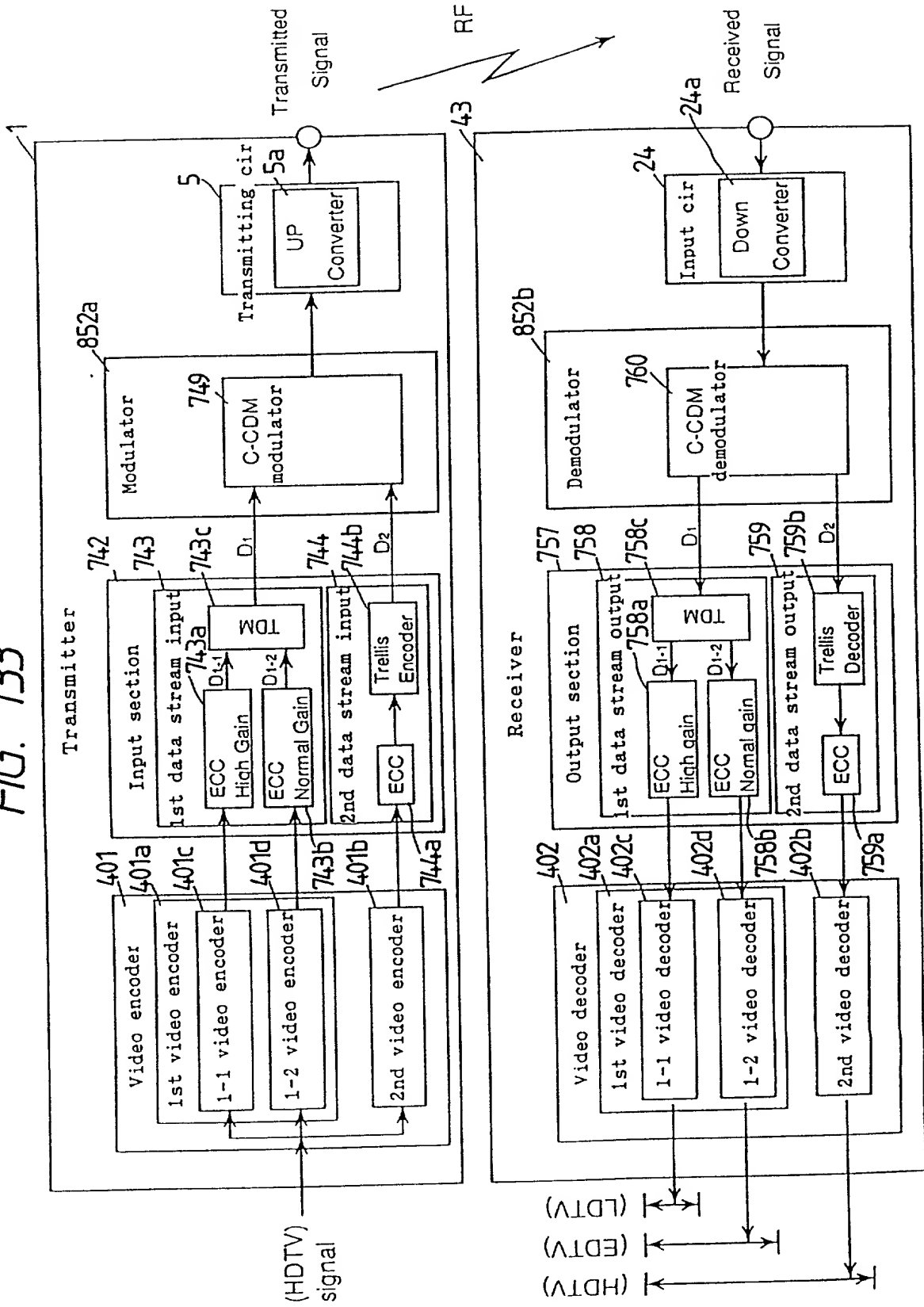


FIG. 134

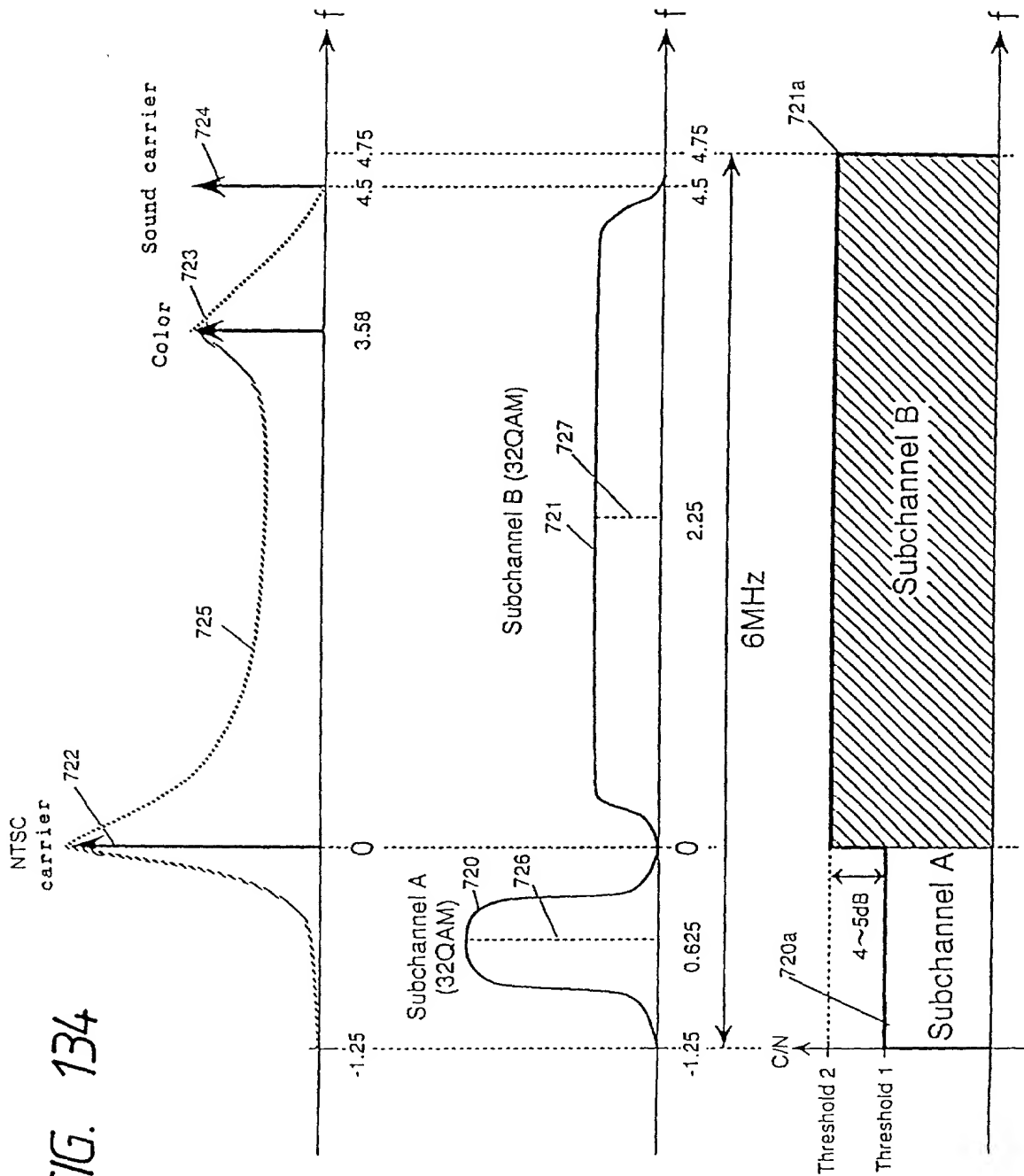


FIG. 135

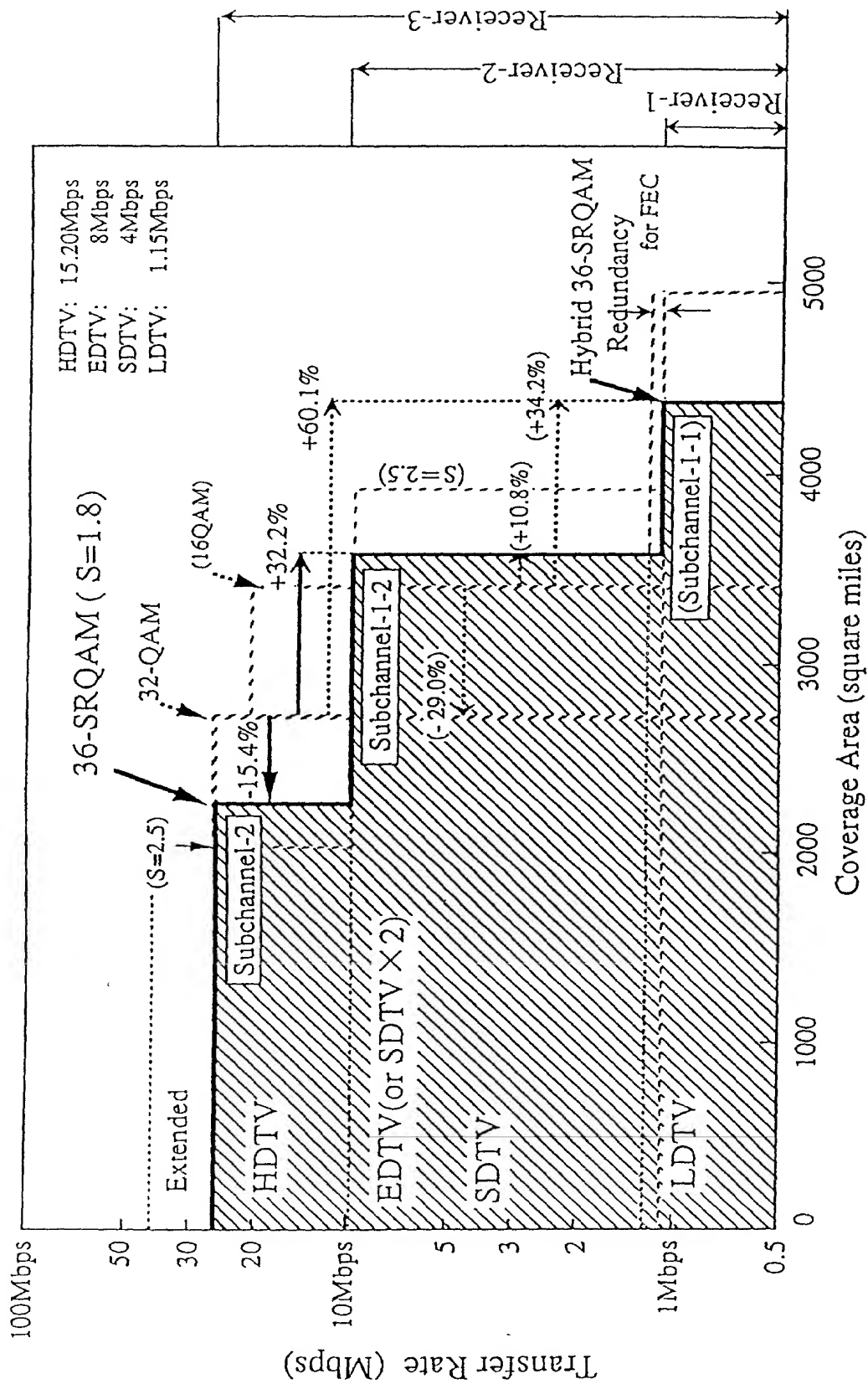


FIG. 136

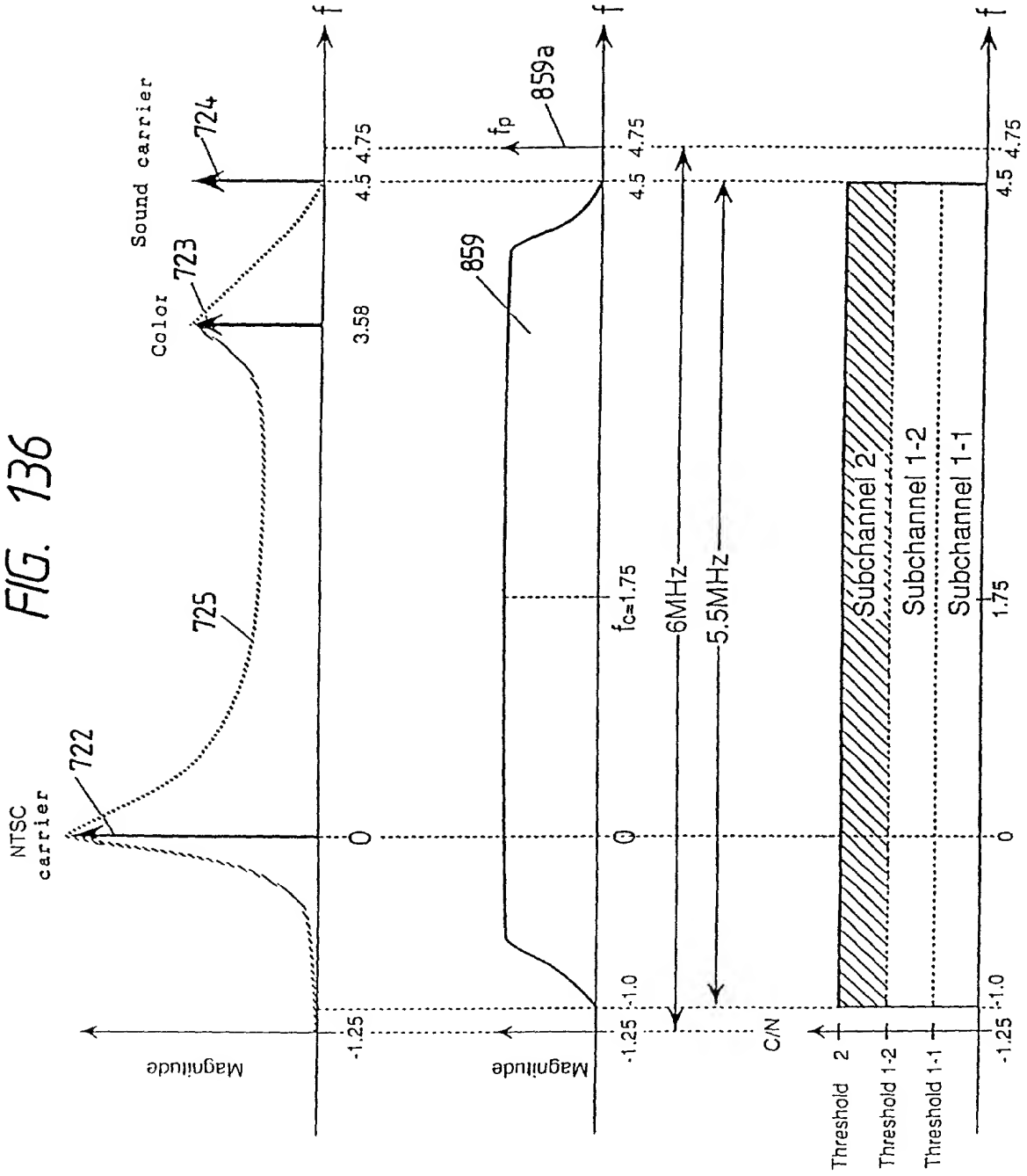


FIG. 137

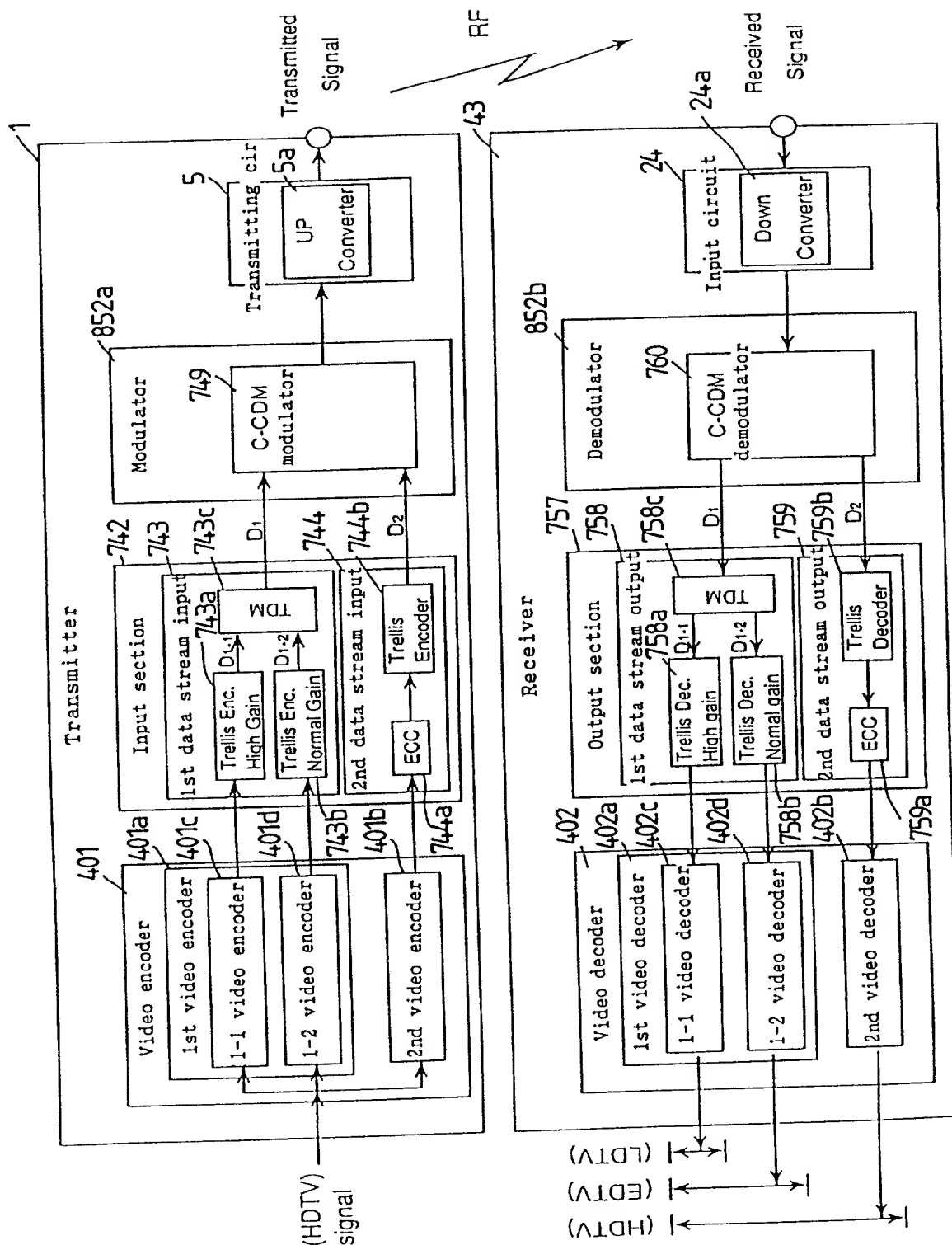


FIG. 138

